

Effect of 8-weeks hydroalcoholic extracts of dill supplementation along with aerobic training on lipid profile in hyperlipidemic obese men

Alireza Ostadrahimi¹ , Bahram Jamali Qarakhanlou^{2*} , Akram Ameghani³ , Ali Zarghami Khameneh⁴ 

¹Nutrition Research Center, School of Nutrition, Tabriz University of Medical Sciences, Tabriz, Iran

²Department of Basic Sciences, School of Paramedical Sciences, Tabriz University of Medical Sciences, Tabriz, Iran

³Department of Physical Education, Tabriz University of Medical Sciences, Tabriz, Iran

⁴Department of Exercise & Sport Physiology, School of Physical Education and Sport Sciences, University of Tabriz, Tabriz, Iran

*Corresponding author; E-mail: jamalib@tbzmed.ac.ir

Received: 22 August 2017 Accepted: 4 November 2017 First Published online: 4 July 2019

Med J Tabriz Uni Med Sciences Health Services. 2019 August- September; 41(3):7-15

Abstract

Background: In traditional medicine, Dill has been used for the treatment of gastrointestinal disorder and also for its hypoglycemic and lipid lowering effects. So, the aim of this study was to determining effect of long-term dill extract supplementation alone and along with regular aerobic training on lipid profile in serum of men hyperlipidemic patients.

Methods: 60 male patients with hyperlipidemia after completing consent forms were randomized divided into four homogeneous groups; control, aerobic training, dill extract, and aerobic training along with dill extract. Furthermore, consumption of oral dill essential oil ($2 \text{ mg} \cdot \text{kg}^{-1} \cdot \text{day}$) along with aerobic exercise training protocol for 8-weeks performed (sessions were conducted 3 times a week, each lasting 45 minutes running on the treadmill). Blood samples were taken at two phases (48 hours before and after the last training session protocol) were collected.

Results: The levels of the total cholesterol and triglyceride in the experimental groups significantly decreased in compared the pre-intervention period ($P<0=032$). In addition, -22.75% decreasing in LDL-cholesterol and +49.76% increasing in HDL-cholesterol levels just in the aerobic exercise training along with dill extract was significant in comparison with the control group ($P=0.001$).

Conclusion: The combination effects of regular aerobic training and dill supplementation, due to having additive effects in compared to treatment with dill supplementation and aerobic activity alone, more effective treatment methods to improve the lipid profile factors in associated with hyperlipidemia.

Keyword: Dill, Aerobic Training, Hyperlipidaemia.

How to cite this article: Ostadrahimi A R, Jamali Qarakhanlou B, Ameghani A, Zarghami Khameneh A. [Effect of 8-weeks hydroalcoholic extracts of dill supplementation along with aerobic training on lipid profile in hyperlipidemic obese men]. Med J Tabriz Uni Med Sciences Health Services. 2019 August- September; 41(3):7-15. Persian.

مقاله پژوهشی

تأثیر هشت هفته مکمل دهی عصاره آبی-الکلی شوید همراه با تمرینات هوایی بر پروفایل لیپیدی مردان چاق مبتلا به هیپرلیپیدمی

علیرضا استاد رحیمی^۱، بهرام جمالی قراخانلو^{۲*}، اکرم آمقانی^۳، علی ضرغامی خامنه^۴

۱) مرکز تحقیقات علوم تغذیه، دانشکده تغذیه، دانشگاه علوم پزشکی تبریز، تبریز، ایران
۲) گروه علوم پایه، دانشکده پردازشکی، دانشگاه علوم پزشکی تبریز، تبریز، ایران
۳) مدیریت تربیت بدنی، دانشگاه علوم پزشکی تبریز، تبریز، ایران
۴) گروه فیزیولوژی ورزشی، دانشکده تربیت بدنی و علوم ورزشی، دانشگاه تبریز، تبریز، ایران
*نویسنده مسئول؛ ایمیل: jamalib@tbzmed.ac.ir

دریافت: ۱۳۹۶/۵/۳۱ پذیرش: ۱۳۹۶/۸/۱۳ انتشار برخط: ۱۳۹۸/۴/۱۳
مجله پزشکی دانشگاه علوم پزشکی و خدمات بهداشتی - درمانی تبریز. مرداد و شهریور ۱۳۹۸؛ (۳)۴۱: ۱۵-۷

چکیده

زمینه: در طب سنتی، از شوید برای درمان اختلالات دستگاه گوارشی و اثرات کاهنده قندخون و چربی آن استفاده می‌شود. هدف از پژوهش حاضر، تعیین اثرات ترکیبی مکمل دهی عصاره شوید به تنها یک و همراه با تمرینات منظم هوایی بر شاخص‌های پروفایل لیپیدی در سرم مردان مبتلا به هیپرلیپیدمی بود.

روش کار: تعداد ۶۰ مرد مبتلا به هیپرلیپیدمی پس از اخذ رضایت‌نامه بطور تصادفی به چهار گروه همگن شامل: کترل، تمرین هوایی، عصاره شوید و تمرین هوایی همراه با عصاره شوید تقسیم شدند. مصرف خوراکی اسانس شوید ($2 \text{ mg} \cdot \text{kg}^{-1} \cdot \text{d}$) به مدت هشت هفته همراه با پروتکل تمرینی (۳ جلسه در هفته و هر جلسه ۴۵ دقیقه دویدن روی نوارگردان) بود. نمونه‌های خونی در طی دو مرحله (۴۸ ساعت پیش و پس از آخرین جلسه تمرین) جمع‌آوری شدند. داده‌ها با استفاده از آزمون‌های تحلیل واریانس مکرر، پس تعقیبی بونفرونی و تی مستقل در سطح معنی‌داری 0.05% بررسی گردید.

یافته‌ها: نتایج پژوهش حاضر نشان داد که سطوح کاسترول تام و تری‌کلیسرید در هر سه گروه تجربی کاهش معنی‌داری در مقایسه با قبل از دوره مداخله دارد ($P=0.032$). به علاوه، میزان تغییرات کلسترول LDL و HDL به ترتیب $-22/75\%$ و $+49/76\%$ افزایش تنها در گروه تمرین هوایی همراه با عصاره شوید در مقایسه با گروه کترل معنی‌دار بود ($P=0.001$).

نتیجه‌گیری: به نظر می‌رسد که ترکیب تمرینات منظم هوایی و مکمل یاری شوید به دلیل دارا بودن اثرات تجمعی نسبت به درمان با مصرف مکمل شوید و تمرین هوایی به تنها یک، روش درمانی مؤثرتری جهت بهبود شاخص‌های لیپیدی در ارتباط با هیپرلیپید می‌باشد.

کلید واژه‌ها: شوید، تمرین هوایی، هیپرلیپیدمی.

نحوه استناد به این مقاله: استاد رحیمی ع، جمالی قراخانلو ب، آمقانی ا، ضرغامی خامنه ع. تأثیر هشت هفته مکمل دهی عصاره آبی-الکلی شوید همراه با تمرینات هوایی بر پروفایل لیپیدی مردان چاق مبتلا به هیپرلیپیدمی. مجله پزشکی دانشگاه علوم پزشکی و خدمات بهداشتی درمانی تبریز. ۱۳۹۸؛ (۳)۴۱: ۱۵-۷.

حق تألیف برای مؤلفان محفوظ است.

این مقاله با دسترسی آزاد توسط دانشگاه علوم پزشکی و خدمات بهداشتی - درمانی تبریز تحت مجوز کریتو کامنز (CC BY 4.0) منتشر شده که طبق مفاد آن هرگونه استفاده تنها در صورتی مجاز است که به اثر اصلی به نحو مقتضی استناد و ارجاع داده شده باشد.

مقدمه

چهار هفته تمرین مقاومتی اثر معنی داری بر غلظت ApoA-1 و ApoB سرم که به ترتیب آپولیپو پروتئین های اصلی کلسترول-HDL و کلسترول-LDL هستند تأثیری نداشته و منجر به کاهش نیم رخ چربی موش های صحرایی دیابتی شده با استرپیوزوسین (STZ) نیز نمی گردد (۸). همچنین Mokhtari و همکاران گزارش کردند که ۱۲ هفته پیاده روی پیش رونده باشد ۷۰-۶۰٪ حداکثر ضربان قلب بیشینه اثر معنی داری بر بهبود نیم رخ چربی زنان مبتلا به دیابت نوع ۲ ندارد (۹). لذا، با توجه به مطالعات محدود و متناقض و عدم دسترسی به یک مطالعه جامع در رابطه با اثرات همزمان مصرف عصاره شوید و فعالیت های منظم هوایی بر شاخص های لیپیدی، مطالعه حاضر با هدف تعیین تأثیر هشت هفته مکمل یاری قطره عصاره شوید همراه با تمرین هوایی در مردان مبتلا به هایپرلیپیدمی انجام شد.

روش کار

تحقیق حاضر از نوع کارآزمایی های بالینی مداخله ای نیمه تجربی با طرح پیش و پس آزمون است که با استفاده از چهار گروه (سه گروه تجربی و شاهد) به صورت دوسویه کور، پس از اخذ کد اخلاق در پژوهش شمالغرب به شماره مرجع ۴۵/۴۹۴۹ از معاونت تحقیقات و فناوری دانشگاه علوم پزشکی تبریز و ثبت در مرکز کار آزمایی بالینی ایران (کد ثبت: IRCT2014100419397N1) در سالن تربیت بدنی دانشگاه علوم پزشکی تبریز در طی دو ماه دسترسی (فصل پاییز) اجرا گردید. حجم نمونه براساس مطالعات قبلی، در سطح معنی داری (آلفا یا خطای نوع اول) ۰/۰۵ درصد و توان (بتا یا خطای نوع دوم) ۰/۸ با استفاده از نرم افزار Medcalc نسخه ۲۰.۰.۲۰ با استفاده از روش نمونه گیری انتخابی در دسترس و هدفدار انتخاب و برای هر گروه ۱۵ نفر و در مجموع ۶۰ نفر از میان بیماران مرد مبتلا به هایپرلیپیدمی تعیین گردید. در ابتدا، اطلاعات اولیه بیماران بصورت مشخصات دموگرافیک ثبت شد. در یک جلسه توجیهی برای بررسی بیشتر و انتخاب نمونه های بهتر، پرسشنامه های تعیین سلامتی و یادآمد ۲۴ ساعتی رژیم غذایی آزمودنی ها که بصورت مصاحبه ای بود، توسط مجری و همکاران طرح پر شد. پس از جمع آوری و بررسی دقیق پرسشنامه های تکمیل شده، با توجه به برخی معیارهای ورود (بیماران هایپرلیپیدمی که دارای سطوح کلسترول و تری گلیسرید بین ۳۰۰-۲۰۰ mg/dl محدوده سنی ۲۰ تا ۵۰ سال، شاخص توده بدنی (BMI) بین ۳۰-۳۴/۹ کیلوگرم بر مجدور متر [چاقی درجه I]، عدم استفاده از داروهای خارج از تجویز پزشک و سایر مکمل های کاهنده چربی خون، نداشتن فعالیت بدنی منظم در طی ۶ ماهه گذشته و کسب رضایت آگاهانه در تحقیق) و معیارهای عدم ورود (داشتن مشکلات سیستمیک از

شوید یا شوید با نام علمی آنتوم گراوئولنس گیاهی یکساله یا دو ساله، علفی و معطر از خانواده چتریان است (۱). گیاه شوید بومی مناطق مدیترانه ای، جنوب غربی آسیا و مشرق زمین بوده، به طوریکه امروزه در اکثر نقاط دنیا کشت می شود. در ایران نیز علاوه بر کشت در مناطق مختلف، در تبریز، بجنورد و تفرش به صورت خودرو و نیمه خودرو می روید (۱-۳). شوید با دارا بودن ترکیب های فلاونوئیدی از جمله: دیکارون، کورستین، لیمومن، آفالافلاندرون، ترپنوتئیدها، دی هیدرو کارون، آپیول، کومارین، کامپرول، وینسین، میریستین و سایر فلاونوئیدها به عنوان منع غنی از ضد اکسیدان ها همواره مطرح بوده است (۱). همچنین عصاره اتانولی این گیاه از دیرباز به دلیل دارا بودن ویژگی ضد التهابی، کاهنده گلوکر و چربی خون و از همه مهمتر عدم عوارض جانبی ناشی از مصرف مورد توجه متخصصان بالینی و حتی سایر اشاره جامعه قرار گرفته است (۴-۵). چنانچه نتایج کارآزمایی های بالینی به خوبی بیانگر کاهش سطوح کلسترول تام (CT)، تری گلیسرید (TG) و لیپوپروتئین با چگالی پائین (LDL) به عنوان عوامل خطر عمده دخیل در پیشرفت بیماری عروق کرونی (CHD) و آترواسکلروزیس متعاقب مصرف این گیاه دارویی است (۲-۳). در این راستا، Yousofvand و همکاران به دنبال تجویز ۳۰ روزه عصاره آبی-الکلی شوید با دوزهای ۲۵۰ و ۵۰۰ میلی گرم در لیتر در قالب آب نوشیدنی نشان دهنده کاهش معنی دار کلسترول، تری گلیسرید، LDL و همچنین افزایش معنی دار HDL در موش های نر بودند (۴). همچنین، Abbasi و همکاران اثرات مصرف یک ماه مقادیر ۱۰۰ و ۲۰۰ میلی گرم در وزن بدن عصاره هیدرو الکلی آنتوم گراوئولنس و ۱۰۰ و ۲۰۰ میلی گرم قرص شوید را در همسترهای نر سوری تغذیه شده با رژیم غذایی کلسترول بالا بررسی و عنوان کردند که نیم رخ چربی، گلوکر خون و آنزیم های کبدی به طور معنی داری به دنبال مصرف عصاره و قرص شوید کاهش می باید (۶). از سویی دیگر، برنامه آموژش ملی کلسترول (NCEP) جهت درمان افراد بالغ برای دهه گذشته مداخلات غیر دارویی را به عنوان درمان اولیه در بیماران هایپرلیپیدمی توصیه نموده است (۷). به طوریکه، امروزه آثار مثبت تمرینات و فعالیت های بدنی برای پیشگیری اولیه و ثانویه بیماری های قلبی-عروقی به درستی ثابت شده است. در این رابطه، Ghafari و همکاران بیان نمودند که متعاقب انجام هشت هفته برنامه تمرینی شامل فعالیت های هوایی باشد ۶۵-۴۵٪ ضربان قلب بیشینه باعث کاهش معنی دار شاخص های التهابی پیشگویی کننده آترواسکلروزی و نیم رخ های لیپیدی همچون هوموسیستین، تری گلیسرید و کلسترول LDL در زنان چاق مبتلا به هایپرلیپیدمی می گردد (۷). با وجود این، نتایج قطعی در این زمینه وجود ندارد. به طوری که نتایج مطالعه گروه Talebi-Garakani نشان داد که

پژوهشگر کنترل شد. در آخر نیز ۵ دقیقه سرد کردن به صورت حرکات کششی و نرمشی انجام شد.

ضریان قلب استراحتی + ((ضریان قلب استراحتی - ضریان قلب بیشینه) × ۷۰) / ۶۰ = درصد ضریان قلب کاروون

گروه عصاره شوید (قطره دلیل سان)، با مقدار روزانه ۲ میلی گرم در کیلوگرم از وزن بدن را در سه و عده مصرف نمودند. قطره خوراکی شوید از شرکت باریج انسانس کاشان- ایران با مجوز بهداشتی (IRC1۲۲۸۰۱۴۶۶۶) از اداره کل نظارت بر مواد غذایی وزارت بهداشت تهیه گردید (۱۱). سپس هر یک آزمودنی‌ها بدون اطلاع از محتوای قطره (مطالعه دو سویه‌کور) تهیه شده (گروه مکمل: ۲ میلی گرم به ازای هر کیلوگرم وزن بدن عصاره شوید) را به مدت هشت هفته مصرف نمودند. نمونه‌های خونی در دو مرحله (مرحله اول: ۴۸ ساعت پیش از مصرف مکمل و پروتکل تمرينی؛ و مرحله دوم: ۴۸ ساعت پس از آخرین جلسه تمرينی و هشت هفته مصرف مکمل) به میزان ۵ میلی‌لیتر از ورید پیش آرنجی بازوی چپ آزمودنی‌ها تهیه شد. خون اخذ شده بدون افزودن ماده ضد انعقاد برای تهیه سرم و تعیین شاخص‌های اکسایشی و التهابی مورد استفاده قرار گرفتند. سپس نمونه‌ها به مدت ۱۵ دقیقه در دمای محیط آزمایشگاهی ۲۲-۲۵ قرار داده شدند تا لخته شوند. پس از آن سرم نمونه‌ها توسط دستگاه سانتریفیوژ ۳۵۰۰ دور در دقیقه برای مدت ۱۰ دقیقه) جدا شد. برای انجام مراحل بعدی، نمونه‌ها در دمای ۷۰- درجه سانتی‌گراد قرار داده شدند. سپس، مقادیر شاخص‌های خونی و پلاسمایی پس از انجام قرارداد تمرينی به صورت اصلاح شده و با در نظر گرفتن درصد تغیرات حجم خون و پلاسما محاسبه شد. شاخص‌های پروفایل لیپیدی سرمی نظیر کلسترول، تری‌گلیسرید و HDL-C با استفاده از روش فوتومتریک و توسط کیت شرکت پارس آزمون مورد سنجش قرار گرفت. بعلاوه، کلسترول-LDL نیز با استفاده از معادله فریدوالد اندازه‌گیری شد (۲). میزان شاخص همه اندازه‌گیری‌ها در ساعت ۹-۱۲ صبح، دمای ۲۶-۲۸ درجه سانتی‌گراد، رطوبت ۵۵-۵۰ درصد، تهویه و نور محیطی یکسان انجام گردید. بعلاوه، آزمودنی‌ها ۴۸ ساعت قبل از انجام آزمون، ضمن حفظ رژیم غذایی معمولی از مصرف هرگونه مکمل غذایی اثر گذار بر آسیب و التهاب، خودداری کردند. همچنین از انجام هر گونه فعالیت ورزشی شدید و استفاده از هرگونه فعالیتی (مانند ماساژ، سونا، داروهای ضدالتهاب...) که بر آسیب و التهاب سلولی اثر بگذارد اجتناب نمودند. تمامی داده‌ها بصورت میانگین \pm انحراف استاندارد (Mean \pm SD) بیان شدند و برای تعیین نرمال بودن توزیع داده‌های اولیه از آزمون کولموگروف-آسیمیرنوف (K-S) استفاده گردید. سپس میانگین تغییرات هر یک از متغیرها طی مراحل دوگانه اندازه‌گیری و تأثیر متقابل گروه‌ها (مکمل و دارونما)

جمله محدودیت حرکتی، بیماری‌های قلبی-عروقی حاد، بیماری‌های ریوی و سایر مشکلات جسمانی که برای آزمودنی خطرساز شود، عدم رعایت پروتکل مطالعه و استعمال دخانیات و مصرف مشروبات الکلی)، ۶۰ نفر مرد چاق به عنوان نمونه آماری انتخاب شدند. در ادامه، جهت اندازه‌گیری مقدار کالری مصرفی و کنترل رژیم غذایی با استفاده از نرم افزار تجزیه و تحلیل Processor (۱۱) انجام شد. همچنین، از آزمودنی‌ها خواسته شد در طول طرح عادات غذایی و فعالیت بدنی خود را ثابت نگه دارند. بیمارانی که شرایط ورود را داشتند، به صورت تخصیص تصادفی ساده به چهار گروه: کنترل (۱۵ نفر)، تمرين هوایی منظم (۱۵ نفر)، عصاره شوید (۱۵ نفر) و تمرين هوایی منظم همراه با عصاره شوید (۱۵ نفر) تقسیم شدند. لازم به ذکر است که در ادامه پروتکل، یک نفر از گروه کنترل، دو نفر از هر یک از گروه‌های عصاره شوید و تمرين هوایی منظم همراه با عصاره شوید و سه نفر از گروه تمرين هوایی منظم حاضر به ادامه همکاری نشدند. برای اندازه‌گیری درصد چربی از کالبیر (هارپندن، مدل ۰۱۲۰، انگلیس) با حساسیت ۰/۱ میلی‌متر و فرمول سه نقطه‌ای دانشکده پژوهشی ورزشی آمریکا (ACSMs) (چین‌های پوستی سه سریازویی، شکمی و فوق خاصرهای سمت راست) استفاده شد (۹).

$$\frac{5/1114 - [(\text{سن} \times 1/1572) + 2]}{(\text{مجموع سه قسمت}) \times 0.00105} = \text{درصد چربی}$$

قرارداد ورزشی شامل شرکت افراد در یک برنامه تمرينی هشت هفته‌ای (مشتمل بر ۳ جلسه تمرين در هفته و در کل ۲۴ جلسه تمرين) دویden روی نوارگردان (به مدت ۴۵ دقیقه با شدت ۷۰-۶۰٪ ضریان قلب ذخیره و شب صفر درجه) بود. ضریان قلب پایه هر یک از آزمودنی‌ها پس از ۱۰ دقیقه استراحت (به حالت نشسته) با ضریان سنج پولار ثبت شد. در حالی که ضریان قلب بیشینه آزمودنی‌ها، با استفاده از فرمول کاروونن یا همان ضریان قلب ذخیره که درصد آن برابر با درصدی از اکسیژن مصرفی بیشینه (توان هوایی) استفاده گردید (۷). آزمودنی‌ها قبل از اجرای قرارداد ورزشی، به منظور گرم کردن، ۱۰ دقیقه حرکات کششی انجام دادند و سپس سه دقیقه روی نوارگردان با شب صفر درجه دویden (تا رسیدن به ضریان قلب ۱۲۰ ضربه در دقیقه). پس از این مرحله، سرعت نوارگردان به منظور دستیابی به ضریان قلب هدف تحقیق یعنی ۶۰ الی ۷۰ درصد ضریان قلب ذخیره طی مدت دو دقیقه افزایش پیدا کرد (۷/۸). سپس، هر یک از آزمودنی‌ها با نزدیک شدن به شدت ۶۰ درصد ضریان قلب ذخیره طی مدت ۳۰ دقیقه (فعالیت اصلی) روی نوارگردان دویden. در ادامه نیز ضریان قلب آزمودنی‌ها و سرعت نوارگردان تا پایان قرارداد ورزشی توسط

بونفروونی نشان داد تغییرات درصد چربی بدن در گروههای تمرین هوایی و تمرین هوایی همراه با عصاره شوید نسبت به گروه شاهد معنی دار می‌باشد ($P < 0.05$)؛ اما نسبت به گروه عصاره شوید معنی دار نمی‌باشد ($P > 0.05$). همچنین تغییرات در انرژی دریافتی، وزن و شاخص توده بدن در هیچ یک از گروهها نسبت به هم معنی دار نبود ($P > 0.05$). نتایج تحلیل واریانس مکرر (ANOVA) ساختهای لیپیدی مردان مبتلا به هایپرلیپیدمی حاکی از آن است که اثر تقابلی معنی داری بین گروهی وجود دارد (جدول ۲). چنانکه، سطوح کلسترول تام و تری‌گلیسیرید در تمامی گروهها و سطح LDL-c سرم تنها در گروه ترکیبی (تمرین هوایی+عصاره شوید) در بعد از مداخله بطور معنی داری کاهش یافته بود ($P = 0.001$). همچنین سطح HDL-c در حدود ۷/۹٪، ۲۲/۱۳٪ و ۴۹/۷۶٪ به ترتیب در گروههای مکمل، تمرین هوایی و مکمل+تمرین هوایی نسبت به قبل از مداخله افزایش نشان داشت که این افزایش تنها در گروه ترکیبی معنی مکمل+تمرین هوایی از نظر آماری معنی دار بود ($P = 0.003$ ، $F = 12.75$) (جدول ۲). در ضمن، آزمون تعقیبی بونفروونی نشان داد که تغییرات سطح کلسترول تام و تری‌گلیسیرید در تمامی گروهها نسبت به گروه شاهد معنی دار می‌باشد. تغییرات سطح LDL-c در گروههای تمرین هوایی و تمرین هوایی+عصاره شوید نسبت به گروه شاهد معنی دار بود ($P = 0.032$) (جدول ۲).

و مراحل خون‌گیری، از آزمون‌های تحلیل واریانس (ANOVA) با اندازه‌گیری مکرر^۴ (گروه×مراحل) استفاده شد. در صورت مشاهده اختلاف بین مراحل زمانی، از آزمون تعقیبی بونفروونی و برای تعیین اختلاف درون گروهی از آزمون t وابسته استفاده شد. تمامی عملیات‌ها و تحلیل‌های آماری در سطح معنی داری پنج درصد ($P \leq 0.05$) با استفاده از نرم‌افزارهای آماری SPSS 22 و Excel 2010 انجام شد. به علاوه، سهم اثر هر یک از عوامل مداخله‌گر با استفاده از مجذور آنگا (σ^2) تعیین گردید.

یافته‌ها

میانگین و انحراف استاندارد ویژگی‌های دموگرافیک (سن، وزن، قد، درصد چربی، شاخص توده بدنی و میزان کالری مصرفی ۲۴ ساعته) گروههای مورد مطالعه به تفکیک در جدول ۱ نشان داده شده است. اطلاعات این جدول نشان می‌دهد که تفاوت آماری معنی داری در مقادیر ویژگی‌های فردی به غیر از درصد چربی بدن ($P = 0.03$) در مرحله پس از مطالعه بین گروههای مورد مطالعه وجود ندارد ($P \geq 0.05$). لذا گروهها با یکدیگر همگن بودند (جدول ۱). با این حال، نتایج آزمون آماری نشان داد که تمامی شاخص‌های تن‌سنجی (جدول ۱) در پس از آزمون نسبت به مقادیر پایه در گروههای مداخله کاهش نشان داد؛ اما تنها در درصد چربی بدن و آن هم در دو گروه تمرین هوایی و گروه تمرین هوایی همراه با عصاره شوید به ترتیب ۴/۵٪ و ۷/۵٪ کاهش معنی دار در مقایسه با قبل از مداخله داشت. آزمون تعقیبی

جدول ۱: ویژگی‌های تن‌سنجی و فیزیولوژیک آزمودنی‌های پژوهش

متغیرها	گروه‌ها تعداد	P بین گروهی			
		گروه شاهد نفر	گروه عصاره شوید+تمرین نفر	گروه تمرین نفر	گروه عصاره شوید نفر
سن (سال)	پیش آزمون	۳۹/۷±۱۱/۲	۳۷/۹±۱۰/۶	۳۷/۸±۱۲/۱	۳۵/۸±۱۰/۹
قد (سانتی‌متر)	پیش آزمون	۱۷۷/۰±۲۱/۶۹	۱۷۴/۲۵±۳/۴۷	۱۷۵/۰۹±۲/۳۴	۱۷۸/۸۹±۶/۲۹
وزن (کیلوگرم)	پیش آزمون	۹۵/۲±۹/۳	۹۷/۲±۸/۳	۹۳/۸±۱۱/۵	۹۴/۸±۹/۱
شاخص توده بدن (کیلوگرم/مترمربع)	پیش آزمون	۹۴/۷±۸/۶	۹۶/۸±۸/۱	۹۴/۰۵±۱۰/۴	۹۵/۳±۸/۶
درودن گروهی	پیش آزمون	۰/۰۹	۰/۱۵	۰/۰۷	۰/۶۳
ازوژی دریافتی (کیلوکالری لوز)	پیش آزمون	۳۳/۱۵±۲/۵۸	۳۳/۱۵±۲/۸۸	۳۲/۳۲±۲/۲۲	۳۴/۱۸±۱/۹۲
درودن گروهی	پیش آزمون	۳۲/۷۵±۲/۲۵	۳۲/۸۵±۲/۳۱	۳۲/۱۲±۲/۵۲	۳۴/۸±۲/۰۲
درودن گروهی	پیش آزمون	۰/۰۸	۰/۱۵	۰/۱۱	۰/۶۱
ازوژی کالری لوز	پیش آزمون	۲۵۰/۷±۱۸۵	۲۶۰/۰±۱۶۷	۲۵۵/۰±۲۱۰	۲۵۲/۳±۱۱۵
درودن گروهی	پیش آزمون	۲۴۲/۶۷±۱۳۶	۲۵۰/۳۳±۱۵۶	۲۴۸/۰۵±۱۸۹	۲۶۱/۴۵±۱۲۷
درودن گروهی	پیش آزمون	۰/۴۴	۰/۵۶	۰/۶۱	۰/۳۷
درصد چربی بدن (درصد)	پیش آزمون	۳۹/۱۸±۱/۳۳	۳۹/۱۰±۲/۲۵	۳۹/۱۲±۱/۳۵	۳۸/۵۲±۲/۱۲
درودن گروهی	پیش آزمون	۳۶/۲۱±۲/۲۱	۳۷/۳۵±۱/۸۵	۳۸/۹۱±۲/۲۲	۳۸/۸۵±۱/۹۱
مقدادر به شکل انحراف معیار ± میانگین بیان شده است.	P	۰/۰۱۴#	۰/۰۰۴#†	۰/۱۱	۰/۵۳

¥ آزمون تی مستقل

آزمون تی همبسته

* معنی داری نسبت به گروه شاهد؛ همگنی در سطح معنی داری پنج درصد ($P \leq 0.05$)

جدول ۲: مقایسه میانگین و انحراف استاندارد شاخص‌های پروفایل لیپیدی، پیش و پس از اعمال مداخلات در گروه‌های مختلف پژوهش

متغیرها	گروه‌ها	پیش آزمون	پس آزمون	تغییرات	مراحل تمرین	
					P بین‌گروهی	P درون‌گروهی
Cholesterol (mg/dl)	شاهد	۲۴۵/۶۱±۴۲/۷۱	۲۴۷/۴۱±۳۹/۲۵	۲/۲۱±۰/۸۹	۰/۲۱۵	۰/۰۰۱§
	عصاره شوید	۲۴۰/۲۵±۳۸/۰۴	۱۹۸/۳۵±۲۸/۰۳	-۴۲/۱±۱۷/۱۵	۰/۰۱۲‡	۰/۰۰۱§
	تمرین هوایی	۲۴۴/۷۲±۴۷/۷۹	۲۰۱/۴۹±۲۱/۸۵	-۴۱/۲۵±۲۸/۲۱	۰/۰۱۶‡	۰/۰۰۱§
	تمرین هوایی+عصاره شوید	۲۴۹/۵۳±۳۹/۷۸	۱۸۹/۴۱±۳۸/۰۷	-۵۱/۱۲±۱۳/۱۵	۰/۰۰۲‡	۰/۰۰۱§
	شاهد	۲۲۲/۳۲±۵۰/۶۲	۲۲۹/۸۶±۴۴/۶۷	۷/۲۲±۰/۹۱	۰/۰۱۸۹	۰/۰۰۱§
	عصاره شوید	۲۱۷/۷۲±۴۸/۱۱	۱۷۶/۷۴±۴۴/۳۹	-۴۱/۰۹±۱۲/۱۱	۰/۰۱۷‡	۰/۰۰۱§
TG (mg/dl)	تمرین هوایی	۲۳۷/۲۱±۳۳/۸۵	۱۸۳/۳۴±۵۱/۲۲	-۵۴/۴۵±۲۶/۱۲	۰/۰۰۲‡	۰/۰۰۱§
	تمرین هوایی+عصاره شوید	۲۲۵/۷۴±۴۸/۰۳	۱۵۳/۲۷±۴۶/۲۷	-۷۲/۳۶±۹/۵۱	۰/۰۰۱‡	۰/۰۰۱§
	شاهد	۵۰/۶۲±۹/۷۱	۴۹/۶۷±۹/۲۲	-۱/۰۳±۰/۶۱	۰/۱۱۴	۰/۰۰۳§
	عصاره شوید	۴۸/۲۶±۸/۴۴	۵۲/۲۶±۹/۰۴	۴/۱±۱/۰۲	۰/۱۲۲	۰/۰۰۳§
	تمرین هوایی	۴۵/۷۳±۱۱/۷۹	۵۸/۷۳±۷/۹۱	۱۳/۱±۴/۱۵	۰/۰۶۱	۰/۰۰۳§
	تمرین هوایی+عصاره شوید	۴۶/۴۲±۱۰/۷۸	۶۹/۵۲±۹/۰۸	۲۳/۱۶±۱۳۹	۰/۰۰۱‡	۰/۰۱۴§
HDL-C (mg/dl)	شاهد	۱۲۵/۰۲±۲۱/۷۱	۱۳۱/۰۲±۲۰/۰۱	۶/۰۱±۲/۱۶	۰/۱۲۵	۰/۰۱۴§
	عصاره شوید	۱۲۴/۲۶±۱۹/۴۴	۱۱۵/۲۶±۲۳/۰۴	-۹/۲۱±۴۳۹	۰/۰۸۷	۰/۰۱۴§
	تمرین هوایی	۱۲۴/۴۷±۲۲/۷۹	۱۱۳/۲۳±۲۷/۶۱	-۱۱/۴۹±۵/۱۹	۰/۰۸۹	۰/۰۱۴§
	تمرین هوایی+عصاره شوید	۱۲۳/۴۹±۲۹/۸۳	۹۵/۵۲±۱۹/۷۸	-۲۸/۱±۱۰/۱۲	۰/۰۰۱‡	۰/۰۱۴§

[‡] معنی داری درون گروهی در سطح ($P < 0.05$). ^{*} معنی داری بین گروهی در سطح ($P < 0.05$).

بحث

۳۲ خرگوش نر نیوزلندی تحت رژیم با کلسترول بالا (۱۱٪ رژیم غذایی) گزارش کردند که کاهش معنی دار سه ساعته در سطوح شاخص‌های خطر قلبی-عروقی همچون؛ LDL، کلسترول تام و آنژیم‌های کبدی بین دو گروه مداخله دارویی معنی دار نبود (۱۴). در تحقیقی دوسویه کور کترول شده با دارو نما، گروه مطالعاتی Mobasseri و همکاران با بررسی ۸ هفته مصرف پودر آتونم ۳۲۳ گرم در روز) توسط ۶۰ بیمار دیابتی نشان دهنده عدم اثر معنی دار بر بھبھود تری گلیسرید و کاهش جالب توجه -۵/۷٪ در کلسترول HDL در بیماران دیابتی نوع ۲ بودند (۱۳). این در حالی بود که سطوح کلسترول خوب (HDL) در مطالعه حاضر با افزایش غیرمعنی دار +۷/۱۲٪ مواجه بود. وجود تناقضات در مطالعات فوق الذکر ممکن است ناشی از عوامل اثرگذار و مداخله‌گری مانند سن، جنس، تفاوت‌های فردی، آمادگی بدنی، نوع فعالیت بدنی و طول مدت مکمل دهی باشد. چنانکه، طول دوره مصرف مکمل (سه ساعته) در مطالعه سترکی به نظر نمی‌رسد برای اعمال اثرات ضدلیپیدی مکمل شوید کافی باشد. با این حال چنین عنوان شده است که استفاده از داروهای کاهنده چربی خون همچون شوید دارای ویژگی مهارکنندگی رقابتی با آنژیم HMG-CoA ردوکتاز آنژیم کاتالیز کننده HMG-CoA به موالونات) هستند (۶). این آنژیم در مسیر سوخت و ساز موالونات آنژیم تعیین کننده سرعت واکنش‌ها است، یعنی مهار یا تسريع آن موجب کاهش یا افزایش بیوستز کلسترول می‌شود (۶). در تأیید این فرضیه، Abbasی و

یافته‌های پژوهش حاضر مبنی بر کاهش معنی دار سطوح سرمی نیم‌رخ‌های چربی (کلسترول و تری گلیسرید) متعاقب هشت هفتۀ مکمل یاری شوید و تمرینات هوایی در مردان مبتلا به هایپرلیپیدمی با نتایج تحقیق Yousofvand و همکاران و Salih Sahib و همکاران هم‌خوانی دارد (۴، ۱۲). به عنوان نمونه، Yousofvand و همکاران متعاقب تجویز ۳۰ روزه عصاره آبی-الکلی شوید با دوزهای ۲۵۰ و ۵۰۰ میلی گرم در لیتر در قالب محلول نوشیدنی نشان دهنده کاهش معنی دار میزان کلسترول و تری گلیسرید در موش‌های نر بودند (۴). همچنین، نتایج مطالعه Salih Sahib به دنبال یک کارآزمایی بالینی تصادفی آینده‌نگر نشان داد که چهار هفتۀ مصرف کپسول‌های ۵۰۰ میلی گرمی حاوی پودر خام تخم شوید (دوبار در روز) منجر به کاهش معنی دار نیم‌رخ چربی (کلسترول و تری گلیسرید) و تعدیل در شاخص آترواسکلروتیک بیماران هایپرلیپیدمیک می‌شود (۱۲). شایان ذکر است که سایر شاخص‌های لیپیدی مورد مطالعه در این تحقیق (کلسترول LDL و HDL) نیز در مقایسه با حالت پایه تغییر داشتند، اگرچه این تغییرات از لحاظ آماری معنی دار نبود. در حمایت از این یافته‌ها، Mobasseri و همکاران و Setorki و همکاران اظهار داشتند که مصرف شوید اثر قابل توجهی بر روی شاخص‌های لیپیدی ندارد (۱۳، ۱۴). چنانکه، Setorki و همکاران با مقایسه اثرات عصاره هیدروالکلی شوید (۲۰۰ میلی گرم در وزن بدن) و لواستاتین (۱۰ میلی گرم در وزن بدن) بر پروفایل لیپیدی

کردند که مصرف روزانه شوید به میزان ۱۰۰ میلی گرم بر کیلوگرم وزن بدن به مدت شش هفته اثر معنی داری بر کاهش سطوح HDL، VLDL، TG و کلسترول تام و افزایش سطوح Mosh های صحرایی دیابتی دارد. تمرین شنا به همراه مصرف عصاره نسبت به مصرف عصاره به تهایی، اثر بیشتری بر کاهش LDL و کلسترول تام داشت. به علاوه، تأثیر تمرین شنا به همراه مصرف عصاره نسبت به مصرف عصاره به تهایی و تمرین شنا بر افزایش HDL بیشتر بود (۲). Rashid Lamir و همکاران اظهار داشتند که مصرف روزانه ۹۰۰ میلی گرم آنتوم گراوئولنس همراه با سه جلسه ۵۵ دقیقه‌ای تمرین هوایی با شدت ۷۵-۶۰٪ حداکثر ضربان قلب (HRmax) به مدت چهار هفته، اثر معنی داری بر کاهش کلسترول، تری‌گلیسرید، LDL، VLDL، گلوکز ناشتا و شاخص توده بدن و همچنین افزایش HDL زنان مبتلا به دیابت نوع ۲ دارد (۱۷). همچنین، Ketabi Poor و همکاران به دنبال طرحی نیمه تجربی در ۲۹ زن یائسه غیرورزشکار چاق گزارش نمودند که هشت هفته تمرین هوایی در آب (سه جلسه در هفته و هر جلسه با شدت فراینده ۵۰ تا ۷۰ درصد ضربان قلب بیشینه به مدت ۴۵ دقیقه) موجب کاهش برخی عوامل خطرزای قلبی-عروقی به ویژه کاهش در آپوپروتئین B، ApoB/ApoA، LDL، VLDL و افزایش میزان ApoA می‌گردد (۱۸). از سوی دیگر، گروه مطالعاتی Talebi-Garakani در تنافس با نتایج پژوهش حاضر عنوان نمودند که ۴ هفته تمرین مقاومتی اثر معنی داری بر غلاظت ApoA-I و ApoB سرم که به ترتیب آپولیپوپروتئین‌های اصلی کلسترول-HDL و کلسترول-LDL ندارد و منجر به کاهش نیم رخ چربی موش‌های صحرایی دیابتی شده با استریتوزوسین نیز نمی‌گردد (۸). همچنین، Mokhtari و همکاران گزارش کردند که ۱۲ هفته پیاده روی پیش‌رونده با شدت ۷۰-۶۰٪ حداکثر ضربان قلب بیشینه اثر معنی داری بر بهبود نیم رخ چربی زنان مبتلا به دیابت نوع ۲ ندارد (۹). به هر حال، در رابطه با اثر فعالیت‌های HDL ورزشی بر نیم رخ‌های چربی می‌توان این‌گونه بیان نمود که در یک نقش بسیار مهم را در مسیر حمل و نقل کلسترول ایفا می‌کند و میزان آن با توجه به حجم و شدت تمرین افزایش می‌یابد (۹). همچنین در چندین گزارش موجود افزایش HDL پلاسمایی با کاهش وزن و تری‌گلیسرید پلاسمایی بدن مرتبط بوده که در ظاهر این تغییرات باعث بهبود حساسیت به انسولین نیز می‌شود. یکی از علت‌های احتمالی افزایش HDL افزایش فعالیت آنزیم LPL لیپوپروتئین‌لیپاز (LPL) در نتیجه فعالیت ورزشی است. آنزیم LPL در تبدیل VLDL به HDL مؤثر بوده و با افزایش فعالیت آن، سطح HDL نیز افزایش می‌یابد. از طرفی، لسیتین-کلسترول آسیل ترانسفراز (LCAT) آنزیم مسئول انتقال استر به کلسترول HDL می‌باشد (۸،۹). در صورتی که نشان داده شده است که LCAT متعاقب تمرینات ورزشی افزایش یافته و منجر به افزایش آنزیم

همکاران اثرات مصرف یک ماه مقادیر ۱۰۰ و ۲۰۰ میلی گرم در وزن بدن عصاره هیدروالکلی آنتوم گراوئولنس و ۱۰۰ و ۲۰۰ میلی گرم قرص شوید را در همسترهای نر سوری تغذیه شده با رژیم غذایی کلسترول بالا را بررسی و عنوان کردند که، نیم رخ چربی، گلوکز خون و آنزیم‌های کبدی بطور معنی داری به دنبال مصرف عصاره و قرص شوید کاهش می‌یابد (۶). به علاوه، تغییر در سطح بیان ژن mRNA آنزیم ۳-هیدروکسی-۳-متیل‌گلوتاریل-کوآنزیم A (HMG-CoA) ردوکتاز به دنبال ارزیابی توسط واکنش زنجیره‌ای پلی‌مراز (PCR) و میزان فعالیت آن توسط روش اسپکتروفوتومتری، به طور قابل توجهی در حیوانات دریافت‌کننده ۲۰۰ میلی گرم در وزن بدن شوید کاهش داشت (۵،۱۲). محققان چنین بیان می‌کنند که اثرت هیپولیپیدمیک عصاره شوید ناشی از ترکیبات فلاونوئیدی موجود در آن یعنی کوئرستین میانجیگری می‌شود. ثابت شده است که کوئرستین و ایزورامتنین می‌توانند سطح تری‌گلیسرید تام را پائین بیاورند. بخشی از این اثرات کاهنده کوئرستین ناشی از کاهش تولید ApoB-100 توسط کید است. کاهش تولید ApoB-100 منجر به کاهش VLDL و در نتیجه تری‌گلیسرید تام خواهد شد (۲-۵). همچنین، Yazdanparast و همکاران پیشنهاد کردند که برخی ترکیبات موجود در آنتوم همانند کاروتین، لیمونن یا آلفا-فلاندرون مسئول ویژگی‌های هیپولیپیدمیک آنتوم هستند و به احتمال زیاد از طریق کاهش فعالیت آسیل کوآکریوکسیلаз (ACC) یا HMG-CoA ردوکتاز به عنوان آنزیم‌های کلیدی در متابولیسم اسیدچرب و کلسترول، اعمال ضدلیپیدمیک خود را اعمال می‌کنند (۱۵). اخیراً نیز Takahashi و همکاران مطابق تجویز رژیم غذایی با چربی بالا گزارش کردند که مصرف چهار هفت مکمل عصاره دانه شوید منجر به کاهش تری‌گلیسرید پلاسمایی، سطوح گلوکز خون و افزایش در بیان سطوح mRNA ژن گیرنده آلفای فعال شده توسط تکثیردهنده‌های پرآکسی‌زوم (PPAR- α) می‌شود (۱۶). در حال حاضر به خوبی ثابت شده است که PPAR- α با افزایش در فعال‌سازی میزان بیان mRNA ژن‌های وابسته به اکسایش اسیدهای چرب در هپاتوسیت‌ها، منجر به سرکوب تجمع لیپیدهای کبدی و کاهش سطوح چربی‌های در گردش می‌شود (۱۶). همچنین، نتایج تحقیق حاضر حاکی است که ترکیب مکمل دهی شوید همراه با فعالیت منظم هوایی دارای اثرات تجمیعی بمراتب بیشتری در کاهش شاخص‌های نامطلوب لیپیدی در مقایسه با مصرف شوید به تهایی و انجام فعالیت هوایی به تهایی است. در این راستا، یافته‌های مطالعات Askari و همکاران و Rashid Lamir و همکاران بر اثرات مظاعف مکمل دهی در تعامل با فعالیت‌های بدنی بر نیم رخ‌های لیپیدی دلالت دارد (۲،۱۷). به عنوان نمونه، Askari و همکاران با بررسی عصاره آبی-الکلی شوید همراه با تمرین شنا بر نیم رخ‌های چربی موش‌های صحرایی مبتلا به دیابت گزارش

بدین‌وسیله مراتب قدردانی خود را از ریاست مرکز تحقیقات علوم تغذیه دانشگاه علوم پزشکی تبریز و افراد شرکت کننده در تحقیق اعلام می‌دارند.

ملاحظات اخلاقی: مقاله حاضر دارای کد اخلاق در پژوهش از کمیته اخلاق در پژوهش دانشگاه علوم پزشکی تبریز می‌باشد.

منافع متقابل: مؤلف اظهار می‌دارد که منافع متقابلی از تالیف یا انتشار این مقاله ندارد.

منابع مالی: حمایت مالی از این طرح تحقیقاتی از سوی مرکز تحقیقات علوم تغذیه دانشگاه علوم پزشکی تبریز صورت پذیرفته است.

مشارکت مؤلفان: استاد رحیمی ع، طراحی و تحلیل نتایج مطالعه و همچنین جمالی ب، اجرا و تالیف مقاله را بر عهده داشت. آمقانی آ، مسئول ثبت‌نام و تخصیص تصادفی و مکلف نموده آزمودنی‌ها به شرکت در مداخله بود. تمام همکاران نسخه نهایی را مطالعه و مورد تأیید قرار داده‌اند.

LPL می‌شود. با این حال چنین پیشنهاد شده است که برای افزایش سطوح کلسترول HDL همراه با افزایش در فعالیت LPL به هزینه ارزشی برابر با ۱۱۰۰ کیلوکالری نیاز است (۱۷).

نتیجه‌گیری

به هر حال، با توجه به یافته‌های مطالعه انجام شده چنین می‌توان نتیجه گرفت که احتمالاً مصرف هشت هفتۀ مکمل شوید همراه با تمرینات منظم هوایی (با دارا بودن ویژگی ضدلیپیدمیک در مردان مبتلا به هایپرلیپیدمی) بتواند از تغییرات نامطلوب شاخص‌های مربوط به خطر قلبی-عروقی جلوگیری کند. از اینرو، با در نظر گرفتن جوانب احتیاط می‌توان به افراد بیمار در معرض خطر و حتی افراد فعلی پیشنهاد کرد که به منظور جلوگیری و کاهش بیماری‌های قلبی-عروقی از مکمل عصارۀ گیاه شوید در کنار فعالیت‌های منظم هوایی استفاده نمایند.

قدرتدانی

مقاله حاضر بخشی از یافته‌های طرح تحقیقاتی مصوب دانشکده تغذیه دانشگاه علوم پزشکی تبریز می‌باشد. نویسنده‌گان

References

1. Al-Snafi A. The pharmacological importance of anethum graveolens, A review. *Inte J Pharm* 2014; **6**(4): 20-32. doi:10.1155/2016/1098916
2. Askari M, Nazari H, Rahimizadeh S, Sadeghimansorkhani H, Daneshpayeh N. The Effect of the Hydroalcoholic Extract of Dill (Anethum graveolens) Seed on Lipid Profile in Diabetic Male Rats. *Armaghane Danesh* 2016; **21**(5): 446-454. (Persian).
3. Piri M, Shahin M S, Oryan S. The effects of anethum on plasma lipid and lipoprotein in normal and diabetic rats fed high fat diets. *Shahrekord University Medical Sciences J* 2010; **11**(4): 15-25. (Persian).
4. Yousofvand N, Soltany A. Effects of hydro alcoholic extract of dill (Anethum graveolens) on the serum levels of blood lipids cholesterol, triglycerides, LDL and HDL in male NMRI mice. *J Pharm Chem Biol Sci* 2015; **3**(1): 114-121.
5. Kazemi T, Panahi shahri H, Hossaini farash M, Darabi M, Kashanian M, Akbari H. Effect of Dill pearl on serum lipids. *Arak Medical University J* 2006; **8**(3): 35-41. (Persian).
6. Abbasi Oshaghi E, Khodadadi I, Saidijam M, Yadegarazari R, Shabab N, Tavilani H, et al. Lipid lowering effects of hydroalcoholic extract of Anethum graveolens l. and dill tablet in high cholesterol fed hamsters. *Cholesterol* 2015; **20**(15): 958560. doi:10.1155/2015/958560
7. Ghafari G, Bolboli L, Rajabi A, Saedmochshi S. The effect of 8 weeks aerobic training on predictive inflammatory markers of atherosclerosis and lipid profile in obese elderly women. *SJIMU* 2016; **23**(7): 144-154. (Persian).
8. Talebi-Garakani E, Safarzade A. The effect of resistance training intensity on serum Apoai concentration in streptozotocin-induced diabetic rats. *Iranian J Endo Met* 2013; **15**(2): 183-189. (Persian).
9. Mokhtari F, Esfajani F, Kargar Fard M. The effect of combined aerobic exercise and barley β -glucan on lipid profile and glucose blood of women with diabet type two. *IJDLD* 2014; **13**(4): 340-351.
10. Ehrman J K. ACSM's resource manual for guidelines for exercise testing and prescription. 7th ed. Philadelphia, Wolters kluwer health, lippincott williams & wilkins. USA, 2013; PP: 200-284.
11. Kalantari H, Rezaei M, Salehcheh M, Moosavi M. Determination of the mutagenicity potential of

- dillsun herbal medicine by single cell gel electrophoresis in rat hepatocytes. *Jundishapur J Nat Pharm Prod* 2013; **8**(2): 55-59.
12. Salih Sahib A, Hashim Mohammad I, Al-Gareeb A. Effects of Anethum graveolens leave powder on lipid profile in hyperlipidemic patients. *Spatula DD* 2012; **2**(3): 153-158. doi: 10.5455/spatula.20120907123553
13. Mobasseri M, Payahoo L, Ostadrahimi A, Bishak Y K, Jafarabadi M A. Anethum graveolens supplementation improves insulin sensitivity and lipid abnormality in type 2 diabetic patients. *Pharm Sci* 2014; **20**(2): 40-45.
14. Setorki M, Shahinfard N, Ansari R, Forouzandeh Z, Asgharzadeh S, Rafieian-Kopaei M. Comparison between the Effects of Hydro alcoholic Extract of Dill and Statins on Lipid Profile. *J Kerman University Medical Sci* 2013; **20**(2): 158-168. (Persian).
15. Yazdanparast R, Bahramikia S. Evaluation of the effect of Anthem graveolens L. Crude extracts on serum lipids and lipoproteins profiles in hypercholesterolaemic rats. *DARU J Pharma Scie* 2008; **16**(2): 88-94. (Persian).
16. Takahashi N, Yao L, Kim M, Sasako H, Aoyagi M, Shono J, et al. Dill seed extract improves abnormalities in lipid metabolism through peroxisome proliferator-activated receptor- α (PPAR- α) activation in diabetic obese mice. *Mol Nutr Food Res* 2013; **57**(7): 1295-1299. doi: 10.1002/mnfr.201200767
17. Rashid Lamir A, Gholamian S, Hashemi Javaheri A A, Dastani M. The effect of 4-weeks aerobic training according with the usage of Anethum Graveolens on blood sugar and lipoproteins profile of diabetic women. *Annals Biol Research* 2012; **3**(9): 4313-4319.
18. Ketabi Poor S M, Koushkie Jahromi M. Effect of Aquatic Aerobic Training on Serum A and B Apoproteins and Lipoproteins in Obese and Normal Weight Menopause Women. *Arak Med University J* 2014; **17**(8): 44-52. (Persian).

The effect of eight weeks high intensity intermittent training (HIIT) on the expression of miRNA-1 and miRNA-21 in sedentary adolescent boys

Ramin Amirsasan^{1*}, Mostafa Armanfar¹, Javad Hesari²

¹Department of Exercise Physiology, School of Physical Education and Sport Science, University of Tabriz, Tabriz, Iran

²Department of Food Science and Technology, School of Agriculture, University of Tabriz, Tabriz, Iran

*Corresponding author; E-mail: amirsasan@tabrizu.ac.ir

Received: 12 July 2017 Accepted: 3 September 2017 First Published online: 4 July 2019

Med J Tabriz Uni Med Sciences Health Services. 2019 August- September; 41(3):16-23

Abstract

Background: The microRNA (miRNA) is a new class of biomarkers that are involved in many biological processes and gene expression. The present study examined the effect of eight weeks of high intensity intermittent training (HIIT) on the levels of miRNA-1 and miRNA-21 in adolescent boys.

Methods: In this experimental study, 22 adolescent boys in a randomly were allocated in two equal groups: HIIT group and control group. Training programs were conducted 3-4 times per week for 8 weeks. The HIIT program consisted of 6-8 running sprints (30-60 seconds) with a 3.5-4 min recovery. Mentioned indicators assessments were performed 18-24 hours pre and post intervention.

Results: The miRNA-1 was significantly higher after 8 week HIIT than they were pre-exercise training (pre-HIIT vs. post-HIIT) ($P<0.05$). However, miRNA-21 was significantly lower after the training period ($P<0.05$).

Conclusion: The miRNA-1 and miRNA-21 can be used as an indicator to assess the adaptations associated with exercise training.

Keyword: High Intensity Intermittent Training, Mirna-1, Mirna-21, Adolescent Boys.

How to cite this article: Amirsasan R, Armanfar M, Hesari J. [The effect of eight weeks high intensity intermittent training (HIIT) on the expression of miRNA-1 and miRNA-21 in sedentary adolescent boys]. Med J Tabriz Uni Med Sciences Health Services. 2019 August- September; 41(3):16-23. Persian.

مقاله پژوهشی

تأثیر هشت هفته تمرین تناوبی شدید (HIIT) بر بیان miRNA-1 و miRNA-21 پسران نوجوان غیرفعال

رامین امیرسازان^{*}، مصطفی آرمان فر^۱، جواد حصاری^۲

گروه فیزیولوژی ورزشی، دانشکده تربیت بدنی و علوم ورزشی، دانشگاه تبریز، تبریز، ایران
گروه صنایع غذایی، دانشکده کشاورزی، دانشگاه تبریز، تبریز، ایران
^{*}نویسنده مسئول؛ ایمیل amirsasan@tabrizu.ac.ir

دریافت: ۱۳۹۶/۴/۲۱ پذیرش: ۱۳۹۶/۶/۱۲ انتشار برخط: ۱۳۹۸/۴/۱۳
مجله پژوهشی دانشگاه علوم پزشکی و خدمات بهداشتی - درمانی تبریز. مرداد و شهریور ۱۳۹۸؛ ۴۱(۳):۲۳-۱۶

چکیده

زمینه: microRNA (miRNA) دسته جدیدی از شاخص‌های زیستی هستند که در بسیاری از فرآیندهای زیستی و بیان ژن درگیر هستند. بنابراین، مطالعه حاضر با هدف بررسی تأثیر هشت هفته تمرین تناوبی شدید (High Intensity Intermittent Training, HIIT) بر غلظت miRNA-1 و miRNA-21 پسران نوجوان انجام شد.

روش کار: در این مطالعه نیمه تجربی، ۲۲ پسر نوجوان (۱۵-۱۷ ساله) انتخاب و پس از همگن‌سازی بر اساس سن، برخی شاخص‌های پیکرشناختی و میزان آمادگی هوازی به صورت تصادفی در دو گروه کترول و تمرین جایگزین شدند. سپس، هشت هفته (هر هفته ۳-۴ جلسه) تمرین HIIT را اجرا کردند که هر جلسه تمرین شامل ۶-۸ تکرار دویden ۳۰-۶۰ ثانیه‌ای با شدت تمام و ۳/۵-۴ دقیقه استراحت بین هر تکرار بود. در نهایت، مقادیر هر یک از شاخص‌های فوق الذکر، ۱۸-۲۴ ساعت قبل و بعد از مداخله تمرینی اندازه‌گیری شد.

یافته‌ها: پس از هشت هفته تمرین HIIT، غلظت پایه miRNA-1 نسبت به دوره پیش از تمرین افزایش یافت ($P < 0.05$), در حالی که غلظت miRNA-21 کاهش یافت ($P > 0.05$).

نتیجه‌گیری: بر اساس نتایج مطالعه حاضر به نظر می‌رسد استفاده از تغییرات miRNA-1 و miRNA-21 ممکن است شاخص مناسبی برای ارزیابی سازگاری‌های مرتبط با تمرینات ورزشی باشد.

کلید واژه‌ها: تمرینات تناوبی شدید، miRNA-1، miRNA-21، پسران نوجوان.

نحوه استناد به این مقاله: امیرسازان ر، آرمان فر، حصاری ج. تأثیر هشت هفته تمرین تناوبی شدید (HIIT) بر بیان miRNA-1 و miRNA-21 پسران نوجوان غیرفعال. مجله پژوهشی دانشگاه علوم پزشکی و خدمات بهداشتی درمانی تبریز. ۱۳۹۸؛ ۴۱(۳):۲۳-۱۶.

حق تألیف برای مؤلفان محفوظ است.

این مقاله با دسترسی آزاد توسط دانشگاه علوم پزشکی و خدمات بهداشتی - درمانی تبریز تحت مجوز کریتو کامنز (Creative Commons License) منتشر شده که طبق مفاد آن هرگونه استفاده تنها در صورتی مجاز است که به اثر اصلی به نحو مقتضی استناد و ارجاع داده شده باشد.

مقدمه

سوخت و ساز کربوهیدرات و چربی عضلات اسکلتی در مقایسه با تمرینات استقامتی تداومی سنتی خواهد شد (۴). استفاده از برنامه‌های تمرینی کوتاه مدت که بتواند سازگاری‌های عملکردی مطلوب را در کوتاه‌ترین زمان ممکن به وجود آورد از اهمیت بسیاری برخوردار است. با این حال، در مقایسه با حجم گستردۀ مطالعاتی که سازگاری‌های فیزیولوژیکی به تمرینات استقامتی را در افراد غیر ورزشکار و ورزشکار شرح داده‌اند، مطالعات نسبتاً اندکی، پاسخ‌های عملکردی و فیزیولوژیکی به تمرینات HIIT را بررسی کرده‌اند. علاوه بر تلاش محققان برای استفاده از روش‌های تمرینی دارای کارایی بالاتر، آنها به دنبال دستیابی به شاخص‌ها و روش‌های نوینی برای ارزیابی مناسب سازگاری با تمرینات ورزشی هستند (۵). در این راستا، microRNA‌ها یا به اختصار miRNA‌ها مولکول‌های RNA کوتاهی با طول ۱۹ تا ۲۳ نوکلئوتید هستند که از طریق کترل بیان ژن‌های مختلف به عنوان تنظیم‌کننده‌های اصلی گستره وسیعی از فرآیندهای بیولوژیکی شامل تکامل اولیه سلولی، تمایز سلولی، تکثیر و آپوپتوز عمل می‌کنند. بنابراین تغییر بیان miRNA‌ها نقش مهمی را در فرآیندهای فیزیولوژیک و سوخت و سازی مختلف از جمله بسیاری از سازگاری‌ها با تمرینات ورزشی و بیماری‌های مختلف (از جمله سرطان) ایفا می‌کند. از این رو مطالعات بسیاری در جهت بررسی بیولوژیک و عملکرد این دسته از RNA‌ها انجام شده است. همین‌طور تلاش‌های چشم‌گیری به منظور توسعه روش‌های تشخیص و سنجش آنها صورت گرفته است (۶). میزان جفت شدن mRNA با هدف‌ش عامل اصلی در تشخیص ساز و کار mRNA-miRNA است. در صورتی که کنش متقابل بین mRNA-miRNA شده تقریباً به صورت کامل با miRNA جفت شود، شکسته و تجزیه می‌شود در غیر این صورت از ترجمه آن جلوگیری می‌شود. miRNA اصولاً از ناحیه 3'-UTR به زن هدف متصل می‌شود، با این حال بررسی‌ها نشان داده است که miRNA‌ها می‌توانند به 5'-UTR و توالی‌های کد کننده نیز متصل شوند اما اطلاعات کمی در این زمینه در دسترس است. بنابراین یک miRNA ممکن است صدها miRNA را تنظیم کند و در نتیجه شبکه‌هایی از بیان ژن را تحت تاثیر قرار دهد. آن چه واضح است این است که بیولوژی miRNA بسیار پیچیده و در عین حال سازمانی یافته در جهت تنظیم بیان شبکه‌های ژنی مختلف است. miRNA‌ها نقش مهمی را در همه فرآیندهای زیستی شامل تعیین سرنوشت سلولی، تکثیر و مرگ سلولی، ایفا می‌کنند. علاوه بر این فرآیندهای ضروری، miRNA‌ها در فعالیت‌های سلولی مختلف مانند پاسخ ایمنی، ترشح انسولین، ستنز میانجی‌های عصبی و ریتم شباهروزی نقش دارند. miRNA‌ها همچنین می‌توانند مسیرهای انکوژنی یا سرکوبگر تومورها را کنترل کنند. این مسئله در حالی

تمرین تناوبی شدید (HIIT) از روش‌های جدید تمرینات ورزشی است که در سال‌های اخیر مورد توجه ورزشکاران، مریبان و پژوهشگران علوم ورزشی قرار گرفته است. اگرچه تعریفی از HIIT (که مورد توافق تمام محققان باشد) وجود ندارد، معمولاً تمرینات HIIT به جلسات تکراری نسبتاً کوتاه و متناوب تمرینی گفته می‌شود که اغلب با حداکثر تلاش و توان بدنی انجام می‌شود و یا در شدتی نزدیک به شدت اکسیژن مصرفی بیشینه ($VO_{2\max}$) انجام می‌شود (یعنی در حدود بیشتر از ۹۰ درصد $VO_{2\max}$) (۱). بسته به شدت فعالیت ورزشی، یک و هله‌های فعالیت ممکن است چند ثانیه تا چند دقیقه طول بکشد، که و هله‌های ایکدیگر استفاده از چند دقیقه استراحت یا فعالیت با شدت پایین از یکدیگر جدا می‌شوند (۲). HIIT در و هله‌های تکراری کوتاه مدت تا متوسط فعالیت (۱۰ ثانیه تا ۵ دقیقه) با شدتی بالاتر از آستانه بی‌هوایی و لاكتات اجرا می‌شود که با دوره‌های استراحت فعال کم شدت یا غیر فعال از یکدیگر جدا می‌شود تا بازگشت به حالت اولیه نسبی را فراهم سازد. بهینه‌سازی HIIT به بهینه‌کردن شدت، تعداد و هله‌های تمرینی، به علاوه شکل فعل یا غیرفعال و مدت استراحت بین و هله‌های تمرینی باز می‌گردد. در پژوهش‌های مختلف، تاثیر تمرینات HIIT بر دامنه وسیعی از متغیرهای عملکردی از جمله $VO_{2\max}$ (۲)، آستانه بی‌هوایی، آستانه لاكتات (LT)، آستانه تهويه‌ای (VT) و اولین نقطه تجمع لاكتات در خون (OBLA) در مقایسه با سایر اشکال تمرینی مورد ارزیابی قرار گرفته است. برای مثال، در پژوهشی Burgomaster و همکاران (۲۰۰۵)، نشان دادند که شش جلسه تمرین تناوبی سرعتی (آزمون وینگیت ۳۰ ثانیه‌ای با ۴ دقیقه استراحت بین هر و هله آزمون) به مدت دو هفته، موجب افزایش فعالیت سیترات سستاز و ظرفیت استقامتی طی دوچرخه‌سواری در حدود ۸۰ درصد $VO_{2\max}$ شده است (۳). همچنین، نتایج مطالعات انجام شده، نشان می‌دهد که انجام تمرینات HIIT برای مدت زمان طولانی‌تر می‌تواند باعث بهبود عملکرد، به همراه تغییر قابل توجه برخی متغیرهای فیزیولوژیک از قبیل $VO_{2\max}$ ، VT1، VT2 و LT (۱). $Gibala$ و همکاران، با مقایسه تاثیر شش جلسه HIIT ۳۰×۴-۶ ثانیه در ۲۵۰ درصد $VO_{2\text{peak}}$ ؛ ۴۰ دقیقه استراحت بین هر و هله $VO_{2\max}$ (در دو گروه از مردان گزارش کردند که زمان تمرینی) و تمرین استقامتی تداومی (۱۲۰-۱۴۰ دقیقه دویدن در ۶۵ درصد $VO_{2\max}$) در دو گروه از مردان دوچرخه سواری در هر دو گروه کاهش یافت. اجرای تایم تریل دوچرخه سواری در هر دو گروه کاهش یافت. همچنین، نمونه‌برداری عضلانی افزایش در ظرفیت اکسایشی عضلانی را نشان داد. افزایش در ظرفیت بافری عضلاتی و ظرفیت گلیکوژنی بین دو گروه مشابه بود. نتایج این مطالعه نشان می‌دهد که با وجود اختلاف در حجم تمرین برای دو گروه، تمرینات تناوبی سرعتی باعث سازگاری‌های سریع‌تری در برخی اجزای

باشد. با این حال تاکنون مطالعه‌ای در این رابطه صورت نگرفته است. بنابراین، مطالعه حاضر با هدف بررسی تاثیر هشت هفته تمرین تناوبی شدید (HIIT) بر غلظت miRNA-1 و miRNA-21 و پسران نوجوان غیرفعال صورت گرفت.

مواد و روش‌ها

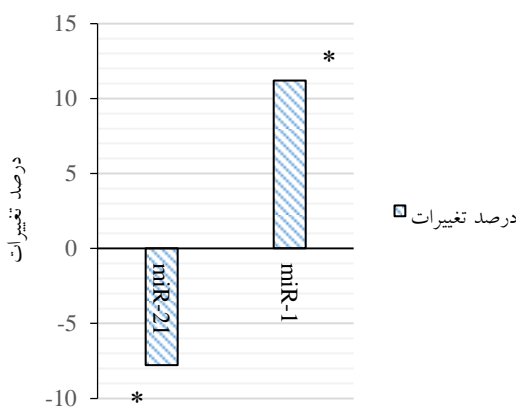
در مطالعه حاضر از میان دانشآموزان پسر نوجوان شهر خرم‌آباد، پس از شرح کامل موضوع، اهداف و روش تحقیق و پرسش و پاسخ‌های متعدد، با در نظر گرفتن معیارهای سن و شاخص‌های پیکربندی شامل قد، وزن و درصد چربی انتخاب شدند. حجم نمونه مناسب بر اساس مطالعات قبلی، در سطح معنی داری (آلفا یا خطای نوع اول) پنج درصد و توان (بتا یا خطای نوع دوم) تعیین شد. سپس تعداد ۲۲ نوجوان غیرفعال سالم و واجد شرایط با در نظر گرفتن امکان انصراف داوطلبین پس از تکمیل فرم رضایت آگاهانه توسط والدین و پرسشنامه سلامتی به عنوان آزمودنی در نظر گرفته شدند. سپس، با حضور در محل آزمایشگاه فیزیولوژی ورزشی شاخص‌های قد، وزن و درصد چربی آزمودنی‌ها اندازه‌گیری شد. پیش از شروع تمرینات توصیه‌هایی در مورد متعادل بودن و عده‌های غذایی و خواب شبانه کافی (۸-۹ ساعت) به آزمودنی‌ها و والدین شان داده شد. در ادامه آزمودنی‌ها به صورت تصادفی و بر اساس غلاظت IGF-I و $VO_{2\text{max}}$ و توان بی‌هوایی اوج در دو گروه همسان ۱۱ نفره تمرین HIIT و کنترل (بدون فعالیت) جایگزین شدند. همه این افراد با هدف آشناسازی و افزایش آمادگی اولیه در یک برنامه تمرین تداومی هوایی (با شدت ۶۵-۶۰ درصد ضربان قلب ذخیره به مدت ۳۰-۴۵ دقیقه، ۳ جلسه در هفته) به مدت دو هفته شرکت کردند. سپس آزمودنی‌ها در یک برنامه هشت هفت‌های (هر هفته شامل ۳-۴ جلسه تمرین) تمرین HIIT شرکت کردند. هر جلسه برنامه تمرین تناوبی بی‌هوایی شامل ۱۰ دقیقه گرم کردن (شامل حرکات کششی، درجا زدن و حرکات جنبشی)، ۶-۸ تکرار دویden ۳۰-۶۰ ثانیه‌ای با شدت تمام و ۳/۵-۴ دقیقه استراحت بین هر تکرار و بخش بازگشت به حالت اولیه بود. در اولین هفته برنامه تمرینی تناوبی شدید، آزمودنی‌ها شش مرتبه و هر مرتبه به مدت ۳۰ ثانیه با تمام توان می‌دویden. پس از چهار هفته به تدریج مدت زمان دویden به ۴۵ ثانیه و در نهایت در دو هفته نهایی تمرینات به ۶ تا ۸ تکرار ۶۰ ثانیه‌ای تبدیل گردید. طی هر جلسه تمرینی ابتدا ۳-۴ تکرار دویden با تمام توان با ۳/۵ دقیقه استراحت بین هر تکرار اجرا شد و سپس آزمودنی‌های نوجوان ۵ دقیقه استراحت داشته و ۳-۴ تکرار دویden بعدی را اجرا نمودند (۱۴). رژیم غذایی روزانه آزمودنی‌ها طی دوره تحقیق (با استفاده از پرسشنامه‌ی یادآمد تغذیه‌ای ۲۴ ساعته) کنترل شد. همه آزمودنی‌های در حین تمرینات بدنه هیچ محدودیتی در رابطه با دسترسی و نوشیدن آب نداشتند. خون‌گیری

است که خود miRNA ها می‌توانند به وسیله آنکوژن‌ها یا سرکوبگرهای تومور تنظیم شوند (۷). در راستای بررسی پاسخ و سازگاری این شاخص با تمرینات ورزشی، چندین مطالعه تاثیر تمرینات ورزشی بر پاسخ و سازگاری miRNA را بررسی و نتایج متفاوتی را گزارش کرده‌اند (۸، ۹). miRNA-1 یکی از اصلی ترین miRNA هایی است که در مطالعات متعددی به عنوان شاخص ارزیابی سازگاری با تمرینات ورزشی و بررسی پاسخ‌های زیستی به تمرینات ورزشی مورد ارزیابی قرار گرفته است. به عنوان مثال، McCarthy و همکاران (۲۰۰۷) نشان دادند که در اثر یک دوره اضافه‌بار عملکردی میزان بیان miRNA-1 به طور معنی‌داری در عضلات نعلی و پلاتلتاریس کاهش می‌یابد (۱۰). با این حال، Drummond و همکاران (۲۰۰۸) گزارش کردند که میزان بیان miRNA-1 تقریباً ۳-۶ ساعت پس از فعالیت ورزشی در نمونه‌های انسانی جوان کاهش می‌یابد، اما در نمونه‌های مسن تغییر معنی‌داری ندارد، هرچند علاوه بر متغیر مستقل فعالیت بدنه در این تحقیق مصرف اسیدهای آمینه شاخه دار نیز تجویز شد (۱۱). در پژوهش دیگری گزارش شد که یک جلسه فعالیت ورزشی استقامتی باعث افزایش معنی‌دار بیان miRNA-1 در عضلات فعل می‌شود (۱۲). Nielsen در نمونه‌های انسانی مشاهده کرد که بیان miRNA-1 در بلا فاصله و ۲۴۰ دقیقه پس از یک جلسه تمرین استقامتی تحت تاثیر قرار نمی‌گیرد اما در ۶۰ دقیقه بعد از تمرین به میزان معنی‌داری افزایش می‌یابد، در حالی که بعد از ۱۲ هفته تمرین استقامتی این روند مقداری متفاوت بود به این صورت که میزان بیان miRNA-1 در همان زمان‌های ذکر شده، تحت تاثیر همان جلسه حد استقامتی قرار نمی‌گیرد (۱۳). همچنین، miRNA-21 یکی دیگر از اجزای این گروه از متغیرها است به طور گسترده مورد مطالعه قرار گرفته است. miRNA-21 باعث تحریک تکثیر و تهاجم سلولی شده و Apoptosis سلولی را مهار می‌کند. بنابراین این مولکول به عنوان یک Oncomir شناخته می‌شود. همچنین افزایش این miRNA باعث کاهش بیان پروتئین‌های بازدارنده تومور و افزایش بیان پروتئین‌های آنکوژن می‌شود. با توجه به افزایش بیان این آنکوژن در بافت‌های سرطانی می‌توان از آن برای تشخیص به موقع و پیشگیری از متابولیزه بهره بردن و چون این miRNA بر سلول‌های تومور اثر گذاشته و خاصیت آنکوژنی و ضد آپوپتوزی دارد باعث اختلال در مسیر آپوپتوز می‌گردد که به نفع بقای سلول سرطانی می‌باشد. نقش ضد آپوپتوزی این بیومارکر تا حدی نامشخص باقی مانده است؛ با این وجود، با توجه به اطلاعات فوق تحقیقات روی آن می‌تواند چشم‌اندازی در تشخیص مراحل اولیه و درمان سرطان باشد (۷). همچنین، باید خاطر نشان شود که تاثیر تمرینات HIIT در دوره نوجوانی و پیش از بلوغ ممکن است اثرات مهمی بر سطح سلامتی و دستیابی به سقف تعیین شده توسط عوامل ژنتیکی داشته

شاپیرو بررسی و پس از تایید طبیعی بودن توزیع داده‌ها تفاوت‌های درون گروهی و بین گروهی با استفاده از آزمون‌های پارامتریک موردن ارزیابی قرار گرفت. در جدول شماره ۱ مشخصات پیکرشناختی آزمودنی‌ها ارائه شده است. به طور کلی، نتایج مطالعه حاضر نشان داد که تفاوت بین میانگین و دامنه تغییرات miRNA-1 و miRNA-21 قبل و بعد از هشت هفته تمرین HIIT معنی‌دار بوده است. همچنین، بیان miRNA-21 به طور معنی‌داری کاهش یافته است، در حالی که miRNA-1 به طور معنی‌داری افزایش یافته است ($P<0.05$) (نمودار ۱). میانگین و دامنه تغییرات miRNA-1 و miRNA-21 گروه کنترل و HIIT تفاوت معنی‌داری نشان نداد، اما پس از هشت هفته تفاوت بین گروه HIIT و کنترل دامنه تغییرات miRNA-1 و miRNA-21 معنی‌دار بود.

جدول شماره ۱: مشخصات آنتropومتریک و فیزیولوژیک آزمودنی‌ها (هر گروه ۱۱ نفر)

انحراف استاندارد	میانگین	مشخص‌ها
۰/۶	۱۵/۶	سن (سال)
۱۵/۱	۶۲/۷	وزن (کیلوگرم)
۳/۹	۱۶۹	قد (سانتی‌متر)
۳/۳	۱۷/۹	درصد چربی (%)



نمودار ۱: تغییرات بین miRNA-1 و miRNA-21 قبل و بعد از تمرینات HIIT
* معنی‌داری درون گروهی در سطح ($P<0.05$).

بحث

نتایج مطالعه حاضر نشان داد که تفاوت بین میانگین و دامنه تغییرات غلظت miRNA-1 و miRNA-21 قبل و بعد از هشت هفته تمرین HIIT معنی‌دار بوده و غلظت مقادیر پایه سرمی miRNA-21 به طور معنی‌داری کاهش و غلظت miRNA-1 به طرز معنی‌داری افزایش یافته است. از این‌رو، می‌توان ابراز داشت که هشت هفته تمرین تناوبی شدید موجب کاهش معنی‌دار miRNA-21 سرمی پسران نوجوان گردیده است. برخی مطالعات افزایش غلظت miRNA-21 را پس از یک و هله فعالیت ورزشی مختلف

۱۸-۲۴ ساعت قبل از اولین و آخرین جلسه تمرینی (ساعت ۸-۹ صبح روز بعد) انجام شد. نمونه‌گیری‌ها به مقدار ۳-۴ میلی‌لیتر خون از ورید آنته کوریتال (بدون افروند ماده ضد انقاد جهت جداسازی سرم) انجام شد. تمام نمونه‌های خونی بعد از لخته شدن در دمای محیط، برای جداسازی سرم در دستگاه سانتریفیوژ قرار گرفتند. نمونه‌های سرمی تا زمان اندازه‌گیری غلظت miRNA در دمای ۸-۱۰ درجه سانتی‌گراد نگهداری شدند. برای استخراج RNA از نمونه‌های خونی، به ۶۰ میلی‌لیتر از نمونه داخل میکروتیوب، ۱ میلی‌لیتر ترایزول اضافه شد و پس از مخلوط کردن کامل به مدت ۵ دقیقه در دمای اتاق انکوبه شد سپس ۰/۲ میلی‌لیتر به آن کلروفرم اضافه شد و حدود ۲ تا ۳ دقیقه در دمای اتاق انکوبه شد، سپس میکروتیوب‌ها به مدت ۱۵ دقیقه در دمای ۴ درجه سانتی‌گراد با دور سانتریفیوژ شدند سپس مایع رویی به دقت برداشته شد و به یک میکروتیوب RNAasefree منتقل داده شد. سپس ۰/۵ میلی‌لیتر ایزوپروپانول اضافه شد و بعد از هم زدن در دمای ۲۰-۲۵ باقی ماندند. روز بعد میکروتیوب‌ها به مدت ۱۵ دقیقه در دمای ۴ درجه سانتی‌گراد با دور ۱۰۰۰۰ مجدداً سانتریفیوژ شدند. با سمپلر مایع رویی با دقت خارج شد و ۱ میلی‌لیتر اتانول خالص به آن اضافه شد و بعد از تکان دادن مختصر به مدت ۵ دقیقه در دمای ۴ درجه با دور ۷۵۰۰ سانتریفیوژ شدند و در ادامه مایع رویی به دقت تخلیه شد و ۱۰ دقیقه فرست داده شد تا باقیمانده اتانول تبخیر شود و داخل میکروتیوب خشک شود، بعد از این مرحله ۵۰ لاندآب تزریقی به هر نمونه اضافه شد. در پایان غلظت و نسبت جذبی نمونه‌ها با استفاده از دستگاه اسپکتروفوتومتر ارزیابی شد که نسبت جذبی ۲۸۰/۲۶۰ نانومتر برای تمام نمونه‌ها بین ۶/۱ تا ۸/۱ بود. کیت‌ها دقیقاً قبل از استفاده از یخچال ۲۰-۲۵ خارج می‌شدند و بعد از استفاده به داخل یخچال متنقل می‌شدند. تمام سمپلرها طبق زمانبندی‌های گروه کالیبره شده بودند. برای رونویسی RNA به cDNA از کیت شرکت Exiqon استفاده و تمام مراحل مطابق دستورالعمل شرکت سازنده انجام شد. برای ارزیابی بیان ژن از تکنیک PCR Time Real و دستگاه شرکت mix master Green SYB Biosystem Applied استفاده شد. استفاده شده در این مرحله متعلق به شرکت Exiqon بود. طبق دستورالعمل کیت برای یک نمونه ۱۰ لاندای ترکیبی از miRNA master preamplifier و cDNA در نظر گرفته شد و میزان بیان miRNA-21 نسبت به گروه کنترل و مرحله قبل از تمرین استفاده از روش $\Delta\Delta^{CT}$ ارزیابی شد. آزمون‌های ویلک-شاپیرو و لوین برای تعیین وضعیت توزیع و همگنی واریانس‌ها و از آزمون تحلیل واریانس (ANOVA) برای ارزیابی تغییرات درون و بین گروهی شاخص‌های اندازه‌گیری شده استفاده شد. داده‌ها با استفاده از نرم‌افزار SPSS نسخه ۱۸ در سطح $P<0.05$ تجزیه و تحلیل شدند. ابتدا وضعیت توزیع طبیعی داده‌ها با استفاده از آزمون ویلک-

گزارش کرده‌اند که miRNA‌ها ممکن است نه تنها توسط فعالیت ورزشی حاد بلکه توسط تمرینات ورزشی طولانی مدت نیز تحت تاثیر قرار نگیرند و تفاوتی نیز بین تمرینات مختلف وجود نداشته باشد. همچنین، miRNA-1 از طریق افزایش تمایز و تکثیر میوبلاست‌های اولیه و سلول‌های ماهواره‌ای می‌تواند به تمایز سلول‌های عضلانی کمک نماید (۲۲). علاوه بر این، وضعیت انژری سلول و در نتیجه فعال‌سازی پروتئین کیناز فعال شده با آدنوزین مونوفسفات (AMPK) احتمالاً نقش مهمی در بروز آثار مرتبط با miRNA‌ها دارد. AMPK برای تثبیت RNA پیامبر VEGF القا شده بر اثر هیپوکسی ضروری است، اما مهار AMPK موجب تقویت پاسخ VEGF RNA پیامبر VEGF به فعالیت ورزشی حاد می‌گردد (۲۳). این مسئله احتمالاً توضیح می‌دهد که چرا تمرینات بسیار شدید در واقع اثر منفی بر سطوح VEGF و اثر افزایشی بیشتری بر سطوح IGF-I دارند (۲۴). از سوی دیگر، این مطلب همچنین یکی از دلایلی است که تمرینات HIIT، با سرعت بیشتری موجب افزایش چگالی مویرگی و ظرفیت اکسیژنی عضله اسکلتی در پاسخ به ترشح عوامل رشدی موضعی و در گردش می‌گردد (در هر دو دوره بازگشت به حالت اولیه و طی فعالیت ورزشی) (۲۵). علاوه بر این، محرك‌های مکانیکی همانند بار کل تحمیل شده به عضله و جریان خون عضله اسکلتی و در نتیجه استرس فرسایشی (shear stress) ایجاد شده در طی فعالیت بدنی موجب افزایش سطوح mRNAها، mRNA و پروتئین‌های مرتبط با آنها می‌گردد (۷). علاوه بر مباحثت فوق، در راستای نتایج مطالعه حاضر برخی مطالعات نشان داده‌اند که سطوح در گردش miRNA-21 و miRNA-1 افراد دارای آمادگی جسمانی پایین به ترتیب به طور قابل توجهی بیشتر و کمتر از مقادیر آن در افراد تمرین کرده و دارای سطوح آمادگی بالاتر است. همچنین، میزان miRNA-21 در طی بروز هیپرتروفی قلبی پاتولوژیک به طور معنی‌داری افزایش می‌یابد و به عنوان نشانگر زیستی بروز استرس اکسایشی، التهاب و ایجاد وضعیت پاتولوژیک در کار迪ومیوسیت‌ها و سلول‌های اندوتیلی در نظر گرفته می‌شود. از این‌رو، محققان معتقد‌اند که miRNA-21 و miRNA-1 را می‌توان به عنوان یک نشانگر زیستی مناسب برای ارزیابی میزان بروز سازگاری تمرینی و افزایش آمادگی جسمانی (در سطح سلولی) در نظر گرفت (۲۶-۲۸). منبع سلولی دقیق اندازه‌گیری و رهایش miRNA-21 و miRNA-1 مشخص نشده است و نیازمند انجام مطالعات بیشتری در سطح مدل‌های انسانی و حیوانی است. با این حال، برخی مطالعات گزارش کرده‌اند که miRNA-21 از بافت‌های مختلفی به ویژه سلول‌های اندوتیلی بافت‌های عروقی به میزان بالایی به درون گردش خون آزاد می‌شود. علاوه بر این، یکی دیگر از منابع تولید miRNA-21 بافت عضله قلبی است (۸). به علاوه، افزایش بیش از حد غلظت miRNA-21 بیان چندین پروتئین کلیدی در گیر در

به ویژه و هلله‌های ورزشی استقامتی و شدید گزارش کرده‌اند (۸، ۱۵، ۱۶). برای مثال، Baggish و همکاران (۲۰۱۱) گزارش کرده‌اند که پس از یک وله دوچرخه‌سواری تا واماندگی، غلظت miRNA-21 به طور قابل توجهی ۱/۹ برابر افزایش یافته است (۸). با این حال، نتایج بیشتر این مطالعات نشان داده است که این افزایش تنها یک پاسخ موقت و گذار بوده و غلظت آن پس از حدود یک ساعت به مقدار پیش از فعالیت ورزشی رسیده است و افزایش ناشی از ورزش سطوح miRNA-21 نمی‌تواند نشان دهنده سطوح حالت پایه (استراحتی) و سازگاری به وجود آمده در این شاخص بر اثر تمرینات ورزشی باشد (۸). با این حال، برخی محققان مانند باگیش گزارش کرده‌اند که این پاسخ و افزایش ۲۴ ساعته ممکن است تنها نشان دهنده یک پاسخ کوتاه مدت به جلسه تمرین ورزشی باشد و همچنین پس از ۱۲ هفته تمرین استقامتی miRNA-21 کاهش یافته بود و پاسخ حاد آن به یک ساعت فعالیت دوچرخه‌سواری در ۶۵ درصد توان بیشینه (Pmax) در آزمودنی‌های تمرین کرده تفاوتی نداشت (۱۷). تاثیر دقیق انواع مختلف فعالیت ورزشی و تاثیر حجم و شدت فعالیت ورزشی بر پاسخ و سازگاری miRNA‌ها به طور دقیق مشخص نشده است. با این حال، در یک مطالعه گزارش شده است که تمرینات سرعتی شدید موجب بیشترین افزایش در غلظت miRNA-21 و miRNA-1 سرمی گردید (۱۶). همچنین، در برخی مطالعات نشان داده شده است که دوره زمانی تغییرات در miRNA‌ها با تغییرات سایر عوامل هورمونی مرتبط باشد به ویژه در طی فعالیت‌ها و تمرینات ورزشی دارای شباهت زیادی است (۱۸). سازوکارهای مختلفی برای افزایش miRNA‌های ناشی از فعالیت ورزشی گزارش شده است که از آن جمله می‌توان به بروز آسیب عضلانی و شروع فرآیندهای رونویسی اشاره نمود (۱۹). Cui و همکاران (۲۰۱۶) نشان دادند که در طی فعالیت ورزشی غلظت miRNA‌ها ممکن است بر اساس تعادل بین برداشت‌راهیش سلولی یا بر اثر تعادل کاتابولیسم و آنابولیسم بین بافت‌های مختلف بدن تعیین شود (۲۰). به علاوه، یکی دیگر از فرضیاتی که به عنوان دلایل افزایش غلظت miRNA‌ها در طی یک وله فعالیت ورزشی گزارش شده است بروز هیپوکسی کوتاه مدت و موضعی است که در سطح بافت عضلانی روی می‌دهد و موجب رهایش انواع مختلف miRNA از بافت عضلانی به درون گردش خون می‌گردد. همچنین Nicoli و همکاران (۲۰۱۰) نقش miRNA-21 در بروز آثار رشدی آن از طریق انسجام بین پاسخ‌های همودینامیک عروقی و پیامرسانی عامل رشد اندوتیلی (VEGF) و تقویت آثار GH و IGF-I را مورد تایید قرار داده است و گزارش شده است که غلظت بسیاری از miRNA‌ها و به ویژه miRNA-2 با افزایش عملکرد عوامل هورمونی مرتبط با رشد دارای ارتباط نزدیکی است (۲۱). با این حال، برخی محققان

میزان سازگاری با تمرینات ورزشی در پسران نوجوان نابالغ باشد. با این حال، به نظر می‌رسد برای تعیین میزان دقیق رابطه و تاثیر انواع مختلف تمرینات ورزشی بر این شاخص‌ها به انجام تحقیقات بیشتری نیاز است.

قدرتدانی

مطالعه حاضر حاصل پایان‌نامه دانشجویی دکتری در دانشکده تربیت بدنی و علوم ورزشی دانشگاه تبریز می‌باشد. از تمام افرادی که در این تحقیق همکاری کردند، تقدیر و تشکر به عمل می‌آید. ملاحظات اخلاقی: پروتکل این مطالعه در کمیته پژوهشی دانشگاه علوم پزشکی تبریز استان آذربایجان شرقی به شماره مرجع IR.TBZMED.REC.1396.258 تایید رسیده است.

منابع مالی: منابع مالی این طرح تحقیقاتی توسط نویسنده‌گان تأمین شده است.

منافع متقابل: مؤلف اظهار می‌دارد که منافع متقابلی از تالیف یا انتشار این مقاله ندارد. مشارکت مؤلفان: ۱. رامین امیرسasan به عنوان استاد راهنمای انتخاب موضوع، طراحی پروتکل، تحلیل نتایج و تدوین مقاله و ۲. مصطفی آرمان‌فر در انتخاب موضوع، طراحی پروتکل، اجرا، تحلیل نتایج و تدوین مقاله و ۳. جواد حصاری به عنوان استاد مشاور در طراحی و اجرای پروتکل تحقیق نقش داشتند، همچنین، استاد راهنمای و مشاور مقاله نسخه نهایی تهیه شده را خوانده و تایید کرده‌اند.

مسیرهای عمومی مرتبط با رشد و نمو سلولی (از قبیل مسیرهای پیامرسانی MAPK و ErbB و β -TGF و mTOR و Wnt)، دستگاه ایمنی (پیامرسانی سلول‌های B و T) و استرس (مسیر p53) را مهار می‌کند. با این حال، این نکته باید خاطر نشان شود که اطلاعات محدودی درباره منشاء miRNA‌های در گردش خون و نقش‌های فیزیولوژیک آنها وجود دارد؛ در نتیجه نتایج به دست آمده تا زمان به دست آمده اطلاعات بیشتر باید با احتیاط مورد تفسیر قرار گیرند (۲۹). مطالعات آینده باید نقش سایر miRNA، به صورت جداگانه یا در ترکیب با یکدیگر، بر سازگاری با فعالیت ورزش را بررسی کنند. همچنین، باید استفاده از فناوری‌های جایگزین برای دستکاری گونه‌های مختلف miRNA در داخل بدن، و نیز استفاده در مدل‌های داخل بدن مختلف را برای شناسایی miRNA‌های مختلف درگیر در سازگاری با تمرینات ورزشی و بهبود عملکرد ورزشی مورد ارزیابی و بررسی قرار دهن. همچنین، برخی از مطالعات اولیه همبستگی خطی مثبتی را بین تغییرات ناشی از ورزش در سطوح miRNA-20a و نیز VO_{2max} و سایر عوامل جسمانی مرتبط با آمادگی را نشان داده‌اند؛ این مسئله نشان می‌دهد که بین سطوح خونی انواع miRNA با تمرین‌پذیری نشانگرهای آمادگی قلبی-عروقی ارتباط وجود دارد و می‌توانند به عنوان نشانگرهای بالقوه ارزیابی سازگاری با تمرین استفاده شوند (۹).

نتیجه‌گیری

نتایج این مطالعه نشان می‌دهد که استفاده از غلظت miRNA-1 و miRNA-21 ممکن است شاخص زیستی مناسبی برای ارزیابی

References

- Laursen P B, Jenkins D G. The scientific basis for high-intensity interval training. *Sports Med* 2002; **32**(1): 53-73. doi: 10.2165/00007256-200232010-00003.
- Gibala M J, McGee S L. Metabolic adaptations to short-term high-intensity interval training: a little pain for a lot of gain? *Exerc Sport Sci Rev* 2008; **36**(2): 58-63. doi: 10.1097/JES.0b013e318168e c1f.
- Burgomaster K A, Hughes S C, Heigenhauser G J, Bradwell S N, Gibala M J. Six sessions of sprint interval training increases muscle oxidative potential and cycle endurance capacity in humans. *J Appl Physiol* 2005; **98**(6): 1985-1990. doi: 10.1152/japplphysiol.01095.
- Gibala M J, Little J P, Van Essen M, Wilkin G P, Burgomaster K A, Safdar A, et al. Short-term sprint interval versus traditional endurance training: similar initial adaptations in human skeletal muscle and exercise performance. *J physiol* 2006; **575**(3): 901-911. doi: 10.1113/jphy siol.2006.112094
- Hough P. High-intensity interval training. Advanced Personal Training. *Science to Practice* 2016; **149**.
- Bartel D P. MicroRNAs: genomics, biogenesis, mechanism, and function. *Cell* 2004; **116**(2): 281-297. doi: 10.1016/S0092-8674(04)00045-5
- Prior B M, Yang H, Terjung R L. What makes vessels grow with exercise training? *J Appl Physiol* 2004; **97**(3): 1119-1128. doi: 10.1152/japplphysiol.00035.2004
- Baggish A L, Hale A, Weiner R B, Lewis G D, Systrom D, Wang F, et al. Dynamic regulation of circulating microRNA during acute exhaustive exercise and sustained aerobic exercise training. *J physiol* 2011; **589**(16): 3983-3994. doi: 10.1113/jphysiol.2011.213363.
- Bye A, Røsjø H, Aspenes S T, Condorelli G, Omland T, Wisloff U. Circulating microRNAs and aerobic

- fitness—the HUNT-Study. *PloS one* 2013; **8**(2): e57496. doi: 10.1371/journal.pone.0057496.
10. McCarthy J J, Esser K A. MicroRNA-1 and microRNA-133a expression are decreased during skeletal muscle hypertrophy. *J Appl Physiol* 2007; **102**(1): 306-313. doi: 10.1152/japplphysiol.00932.
 11. Drummond M J, McCarthy J J, Fry C S, Esser K A, Rasmussen B B. Aging differentially affects human skeletal muscle microRNA expression at rest and after an anabolic stimulus of resistance exercise and essential amino acids. *Am J Physiol-Endoc M* 2008; **295**(6): E1333-E1340. doi: 10.1152/ajpendo.90562.2008.
 12. Safdar A, Abadi A, Akhtar M, Hettinga B P, Tarnopolsky M A. miRNA in the regulation of skeletal muscle adaptation to acute endurance exercise in C57Bl/6J male mice. *PloS one* 2009; **4**(5): e5610. doi: 10.1371/journal.pone.0005610
 13. Nielsen S, Scheele C, Yfanti C, Åkerström T, Nielsen A R, Pedersen B K, et al. Muscle specific microRNAs are regulated by endurance exercise in human skeletal muscle. *J physiol* 2010; **588**(20): 4029-4037. doi: 10.1113/jphysiol.2010.189860.
 14. Siahkouhian M, Khodadadi D, Shahmoradi K. Effects of high-intensity interval training on aerobic and anaerobic indices :Comparison of physically active and inactive men. *Sci & Sport* 2013; **28**(5): e119-e125. doi: 10.1016/j.scispo.2012.11.006
 15. Tonevitsky A G, Maltseva D V, Abbasi A, Samatov T R, Sakharov D A, Shkurnikov M U, et al. Dynamically regulated miRNA-mRNA networks revealed by exercise. *BMC Physiol* 2013; **13**(1): 9. doi: 10.1186/1472-6793-13-9.
 16. Wahl P, Wehmeier U F, Jansen F J, Kilian Y, Bloch W, Werner N, et al. Acute Effects of Different Exercise Protocols on the Circulating Vascular microRNAs-16, -21, and -126 in Trained Subjects. *Front Physiol* 2016; **7**. doi: 10.3389/fphys.2016.00643
 17. Nielsen S, Åkerström T, Rinnov A, Yfanti C, Scheele C, Pedersen B K, et al. The miRNA plasma signature in response to acute aerobic exercise and endurance training. *PloS one* 2014; **9**(2): e87308. doi: 10.1371/journal.pone.0087308.
 18. Wahl P, Matthes S, Köhler K, Achtzehn S, Bloch W, Mester J. Acute metabolic, hormonal, and psychological responses to different endurance training protocols. *Horm Metab Res* 2013; **45**(11): 827-833. doi: 10.1055/s-0033-1347242.s
 19. Uhlemann M, Möbius-Winkler S, Fikenzer S, Adam J, Redlich M, Möhlenkamp S, et al. Circulating microRNA-126 increases after different forms of endurance exercise in healthy adults. *Eur J Prev Cardiol* 2014; **21**(4): 484-491 doi: 10.1177/2047487312467902
 20. Cui S F, Wang C, Yin X, Tian D, Lu Q J, Zhang C Y, et al. Similar responses of circulating microRNAs to acute high-intensity interval exercise and vigorous-intensity continuous exercise. *Front physiol* 2016; **7**: 102. doi: 10.3389/fphys.2016.00102
 21. Nicoli S, Standley C, Walker P, Hurlstone A, Fogarty K E, Lawson N D. MicroRNA-mediated integration of haemodynamics and Vegf signalling during angiogenesis. *Nature* 2010; **464** (7292): 1196-1200. doi: 10.1038/nature08889
 22. Aoi W, Ichikawa H, Mune K, Tanimura Y, Mizushima K, Naito Y, et al. Muscle-enriched microRNA miR-486 decreases in circulation in response to exercise in young men. *Front Physiol* 2013; **4**: 80. doi: 10.3389/fphys.2013.00080.
 23. Zwetsloot K A, Westerkamp L M, Holmes B F, Gavin T P. AMPK regulates basal skeletal muscle capillarization and VEGF expression, but is not necessary for the angiogenic response to exercise. *J Physiol* 2008; **586**(24): 6021-6035. doi: 10.1113/jphysiol.2008.159871
 24. Gliemann L, Gunnarsson T P, Hellsten Y, Bangsbo J. 10-20-30 training increases performance and lowers blood pressure and VEGF in runners. *Scand J Med Sci Spor* 2015; **25**(5): e479-e489. doi: 10.1111/sms.12356
 25. Jensen L, Bangsbo J, Hellsten Y. Effect of high intensity training on capillarization and presence of angiogenic factors in human skeletal muscle. *J physiol* 2004; **557**(2): 571-582. doi: 10.1113/jphysiol.2003.057711
 26. Tatsuguchi M, Seok H Y, Callis T E, Thomson J M, Chen J-F, Newman M, et al. Expression of microRNAs is dynamically regulated during cardiomyocyte hypertrophy. *J mol cell cardiol* 2007; **42**(6): 1137-1141. doi: 10.1016/j.jmcc.2007.04.004
 27. Sayed D, Hong C, Chen I-Y, Lypowy J, Abdellatif M. MicroRNAs play an essential role in the development of cardiac hypertrophy. *Circ Res* 2007; **100**(3): 416-424. doi: 10.1161/01.RES.0000257913.42552.23
 28. Weber M, Baker M B, Moore J P, Searles C D. MiR-21 is induced in endothelial cells by shear stress and modulates apoptosis and eNOS activity. *Biochem Bioph Res Co* 2010; **393**(4): 643-648. doi: 10.1016/j.bbrc.2010.02.045
 29. Baggish A L, Park J, Min P-K, Isaacs S, Parker B A, Thompson P D, et al. Rapid upregulation and clearance of distinct circulating microRNAs after prolonged aerobic exercise. *J Appl Physiol* 2014; **116**(5): 522-531. doi: 10.1007/s00216-013-7340-0.

The N-acetylgalactosamine-transferase11 (GALNT11) activation in leukemia and the role of cyclophosphamide and cytarabine in expression of this enzyme

Shrooz Amin Mozaffari^{1,2} , Roya Bazzaz Dehkharhani³, Fatemeh Ramezani⁴, Nasser Samadi^{1,2,4*} 

¹Stem Cell Research Center, Tabriz University of Medical Sciences, Tabriz, Iran

²Msc Student of Biochemistry, Department of Biochemistry, School of Medicine, Tabriz University of Medical Sciences, Tabriz, Iran

³Department of Biochemistry, School of Basic Sciences, Islamic Azad University, Science and Research Branch, Tehran, Iran

⁴Drug Applied Research Center, Tabriz University of Medical Sciences, Tabriz, Iran

*Corresponding author; E-mail: drnsamadi@yahoo.com

Received: 10 October 2017 Accepted: 13 January 2018 First Published online: 4 July 2019

Med J Tabriz Uni Med Sciences Health Services. 2019 August- September; 41(3):24-30

Abstract

Background: We investigated the activation of N-acetylgalactosamine-transferase11 (GALNT11) and the role of cyclophosphamide and cytarabine in expression of this enzyme in AML and CML patients.

Methods: GALNT11 activity and expression levels were evaluated in human chronic myelogenous leukemia cells (K562) and human acute monocytic leukemia cells (THP1) after incubation with different concentrations of cyclophosphamide (Cyclo) and cytarabine (Cyta). Anti-proliferative effects of Cyclo and Cyta were examined by MTT assay. Real time-PCR and ELISA assays were applied to investigate the expression and activity of GALNT11, respectively.

Results: The IC₅₀ values for Cyclo were $34.73 \pm 0.12 \mu\text{M}$ for K562 and $36.16 \pm 0.23 \mu\text{M}$ for THP1 cells. These values for Cyta were also $0.38 \pm 0.15 \mu\text{M}$ for K562 and $0.52 \pm 0.18 \mu\text{M}$ for THP1 cells.

Conclusion: The activation and expression of GALNT11 increased in acute and chronic leukemia as glycosylation disorders. Also cyclophosphamide and specially cytarabine cause significant increase in activation and expression of GALNT11 which inhibits glycosylation and tumorigenesis dependent signaling pathway.

Keyword: Cyclophosphamide, Cytarabine, Leukemia, N-acetylgalactosamine-transferase11.

How to cite this article: Mozaffari Sh A, Bazzaz Dehkharhani R, Ramezani F, Samadi N. [The N-acetylgalactosamine-transferase11 (GALNT11) activation in leukemia and the role of cyclophosphamide and cytarabine in expression of this enzyme]. Med J Tabriz Uni Med Sciences Health Services. 2019 August-September; 41(3):24-30. Persian.

مقاله پژوهشی

فعالیت آنزیم N-استیل گالاكتوز امین ترانسفراز ۱۱ در لوسومی و تاثیر سیکلوفسفامید و سیتارابین بر بیان این آنزیم

شهروز امین مظفری^{۱*}، رویا بزاز دهخوارقانی^۲، فاطمه رمضانی^۳، ناصر صمدی^۴ و^۱

^۱ مرکز تحقیقات سلولهای بینایی، دانشگاه علوم پزشکی، تبریز، ایران
^۲ دانشجوی کارشناسی ارشد بیوشیمی، گروه بیوشیمی، دانشگاه علوم پزشکی تبریز، تبریز، ایران
^۳ گروه بیوشیمی، دانشکده علوم پایه، دانشگاه آزاد اسلامی واحد علوم و تحقیقات، تهران، تهران، ایران
^۴ مرکز تحقیقات کاربردی دارویی، دانشکده پزشکی، دانشگاه علوم پزشکی، تبریز، تبریز، ایران
* نویسنده مسؤول؛ ایمیل: drnsamadi@yahoo.com

دریافت: ۱۳۹۶/۷/۱۸ پذیرش: ۱۳۹۶/۱۰/۲۳ انتشار پرخط: ۱۳۹۸/۴/۱۳
محله پزشکی دانشگاه علوم پزشکی و خدمات بهداشتی - درمانی تبریز. مرداد و شهریور ۱۳۹۸؛ ۴۱(۳):۲۴-۳۰.

چکیده

زمینه: در این مطالعه به بررسی فعالیت آنزیم N-استیل گالاكتوز امین ترانسفراز ۱۱ در لوسومی میلوبید و تاثیر سیکلوفسفامید و سیتارابین بر بیان این آنزیم در AML و CML پرداخته شده است.

روش کار: میزان فعالیت و بیان GALNT11 در سلولهای انسانی K562 (سلولهای لوسومی مونوцитیک حاد)، پس از انکوباسیون با غاظتهای مختلف سیکلوفسفامید و سیتارابین ارزیابی گردید. بررسی اثرات آنتیپروولیفراتیو سیکلوفسفامید و سیتارابین با استفاده از تکنیک MTT انجام شد و جهت ارزیابی بیان و فعالیت GALNT11، از Real Time PCR و روش ELISA استفاده گردید.

یافته‌ها: مقادیر IC₅₀ برای سیکلوفسفامید در سلولهای THP1 و K562 بترتیب $34.73 \pm 0.12 \mu\text{m}$ و $36.0 \pm 0.16 \mu\text{m}$ بوده و در مورد سیتارابین این مقادیر بترتیب $0.18 \pm 0.02 \mu\text{m}$ و $0.15 \pm 0.03 \mu\text{m}$ بود.

نتیجه گیری: طبق نتایج حاصل از این مطالعه، فعالیت و بیان آنزیم GALNT11 در لوسومی حاد و مزمن افزایش می‌یابد که بیانگر اختلال در گلیکوزیلاسیون می‌باشد. همچنین سیکلوفسفامید و بویژه سیتارابین منجر به کاهش فعالیت آنزیمی و بیان ژن GALNT11 می‌گردد. این عمل باعث مهار گلیکوزیلاسیون و آغاز مسیر سیگنالینگ تومورزایی را می‌گیرد.

کلید واژه‌ها: سیکلوفسفامید، سیتارابین، لوسومی، N-استیل گالاكتوز آمین - ترانسفراز ۱۱

نحوه استناد به این مقاله: امین مظفری ش، بزاز دهخوارقانی ر، رمضانی ف، صمدی ن. فعالیت آنزیم N-استیل گالاكتوز امین ترانسفراز ۱۱ در لوسومی و تاثیر سیکلوفسفامید و سیتارابین بر بیان این آنزیم. مجله پزشکی دانشگاه علوم پزشکی و خدمات بهداشتی - درمانی تبریز. ۱۳۹۸؛ ۴۱(۳):۲۴-۳۰.

حق تأثیف برای مؤلفان محفوظ است.
این مقاله با دسترسی آزاد توسط دانشگاه علوم پزشکی و خدمات بهداشتی - درمانی تبریز تحت مجوز کریپتو کامنز (http://creativecommons.org/licenses/by/4.0) منتشر شده که طبق مفاد آن هرگونه استفاده تنها در صورتی مجاز است که به اثر اصلی به نحو مقتضی استناد و ارجاع داده شده باشد.

مقدمه

گالاکتوزآمین ترانسферاز ۱۱ در لوسمی‌ها، هدف از این مطالعه، بررسی این آنزیم در لوسمی و همچنین کاهش بیان و فعالیت آنزیم فوق در بیماران مبتلا به AML و CML و در رده‌های سلولهای لوسمی THP^۱ و K562 با استفاده از دو داروی سیکلوفسفامید و سیتارابین می‌باشد.

روش کار

سیکلوفسفامید، سیتارابین و Ficoll-metrizoate از شرکت AldrichSigma خریداری شد. رده‌های سلولی لوسمی انسانی ۱ K562 و THP از انسیتو پاستور ایران تهیه شده و محیط کشت RNA FBS، RPMI1640، پودر MTT و کیت استخراج cDNA (TRIZOL) از Invitrogen Life Technologies (نیوزیلند) تهیه گردید. PCR Master Mix از Applied Bio systems (UK)، کیت سترز ELISA از CUABIO خریداری شدند.

مطالعه‌ی حاضر از نوع تجربی و مقطعی بوده و نمونه‌های خون محیطی از ۳۰ بیمار در سه گروه ۱۰ نفره، از بیمارستان قاضی دانشگاه علوم پزشکی تبریز تهیه گردید. نمونه از بیماران مبتلا به CML، ۱۰ نمونه از افراد مبتلا به AML و ۱۰ نفر از افراد سالم به عنوان گروه کنترل جمع‌آوری شد.

سلول‌های PBMC (سلول‌های تک هسته‌ای خون محیطی) توسط سانتریفیوژ با ۴۰۰ g، از سلول‌های خون وریدی جدا شدند. سلول‌های THP^۱ و K562 در محیط کشت کامل، کشت داده شدند؛ رده سلولی K562 در محیط RPMI حاوی ۱۰٪ از FBS و ۱٪ از Pen-strep و رده سلولی THP^۱ در محیط DMEM حاوی ۱۰٪ از FBS و ۱٪ از Pen-strep و ۲٪-مرکاتواتانول کشت داده شدند. RNA از نمونه‌های خونی و رده‌های سلولی با استفاده از TRIZOL و با توجه به دستورالعمل شرکت سازنده استخراج شد، سپس cDNA با استفاده از کیت فرمتاز سترز شد. واکنش-PCRReal time نیز در ۲۵ میکرولیتر از PCR Master Mix به انجام رسید. توالی پرایمر Forward به صورت Reverse ۳' GGCACATGTCGGTGGAT ۵' و توالی AAACCCCAACAACCCATT ۳' ۵' بود. این پرایمرها در غلاظت ۱۰۰nM برای بیان GALNT11 و ۲۰۰nM برای بیان GAPDH مورد استفاده قرار گرفتند.

برای اندازه‌گیری میزان پروتئین نمونه‌ها از Pico droplet ۹ گروه از نمونه‌ها انجام شد. این گروه‌ها شامل موارد زیر بودند: ۱۰ نمونه از بیماران AML، ۱۰ نمونه از بیماران CML، ۱۰ نمونه از افراد سالم، گروه رده سلولی K562 تیمار شده با سیکلوفسفامید، گروه رده سلولی K562 تیمار شده با سیتارابین، گروه رده سلولی K562 تیمار نشده، گروه رده سلولی THP^۱ تیمار شده با

برای تشخیص و سیر درمانی در اکثر سرطان‌ها از طبقه‌بندی TNM (تومور، گره‌ها و متاستاز) استفاده می‌شود (۱). به علت تفاوت‌های بالینی قابل توجه در بین بیماران مبتلا به سرطان، پیش‌بینی میزان پاسخ بیمار به درمان، امری دشوار می‌باشد (۲). در طول سال‌های اخیر تلاش‌های بسیاری در جهت پی بردن به چگونگی تغییر در مکانیسم‌های بیوشیمیایی در سرطان صورت گرفته است (۳-۵). لوسمی نوع خاصی از سرطان بوده و منجر به تکثیر کنترل نشده‌ی سلول‌های خونی غیرطبیعی می‌گردد (۶-۷). از آنجاییکه لوسمی از جمله سرطانهایی است که تومور جامد تولید نمی‌کند، لذا تشخیص آن در مراحل اولیه، امر مهمی در پیش‌بینی پیشرفت بیماری و درمان دارویی بشمار می‌رود (۸).

یکی از رخدادهای عمده در سلولهای سرطانی، اختلال در بیان آنتی‌ژنهای مانند Tn آنتی‌ژن (بعنوان محصول مرحله‌ی اول ۰- گلیکوزیلاسیون) درنتیجه‌ی عدم کفایت ۰- گلیکوزیلاسیون است (۹). واکنش تولید Tn آنتی‌ژن، توسط خانواده‌ی آنزیمی پلی پیتید N استیل گالاکتوزآمین ترانسферاز (GahNAc-Ts) کاتالیز می‌شود. ملکولهای کربوهیدرات موجود در سطح سلولهای توموری، متفاوت از بقیه سلولها بوده و گروههای کربوهیدراتی مختلف باعث تغییرات شدیدی در این سلولها می‌گردند. بنابراین یکی از تغییرات قابل توجه در سلولهای سرطانی، بیان نامناسب آنتی‌ژنهای بدليل اختلال در گلیکوزیلاسیون می‌باشد که این امر منجر به مقاومت دارویی می‌گردد (۸). یکی از O- گلیکانهای غیرطبیعی که با افزایش بیان، اختلالات متعددی را در انسان ایجاد کرده و کارسینوژن است، Tn آنتی‌ژن می‌باشد. آنتی‌ژن بوسیله‌ی خانواده‌ی آنزیمی پلی پیتید N استیل گالاکتوزآمین ترانسферاز سترز می‌شود، این آنزیمها باعث انتقال واحد N- استیل گالاکتوزآمین از دهنده‌ی N-UDP - استیل گالاکتوزآمین به آمینو اسید سرین یا ترئونین در یک پروتئین می‌گردد. در انسان و موش، ۱۲ نوع از این گروه آنزیمی وجود دارد. تمام اعضای این خانواده پروتئینهای غشایی بوده و دارای یک N-ترمینال سیتوپلاسمی، یک ناحیه‌ی هیدروفوب که از غشاء دستگاه گلزی عبورمی‌کند و بخشی کاتالیتیک در لومن دستگاه گلزی می‌باشد. در این گروه، تمام ایزوفرم‌ها ویژگی و بیان خاصی داشته و با توجه به ارگان و سلول مورد نظر عملکرد متفاوتی دارند. برخی از این آنزیم‌ها در ارتباط با بدخیمی‌ها بوده و بعنوان آنزیم شاخص مطرح می‌باشند. در ادامه‌ی مطالعه‌ی اخیر در خصوص عملکرد آنزیم N- استیل گالاکتوزآمین - ترانسферاز ۱۱، در این تحقیق نیز به بررسی بیان ژن و فعالیت این آنزیم در بیماران مبتلا به لوسمی حاد و مزمن و همچنین رده‌ی سلول‌های سرطانی پرداخته‌ایم. با توجه به مشهود بودن اختلالات گلیکوزیلاسیون در سرطان و همچنین با در نظر گرفتن افزایش فعالیت آنزیم N- استیل

کترل، دو برابر می‌شود (تصویر ۱ - الف) از طرفی بیان GALNT۱۱ در بیماران AML و CML به طور چشمگیری افزایش یافت (تصویر ۱ - ب).

به عنوان تیمار اولیه، سلول‌ها در حضور غلاظت‌های مختلف از سیکلوفسفامید و سیتارابین ($1\text{-}16 \mu\text{M}$) کشت داده شدند. سمتیت سلولی سیکلوفسفامید و سیتارابین بر روی دو رده سلولی با استفاده از تکنیک MTT بررسی شد. IC₅₀ برای سیکلوفسفامید، در مورد سلول‌های K₅₆₂ $34/73 \pm 0/12 \mu\text{m}$ و در مورد سلول‌های THP۱ $36/16 \pm 0/23 \mu\text{m}$ بود (تصویر ۲ - الف). همچنین مقادیر IC₅₀ برای سیتارابین، در مورد سلولی K₅₆₂ $0/38 \pm 0/15 \mu\text{m}$ و THP۱ $0/52 \pm 0/18 \mu\text{m}$ بود که نشان دهنده سمتیت بیشتر این دارو در این رده سلولی می‌باشد. اما IC₅₀ سیتارابین در مورد رده سلولی THP۱ $0/52 \pm 0/18 \mu\text{m}$ بود. (تصویر ۲ - ب).

جهت بررسی چگونگی اثر سیکلوفسفامید و سیتارابین در کاهش فعالیت و میزان mRNA ای GALNT۱۱، رده‌های سلولی K₅₆₂ و THP۱ با یک پنجم IC₅₀ از هر دارو تیمار شدند که فعالیت این آنزیم پس از تیمار سلول‌ها با یک پنجم IC₅₀ سیکلوفسفامید، در سلول‌های K₅₆₂ دو برابر و در سلول‌های THP۱ ۱/۷ برابر کاهش یافت. در حالی که به دنبال تیمار سلول‌ها با یک پنجم IC₅₀ سیتارابین، فعالیت GALNT۱۱ در هر دوره سلولی، به میزان دو برابر کم شد (تصویر ۳ - الف). بیان آنزیم استیل گالاكتوز‌امین ترانسفراز ۱۱ در سلول‌های THP۱ و K₅₆₂ پس از تیمار سلول‌ها با یک پنجم IC₅₀ سیکلوفسفامید و سیتارابین، به میزان قابل توجهی کم شد (تصویر ۳ - ب).

سیکلوفسفامید، گروه THP۱ تیمار شده با سیتارابین و گروه رده سلولی THP۱ تیمار نشده.

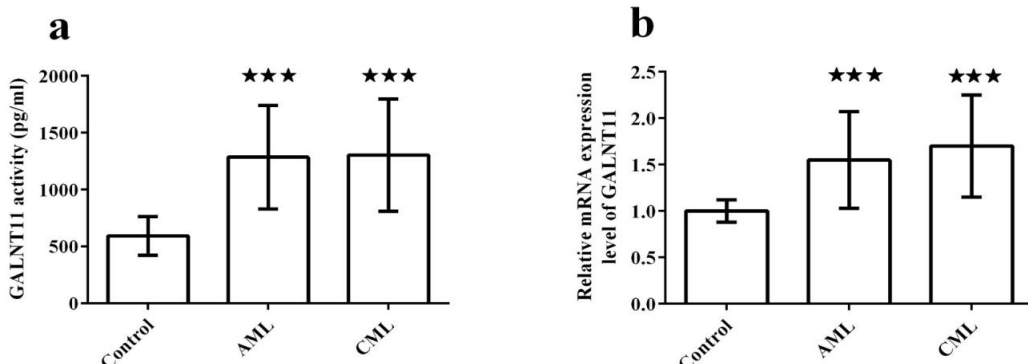
سطح آنزیم GALNT۱۱ با استفاده از کیت ELISA اندازه‌گیری شد. مرحله لیز نمونه‌ها با تکنیک Freezing and thawing صورت گرفته و غلاظت مساوی پروتئین از هر نمونه در هر well از پلیت ELISA لود شد.

بررسی سمتیت سلولی: رده‌های سلولی لوسومی شامل K₅₆₂ در حضور غلاظت‌های مختلف سیکلوفسفامید و سیتارابین (۱-۱۶ μM) به مدت ۲۴ ساعت انکوبه‌گذاری شدند. تعداد 5×10^3 سلول در هر well از پلیت ۹۶ چاهکی لود شده و سپس با غلاظت‌های گفته شده تیمار شدند. تکنیک MTT نیز به روش توضیح داده شده، انجام گردید.

داده‌ها به صورت انحراف استاندارد \pm میانگین نشان داده شدند. برای محاسبه بیان نسبی ژن‌ها از مقادیر Ct و متد $\Delta\Delta\text{Ct}$ استفاده شد. ($=\text{بیان}$) تفاوت معنی‌دار بیان GALNT۱۱ با آزمون آماری ANOVA نشان داده شد. نرم افزار SPSS^{۲۰} نیز جهت آنالیز آماری مورد استفاده قرار گرفت. $P < 0.05$ از نظر آماری، معنادار در نظر گرفته شد.

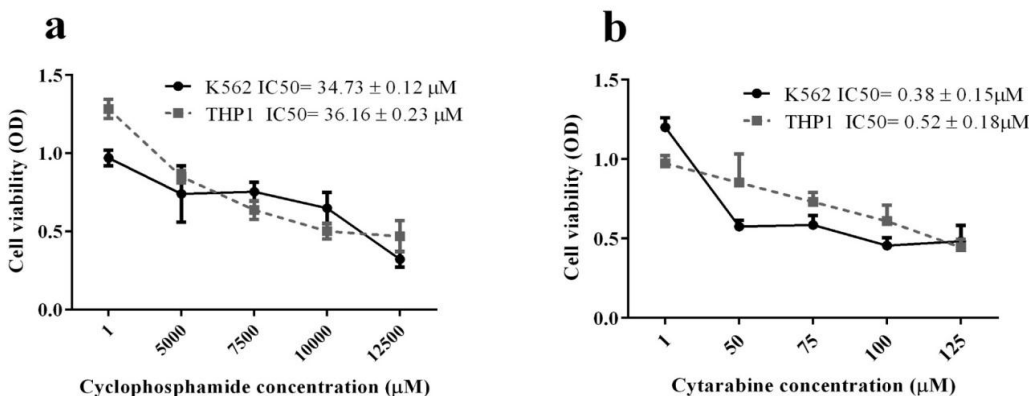
یافته‌ها

در این تحقیق، به بررسی فعالیت GALNT۱۱ در ۱۰ بیمار AML و ۱۰ بیمار CML و ۱۰ فرد سالم، با استفاده از روش ELISA و همچنین به ارزیابی بیان آنزیم فوق در رده‌های سلولی K₅₆₂ و THP۱ توسط PCR پرداخته شد. نتایج ما نشان داد که فعالیت این آنزیم در بیماران مبتلا به لوسومی در مقایسه با گروه



تصویر ۱: ارزیابی فعالیت و بیان ژن استیل گالاكتوز‌امین ترانسفراز ۱۱ در لوسومی حاد و مزمن

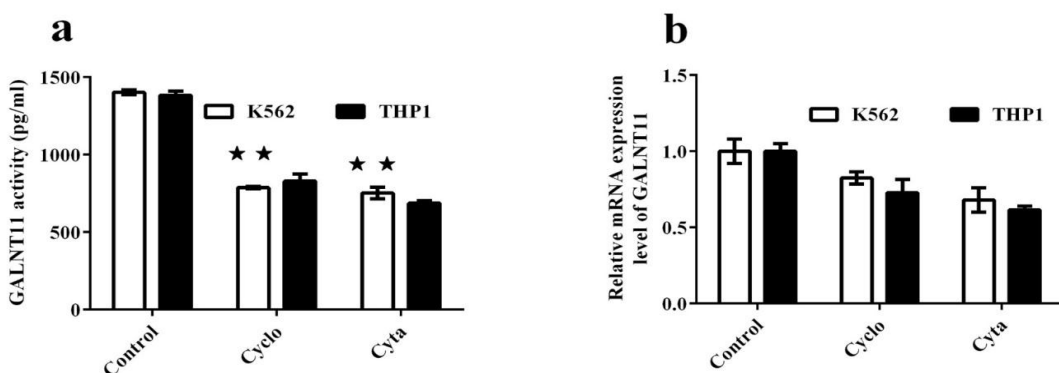
الف: میزان فعالیت آنزیم N-استیل گالاكتوز‌امین ترانسفراز ۱۱، در ۱۰ نمونه از بیماران AML، ۱۰ نمونه از بیماران CML، ۱۰ نمونه از افراد سالم (گروه کترل) به روش ELISA مورد ارزیابی قرار گرفت که بیانگر افزایش دو برابری فعالیت این آنزیم در بیماران مبتلا به لوسومی حاد و مزمن بود. ب- بررسی میزان بیان آنزیم N-استیل گالاكتوز‌امین ترانسفراز ۱۱ در رده‌های سلولی K₅₆₂ و THP۱ به روش PCR نشانده‌نده افزایش قابل توجه بیان این آنزیم در رده‌های سلولی لوسومی بود.



تصویر ۲: تاثیر سیکلوفسفامید و سیتارابین در توقف رشد سلولی در لوسومی

الف: بررسی سمیت داروی سیکلوفسفامید در رده‌های سلولی لوسومی انسانی به روش MTT انجام گرفت که با توجه به مقادیر IC₅₀ = ۳۴.۷۳ ± ۰.۱۲ μM در مورد سلول‌های K562 و ۳۶.۱۶ ± ۰.۲۳ μM برای سلول‌های THP1 بیانگر سمیت بالای این دارو در این رده‌های سلولی بود.

ب: سمیت داروی سیتارابین در رده‌های سلولی لوسومی انسانی به روش MTT مورد ارزیابی قرار گرفت که مقادیر IC₅₀ = ۰.۳۸ ± ۰.۱۵ μM برای سلول‌های K562 و ۰.۵۲ ± ۰.۱۸ μM برای سلول‌های THP1 حاکی از سمیت قابل توجه این دارو بر سلول‌های سرطانی لوسومی انسانی بود.



تصویر ۳: تاثیر سیکلوفسفامید و سیتارابین در فعالیت و بیان ژن استیل گالاکتوزآمین ترانسферاز ۱۱ در لوسومی

الف: به دنبال تیمار سلولهای سرطانی THP1 و K562 در حضور یک پنجم IC₅₀ سیکلوفسفامید، میزان فعالیت آنزیم GALNT11 تا حدود دو برابر کاهش یافت.

ب: پس از تیمار سلول‌ها با یک پنجم IC₅₀ سیکلوفسفامید و سیتارابین، بیان mRNA آنزیم استیل گالاکتوزآمین ترانسферاز ۱۱ در سلول‌های THP1 و K562 به میزان قابل توجهی کاهش یافت.

بحث

در مطالعه حاضر که هدف آن بررسی آنزیم N استیل گالاکتوزآمین ترانسферاز ۱۱ در لوسومی و همچنین کاهش بیان و فعالیت آنزیم فوق در بیماران مبتلا به CML و AML و در رده‌های سلولهای لوسومی THP1 و K562، با استفاده از داروهای شیمی درمانی بود، استفاده از دو داروی سیکلوفسفامید و سیتارابین منجر به کاهش بیان و فعالیت این آنزیم گردید. به علاوه فعالیت آنزیم GALNT11 در بیماران مبتلا به لوسومی در مقایسه با گروه کنترل، دو برابر شده و سمیت بالای داروهای سیکلوفسفامید و سیتارابین در سلول‌های سرطانی لوسومی انسانی نشان داده شد.

بررسی یافته‌های این تحقیق بیانگر این است که بیان و فعالیت آنزیم GALNT11 در لوسومی افزایش می‌یابد که می‌تواند به علت

اختلال در گلیکوزیلاسیون در سلولهای سرطانی باشد، از طرفی بهره‌گیری از دو داروی سیکلوفسفامید و سیتارابین می‌تواند فعالیت و بیان آنزیم فوق را کاهش دهد.

طبق نتایج پژوهش Xia Ding و همکاران، افزایش بیان ppGalNAc T1 fakتوری در تشخیص زود هنگام سرطان کیسه صفراء بشمار می‌رود. آنها معتقد بودند که میان گلیکوزیلاسیون و پرولیفراسیون تومور ارتباطی وجود دارد (۱۰). اهمیت GALNT11 در تشخیص لوسومی در تحقیقات گذشته بخوبی مستند است (۱۱).

آنژیم مهی در مسیر گلیکوزیلاسیون در AML و CML بشمار می‌رود و اخیراً مطالعات متعددی برای ارزیابی

نتیجه‌گیری

طبق نتایج حاصل از این مطالعه، فعالیت و بیان آنزیم GALNT11 در لوسمی حاد و مزمن افزایش می‌یابد که اهمیت این آنزیم را بعنوان یک مارکر احتمالی و بالقوه نشان می‌دهد. همچنین سیکلوفسفامید و بوژه سیتارابین منجر به کاهش فعالیت آنزیمی و بیان ژن GALNT11 می‌گردند. این عمل جلوی گلیکوزیلاسیون و آغاز مسیر سیگنالینگ تومورزاپی را می‌گیرد.

قدرتمند

این مقاله بخشی از پایان نامه کارشناسی ارشد (کد ۳۹۴) انجام شده در دانشگاه علوم پزشکی تبریز می‌باشد. از کلیه‌ی همکارانی که مارا در انجام این تحقیق یاری رساندند تشکر و قدردانی می‌نماییم.

ملاحظات اخلاقی

ندارد

منابع مالی

حملیت مالی از این طرح تحقیقاتی تحت شماره گرفت ۹۴/۸۷ از طرف مرکز سلولهای بنیادی علوم پزشکی تبریز صورت پذیرفته است.

منافع متقابل

بین مولفین و مراکز تحقیقاتی کار شده (کاربردی دارویی، سلولهای بنیادی) منافع مشترک وجود دارد.

مشارکت مؤلفان

شا.م ، ر.ب و همکاران، طراحی و اجرا و تحلیل نتایج مطالعه را بر عهده داشته، همچنین مقاله را تالیف نموده و نسخه نهایی آن را خوانده و تایید کرده‌اند.

References

- Vidal A D, Thalmann G N, Karamitopoulou-Diamantis E, Fey M F, Studer U E, et al. Long-term outcome of patients with clinical stage I high-risk nonseminomatous germ-cell tumors 15 years after one adjuvant cycle of bleomycin, etoposide, and cisplatin chemotherapy. *Annals of Oncology* 2014; **26**(2): 374-377. doi:10.1093/annonc/mdu518
- Grant S R, Walker G V, Ashleigh Guadagnolo B, Koshy M, Allen P K, Mahmood U, et al. Variation in insurance status by patient demographics and tumor site among nonelderly adult patients with cancer. *Cancer* 2015; **121**(12): 2020-2028. doi: 10.1002/cncr.29120
- Chinen A B, Guan Ch M, Ferrer J R, Barnaby S N, Merkel T J, Mirkin Ch A, et al. Nanoparticle probes ویژگی‌های مختلف این آنزیم صورت گرفته تا بصورت بالینی مورد استفاده قرار گیرد. شواهد نشان می‌دهند که در رسپتورهای سطحی سلولهای توموری تغییراتی صورت می‌گیرد که بر سیستم ایمنی و محیط اطراف تومور تاثیر می‌گذارد. یکی از این تغییرات مهم که در بسیاری از سلطانها دیده می‌شود، گلیکوزیلاسیون می‌باشد. هرگونه افزایش یا کاهش در گلیکوزیلاسیون منجر به تغییرات رسپتورهای غشایی و درنتیجه آغاز مسیر سیگنالینگ در سلولهای تومور خواهد شد.
- Chen Wu آنزیمی یعنی ۱۴ GALNT را بیومارکر تشخیصی در سرطان پستان معرفی نمودند (۱۲). یافته‌های پژوهش حاضر نشان داد که پس از انکوباسیون سلول‌های سرطانی لوسمی انسانی با سیکلوفسفامید و سیتارابین، فعالیت و بیان GALNT11 کاهش می‌یابد (تصویر ۳). در ارتباط با یافته‌های پژوهش حاضر، Ulrich Andergassen و همکاران، نشان دادند که گلیکوزیل ترانسفرازها بعنوان مارکرهایی تشخیصی در مراحل اولیه تومورزاپی مطرح می‌باشند (۱۳).
- در سلول‌های سرطانی لوسمی انسانی، تحقیقات محدودی در مورد GALNT11 بعنوان بیومارکر انجام شده است. نتایج مطالعه‌ی ما که در in vivo و in vitro انجام گرفت نشان داد که در بیماران مبتلا به AML و CML، بیان و فعالیت GALNT11 افزایش می‌یابد. همچنین فعالیت این آنزیم در ردۀ‌های سلولی K562 و THP1 لوسمی، پس از انکوباسیون در حضور سیکلوفسفامید و سیتارابین کاهش چشمگیری داشت. این نتایج مشابه یافته‌های Libisch و همکاران (در زمینه‌ی لفوسیت‌های CCL) بود (۱۴).
- Lina Song و همکاران معتقدند که مهارکننده‌های N استیل گالاکتوز آمین ترانسفراز، مانع تهاجم سلولهای سرطانی می‌شوند (۱۵). اطلاعات حاصل از این تحقیق GALNT11 را بعنوان مارکر احتمالی و بالقوه در سلطانهای AML و CML پیشنهاد می‌کند. با توجه به محدودیت مطالعه‌ی حاضر در زمینه‌ی استفاده از حجم نمونه‌های بیشتر، مطالعات دیگری با جامعه‌ی مورد بررسی بیشتر در مورد قطعیت نقش تشخیصی GALNT11 در بیماران مبتلا به سرطان می‌بایست انجام گیرد.

- for the detection of cancer biomarkers, cells, and tissues by fluorescence. *Chemical reviews* 2015; **115**(19): 10530-10574. doi: 10.1021/acs.chemrev.5b00321
4. Wang D G, Chen G, Wen XY, Wang D, Cheng ZH, Sun SQ, et al. Identification of biomarkers for diagnosis of gastric cancer by bioinformatics. *Asian Pac J Cancer Prev (APJCP)* 2015; **16**(4): 1361-1365. doi: 10.7314/apjcp.2015.16.4.1361
5. Nana-Sinkam S, Croce C. Clinical applications for microRNAs in cancer. *Clinical Pharmacology & Therapeutics* 2013; **93**(1): 98-104. doi: 10.1038/cpt.2012.192
6. Piwkham D. Mutation screening and association study of the Folylpolyglutamate Synthetase (FPGS) gene with susceptibility to childhood acute lymphoblastic leukemia. *Asian Pacific journal of cancer prevention: APJCP* 2015; **16**(11): 4727-4732. doi: 10.7314/APJCP.2015.16.11.4727
7. Villamor N, Conde L, Martínez-Trillo A, Cazorla M, Navarro A, Beà S, et al. NOTCH1 mutations identify a genetic subgroup of chronic lymphocytic leukemia patients with high risk of transformation and poor outcome. *Leukemia* 2013; **27**(5): 1100-1106. doi: 10.1038/leu.2012.357
8. Winkelmann N, Rose-Zerilli M, Forster J, Parry M, Parker A, Gardiner A, et al. Low frequency mutations independently predict poor treatment-free survival in early stage chronic lymphocytic leukemia and monoclonal B-cell lymphocytosis. *Haematologica* 2015; **100**(6): 237-239. doi: 10.3324/haematol.2014.120238
9. Glavey S V, Huynh D, Reagan M R, Manier S, Moschetta M, Kawano Y, et al. The cancer glycome: carbohydrates as mediators of metastasis. *Blood Reviews* 2015; **29**(4): 269-279. doi: 10.1016/j.blre.2015.01.003
10. Ding M X, Wang H F, Wang J S, Zhan H, Zuo Yi-Gang, De-Lin Yang, et al. ppGalNAc T1 as a potential novel marker for human bladder cancer. *Asian Pacific Journal of Cancer Prevention* 2012; **13**(11): 5653-5657. doi: 10.7314/APJCP.2012.13.11.5653
11. Stowell S R, Ju T, Cummings R D. Protein glycosylation in cancer. *Annual Review of Pathology: Mechanisms of Disease* 2015; **10**: 473-510. doi: 10.1146/annurev-pathol-012414-040438
12. Wu C1, Guo X, Wang W, Wang Y, Shan Y, Zhang B, et al., N-Acetylgalactosaminyltransferase-14 as a potential biomarker for breast cancer by immunohistochemistry. *BMC Cancer* 2010; **10**(1): 123. doi: 10.1186/1471-2407-10-123
13. Andergassen U, Liesche F, Körb A C, Ilmer M, Hutter S, Friese K, et al. Glycosyltransferases as markers for early tumorigenesis. *BioMed research international* 2015; **2015**: 792672. doi: 10.1155/2015/792672
14. Libisch M G, Casás M, Chiribao M, Moreno P, Cayota A, Osinaga E, et al. GALNT11 as a new molecular marker in chronic lymphocytic leukemia. *Gene* 2014; **533**(1): 270-279. doi: 10.1016/j.gene.2013.09.052
15. Song L, Linstedt A. Inhibitor of ppGalNAc-T3-mediated O-glycosylation blocks cancer cell invasiveness and lowers FGF23 levels. *eLife* 2017; **31**(6): e24051. doi: 10.7554/eLife.24051

The acute effects of anaerobic exercise in the morning and evening on brain natriuretic peptide (BNP) in women with the Metabolic Syndrome

Ali Osali[✉]

Department of Physical Education and Sport Sciences, University of Bonab, Bonab, Iran

*Corresponding author; E-mail: osalialiphd@gmail.com

Received: 20 July 2017 Accepted: 4 November 2017 First Published online: 4 July 2019
Med J Tabriz Uni Med Sciences Health Services. 2019 August- September; 41(3):31-37

Abstract

Background: Brain natriuretic peptide (BNP) in terms of pathological is an important indicator for evaluation and detection left ventricular systolic dysfunction. It seems that physical activity and circadian rhythms are effective on BNP concentration. The aim of this study was to investigate the acute effects of anaerobic exercise in the morning and evening on brain natriuretic peptide in women with Syndrome Metabolic.

Methods: 17 women 30-40 years of age with Metabolic Syndrome were selected voluntarily and purposefully participated in the study. Then in two separate sessions (within 6 days) anaerobic exercise performed in the morning and evening. Blood samples were collected before and immediately after exercise in the morning and evening.

Results: The BNP concentrations significantly increased after exercise in the morning and evening ($P<0.000$). There was significant difference between morning and evening in BNP concentration after exercise ($P<0.002$).

Conclusion: Considering the significant difference in the mean BNP concentration in the morning and evening, due to the lower average of BNP concentration in the evening it seems activity in the evening have less stress on the myocardial wall.

Keyword: Brain natriuretic peptide, anaerobic exercise, Syndrome Metabolic.

How to cite this article: Osali A. [The acute effects of anaerobic exercise in the morning and evening on brain natriuretic peptide in women with the Metabolic Syndrome]. Med J Tabriz Uni Med Sciences Health Services. 2019 August- September; 41(3):31-37. Persian.

مقاله پژوهشی

تأثیر حاد فعالیت بی هوایی در صبح و عصر بر غلظت BNP زنان مبتلا به سندروم متابولیک

علی اوصالی 

دانشکده تربیت بدنی و علوم ورزشی دانشگاه بناب، بناب، ایران
نویسنده مسؤول؛ ایمیل: osalialiphd@gmail.com

دریافت: ۱۳۹۶/۴/۲۹ پذیرش: ۱۳۹۶/۸/۱۳ انتشار پرخط: ۱۳۹۸/۴/۱۳
مجله پزشکی دانشگاه علوم پزشکی و خدمات بهداشتی - درمانی تبریز. مرداد و شهریور ۱۳۹۸؛ ۴۱(۳):۳۷-۳۱

چکیده

زمینه: پیتید ناتریورتیک مغزی (BNP) به لحاظ پاتولوژیک یک نشانگر مهم در بررسی و تشخیص اختلال عملکرد سیستولیک بطن چپ می‌باشد. به نظر می‌رسد فعالیت بدنی و ساعت شبانه‌روزی بر تغییرات غلظت BNP اثرگذار است. هدف از مطالعه حاضر بررسی زمان انجام فعالیت بی هوایی بر تغییرات غلظت BNP زنان مبتلا به سندروم متابولیک بود.

روش کار: ۱۷ زن ۳۰ تا ۴۰ ساله مبتلا به سندروم متابولیک به صورت داوطلبانه و هدفمند انتخاب و در مطالعه شرکت کردند. سپس در دو جلسه‌ی مجزا (به فاصله ۶ روز) فعالیت بی هوایی را در صبح و عصر و به صورت میدانی اجرا کردند. نمونه خونی قبل و بلا فاصله بعد از اجرای فعالیت در صبح و عصر جمع آوری گردید. برای تجزیه تحلیل داده‌ها از روش آماری تی تست و تی جفتی استفاده گردید. سطح معنی داری ($P \leq 0.05$) در نظر گرفته شد.

یافته‌ها: بر اساس نتایج بدست آمده تفاوت معنی داری در تغییرات BNP صبح و عصر در پیش آزمون و پس آزمون وجود داشت ($P < 0.0001$). همچنین غلظت BNP بعد از تمرین هوایی در وهله صبح نسبت به عصر بیشتر بود و این اختلاف به لحاظ آماری معنی دار می‌باشد ($P < 0.002$).

نتیجه‌گیری: با توجه به وجود تفاوت معنی دار در میانگین غلظت BNP صبح و عصر، به دلیل کمتر بودن میانگین غلظت BNP در عصر به نظر می‌رسد فعالیت در عصر استرس کمتری را بر دیواره میوکارد وارد می‌کند.

کلید واژه‌ها: پیتید ناتریورتیک مغزی، فعالیت بی هوایی، سندروم متابولیک

نحوه استناد به این مقاله: اوصالی ع. تأثیر حاد فعالیت بی هوایی در صبح و عصر بر غلظت BNP زنان مبتلا به سندروم متابولیک. مجله پزشکی دانشگاه علوم پزشکی و خدمات بهداشتی - درمانی تبریز. ۱۳۹۸؛ ۴۱(۳):۳۷-۳۱.

حق تألیف برای مؤلف محفوظ است.

این مقاله با دسترسی آزاد توسط دانشگاه علوم پزشکی و خدمات بهداشتی - درمانی تبریز تحت مجوز کریپتو کامنز (Creative Commons BY 4.0) منتشر شده که طبق مفاد آن هرگونه استفاده تنها در صورتی مجاز است که به اثر اصلی به نحو مقتضی استناد و ارجاع داده شده باشد.

مقدمه

گرفته می شود، اما به عنوان یک روش تمرینی مؤثر همانند تمرینات سنتی، کمتر در جوامع علمی جهت درمان و پیشگیری مورد توجه قرار گرفته است (۱۱). در دهه های اخیر علاقه مندی به تمرینات تناوبی باشدت بالا افزایش یافته است (۵). این افزایش علاقه مندی می تواند در نتیجه یافته های برخی از مطالعات باشد که نشان داده اند، تمرین تناوبی که از چندین وله فعالیت باشدت بالا همراه با وله های استراحتی تشکیل شده است می تواند اثراتی بارزتر و یا مشابه با تمرین تداومی سنتی بر سازگاری های قلبی تنفسی و عملکرد قلبی عروقی داشته باشد (۵, ۱۲). همچنین با وجود فواید سلامتی بالقوه و زیاد تمرینات استقامتی، بسیاری از بزرگسالان به علت نداشتن زمان کافی به عنوان یک مانع مهم در این تمرین ها شرکت نمی کنند. بنابراین مطالعه های متابولیک مشابه و بدون فعالیت ورزشی جایگزین با سازگاری های متابولیک می باشد. یکی از این پروتکل ها تعهد زمانی قابل ملاحظه مورد نیاز می باشد. یکی از این پروتکل ها و فعالیت های ورزشی که به تازگی مورد توجه بسیاری از پژوهشگران قرار گرفته، تمرینات ایتروال است که شامل تناوب های فعالیت ورزشی معمولاً باشدت زیاد و وله های استراحتی می باشد. این تمرینات یک مدل بسیار کارآمد زمانی تمرین ورزشی بوده و بسیاری از سازگاری های متابولیکی تمرین استقامتی را دارد (۱۳).

سندرم متابولیک به حضور حداقل ۳ از ۵ عامل خطر متابولیک اطلاق می شود که این عوامل عبارتند از: چربی دور کمر بیشتر از ۹۴ سانتی متر، تری گلیسیرید بالاتر از ۱۵۰، سطح HDL-C کمتر از ۴۰، هایپرگلیسیمی (گلوكز بیشتر از ۱۱۰) و فشار خون بالاتر از ۱۳۰/۸۵ (۱۴). در این میان یکی از بهترین متد پیشنهادی از سوی فیزیولوژیست های ورزشی جهت بهبود سندرم متابولیک تمرین تناوبی باشدت بالا می باشد. با توجه به اینکه فشار خون بالا موجب پس بار می شود این نگرانی برای فیزیولوژیست های ورزشی وجود دارد که انجام تمرین باشدت بالا و پس بار حاصل از فشار خون بالا موجب افزایش BNP گردد (۱۶).

ریتم شباه روزی، عمل سلول ها و هورمون های بدن را در طی یک دوره ۲۴ ساعته در طول زندگی تنظیم می کند. سطح هورمون های بدن در طول شباه روز در نوسان است؛ از این رو بررسی تأثیر ریتم شباه روزی بر سطوح هورمون ها همواره مورد توجه پژوهشگران بوده است (۱۷, ۱۸). یافته های اخیر علم زیست شناسی زمانی (شناخت اثر زمان بر تغییرات فیزیولوژیک) نشان می دهد، بدن انسان در طول شباه روز متتحمل تغییرات زیادی می شود و در هر ساعت توانایی خاصی دارد (۱۹, ۲۰). به نظر می رسد ساعات شباه روزی بر تغییرات غلظت BNP اثرگذار است (۱۸). بنابراین هدف از مطالعه های حاضر بررسی بهترین زمان برای انجام فعالیت تناوبی باشدت بالا بر تغییرات غلظت BNP زنان

با کشف پیتیدهای ناتریورتیک، دانش سنتی مردم از قلب تغییر کرد و مفهوم جدیدی مطرح گردید که قلب تنها یک عضو پویا برای گردش خون نیست، بلکه عملکرد اندوکرین مهمی دارد. پیتید ناتریورتیک مغزی یا پیتید ناتریورتیک نوع B (BNP) در سال ۱۹۸۸ کشف شد و پیتید ناتریورتیک مغزی نام گرفت، چرا که برای اولین بار در مغز خوک شناسایی گردید (۱)، پس از آن BNP در غلظت های بسیار بیشتر در بافت های قلبی یافت شد (۲). اصولاً توسط کاردیومیوسیت های بطی سستر و ترشح می شود (۲). افزایش تنش یا کشش دیواره بطن در نتیجه اضافه بار حجمی می تواند ترشح BNP از بطن چپ را تحریک نماید (۲, ۳). به نظر می رسد فعالیت ورزشی می تواند غلظت سرمی این پیتید را تحت تأثیر قرار دهد (۶-۴). BNP به لحاظ پاتولوژیک یک نشانگر مهم در بررسی و تشخیص اختلال عملکرد سیستولی بطن چپ می باشد (۶, ۷).

جزء هورمون های پلی پیتیدی قلب و واژو دیلاتور های BNP بسیار نیرومند به شمار می رود. ناتریورزیس فرایند دفع مقادیر نمک در ادرار است. BNP غلظت سدیم در خون را از راه دفع ادراری کاهش می دهد به همراه دفع سدیم مقدار زیادی نیز آب دفع می گردد. بسیاری از داروهای دیورتیک با استفاده از این مکانیسم فشار خون را کاهش می دهند. در حقیقت پیتیدهای ناتریورتیک دیورتیک های طبیعی بدن خوانده می شوند که از راه قلب و رگ های خونی در هنگام بروز نارسایی قلبی ترشح می شوند. نیمه عمر BNP بیست دقیقه است (۱, ۸).

BNP نوروهورمونی است که در اثر فشار به دیواره ها و اتساع بطن های قلب و همچنین افزایش فشار خون آزاد می شود. BNP کاهش فشار خون را از طریق اتساع و انتفاض شریان های آوران و واپران گلومرولی باعث می گردد. همچنین BNP با مهار کاتکولامین ها و افزایش گیرنده غشاءای GMP باعث شل شدن عضلات صاف رگی در شریان ها و وریدها می شوند (۱).

انجام تمرینات ورزشی مداوم و اتخاذ رژیم غذایی موجب کاهش سطح BNP می گردد (۸). نتایج غالب تحقیقات انجام گرفته شده افزایش سطح BNP در حین و بلا فاصله و ۳۰ دقیقه بعد از یک جلسه تمرین ورزشی را نشان می دهند (۱, ۵, ۶, ۹, ۱۰). نوع تمرینات و زمان انجام تمرینات جهت کاهش فشار و خطرات احتمالی به قلب مورد توجه فیزیولوژیست های ورزشی است (۶). امروزه اشکال جدید و متنوعی از تمرینات ورزشی در حال توسعه هستند و به طور معمول مورد استفاده قرار می گیرند. به طور سنتی، تمرینات تداومی با شدت متوسط روش تمرینی ترجیحی در دستیابی به تغییرات عملکردی، توانبخشی و پیشگیری از بیماری ها بوده است (۶, ۸). از طرف تمرینات تناوبی باشدت بالا برای مدت هاست که توسط ورزشکاران نخبه به کار

جداسازی پلاسما نمونه‌ها تا زمان تجزیه تحلیل در دمای -70°C درجه فریز شدند. غلظت BNP بوسله رادیوایمونوآسی توسط کیت Shionoria RIA kit اندازه‌گیری شد.

از میانگین و انحراف معیار برای توصیف آماری داده‌ها استفاده شد. نرمال بودن توزیع داده‌ها با به کار گیری آزمون شاپیرو-ولیک مورد بررسی قرار گرفت. جهت تجزیه و تحلیل استنباطی از آزمون α جفتی برای مقایسه میانگین پیش آزمون و پس آزمون استفاده شد. همچنین از آزمون تی وابسته جهت بررسی اختلاف میانگین BNP پس از تمرين صحیح و عصر استفاده شد. سطح معنی‌داری 0.05 در نظر گرفته شد.

یافته‌ها

میانگین و انحراف معیار ویژگی‌های فردی آزمودنی‌ها در جدول ۱ ارائه شده است. جهت بررسی طبیعی بودن توزیع داده‌ها از آزمون شاپیرو-ولیک استفاده شد و نتایج این آزمون نشان داد که همه داده‌ها از توزیع طبیعی برخوردار بودند. بر اساس نتایج به دست آمده تفاوت معنی‌داری تغیرات BNP در دو نوبت صحیح و عصر در پیش آزمون و پس آزمون در مقادیر غلظت BNP وجود داشت ($P \leq 0.05$) (جدول ۲). غلظت BNP پس از فعالیت در صحیح و عصر نسبت به پیش آزمون افزایش معنی‌داری پیدا کرد ($P \leq 0.05$) (جدول ۳).

جدول ۱: ویژگی‌های فردی آزمودنی‌ها (میانگین \pm انحراف معیار)

متغیر	میانگین \pm انحراف معیار
سن (سال)	35.17 ± 3.14
فشار خون	$147/88 \pm 10/62$
سایز دور کمر (cm)	102.94 ± 6.41
چربی بدن (درصد)	37.29 ± 3.37

جدول ۲: تغیرات BNP در دو نوبت صحیح و عصر توسط آزمون تی جفتی

زمان فعالیت	متغیر	اندازه‌گیری	صیح	میانگین \pm انحراف معیار	P
عصر					

*: نشان‌دهنده تفاوت معنی‌دار بین پیش آزمون و پس آزمون

جدول ۳: مقایسه میزان اختلاف BNP پیش آزمون و پس آزمون در دو نوبت صحیح و عصر توسط آزمون تی تست

متغیر	میانگین \pm انحراف معیار
صیح	
عصر	
BNP (pg/mL)	

متلا به سندرم متابولیک می‌باشد. در این تحقیق در نظر داریم میزان سطوح BNP بالا فاصله بعد از تمرين صحیح و عصر را در زنان متلا به سندرم متابولیک را مورد بررسی قرار دهیم. با انجام این تحقیق بهترین زمان برای انجام تمرينات ورزشی افراد متلا به سندرم متابولیک مشخص خواهد شد.

روش کار

۱۷ زن 30 ± 40 ساله متلا به سندرم متابولیک با میانگین سنی 35.17 ± 3.14 سال به صورت داوطلبانه و هدفمند انتخاب و در این مطالعه شرکت کردند. طرح تحقیق مطالعه‌ی حاضر، طرح پیش آزمون-پس آزمون با یک گروه و اندازه‌گیری در زمان‌های مختلف بود. در ابتدای مطالعه آزمودنی‌ها از اهداف و خطوات احتمالی تحقیق آگاه شدند و از آن‌ها خواسته شد تا فرم رضایت آگاهانه و همچنین پرسشنامه‌ی سابقه‌ی پژوهشی شرکت در طرح پژوهشی را با دقت مطالعه و تکمیل نمایند. هیچ یک از آزمودنی‌ها دارای سابقه بیماری ریوی، کلیوی یا قلبی عروقی نبودند و مشروبات الکلی و سیگار استعمال نمی‌کردند. در جلسه‌ای مجزا قد و وزن آزمودنی‌ها با استفاده از ترازو و قدسانج اندازه‌گیری شد. همچنین ترکیب بدنی شرکت‌کنندگان با استفاده از دستگاه بادی کامپوزیشن مدل BF500 OMRON ساخت کشور آلمان اندازه‌گیری گردید میزان خطای این دستگاه 0.1% می‌باشد. سپس آزمودنی‌ها با نحوه اجرای پروتکل فعالیت ورزشی آشنا شدند. آزمودنی‌ها فعالیت تناوبی با شدت بالا را صبح ساعت $(7:30 \text{ to } 8:30)$ و پس از 6 روز دوره‌ی پاکسازی عصر ساعت $(17:30 \text{ to } 18:30)$ اجرا کردند.

فعالیت تناوبی با شدت بالا شامل اجرای پروتکل تمرينی اصلاح شده بروس بود (۶). آزمودنی‌ها در وله‌های اول 5 مرحله از تست بروس را انجام دادند. آزمودنی‌ها در وله‌های دوم تا هفتم فقط مرحله 5 تست بروس که سرعت دویلن 676 و شبیه آن 16% بود را انجام دادند. آزمودنی‌ها 120 ثانیه استراحت غیرفعال در بین وله‌ها را در دستور کار داشتند.

فشارخون آزمودنی‌ها در حالت نشسته بر روی صندلی با پشتی مناسب به طوری که هر دو پا بر روی زمین قرار داشت به وسیله دستگاه فشارسنج بازویی دیجیتال (Omron M2, Kyoto, Japan) بر طبق راهنمای سازمان جهانی بهداشت (۲۱)، قبل و بلا فاصله بعد از اجرای فعالیت اندازه‌گیری شد.

نمونه خونی نیز قبل و بلا فاصله بعد (حداکثر 5 دقیقه بعد از فعالیت) از فعالیت از ساعد افراد و در حالت نشسته با استفاده از سرنگ استریل و توسط تکنسین آزمایشگاه در محل اجرای آزمون در لوله آزمایش پلی پروپیلن جمع آوری گردید. نمونه‌های خون در دمای 4 درجه سانتی گراد به مدت 10 دقیقه با سرعت 3000 دور در دقیقه در آزمایشگاه پارس زنجان سانتریفیوژ شدند. پس از

قبل، بالافصله بعد و یک تا سه ساعت بعد از تست بیشینه بر روی دوچرخه کارسنج بررسی کردند. یافته‌های آن‌ها نشان داد که افزایش در BNP تنها بالافصله بعد از فعالیت بیشینه در مقایسه با مقادیر پیش‌آزمون معنی دار بود. افزایش در غلظت BNP در مردان ورزشکار پس از ۱۰۰ کیلومتر دوی فوق ماراتن نیز گزارش شده است (۲۸). احتمالاً تفاوت در نوع تمرین (۳، ۵، ۶، ۲۳)، شدت فعالیت (۲۸، ۲۳، ۳)، مدت فعالیت (۶، ۲۳، ۲۸) و ویژگی‌های آزمودنی (۴، ۳، ۲۷) علت ناهمسانی در نتیجه مطالعه‌ی حاضر با مطالعات یاد شده باشد. نکته قابل توجه این می‌باشد که انجام تمرینات ورزشی با حداکثر توان و یا استقامتی طولانی مدت موجب افزایش BNP گردیده است. با توجه به اینکه تاکنون هیچ تحقیقی میزان تغییرات BNP را در صبح و بعد از ظهر پس از تمرین بی‌هوایی در زنان مبتلا به سندرم متابولیک مورد بررسی قرار نداده است امکان مقایسه نتایج مشابه و مخالف در این زمینه وجود ندارد.

سنجهش BNP به عنوان نشانگر و پیش‌بینی کننده مستقل بقای قلبی در تشخیص و پیش‌بینی اختلال عملکرد، ایسکمی و نارسایی قلبی استفاده می‌شود (۲۹). BNP توسط کاردیومیوستیت‌های بطنی سنتز و ترشح می‌شود (۲، ۴، ۳۰). افزایش تنش یا کشش دیواره بطن در اثر اضافه‌بار حجمی و ایسکمی می‌تواند موجب تحریک و ترشح BNP از بطن چپ شود (۲). در افراد سالم نیز افزایش فشار و اضافه‌بار بطن چپ می‌تواند عاملی مهم در رهایش BNP باشد (۳، ۲). اگر پس از فعالیت ورزشی آسیب در میوکارد هر چند ناچیز رخ دهد، میزان BNP افزایش می‌یابد (۲، ۲۸). از این رو، از آنجایی که افزایش غلظت BNP در خون بازتابی از افزایش تنش دیواره میوکارد به علت کشش و آسیب کاردیومیوستیت ناشی از اضافه‌بار حجم یا فشار می‌باشد، به نظر می‌رسد که فعالیت تناوبی با حجم کم و شدت بالا در مطالعه‌ی حاضر موجب اضافه‌بار یا فشار بر بطن چپ و ایجاد اختلال در عملکرد بطنی در زنان مبتلا به سندرم متابولیک غیر فعال شده باشد و از آنجایی که این مقدار در عصر کمتر از صبح بود انجام تمرین در عصر را به زنان مبتلا به سندرم متابولیک را پیشنهاد می‌کنیم.

نتیجه‌گیری

به دلیل کمتر بودن میانگین غلظت BNP زنان مبتلا به سندرم متابولیک پس از فعالیت تناوبی بی‌هوایی در عصر نسبت به صبح، به نظر می‌رسد فعالیت در عصر استرس کمتری را بر دیواره میوکارد وارد کرده و انجام فعالیت ورزشی در عصر می‌تواند مناسب‌تر باشد.

بحث

غلظت BNP پس از فعالیت در صبح ۴۷٪ و عصر ۳۵٪ نسبت به پیش‌آزمون افزایش پیدا کردند که این افزایش از لحاظ آماری معنی دار می‌باشد. همچنین نتایج آزمون تی مستقل نشان از تفاوت معنی داری بین اختلاف میانگین پیش‌آزمون و پس‌آزمون غلظت BNP در صبح و عصر بود. میانگین غلظت BNP پس از تمرین در صبح نسبت به عصر ۱۵٪ بیشتر بود. تقریباً تمام فرایندهای فیزیولوژیک و بیوشیمیایی بدن انسان از ریتم شباهنروزی پیروی می‌کنند (۲۲). Ohno و همکاران در مطالعه‌ای بر روی نمونه‌های حیوانی مشاهده کردند که میانگین غلظت BNP در ساعت ۲:۳۰ بامداد کمترین غلظت و در ساعت ۱۴:۳۰ بیشترین غلظت را داشت. بر اساس این یافته به نظر می‌رسد غلظت BNP تا حدودی تحت تأثیر ریتم شباهنروزی قرار دارد (۱۸). همچنین لازم ذکر است میانگین غلظت BNP در افراد مبتلا به قلبی عروقی بیشتر از افراد سالم می‌باشد (۲۳).

انگوارن و همکاران، Normandin و همکاران، Tanabe و همکاران، Kruger و همکاران و Löwbeer و همکاران در مطالعه خود عدم تغییر معنی دار BNP را پس از فعالیت ورزشی گزارش کردند که این نتایج با نتایج تحقیق حاضر ناهمسو می‌باشد (۳، ۲۳-۲۵). به طور مثال، Normandin و همکاران تغییر معنی داری را در غلظت BNP به واسطه فعالیت دوچرخه سواری با ۶۰ درصد از حداکثر توان به مدت ۲۲ دقیقه در بیماران با نارسایی قلبی ۶۱ ساله مشاهده نکردند (۲۳). همچنین Tanabe و همکاران در تحقیق خود عدم تغییر معنی دار غلظت BNP در افراد سالم ۲۲ ساله بعد از فعالیت با دوچرخه کارسنج را گزارش کردند، آزمودنی‌ها در این تحقیق پس از ۴ دقیقه گرم کردن با شدت ۲۰ وات، تا آستانه بی‌هوایی که هر سه ثانیه یک وات به شدت دوچرخه سواری افروزده می‌شد تمرین کردند (۳). با این حال چندین مطالعه افزایش در BNP را پس از فعالیت ورزشی گزارش کرده‌اند (۴، ۲۶، ۲۷). شیخانی و همکاران در تحقیقی اثر یک جلسه تمرین مقاومتی و هوایی را در ورزشکاران حرفة‌ای را بررسی کردند. یافته‌های آن‌ها حاکی از افزایش معنی دار غلظت BNP پلاسمما بالافصله پس از رقابت فوتبال، والیال، شنا و بدنسازی بود (۲۷). نتایج مطالعه‌ی انگلمن و همکاران که بر روی افراد سالم و بیماران با فیریلاسیون دهلیزی انجام شده بود نیز نشان داد که BNP به طور معنی داری در طی فعالیت بروس اصلاح شده و اوج آزمون ورزشی در تمامی آزمودنی‌ها افزایش داشت (۶). Opolski و Wozakowska تغییرات BNP را پس از آزمون بروس اصلاح شده در بیماران با فیریلاسیون دهلیزی مورد مطالعه قرار دادند و مشاهده کردند که غلظت BNP بالافصله پس از فعالیت افزایش معنی داری یافت (۴). علاوه بر این مطالعات، کروپیکا و همکاران نیز تغییرات BNP پلاسمما را در ۱۵ مرد سالم و به طور تقریبی دارای سابقه ورزشی

قدرتمند

از کلیهی آزمودنی‌ها که در این پژوهش شرکت کردند و همچنین از مسئولان محترم توانبخشی ایثار زنجان به جهت همکاری در نمونه گیری و اجرای پژوهش و تمامی افرادی که ما را در این امر یاری نمودند تقدیر و تشکر می‌نماییم.

منافع متقابل

مؤلف اظهار می‌دارد که منافع متقابلی از تالیف یا انتشار این مقاله ندارد.

مشارکت مؤلفان

۱. ع. ا. طراحی، اجرا و تحلیل نتایج مطالعه را بر عهده داشته، همچنین مقاله را تالیف نموده و نسخه نهایی آن را خوانده و تایید کرده است.

تعارض منافع

تمام هزینه‌های این تحقیق بر عهده نویسنده بود و هیچ گونه تعارض منافعی وجود نداشت. این مقاله برگرفته از یک کار پژوهشی می‌باشد و با رضایت کامل افراد آزمودنی به انجام رسیده است.

References

- Hafeezullah Wazir A, Muhammad A, Muhammad Mazhar H, Sohail A, Farmanullah W. Effect of endurance exercise on brain natriuretic peptide. *KMUJ* 2013; **5**(2): 66-70.
- Kruger S, Graf J, Kunz D, Stickel T, Hanrath P, Janssens U. Brain Natriuretic Peptide Levels Predict Functional Capacity in Patients With Chronic Heart Failure. *Journal of the American College of Cardiology* 2002; **40**(4): 718-722. doi: 10.1016/S0735-1097(02)02032-6
- Tanabe K, Yamamoto A, Suzuki N, Akashi Y, Seki A, Samejima H, et al. Exercise-induced changes in plasma atrial natriuretic peptide and brain natriuretic peptide concentrations in healthy subjects with chronic sleep deprivation. *Japanese circulation journal* 1999; **63**(6): 447-452. doi: 10.1253/jcj.63.447
- Wozakowska-Kaplon B, Opolski G. Effects of exercise testing on natriuretic peptide secretion in patients with atrial fibrillation. *Kardiologia polska* 2009; **67**(3): 254-261. doi: 10.1111/j.1540-8159.2010.02789.x
- Krupicka J, Janota T, Kasalova Z, Hradec J. Effect of short-term maximal exercise on BNP plasma levels in healthy individuals. *Physiological Research* 2010; **59**(4): 625.
- Engelmann M D, Niemann L, Kanstrup I-L, Skagen K, Godtfredsen J. Natriuretic peptide response to dynamic exercise in patients with atrial fibrillation. *International journal of cardiology* 2005; **105**(1): 31-39. doi: 10.1016/j.ijcard.2004.10.046
- McDonagh T, Robb S, Murdoch D, Morton J, Ford I, Morrison C, et al. Biochemical detection of left-ventricular systolic dysfunction. *The Lancet* 1998; **351**(9095): 9-13. doi: 10.1016/S0140-6736(97)03034-1
- Hidetaka Hamasaki. The Effects of Exercise on Natriuretic Peptides in Individuals without Heart Failure. *MDPI* 2016; **4**(2): 32. doi: 10.3390/sports4020032
- Sheikhani Shahin H, Babaee Bigi M A, Aslani A, Daryanoosh F. Effect of Professional Exercises on Brain Natriuretic Peptide. *Iranian Cardiovascular Research Journal* 2009; **3**(4): 213-216.
- Kato M, Kinugawa T, Ogino K, Endo A, Osaki S, Igawa O, et al. Augmented response in plasma brain natriuretic peptide to dynamic exercise in patients with left ventricular dysfunction and congestive heart failure. *Journal of Internal Medicine* 2000; **248**: 309-315. doi: 10.1046/j.1365-2796.2000.00736.x
- Dunham C, Harms C A. Effects of high-intensity interval training on pulmonary function. *European journal of applied physiology* 2012; **112**(8): 3061-3068. doi: 10.1007/s00421-011-2285-5.
- Molmen-Hansen H E, Stolen T, Tjonna A E, Aamot I L, Ekeberg I S, Tyldum G A, et al. Aerobic interval training reduces blood pressure and improves myocardial function in hypertensive patients. *European journal of preventive cardiology* 2012; **19**(2): 151-160. doi: 10.1177/1741826711400512
- Jolleyman C, Yates T, O'Donovan G, Gray L J, King J A, Khunti K, et al. The effects of high-intensity interval training on glucose regulation and insulin resistance: a meta-analysis. *Obesity Reviews* 2015; **16**(11): 942-961. doi: 10.1111/obr.12317.
- Grundy S M, Cleeman J I, Daniels S R, Donato K A, Eckel R H, Franklin B A, et al. Diagnosis and management of the metabolic syndrome: an American heart association/national heart, lung, and blood institute scientific statement. *Circulation* 2005; **112**: 2735-2752. doi: 10.1161/circulationaha.105.169404
- Cavalieri M, Ropele S, Petrovic K, Pluta-Fuerst A, Homayoon N, Enzinger C, et al. Metabolic syndrome, brain magnetic resonance imaging, and cognition. *Diabetes Care* 2010; **33**(12): 2489-2495. doi: 10.2337/dc10-0851

16. Scharhag J, George K, Shave R, Urhausen A, Kindermann W. Exercise-associated increases in cardiac biomarkers. *Medicine+ Science in Sports+ Exercise* 2008; **40**(8): 1408. doi: 10.1249/MSS.0b013e318172cf22.
17. Viru Atko A. Viru Mehis. Biochemical monitoring of sport training. *Human Kinetics* 2001; **4**: 25-32.
18. Ohno R, Miyata H, Kimura M. Circadian R. Effects of anesthesia on plasma natriuretic peptide levels in rats. *Yakugaku zasshi. Journal of the Pharmaceutical Society of Japan* 2009; **129**(12): 1529-1535. doi: 10.1248/yakushi.129.1529
19. Filadelfi A, Caliman M, Lauro C. Comparative aspects of the pineal/melatonin system of poikilothermic vertebrates. *Journal of Pineal research* 1996; **20**(4): 175-186. doi: 10.1111/j.1600-079X.1996.tb00256.x
20. Goda A, Ohgi S, Kinpara K, Shigemori K, Fukuda K, Schneider E B. Changes in serum BDNF levels associated with moderate-intensity exercise in healthy young Japanese men. *Springerplus* 2013; **2**: 678. doi: 10.1186/2193-1801-2-678
21. Knoepfli-Lenzin C, Sennhauser C, Toigo M, Boutellier U, Bangsbo Jens, Krstrup Peter, et al. Effects of a 12-week intervention period with football and running for habitually active men with mild. *Scandinavian journal of medicine & science in sports* 2010; **10**(1): 72-79. doi: 10.1111/j.1600-0838.2009.01089.x
22. Teo W, Newton M J, McGuigan M R. Circadian rhythms in exercise performance: implications for hormonal and muscular adaptation. *J Sports Sci Med* 2011; **10**(4): 600-606. doi: 10.4135/9781412961165.n109
23. Normandin Eve, Nigam A, Meyer Ph, Juneau M, Guiraud T, Bosquet L, et al. Acute responses to intermittent and continuous exercise in heart failure patients. *Canadian Journal of Cardiology* 2012; **29**(4): 466-471. doi: 10.1016/j.cjca.2012.07.001
24. Löwbeer Ch, Seeberger A, Gustafsson S A, Bouvier F, Hulting J. Serum cardiac troponin T, troponin I, plasma BNP and left ventricular mass index in professional football players. *Journal of Science and Medicine in Sport* 2007; **10**(5): 291-296. doi: 10.1016/j.jsams.2006.10.002
25. Kruger S, Graf J, Merx M W, Stickel T, Kunz D, Hanrath P, et al. Brain natriuretic peptide kinetics during dynamic exercise in patients with chronic heart failure. *International journal of cardiology* 2004; **95**(1): 49-54. doi: 10.1016/j.ijcard.2003.04.021
26. Krupicka J, Janota T, Kasalova Z, Hradec J. Effect of Short-Term Maximal Exercise on BNP Plasma Levels in Healthy Individuals. *Physiol Res* 2010; **59**(4): 625-628.
27. Sheikhani H, Beygi M, Babaee A, Daryanoosh F, Jafari B. Alteration of Plasma Brain Natriuretic Peptide Level After Acute Moderate Exercise in Professional Athletes. *International Cardiovascular Research Journal* 2011; **5**(4): 148-150. doi: 10.5812/icrj.4648.
28. Ohba H, Takada H, Musha H, Nagashima J, Mori N, Awaya T, et al. Effects of prolonged strenuous exercise on plasma levels of atrial natriuretic peptide and brain natriuretic peptide in healthy men. *American heart journal* 2001; **141**(5): 751-758. doi: 10.1067/mhj.2001.114371
29. de Groote P, Dagorn J, Soudan B, Lamblin N, McFadden E, Bauters C. B-type natriuretic peptide and peak exercise oxygen consumption provide independent information for risk stratification in patients with stable congestive heart failure. *Journal of the American College of Cardiology* 2004; **43**(9): 1584-1589. doi: 10.1016/j.jacc.2003.11.059
30. Mukoyama M, Nakao K, Hosoda K, Suga S, Saito Y, Ogawa Y, et al. Brain natriuretic peptide as a novel cardiac hormone in humans. Evidence for an exquisite dual natriuretic peptide system, atrial natriuretic peptide and brain natriuretic peptide. *J Clin Invest* 1991; **87**(4): 1402-1412. doi: 10.1172/JCI115146.

Study of rs2858060 polymorphism in Lnc-Ang362 long non-coding sequence as an informative marker in screening of atherosclerotic coronary artery diseases: pilot study

Khadijeh Bazooei¹ , Mahboobeh Nasiri^{1*} , Hajar Kamfiroozi² 

¹Department of Biology, Islamic Azad University, Arsanjan Branch, Arsanjan, Iran

²Cardiologist, Cardiovascular Research Center, Shiraz University of Medical Sciences, Shiraz, Iran

*Corresponding author; E-mail: nasiri@iaua.ac.ir

Received: 26 May 2018 Accepted: 24 June 2018 First Published online: 4 July 2019

Med J Tabriz Uni Med Sciences Health Services. 2019 August- September; 41(3):38-43

Abstract

Background: Atherosclerotic coronary artery disease (CAD) is the major cause of death and disability by affecting more than 20% of the individuals over age 35. Lnc-Ang362, an AngII-upregulated long non-coding RNA transcript, regulates the vascular smooth muscle cell proliferation by targeting miR-221 and miR-222. The present study aimed to evaluate the association of the rs2858060 polymorphism in Lnc-Ang362 transcript with the risk of the atherosclerotic CAD.

Methods: This case-control study included 150 affected individuals with CAD and 149 healthy controls. T-ARMS PCR method was used to determine the genotypes of each sample for the polymorphic marker rs2858060 in Lnc-Ang362 gene.

Results: The frequency of the homozygote genotype CC in control group (42.3%) was higher than patient group (31.3%). Individuals with CC genotype were shown to have lower risk of CAD (OR: 0.61; 95%CI: 0.36- 1.01; $p=0.05$). The frequency of the polymorphic allele C was 0.51% in control group and 0.43% in patients (OR: 0.68; 95%CI: 0.49- 0.94; $p=0.02$).

Conclusion: The long non-coding RNA transcript Lnc-Ang362 may involve in the pathogenesis of the CAD and could consider as a molecular target for prognosis and screening of the patients with CAD.

Keyword: atherosclerotic coronary artery disease, screening, long non-coding transcript, Lnc-Ang362, rs2858060.

How to cite this article: Bazooei Kh, Nasiri M, Kamfiroozi H. [Study of rs2858060 polymorphism in Lnc-Ang362 long non-coding sequence as an informative marker in screening of atherosclerotic coronary artery diseases: pilot study]. Med J Tabriz Uni Med Sciences Health Services. 2019 August-September; 41(3):38-43. Persian.

مقاله پژوهشی

پلیمورفیسم rs2858060 در توالی غیرکدکننده طویل Lnc-Ang362 به عنوان مارکر گویا در غربالگری بیماری‌های عروق کرونری آترواسکلروتیک: مطالعه آزمایشی

خدیجه بازویی^۱، محبوبه نصیری^{۱*}، هاجر کامفیروزی^۲

^۱ گروه زیست‌شناسی، دانشکده علوم پایه، دانشگاه آزاد اسلامی، واحد ارسنجان، ارسنجان، ایران،
^۲ مرکز تحقیقات قلب و عروق، دانشگاه علوم پزشکی شیراز، شیراز، ایران،
^{*} نویسنده مسؤول؛ ایمیل: nasiri@iaua.ac.ir

دریافت: ۱۳۹۷/۲/۵ پذیرش: ۱۳۹۷/۴/۲ انتشار برخط: ۱۳۹۸/۴/۱۳
 مجله پزشکی دانشگاه علوم پزشکی و خدمات بهداشتی - درمانی تبریز. مرداد و شهریور ۱۳۹۸؛ (۳)۴۱: ۳۸-۴۳.

چکیده

زمینه: بیماری عروق کرونری آترواسکلروتیک (CAD) با درگیر کردن بیش از ۲۰٪ جمعیت بالای ۳۵ سال، یکی از علل عمدۀ مرگ و ناتوانی محسوب می‌شود. Lnc-Ang362 رونوشت غیرکدکننده طویل با افزایش بیان در پاسخ به آثربوتنسین II تکثیر سلول‌های ماهیچه صاف عروق را با هدف گذاری CAD و miR-222 تنظیم می‌کند. هدف از مطالعه حاضر ارزیابی ارتباط پلیمورفیسم rs2858060 در رونوشت Lnc-Ang362 با خطر بیماری آترواسکلروتیک بود.

روش کار: این مطالعه مورد-شاهدی شامل ۱۵۰ فرد مبتلا به CAD و ۱۴۹ فرد کنترل سالم غیرمبتلا به CAD بود. روش T-ARMS PCR برای تعیین ژنتوتیپ‌های هر نمونه برای مارکر پلیمورفیک rs2858060 در زن Lnc-Ang362 استفاده شد.

یافته‌ها: فراوانی ژنتوتیپ هموژیگوت CC در گروه کنترل (۴۲/۳٪) بالاتر از گروه بیماران (۳۱/۳٪) بود. افراد با ژنتوتیپ CC خطر کمتری برای CAD نشان دادند ($P=0/05$, $CI: 0/36-1/01$) درصد، $P=0/02$, $CI: 0/04-0/06$). فراوانی آلل پلیمورف C در گروه کنترل (۵۱٪) و در بیماران (۴۳٪) بود ($P=0/02$, $CI: 0/04-0/06$). درصد، $P=0/02$, $CI: 0/04-0/06$.

نتیجه‌گیری: پلیمورفیسم rs2858060 در زن Lnc-Ang362 احتمالاً با خطر بروز بیماری عروق کرونری (CAD) ارتباط دارد.

کلید واژه‌ها: بیماری عروق کرونری آترواسکلروتیک، رونوشت غیرکدکننده طویل، Lnc-Ang362، غربالگری، rs2858060

نحوه استناد به این مقاله: بازویی خ، نصیری م، کامفیروزی م. پلیمورفیسم rs2858060 در توالی غیرکدکننده طویل Lnc-Ang362 به عنوان مارکر گویا در غربالگری بیماری‌های عروق کرونری آترواسکلروتیک: مطالعه آزمایشی. مجله پزشکی دانشگاه علوم پزشکی و خدمات بهداشتی - درمانی تبریز. ۱۳۹۸؛ (۳)۴۱: ۳۸-۴۳.

حق تألیف برای مؤلفان محفوظ است.
 این مقاله با دسترسی آزاد توسط دانشگاه علوم پزشکی و خدمات بهداشتی - درمانی تبریز تحت مجوز کریپتو کامنز (http://creativecommons.org/licenses/by/4.0) منتشر شده که طبق مفاد آن هرگونه استفاده تنها در صورتی مجاز است که به اثر اصلی به نحو مقتضی استناد و ارجاع داده شده باشد.

مقدمه

با توجه به نقش AngII در بروز آترواسکلروز و اهمیت-LncAng362 در مسیر سیگنالینگ این هورمون فرض گردید که هرگونه تعییر توالی که منجر به تعییر بیان یا عملکرد رونوشت Lnc-Ang362 شود می‌تواند در پاتولوژی بیماری‌های آترواسکلروتیک عروق کرونری نقش داشته باشد. پلی‌مورفیسم rs2858060 حاصل جانشینی نوکلئوتید گوانین (G) با سیتوزین (C) است که فراوانی آآل اجدادی G در جمعیت ۰/۴، برآورد شده است. شماره دسترسی این پلی‌مورفیسم NR_029635.1:n.-1314C>G است (www.ncbi.nlm.nih.org). با توجه به جستجویی که در این زمینه انجام شده، اطلاعاتی در مورد نقش این پلی‌مورفیسم روی عملکرد و الگوی بیان ژن Lnc-Ang362 یافت نشد.

در بیماری‌های قلبی-عروقی مانند اکثر بیماری‌های دارای توارث پیچید، الگوی توارث بیماری نامشخص است و طراحی مطالعات آنالیز پیوستگی و همراهی دقیقی نیاز است تا بتوان مناطق ژنومی و واریانت‌های ژنتیکی دارای پیوستگی قوی با استعداد بروز بیماری را شناسایی کرد (۳). در این راستا، این مطالعه باهدف بررسی ارتباط پلی‌مورفیسم rs2858060 در رونوشت Lnc-Ang362 با خطر بروز بیماری‌های عروق کرونری آترواسکلروتیک انجام شد.

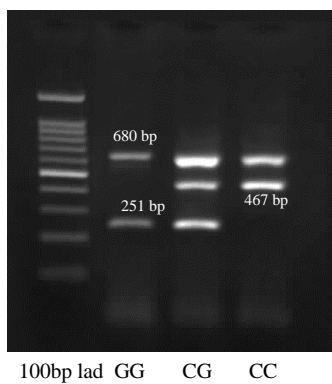
روش کار

در این مطالعه مورد-شاهدی بر پایه بیمارستان که در فاصله زمانی سال‌های ۹۳ تا ۹۴ انجام گرفت، در ابتدا تمام افرادی که برای انجام آنژیوگرافی به بیمارستان خیریه قلب الزهراء شیراز مراجعه نموده بودند، برای تعیین معیارهای ورود به مطالعه مصاحبه شدند، که از میان آنها ۱۵۰ بیمار مبتلا به CAD که معیارهای لازم برای مطالعه حاضر را داشتند انتخاب و به مطالعه وارد شدند. افراد گروه کنترل را ۱۴۹ فرد سالم که از نظر جنس و سن (± 5) با بیماران همسان شده بودند تشکیل داد. نمونه خون افراد بیمار با همکاری متخصصین بخش آنژیوگرافی بیمارستان خیریه قلب الزهراء شیراز و نمونه خون افراد سالم از آزمایشگاه درمانگاه کیمیا جمع‌آوری گردید. ۵ سی‌سی نمونه خون محیطی از هر فرد در لوله استریل حاوی ماده ضدانعقاد EDTA ریخته شد و بالاصله به فریزر -20°C درجه سانتی‌گراد بیمارستان منتقل شد. نمونه‌های خون روی یخ به آزمایشگاه ژنتیک منتقل گردید. تشخیص بیماری توسط متخصصین قلب و عروق و بدنبال انجام آنژیوگرافی و مشاهده آسیب‌های آترواسکلروتیک در عروق بیماران صورت گرفت. افرادی که سابقه بیماری دیابت، پروفشاری خون، هیپرکلسترولمی داشتند از مطالعه خارج شدند. در افراد گروه کنترل علاوه بر بیماری‌های ذکر شده، براساس خوداظهاری سابقه

بیماری‌های قلبی-عروقی شایع‌ترین علت مرگ و میر در بیماری قلبی-عروقی ناهنجاری عروق کرونری است که عامل یک سوم تمام مرگ‌ها در افراد بالای ۳۵ سال می‌باشد (۱). توارث ناهنجاری‌های آترواسکلروتیک عروق کرونری (CAD) حاصل دخالت چندین ژن مجزا با سطح اثر متفاوت و عوامل محیطی متعدد می‌باشد (۲). شناسایی مستقیم ژن (های) بیماری‌زا در چنین بیماری‌هایی نیاز به صرف هزینه و زمان زیاد دارد. انجام مطالعات همراهی یک روش جای‌گزین سودمند در معرفی مارکرهای DNA مانند پلی‌مورفیسم‌های تک نوکلئوتیدی (SNP) برای غربال‌گری و تشخیص افراد در معرض خطر بیماری می‌باشد (۳). رونوشت‌های RNA غیرکدکننده طویل (طول بیشتر از ۲۰۰ نوکلئوتید) قادر اطلاعات لازم برای سنتز پروتئین هستند، اما به توالی مکمل خود در مولکول RNA یا DNA متصل شده و بیان ژن را تنظیم می‌کنند (۴). این رونوشت‌ها از اجزای بیولوژیک فعال در تنظیم الگوی بیان ژن، تنظیم مدیفیکاسیون‌های اپی‌ژنتیکی، تمایز، مسیر تکوین طبیعی موجود و تنظیم مسیرهای سیگنالینگ ضروری در حفظ سلامت ژنوم و ارگانیسم محسوب می‌شوند (۵). شواهد تجربی نشان داده است که lncRNA‌ها در تکوین و پاتولوژی سیستم قلبی-عروقی نقش دارند. این شواهد توجه محققان زیادی را در سال‌های اخیر به سمت بررسی ارتباط واریانت‌های نوکلئوتیدی این رونوشت‌ها و مکانیسم عمل آنها در پاتولوژی بیماری‌های قلبی-عروقی از جمله CAD جلب کرده است (۶، ۷، ۸). آنژیوتانسین II (AngII) یک هورمون پیتیدی است که تحریب عملکردهای آن می‌تواند منجر به آترواسکلروز و پروفشاری خون شود (۹). این هورمون با اثر مستقیم یا با تحریک تولید و آزادسازی نوراپی‌نفرين و همچنین با تولید اندوتیلین ۱ در اندوتیلیوم عروق موجب انقباض شدید رگ‌ها می‌شود (۱۰). رونوشت غیرکدکننده طویل Lnc-Ang362 که در مجاورت توالی دو miRNA شامل miR-221 و miR-222 قرار دارد، اولین مولکول پاسخ دهنده به AngII در مسیر تنظیمی این هورمون می‌باشد (۹، ۱۱). این دو فاقد مدیفیکاسیون‌های اپی‌ژنتیکی ضروری برای شروع رونویسی شامل تری‌متیلاسیون لیزین ۴ هیستون ۳ (H3K36m3) و H3K4m3 (H3K4m3) می‌باشدند. با توجه به اینکه توالی Lnc-Ang362 دقیقاً در سمت ۵ این دو miRNA قرار گرفته است، بنظر می‌رسد بیان هر سه رونوشت از یک مسیر تنظیم می‌گردد. نتایج مطالعات تجربی نیز نشان داده است که بیان رونوشت Lnc-Ang362 و miR-221 و miR-222 در سلول‌های ماهیچه صاف عروق افزایش می‌یابد (۹، ۱۲). miR-221 و miR-222 دو تنظیم کننده مهم تکثیر سلولهای اندوتیلیال هستند (۱۱).

یافته‌ها

بررسی ویژگی‌های جمعیتی نمونه‌های بررسی شده، اختلاف آماری معنی‌داری بین میانگین سن بیماران ($51/45 \pm 10/70$) و افراد سالم گروه کنترل ($51/44 \pm 10/15$) نداشت ($P=0/7$). شاخص توده بدنی اختلاف معنی‌داری بین دو گروه نداشت ($P=0/03$). نسبت بروز بیماری در مردان بیش از ۲ برابر زنان بود. داده‌های جمعیتی در جدول ۲ نشان داده شده است. بررسی توزیع ژنتیکی در جمعیت سالم نشان داد که مقادیر بدست آمده از تعادل هاردی-واینبرگ تبعیت نمی‌کنند ($P<0/05$). همانطور که در جدول ۳ مشاهده می‌شود، فراوانی ژنتیکی CC در افراد گروه کنترل $\%42/3$ و در افراد گروه بیمار $\%31/3$ بود. ارتباط borderline مشاهده شد ($P=0/05$). مشاهده می‌شود، فراوانی ژنتیکی CAD در افراد گروه کنترل $\%42/3$ و در افراد گروه بیمار $\%31/3$ بود. ارتباط borderline بین این ژنتیکی و کاهش خطر بروز CAD مشاهده شد ($P=0/01$). در یک میانگین $\%57$ در افراد سالم و فراوانی آلل چندشکل C در گروه بیمار $\%43$ و در افراد سالم $\%51$ محاسبه شد. نتایج آزمون رگرسیون لجستیک و بررسی تأثیر آلل C در مقایسه با آلل G روی ریسک بروز بیماری، کاهش خطر بروز بیماری در حاملین آن آلل را نشان داد ($P=0/02$, $95\text{CI}: 0/49-0/94$). درصد، (OR: $0/68$).



تصویر ۱: محصول T-ARMS PCR مربوط به پلی‌مورفیسم rs2858060 در زن Lnc-Ang362. به ترتیب از سمت راست، چاهک اول مربوط به ژنتیکی هموزیگوت CC (۶۸۰ + ۴۶۷ = ۱۱۴۷ bp) جفت باز می‌باشد. چاهک وسط وضعیت ژنتیکی یک فرد هتروزیگوت CG را نشان می‌دهد. در چاهک سوم ژنتیکی هموزیگوت GG با طول باندهای ۲۵۱ و ۶۸۰ جفت باز قابل مشاهده است. اولین چاهک سمت چپ مربوط به سایز مارکر به طول ۱۰۰ جفت باز (فرمتاز، فرانسه) است.

هرگونه بیماری قلبی رد شد. به منظور انجام آزمایش‌های مولکولی، پس از تکمیل فرم رضایت مشارکت آگاهانه در طرح تحقیقاتی توسط کلیه افراد (سالم و بیمار)، ۵ سی سی نمونه خون وریدی از افراد گرفته شد و در لوله‌های استریل حاوی ماده ضد انعقاد EDTA به آزمایشگاه ژنتیک مولکولی دانشگاه آزاد اسلامی واحد ارسنجان منتقل گردید. کلیه مرحله تحقیق زیر نظر کمیته پژوهشی DNA دانشگاه آزاد اسلامی واحد ارسنجان انجام گرفت. استخراج ژنومی با روش رسوب‌دهی به روش نمک اشباع از لوکوسیت‌های خون محیطی انجام گرفت. ژنوتیپ‌های متفاوت جایگاه پلی‌مورفیسم rs2858060 C/G با روش PCR اختصاصی آل Tetra-primer amplification refractory mutation system (T-ARMS PCR) تعیین شدند. طراحی پرایمرها برای انجام واکنش PCR توسط نرم‌افزار پرایمر ۱ انجام گرفت (۱۳). توالی پرایمرها و طول محصولات واکنش PCR در جدول ۱ آمده است. واکنش PCR در حجم نهایی $12/5$ میکرولیتر و شامل $6/25$ میکرولیتر مستریمیکس PCR (شرکت یکتاچهیزآزمایران)، $0/5$ میکرولیتر از هر پرایمر خارجی، 1 میکرولیتر از هر پرایمر آلل چندشکل، 1 میکرولیتر DNA و $2/25$ میکرولیتر آب استریل بود. برنامه تکثیر دمایی شامل دناتوراسیون اولیه در دمای 95 درجه سانتی‌گراد به مدت 5 دقیقه، بدنیال آن 35 چرخه که شامل دناتوراسیون در دمای 95 درجه سانتی‌گراد به مدت 45 ثانیه، اتصال پرایمر در دمای 55 درجه سانتی‌گراد به مدت 45 ثانیه و تکثیر در دمای 72 درجه به مدت 45 ثانیه بود. واکنش با انجام یک سیکل تکثیر نهایی در دمای 72 درجه سانتی‌گراد به مدت 7 دقیقه تکمیل گردید. محصولات کنترل داخلی حاصل از تکثیر به کمک پرایمرهای خارجی به طول 680 جفت باز، محصول آلل C به طول 467 جفت باز و محصول آلل G به طول 251 جفت باز تولید شد که تفکیک محصولات روی ژل آگارز 2% انجام گرفت و براساس حضور نوع خاص باند تکثیریافته، تعیین ژنوتیپ صورت گرفت (تصویر ۱).

آنالیز آماری داده‌ها با استفاده از نرم‌افزار SPSS ویراست ۱۶ انجام گرفت. از آزمون کولموفکوف- اسمیرنوف برای تعیین نرمالیتی داده‌ها در جمعیت استفاده گردید. بررسی وضعیت تعادل هاردی-واینبرگ در جمعیت کنترل با محاسبه آزمون مجذور خی انجام گرفت. مقایسه میانگین‌ها با آزمون t -مستقل و ارتباط ژنتیکی و آللی جایگاه پلی‌مورفیسم rs2858060 C/G با ریسک بروز CAD با انجام آزمون رگرسیون لجستیک و محاسبه شانس (OR) با فاصله اطمینان (CI) 95% مورد بررسی قرار گرفت.

جدول ۱: پرایمرهای مورد استفاده برای انجام T-ARMS PCR

پلی‌مورفیسم	پرایمر
rs2858060 C/G	FO
Lnc-Ang362	RO
	FI (G allele)
	RI (C allele)

FO: forward outer; RO: reverse outer; FI: forward inner; RI: reverse inner

جدول ۲: خصوصیات دموگرافیک جمعیت مورد بررسی

P*	بیمار	کنترل	خصوصیات
-	۱۵۰	۱۴۹	تعداد
۰/۷	۵۱/۴۵±۱۰/۷۰	۵۱/۹۴±۱۰/۱۵	میانگین سن (سال)
۰/۰۳	۲۵/۵۰±۳/۵۰	۲۶/۴۰±۳/۷۲	شاخص توده بدنی (kg/m^2)
-	۱۰۵/۴۵	۹۹/۵۰	نسبت جنسی (زن/مرد)

* آزمون t-مستقل

جدول ۳: بررسی ارتباط پلی مورفیسم rs2858060 در توالی غیر کد کننده طویل CAD با بروز Lnc-Ang362

OR(95%CI)	*P	% بیمار /n	کنترل /n	پلی مورفیسم
۱	-	۶۹ (۴۶)	۵۶ (۳۷/۶)	ژنتیپ
۰/۹۲ (۰/۵۰-۱/۶۸)	۰/۷۸	۳۴ (۲۲/۷)	۳۰ (۲۰/۱)	GG
۰/۶۱ (۰/۳۶-۱/۰۱)	۰/۰۵	۴۷ (۳۱/۳)	۶۳ (۴۲/۳)	CG
۱	-	۱۷۲ (۰/۵۷)	۱۴۲ (۰/۴۹)	CC
۰/۶۸ (۰/۴۹-۰/۹۴)	۰/۰۲	۱۲۸ (۰/۴۳)	۱۵۶ (۰/۵۱)	آل
				G
				C

مقادیر $<0/05$ معنی دار در نظر گرفته شده است. آزمون رگرسیون لجستیک

بحث

مستقیمی در پاتوژنر بیماری نداشته باشند، اما می‌توانند نقش یک مارکر گویا در پیش‌آگهی بیماری را ایفا نمایند و به عنوان ابزارهای مولکولی در غربال سریع افراد در معرض خطر بیماری چند عاملی و با توارث پیچیده استفاده شوند (۲۰).

نتیجه‌گیری

نتایج مطالعه حاضر نشان داد افراد هموژیگوت CC برای جایگاه مارکر پلی مورف rs2858060 ریسک پایین‌تری برای ابتلاء به CAD دارند. براساس نتایج مطالعات پیشین می‌توان چنین تصور کرد که در حضور آل Lnc-Ang362 احتمالاً بیان رونوشت غیر کد کننده طویل Lnc-Ang362 و رونوشت‌های کوتاه miR-221/222 در پاسخ به AngII کاهش می‌یابد. در حضور مقادیر کاهش یافته این RONوشت‌ها تکثیر سلول‌های ماهیچه صاف عروق خون نیز کاهش می‌یابد که ارتباط مستقیمی با کاهش وقوع آترواسکلروز دارد (۹، ۱۱). یکی از محدودیت‌های مطالعه حاضر عدم بررسی الگوی بیان RONوشت Lnc-Ang362 در حضور ژنتیپ‌های مختلف پلی مورفیسم rs2858060 می‌باشد. اندازه جمعیت مطالعه شده آنقدر بزرگ نمی‌باشد که بتوان از خطای نمونه‌گیری صرف نظر کرد، بنابراین پیشنهاد می‌شود نتایج مطالعه حاضر در اندازه جمعیت بزرگ‌تر بررسی گردد.

قدرتدانی

نویسنده‌گان مقاله از مدیریت محتشم بیمارستان خیریه قلب الزهرا (س) جناب آقای دکتر قاضی‌پور برای همکاری‌های

آترواسکلروز با تغییرات پاتوفیزیولوژیکی متعددی شامل ازدیاد تکثیر و هایپرتروفی سلول‌های ماهیچه صاف در دیواره عروق خونی مرتبط است (۱۴). آنزیوتانسین II مولکول کلیدی در پیشبرد این تغییرات می‌باشد که فرایند‌های متعددی مانند التهاب، فیروز و رشد سلولی را پیش می‌برد (۱۵). مکانیسم‌های مولکولی که پاسخ سلولی به AngII را میانجی گری می‌کنند بدروستی مشخص نمی‌باشد. نتایج یک مطالعه در سطح وسیع منجر به شناسایی ۴۹۱ رونوشت با بیان افتراقی در پاسخ به AngII گردید. Lnc-Ang362 یکی از انواع رونوشت‌های جدید در این مجموعه بود که الگوی بیان مشابه با miR-221/222 و miR-222 با تکثیر سلول‌های اندوتیال عروق دارند (۸). سطح بیان miR-221/222 در بیماران مبتلا به CAD نسبت به گروه کنترل افزایش قابل توجهی نشان داده است که این افزایش همراه با کاهش تعداد سلول‌های پروژنیتور اندوتیال می‌باشد. سلول‌های پروژنیتور اندوتیال نقش مهمی در حفظ یکپارچگی عروق دارند (۱۷). همچنین miR-221 و miR-222 در آنژیوژن، هایپرپلازی ایتیمه، ترمیم آسیب رگ، پیری عروق، التهاب آترواسکلروزی، کلسیفیکاسیون عروق، فشارخون وابسته به AngII و آسیب اندوتیال Lnc-Ang362 یک رونوشت میزبان برای انجام می‌شود، هرگونه تغییر در توالی نوکلئوتیدی، روی بیان هر سه رونوشت اثر می‌گذارد و عملکردهای وابسته به آنها را تخریب می‌کند (۱۸). از آنچنانی که تک نوکلئوتیدی مانند SNPها علی‌رغم اینکه ممکن است دخالت

منافع متقابل

مؤلف اظهار می‌دارد که منافع متقابلی از تالیف یا انتشار این مقاله ندارد.

مشارکت مؤلفان

خ ب، م ن و همکاران طراحی و تحلیل نتایج مطالعه را بر عهده داشته‌اند. اجرای پژوهش را خ بازویی انجام داده است. تهیه پرسشنامه و شرایط نمونه‌گیری را ه کامپیویزی مشخص نموده است. ویراست اولیه مقاله را م نصیری و خ بازویی نوشته و تأیید نهایی را م نصیری و ه کامپیویزی انجام داده‌اند.

صمیمانه و تسهیل مراحل دسترسی به بیماران و همچنین پرستی محترم بخش آنژیوگرافی برای نمونه‌گیری قدردانی می‌نمایند. نتایج پژوهش حاصل بخشی از پایان‌نامه خانم خدیجه بازویی دانشجوی کارشناسی ارشد ژنتیک مولکولی دانشگاه آزاد اسلامی واحد ارسنجان می‌باشد.

ملاحظات اخلاقی

پروتکل این پژوهش در شورای پژوهشی دانشگاه آزاد اسلامی واحد ارسنجان با شماره مرجع ۱۶۰۳۰۵۰۳۹۴۱۰۱۲ به تأیید رسیده است.

منابع مالی

ندارد

References

1. Sanchis-Gomar F, Perez-Quilis C, Leischik R, Lucia A. Epidemiology of coronary heart disease and acute coronary syndrome. *Ann Transl Med* 2016; **4**(13): 256. doi: 10.21037/atm. 2016.06.33
2. Hirschhorn J N, Daly M J. Genome-wide association studies for common diseases and complex traits. *Nat Rev Genet* 2005; **6**(2): 95-108. doi: 10.1038/nrg1521.
3. Ott J, Wang J, Leal S M. Genetic linkage analysis in the age of whole-genome sequencing. *Nat Rev Genet* 2015; **16**(5): 275-284. doi: 10.1038/nrg3908.
4. Perkel J M. Visiting "noncodarnia". *Biotechniques* 2013; **54**(6): 301-304. doi: 10.2144/000114037.
5. Wang K C, Chang H Y. Molecular mechanisms of long noncoding RNAs. *Mol Cell* 2011; **43**(6): 904-914. doi: 10.1016/j.molcel.2011.08.018.
6. Quinn J J, Chang H Y. Unique features of long non-coding RNA biogenesis and function. *Nat Rev Genet* 2016; **17**(1): 47-62. doi: 10.1038/nrg.2015.10.
7. Shen S, Jiang H, Bei Y, Xiao J, Li X. Long Non-Coding RNAs in Cardiac Remodeling. *Cell Physiol Biochem* 2017; **41**(5): 1830-1837. doi: 10.1159/000471913.
8. Schonrock N, Harvey R P, Mattick J S. Long noncoding RNAs in cardiac development and pathophysiology. *Circ Res* 2012; **111**(10): 1349-1362. doi: 10.1161/CIRCRESAHA.112.268953.
9. Leung A, Trac C, Jin W, Lanting L, Akbany A, Sætrom P, et al. Novel long noncoding RNAs are regulated by angiotensin II in vascular smooth muscle cells. *Circ Res* 2013; **113**(3): 266-278. doi: 10.1161/CIRCRESAHA.112.300849.
10. Lin Y J, Kwok C F, Juan C C, Hsu Y P, Shih K C, Chen C C, et al. Angiotensin II enhances endothelin-1-induced vasoconstriction through upregulating endothelin type A receptor. *Biochem Biophys Res Commun* 2014; **451**(2): 263-269. doi: 10.1016/j.bbrc.2014.07.119.
11. Liu X, Cheng Y, Zhang S, Lin Y, Yang J, Zhang C. A necessary role of miR-221 and miR-222 in vascular smooth muscle cell proliferation and neointimal hyperplasia. *Circ Res* 2009; **104**(4): 476-487. doi: 10.1161/CIRCRESAHA.108.185363.
12. Song X, Shan D, Chen J, Jing Q. miRNAs and lncRNAs in vascular injury and remodeling. *Sci China Life Sci* 2014; **57**(8): 826-835. doi: 10.1007/s11427-014-4698-y.
13. Ye S, Dhillon S, Ke X, Collins A R, Day INM. An efficient procedure for genotyping single nucleotide polymorphisms. *Nucleic Acids Res* 2001; **29**(17): E88-88.
14. Brasier A R, Recinos A, Eledrisi M S. Vascular inflammation and the renin-angiotensin system. *Arteriosclerosis Thromb Vasc Biol* 2002; **22**(8): 1257-1266.
15. Mehta P K, Griendling K K. Angiotensin II cell signaling: physiological and pathological effects in the cardiovascular system. *Am J Physiol Cell Physiol* 2007; **292**(1): C82-C97. doi: 10.1152/ajpcell.00287.2006
16. Celic T, Metzinger-Le Meuth V, Six I, Massy Z A, Metzinger L. The mir-221/222 Cluster is a Key Player in Vascular Biology via the Fine-Tuning of Endothelial Cell Physiology. *Curr Vasc Pharmacol* 2017; **15**(1): 40-46.
17. Minami Y, Satoh M, Maesawa C, Takahashi Y, Tabuchi T, Itoh T, et al. Effect of atorvastatin on microRNA 221/222 expression in endothelial progenitor cells obtained from patients with coronary artery disease. *Eur J Clin Invest* 2009; **39**(5): 359-367. doi: 10.1111/j.1365-2362.2009.02110.x.
18. Pineau P, Volinia S, McJunkin K, Marchio A, Battiston C, Terris B, et al. miR-221 overexpression contributes to liver tumorigenesis. *Proc Natl Acad Sci USA* 2010; **107**(1): 264-269. doi: 10.1073/pnas.0907904107.
19. Liu X, Cheng Y, Zhang S, Lin Y, Yang J, Zhang C. A necessary role of miR-221 and miR-222 in vascular smooth muscle cell proliferation and neointimal hyperplasia. *Circ Res* 2009; **104**(4): 476-487. doi: 10.1161/CIRCRESAHA.108.185363.
20. Hofker M H, Fu J, Wijmenga C. The genome revolution and its role in understanding complex diseases. *Biochim Biophys Acta* 2014; **1842**(10): 1889-1895. doi: 10.1016/j.bbadi.2014.05

Efficacy of the Moderate Intensity Aerobic training on Heart Rate Variability (HRV) in Patients with the Type-2 Diabetic Neuropathy

Elaheh Piralaiy^{1*}, Maresfat Siahkuhian², Saeed Nikoukheslat¹, Lotfali Bolboli², Naser Aslan Abadi³,
Mahboub Sheikhalizadeh⁴, Saeed Fathollahi¹

¹Department of Exercise Physiology, School of Physical Education and Sport Sciences, University of Tabriz, Tabriz, Iran

²Department of Physical Education and Sport Sciences, School of Education and Psychology, University of Mohaghegh Ardabili, Ardabil, Iran

³Department of Cardiology, Tabriz University of Medical Sciences, Tabriz, Iran

⁴Department of Physical Education and Sport Sciences, Ahar Branch, Islamic Azad University, Ahar, Iran

*Corresponding author; E-mail: epiralaiy@yahoo.com

Received: 15 August 2017 Accepted: 21 August 2017 First Published online: 4 July 2019

Med J Tabriz Uni Med Sciences Health Services. 2019 August- September; 41(3):44-52

Abstract

Background: Cardiac autonomic neuropathy (CAN) is a common diabetes complication. Damage of the autonomic nerves distributed in the heart and blood vessels in patients with diabetes may result in CAN and increase their risk of death. Therefore, CAN prevention is of considerable important for these patients. The purpose of this study was to determine the effect of moderate aerobic exercise on heart rate variability (HRV) in type 2 diabetic neuropathy patients.

Methods: In this quasi-experimental clinical trial study, 23 men with diabetic neuropathy were randomly placed at two groups: aerobic training (n=11) and control (n=12). Aerobic training was accomplished for 12 weeks (3 sessions per week, intensity 50%-80% of the reserved heart rate, duration of each session 25-45 min). Heart rate variability of patients was recorded for 20 min at rest and in the supine position before and after 12 weeks of aerobic training.

Results: In aerobic training group, time domain parameters contains SDNN and rMSSD were significantly increased after exercise compared to pre test values. Also in frequency domain parameters, HF was significantly increased and LF/HF ratio was significantly decreased. But in LF parameter was not observed any significantly different. In the control group was not significantly change in time domain and frequency domain parameters. Analysis of inter -group differences showed that changes in all time domain and frequency-domain parameters values (except for the LF Power parameter) in the exercise groups were significantly different from those in the control group.

Conclusion: It seems that moderate intensity aerobic training improved the function of the cardiac autonomic system and hence, improved cardiac rhythm and eventually increased HRV in diabetic neuropathy patients.

Keyword: Aerobic Training, Type-2 Diabetes, Heart Rate Variability (HRV).

How to cite this article: Piralaiy E, Siahkuhian M, Nikoukheslat S, Bolboli L, Aslan Abadi N, Sheikhalizadeh M, Fathollahi S. [Efficacy of the Moderate Intensity Aerobic training on Heart Rate Variability (HRV) in Patients with the Type-2 Diabetic Neuropathy]. Med J Tabriz Uni Med Sciences Health Services. 2019 August- September; 41(3):44-52. Persian.

مقاله پژوهشی

تأثیر تمرينات هوایی با شدت متوسط بر تغییر پذیری ضربان قلب (HRV) در بیماران دیابتی مبتلا به نوروپاتی محیطی

الله پیر عالی^۱، معرفت سیاه کوهین^۲، سعید نیکو خصلت^۱، لطفعلی بلبلی^۱، ناصر اصلاح آبادی^۳، محبوب شیخعلی زاده^۳، سعید فتح الهی^۱

^۱ گروه آموزشی فیزیولوژی ورزشی، دانشکده تربیت بدنی و علوم ورزشی، دانشگاه تبریز، تبریز، ایران
^۲ گروه تربیت بدنی و علوم ورزشی، دانشکده علوم تربیتی و روانشناسی، دانشگاه محقق اردبیلی، اردبیل، ایران
^۳ گروه قلب، دانشگاه علوم پزشکی تبریز، تبریز، ایران
^{*} گروه تربیت بدنی و علوم ورزشی، واحد اهر، دانشگاه آزاد اسلامی، اهر، ایران
^{*} نویسنده مسئول؛ ایمیل epiralaiy@yahoo.com

دریافت: ۱۳۹۶/۵/۲۴ پذیرش: ۱۳۹۶/۵/۳۰ انتشار برخط: ۱۳۹۸/۴/۱۳
 مجله پزشکی دانشگاه علوم پزشکی و خدمات بهداشتی - درمانی تبریز. مرداد و شهریور ۱۳۹۸؛ (۳)۴۱: ۵۲-۴۴

چکیده

زمینه: نوروپاتی اتونوم قلبی عروقی (CAN) یک عارضه شایع در دیابت می‌باشد. آسیب اعصاب اتونوم توزیع شده در قلب و عروق خونی در بیماران دیابتی، ممکن است منجر به CAN و افزایش خطر مرگ در آنها شود. بنابراین پیشگیری از CAN برای بیماران دیابتی اهمیت قابل توجهی دارد. هدف از مطالعه حاضر بررسی تأثیر تمرينات ورزشی هوایی با شدت متوسط بر تغییر پذیری ضربان قلب (HRV) در بیماران دیابتی مبتلا به نوروپاتی محیطی بود.

روش کار: در این کارآزمایی بالینی نیمه تجربی، ۲۳ مرد دیابتی مبتلا به نوروپاتی محیطی به طور تصادفی به دو گروه تمرينی (۱۱ نفر) و کنترل (۱۲ نفر) تقسیم شدند. تمرين هوایی به مدت دوازده هفتة (سه جلسه تمرين در هفته با شدت ۵۰ تا ۸۰ درصد ضربان قلب ذخیره، به مدت ۲۵ تا ۴۵ دقیقه در هر جلسه) اجرا شد. تغییر پذیری ضربان قلب (HRV) بیماران، توسط دستگاه هوتلر مانیتورینگ در حالت استراحت و خوابیده به پشت برای ۲۰ دقیقه، قبل و بعد از ۱۲ هفتة تمرينات هوایی اندازه‌گیری شد.

یافته‌ها: در گروه تمرينی، پارامترهای زمان محور شامل SDNN و LF/HF^۱ بعد از اتمام دوره تمرينی افزایش معناداری نسبت به مقادیر قبل از تمرين داشتند. همچنین از پارامترهای فرکانس محور، HF به طور معنی‌داری افزایش یافته بود و نسبت LF/HF به طور معناداری کاهش یافته بود، ولی در پارامتر تفاوت معناداری مشاهده نشد. در گروه کنترل پارامترهای زمان محور و فرکانس محور تغییر معناداری نداشتند. نتایج تحلیل تفاوت‌های بین گروهی نیز نشان داد که کلیه مقادیر پارامترهای زمان محور و فرکانس محور (به غیر از پارامتر LF Power) گروه‌های تمرينی با گروه کنترل تفاوت معناداری داشت.

نتیجه گیری: به نظر می‌رسد تمرين هوایی با شدت متوسط می‌تواند از طریق بهبود عملکرد سیستم اتونوم قلبی منجر به بهبودی ریتم‌های قلبی و در نهایت افزایش تغییر پذیری ضربان قلب در بیماران دیابتی مبتلا به نوروپاتی محیطی شود.

کلید واژه‌ها: تمرين هوایی، دیابت نوع ۲، تغییر پذیری ضربان قلب (HRV).

نحوه استناد به این مقاله: پیر عالی^۱، سیاه کوهین^۲، نیکو خصلت^۱، بلبلی^۱، اصلاح آبادی^۳، شیخعلی زاده^۳، فتح الهی^۱. تأثیر تمرينات هوایی با شدت متوسط بر تغییر پذیری ضربان قلب (HRV) در بیماران دیابتی مبتلا به نوروپاتی محیطی. مجله پزشکی دانشگاه علوم پزشکی و خدمات بهداشتی درمانی تبریز. ۱۳۹۸؛ (۳)۴۱: ۵۲-۴۴.

حق تأليف برای مؤلفان محفوظ است.
 اين مقاله با دسترسی آزاد توسط دانشگاه علوم پزشکی و خدمات بهداشتی - درمانی تبریز تحت مجوز کریپتو کامنز (Creative Commons License) منتشر شده که طبق مفاد آن هرگونه استفاده تنها در صورتی مجاز است که به اثر اصلی به نحو مقتضی استناد و ارجاع داده شده باشد.

<http://creativecommons.org/licenses/by/4.0/>

مقدمه

معناداری از مرگ‌های قلبی ناگهانی است (۱۶، ۱۵). ورزش و فعالیت بدنی منظم به عنوان یک روش مفید برای کنترل دیابت نوع ۲ و بهبود تغییرپذیری ضربان قلب مطرح می‌باشد (۱۷). تمرینات ورزشی عملکرد قلبی را از طریق مهار عملکرد اعصاب سمهپاتیک و فعل کردن سیستم عصبی پاراسمهپاتیک بهبود بخشدیده (۱۸) و منجر به تعادل در عملکرد سیستم عصبی اتونوم می‌شود (۱۹). علی‌رغم اهمیت تغییرپذیری ضربان قلب به عنوان یک ابزار پیش‌آگهی در ابتلا به بیماری‌های قلبی عروقی به خصوص در بیماران دیابتی و تاثیری که تمرینات ورزشی می‌تواند در بهبود HRV داشته باشد، مطالعاتی که تاثیر ورزش بر تغییرپذیری ضربان قلب را در بیماران دیابتی به خصوص بیماران دیابتی مبتلا به نوروپاتی محیطی مورد بررسی قرار دهد، بسیار کمیاب می‌باشد و بویژه در داخل کشور مطالعاتی در این زمینه انجام نپذیرفته است. در خصوص تحقیقات خارجی، نتایج برخی مطالعات نشان می‌دهد که تمرینات منظم ورزشی باعث افزایش پارامترهای تغییرپذیری ضربان قلب و در نتیجه بهبود HRV در بیماران دیابتی می‌شود (۲۰ و ۲۱ و ۲۲). از سوی دیگر نتایج برخی مطالعات، حاکی از آن است که اگرچه تمرینات منظم ورزشی باعث افزایش مقادیر پارامترهای HRV می‌شود، ولی این افزایش در پارامترها معنادار نبود (۱)، بنابراین با توجه به عدم تشابه نتایج مطالعات مختلف و خلاء تحقیقاتی در این خصوص در داخل کشور، ضروری به نظر می‌رسد مطالعه‌ای در خصوص تاثیر تمرینات ورزشی بر تغییرپذیری ضربان قلب انجام پذیرد. بنابراین، هدف از مطالعه حاضر، بررسی تاثیر ۱۲ هفته تمرینات هوایی با شدت متوسط بر تغییر پذیری ضربان قلب (HRV) در بیماران دیابتی مبتلا به نوروپاتی محیطی و فراهم کردن اطلاعات پایه اثرات درمانی و پیشگیرانه ورزش بر CAN می‌باشد.

روش کار

مطالعه حاضر از نوع نیمه تجربی و به صورت مداخله‌ای شامل گروه آزمایش و کنترل با پیش آزمون و پس آزمون بود. آزمودنی‌های تحقیق را مردان ۳۵-۶۷ ساله مبتلا به دیابت شهر تبریز که طی فراغوانی داوطلب شرکت در طرح تحقیقاتی حاضر بودند، تشکیل داد. پس از آن که شرایط اولیه ورود به تحقیق شامل سبقه دیابت بیش از ۵ سال، عدم ابتلا به بیماری قلبی و عروقی، ریوی، اسکلتی و عضلانی و سرطان، عدم فعالیت ورزشی روزانه، عدم منع پزشکی از ورزش و HbA1c بین ۶/۶ تا ۱۲ درصد بیماران محرز شد، افراد واحد شرایط برای تشخیص ابتلای آنها به نوروپاتی محیطی، به بیمارستان

دیابت ملیتوس نوعی بیماری متابولیک است که در نتیجه اختلال در عملکرد سلول‌های بتا پانکراس و مقاومت به انسولین ایجاد می‌شود که عوارض مختلفی را به دنبال دارد (۱). مقاومت به انسولین نقش کلیدی در تشدید (گسترش) دیابت نوع ۲ داشته و ممکن است باعث دیس لیپیدیمی (وجود لیپیدهای غیرطبیعی در خون) و هایپرتنشن و در نتیجه افزایش خطر بیماریهای قلبی عروقی شود (۲). علاوه بر آن، آسیب اعصاب اتونوم توزیع شده در قلب و عروق خونی در بیماران دیابتی، ممکن است منجر به نوروپاتی اتونوم قلبی و Cardiovascular Autonomic Neuropathy (CAN) باشد. افزایش خطر مرگ در آنها شود (۳). بنابراین پیشگیری از CAN برای بیماران دیابتی اهمیت قابل توجهی دارد. در ۲۰-۳۰ بیماران مبتلا به دیابت، علایم تحت بالینی تشخیص درصد موارد قابل تشخیص بوده و معمولاً زمانی تشخیص داده می‌شود که بیمار چهار عارضه نوروپاتی شده است (۴) و به دلیل تشخیص دیر هنگام CAN درصد مرگ و میر بیماران بالا و در حدود ۲۷-۵۶ درصد است (۵). بنابراین در بیماران دیابتی CAN نیازمند یک تشخیص زود هنگام می‌باشد که لازمه آن استفاده از شاخص تغییرپذیری ضربان قلب Heart Rate Variability (HRV) است به طوری که با تشخیص به موقع و با بهبود کنترل قندخون می‌توان از CAN پیشگیری کرد (۶). تغییرپذیری ضربان قلب به عنوان شاخصی غیرتهاجمی، عملی و تکرارپذیر از عملکرد و سطح فعالیت سیستم عصبی اتونوم قلبی است (۷) که دلالت بر تغییرات ضربه به ضربه در زمان ضربان‌های متوالی قلب داشته (۸) و کاهش در آن با رسیک ابتلا به بیماری‌های قلبی عروقی در ارتباط است (۹). تغییرپذیری ضربان قلب یک ابزار قدرتمند در بررسی نحوه تعديل گری اتونوم قلبی بوده و نشانگر تعادل بین سیستم‌های عصبی سمهپاتیک و پاراسمهپاتیک می‌باشد (۸). مطالعات نشان داده‌اند که تغییرپذیری ضربان قلب در افرادی که دارای سبک زندگی غیرفعال دارند و در افرادی که دارای بیماری‌های قلبی عروقی، ایمنی و متابولیک هستند، کاهش می‌یابد (۱۱) که در بسیاری از این بیماری‌ها کاهش تغییرپذیری ضربان قلب پیشگویی بر مرگ‌های ناگهانی است (۱۲). بیماری دیابت باعث ایجاد اختلال در تعادل سیستم عصبی اتونوم می‌شود، به طوری که بیماران مبتلا به دیابت نوع ۲ نسبت به افراد سالم، کاهش قابل توجهی در تغییرپذیری ضربان قلب را نشان می‌دهند (۱۳) و این کاهش منجر به پیشرفت بیماری‌های قلبی عروقی و دیس فانکشن متابولیکی می‌شود (۱۴). بویژه مشخص شده است که کاهش پیشتر مساوی یک (۱۵) در پارامترهای HRV پیشگوکننده

داده شد و از آنها خواسته شد تا رژیم غذایی قبل از خونگیری اول را ثبت کنند و در روز قبل از جلسه خونگیری نهایی (بعد از دوره تمرینی)، همان رژیم غذایی یا مشابه آن را پیروی کنند. قبل از شروع پروتکل اصلی تحقیق به منظور آشنازی با تمرینات، آزمودنی‌ها دو هفته تمرین هوایی با شدت ۶۰ درصد ضربان قلب ذخیره را ۳ جلسه در هفته به مدت ۱۵ تا ۲۰ دقیقه انجام دادند. سپس دوره اصلی تمرینات هوایی شامل ۳ جلسه تمرین در هفته و به مدت ۱۲ هفته آغاز شد. برنامه شامل ۱۵ دقیقه گرم کردن (شامل حرکات کششی و فعالیت سبک)، ۲۵ تا ۴۵ دقیقه فعالیت اصلی (با شدت ۷۰ تا ۷۵ درصد ضربان قلب بیشینه) و ۱۰ دقیقه سردکردن (حرکات کششی) بود. در ابتدای تمرینات، شدت تمرین ۷۰ درصد ضربان قلب بیشینه و مدت آن نیز ۲۵ دقیقه بود که با گذشت هفته‌های تمرینی هم شدت و هم مدت زمان تمرین افزوده شد (۲۳). (جدول ۱). شدت تمرینات با استفاده از دستگاه ضربان سنج پلار ساخت فنلاند تنظیم شد (در محدوده ± 5 ضربه خطأ از ضربان قلب (HRV) آزمودنی‌ها قبل از ظهرها و تغییرپذیری ضربان قلب (HRV) آزمودنی‌ها شده). اندازه‌گیری ضربه خطأ زمانی ۷-۱۱ صبح و به صورت ناشتا در یک اتفاق نیمه تاریک و ساكت با دمای ۲۱-۲۶ در حالت خوابیده به پشت انجام گرفت. از آزمودنی‌ها خواسته شد تا ۲۴ ساعت قبل از اندازه‌گیری فعالیت سنگین و ورزش نداشته باشد. طی ۱۲ ساعت قبل از اندازه‌گیری از مصرف هر گونه مواد کافئین دار و سیگار منع شدند و از آزمودنی‌ها خواسته شد تا شب قبل از اندازه‌گیری حداقل ۸ ساعت خواب شبانه را داشته باشند. همچنین از آزمودنی‌ها خواسته شد با وسیله نقليه در آزمایشگاه حضور یابند و صبح روز اندازه‌گیری از پیاده روی یا دویدن خودداری نمایند. قبل از آغاز ثبت رکوردهای ضربان قلب، برای حفظ حالت پایدار بدن ابتدا آزمودنی‌ها به مدت ۱۵ دقیقه در حالت خوابیده به پشت استراحت کردن، سپس ضربان قلب آزمودنی‌ها (فواصل R-R) به مدت ۲۰ دقیقه توسط دستگاه هولتر مانیتورینگ قلب ثبت شد (۱۱). برای این کار از دستگاه هولتر مانیتورینگ مدل VX3+ کمپانی DMS آمریکا به همراه نرم افزار Full Option استفاده شد. هفت الکترود ثبت ECG به قسمت جلویی قفسه سینه آزمودنی‌ها وصل شده و بعد از ثبت ECG توسط هولتر، داده‌ها برای اندازه‌گیری HRV به نرم افزار متقل شد. برای تفسیر تغییرات HRV از آنالیز پارامترهای زمان محور و فرکانس محور استفاده گردید. پارامترهای فرکانس بالا(HF: 0.15-0.5 HZ) که به طور عمده منعکس کننده فعالیت عصب پاراسمپاتیک است، امواج با فرکانس پایین (LF: 0.04-0.15 HZ) که به طور عمده نشان

معرفی شدند و معاینات مربوطه توسط ابزارهای کلینیکی در بیمارستان به عمل آمد و بعد از مشخص شدن ابتلای بیماران به عارضه نوروپاتی محیطی، از میان داوطلبان، ۳۰ بیمار دیابتی مبتلا به نوروپاتی محیطی وارد پژوهش شدند. سپس آزمودنی‌ها از لحاظ سلامتی قلبی به وسیله تست ورزش مورد ارزیابی قرار گرفته و افرادی که دارای هر نوع عارضه قلبی بودند (بیماری کرونری قلبی، آریتمی و نارسایی قلبی حاد) از تحقیق حذف شدند (۲۸ نفر) که نهایتاً ۲۸ مرد دیابتی مبتلا به نوروپاتی محیطی که از نظر تست ورزش سالم بودند و امکان شرکت در فعالیت ورزشی را داشتند به عنوان آزمودنی‌های نهایی انتخاب شدند. معیارهای خروج از تحقیق شامل عدم توانایی از اجرای تمرینات، عدم پیروی از برنامه‌های ورزشی ارائه شده در گروه تجربی و حضور نامنظم در تمرینات و ابتلا به بیماری‌های قلبی، ریوی، سرطان و عصبی - عضلانی شدید بود. این تحقیق از کمیته تحقیقات انسانی دانشگاه علوم پزشکی دارای تاییدیه اخلاقی (کد اخلاقی طرح IR.TBZMED.REC.1395.754) بود و فرم رضایت‌نامه کتبی سپس آزمودنی‌ها به طور تصادفی به دو گروه تمرینی (۱۳ نفر) و کنترل (۱۵ نفر) تقسیم شدند. گروه تمرینی بعد از گذراندن دو هفته مرحله آشنازی با تمرینات وارد دوره ۱۲ هفته‌ای تمرینات هوایی با سه جلسه در هفته شدند. ابتدا آزمودنی‌ها طی دو جلسه حضور در آزمایشگاه از لحاظ عوامل آنتروپومتریک (قد، وزن، شاخص توده بدن و درصد چربی) مورد ارزیابی قرار گرفتند. برای اندازه‌گیری قد از دستگاه قدسنج سکا مدل ۷۶۹ آلمان با تقریب یک میلی‌متر، وزن بدن آزمودنی‌ها با کاموشیتا (Kamoshita) با تقریب ۰/۱ کیلوگرم و برای اندازه‌گیری ترکیب بدن از دستگاه Inbody 230 استفاده شد. از ۲۸ داوطلب شرکت‌کننده در پژوهش حاضر، ۵ نفر در مراحل مختلف مطالعه به دلایل مختلف شخصی انصراف دادند که در نهایت ۲۳ نفر موفق به تکمیل دوره تمرینی شدند. برای بدست‌آوردن نمونه‌های خونی، آزمودنی‌ها، یکبار در ابتدای مطالعه و یک بار هم ۴۸ ساعت بعد از اتمام آخرین جلسه ۱۲ هفته‌ای تمرینات هوایی، صبحگاه به صورت ناشتا (۱۲ ساعت) در ساعت مقرر در آزمایشگاه حاضر شده و هر بار ۱۰ سی سی خون از ورید آنتی‌کوپیتال در وضعیت نشسته توسط متخصص آزمایشگاه گرفته شد و مقادیر غلظت قندخون ناشتا، هموگلوبین گلیکوزیله (HbA1c) و پروفایل چربی (تری‌گلیسرید، کلسترول، LDL و HDL) اندازه‌گیری و برای مقایسه ثبت شد. جهت همسان‌سازی رژیم غذایی در روزهای قبل از خونگیری، در جلسه اول برگه یادآمد غذایی به آزمودنی‌ها

برابر ۳۰/۱۴±۳/۶۵ کیلوگرم بر مترمربع و میانگین نسبت دور کمر به باسن برابر ۰/۹۵±۰/۰۳۰ سانتی متر بود (جدول ۱). نتایج بدست آمده نشان داد که تغییرات درون گروهی ترکیب بدن آزمودنی‌های گروه تمرينی شامل وزن، شاخص توده بدنی، درصد چربی و نسبت دور کمر به باسن و HbA1c بعد از گذراندن ۱۲ هفته دوره تمرينی کاهش معنی‌داری نسبت به قبل از ورزش آنها داشت ($P < 0/05$). این در حالی بود که در گروه تمرينی بعد از کامل کردن دوره ورزشی، میزان گلوكز خون ناشتا و پروفایل چربی (تری گلیسرید، کلسترول، HDL، LDL) نسبت به قبل از ورزش تفاوت معناداری نداشته و یا کمی افزایش یافته بود. بعلاوه نتایج تغییرات درون گروهی گروه کنترل نشان داد که متغیرهای نسبت دور کمر به باسن، شاخص توده بدنی و کلسترول افزایش معناداری نشان دادند ($P < 0/05$)، بقیه شاخص‌های آنتروپومتریک و بیوشیمیابی خون تفاوت معناداری نداشت ($P > 0/05$) (جدول ۲).

دهنده فعالیت عصب سمپاتیک و همچنین پس روی در فعالیت عصب پاراسمپاتیک است و نسبت LF/HF که تعادل اتونوم را نشان می‌دهد می‌باشد و پارامترهای زمان محور مورد استفاده شامل انحراف استاندارد تمامی فواصل نرمال The standard deviation of all normal R-R (SDNN)R-R (rMSSD) و جذر میانگین مربع تفاوت‌های متوالی (Root Mean Square Successive Differences intervals) برای تجزیه و تحلیل آماری داده‌ها از SPSS نسخه ۱۶ استفاده شد. برای مقایسه تفاوت‌های درون گروهی از تحلیل واریانس اندازه‌گیری مکرر و در ادامه از تحلیل t وابسته و برای بررسی تفاوت‌های بین گروهی از روش t مستقل استفاده گردید.

یافته‌ها

میانگین سن آزمودنی‌ها به ترتیب برابر ۱۲/۵۵±۰/۲۴ سال بود و میانگین قد و وزن بیماران به ترتیب ۱۷۱/۸۵±۶/۹۸ و ۵۳/۱۷±۹/۶۳ بود. میانگین شاخص توده بدن (BMI) آنها

جدول ۱: ویژگی‌های آنتروپومتریک آزمودنی‌ها

گروه‌های مورد مطالعه	تعداد	سن(سال)	قد(سانتیمتر)	وزن(کیلوگرم)	شاخص توده بدن	ساقیه بیماری
تمرينی	۱۱	۵۷/۵۲±۵/۲۳	۱۷۲/۱۴±۶/۴۰	۹۱/۷۵±۱۳/۸۹	۳۰/۳۹±۳/۳۶	۱۴/۲۷±۷/۵۴
کنترل	۱۲	۵۳/۱۷±۹/۶۳	۱۷۰/۳۸±۶/۹۰	۹۱/۷۹±۱۶/۲۴	۳۰/۹۳±۵/۱۲	۱۲/۳۳±۵/۶۵

جدول ۲: تغییر در شاخص‌های ترکیب بدن و بیوشیمیابی

متغیرها	شاخص توده بدن (BMI) (کیلوگرم بر مترمربع)	نسبت دور کمر به دور باسن	کنترل	تمرينی	قبل از تمرين	بعد از تمرين	نتیجه آزمون	انحراف استاندارد ± میانگین
وزن (کیلوگرم)					۹۱/۷۵±۱۳/۸۹	۸۹/۶۹±۱۲/۸۰	۰/۰۴۸*	۰/۰۴۸*
درصد چربی					۹۱/۷۹±۱۶/۲۴	۹۱/۵۴±۱۷/۲۳	۰/۰۷۲۹	۰/۰۰۱**
					۳۳/۴۸±۴/۲۶	۲۶/۲۵±۶/۳۳	۰/۰۵۸۲	۰/۰۰۵**
					۳۰/۸۶±۵/۶۵	۳۰/۸۰±۶/۶۷	۰/۰۰۶**	۰/۰۰۶**
					۰/۹۶±۰/۰۳۳	۰/۹۴±۰/۰۳۷	۰/۰۱۶۶	۰/۰۰۵**
					۰/۹۴±۰/۰۳۵	۰/۹۵±۰/۰۳۷	۰/۰۰۰۱	۰/۰۰۰۱
					۳۰/۳۹±۳/۳۶	۲۹/۴۵±۳/۲۱*	۰/۰۴۹	۰/۰۴۹
					۳۰/۹۳±۵/۱۲	۳۱/۲۹±۵/۳۲	۰/۰۷۴۰	۰/۰۷۴۰
					۱۴۲/۹۴±۳/۴۸	۱۴۸±۴/۰/۷۶	۰/۰۰۱۴*	۰/۰۰۱۴*
					۱۵۶/۷۵±۵۵/۵۷	۱۴۹/۷۵±۶۱/۰۹	۰/۰۰۵۵	۰/۰۰۵۵
					۷/۱۲±۱/۱۷	۶/۲۹±۰/۷۹	۰/۰۰۹۴	۰/۰۰۹۴
					۷/۲۶±۱/۰۱	۶/۸۲±۱/۱۴	۰/۰۲۳*	۰/۰۲۳*
					۱۳۶/۲۷±۴۱/۸۵	۱۵۴/۹۱±۵۲/۲۱	۰/۰۲۲۵	۰/۰۲۲۵
					۱۳۷/۳۳±۳۴/۱۲	۱۷۱/۲۵±۶۱/۳۷	۰/۰۲۲۲	۰/۰۲۲۲
					۱۷۰/۶۳±۸۱/۰۶	۲۱۰/۶۴±۱۲۵/۲۴	۰/۰۲۸۸	۰/۰۲۸۸
					۲۰۵/۴۲±۱۸۵/۰۹	۲۲۱/۹۲±۴۸۹/۳۶	۰/۰۸۹۹	۰/۰۸۹۹
					۶۹/۰۵±۲۹	۷۵/۸۷±۲۷/۰۸	۰/۰۹۱۴	۰/۰۹۱۴
					۷۶/۲۷±۲۳/۱۹	۷۷/۰۵±۲۱/۰۲	۰/۰۴۳۰	۰/۰۴۳۰
					۳۸/۳۶±۶/۶۸	۳۸/۱۸±۵/۶۹		
					۳۲/۸۳±۹/۷۹	۳۱/۹۲±۸/۰۶		
							~P < .0/0۱	~P < .0/0۵

جدول ۳: نتایج آزمون تحلیل واریانس برای بررسی پارامترها با لحاظ کردن تأثیر عاملی گروه

P زمان گروه	P زمان	F مقدار	ارزش لامدا ویکز	پارامترها
۰/۰۰۱**	۰/۰۰۱**	۱۴/۵۶	۰/۴۰۹	
۰/۰۱۶*	۰/۰۱۲*	۱۶/۳۷	۰/۵۶۲	SDNN
۰/۹۹۳	۰/۲۷۹	۷/۵۱	۰/۷۳۷	rMSSD
۰/۰۰۱**	۰/۰۰۱**	۶/۸۱	۰/۷۵۵	LF Power
۰/۰۳۵*	۰/۳۸۶	۱/۲۳	۰/۹۴۵	HF Power
		۰/۰۰۰	۱/۰۰	LF/HF Ratio
		۹۸/۰۸	۰/۱۷۶	
		۷۲/۴۰	۰/۲۲۵	
		۰/۷۸۵	۰/۰۳۶	
		۵/۱۱	۰/۸۰۴	

**P < .05 P < .01

جدول ۴: میانگین و انحراف استاندارد تغییرات درون گروهی و بین گروهی پارامترهای HRV

P بین گروهی	P درون گروهی	بعد از تمرين	قبل از تمرين	گروه های مورد مطالعه	پارامترها
۰/۰۰۱**	۰/۰۰۱**	۴۹±۱۴/۱۵	۳۷/۴۰±۱۵/۷۳	تمرينی	(SDNN (ms
	۰/۸۶۰	۲۹/۵۸±۱۳/۶۲	۲۹/۹۲±۱۵/۳۸	کنترل	
۰/۰۰۱**	۰/۰۱۲**	۲۳/۷۰±۷/۶۶	۱۶/۸۰±۷/۷۳	تمرينی	(rMSSD (ms
	۰/۹۳۳	۱۶/۱۷±۶/۱۳	۱۶±۵/۰۳	کنترل	
۰/۹۹۳	۰/۶۲۳	۴۹۵/۴۷±۴۲۷/۵۴	۴۲۳/۸۵±۴۷۵/۱۶	تمرينی	(LF Power (ms ²
	۰/۳۳۹	۳۳۴/۴۹±۴۳۱/۲۴	۲۵۰/۳۷±۲۸۵/۱۸	کنترل	
۰/۰۰۱**	۰/۰۰۱**	۲۹۵/۹۸±۶۹/۰۰	۷۶/۴۱±۶۹/۳۵	تمرينی	(HF Power (ms ²
	۰/۴۰۷	۶۵/۱۰±۸۱/۵۴	۴۶/۴۹±۳۲/۹۸	کنترل	
۰/۰۳۵*	۰/۰۰۶**	۳/۶۰±۳/۴۰	۵/۰۴±۲/۶۶	تمرينی	LF/HF Ratio
	۰/۴۳۴	۷/۲۸±۱۲/۴۳	۴/۹۵±۳/۵۹	کنترل	
	P < .05	P < .01			

دادهای جدول به صورت انحراف استاندارد ± میانگین در هر گروه بیان شده‌اند.

دیابتی مبتلا به نوروپاتی محیطی بود. با توجه به آسیب‌پذیر بودن سیستم اعصاب اتونوم در برابر عدم تعادل بین اعصاب سمباتیک و پاراسمباتیک توزیع شده به قلب و عروق، و متعاقب آن مستعد بودن بیماران دیابتی برای ابتلا به CAN در نتیجه پارامترهای زمان محور HRV شامل SDNN و rMSSD (فعالیت اعصاب پاراسمباتیک) در بیماران دیابتی نسبت به افراد عادی کاهش می‌یابد (۲۴). نتایج پژوهش حاضر نشان داد که در مردان دیابتی مبتلا به نوروپاتی محیطی تمرين کرده بعد از گذراندن ۱۲ هفته تمرين هوایی با شدت متوسط، از پارامترهای زمان محور HRV، هر دو پارامتر SDNN و rMSSD، افزایش معنی‌داری نسبت به دوره قبل از مطالعه داشتند (P<0.01)؛ در حالی که در مقادیر پارامترهای زمان محور گروه کنترل تفاوت معنی‌داری وجود نداشت. همچنین مقادیر پارامترهای SDNN و rMSSD در گروه تمرينی نسبت به گروه کنترل افزایش معناداری دارد. نتایج تحقیق حاضر با نتایج مطالعات Goit و همکاران (۲۰۱۴) که نشان داده‌اند تمرينات ورزشی باعث بهبود پارامترهای زمان محور SDNN و rMSSD شده است (۲۵)، همخوانی دارد. SDNN به عنوان حامل قویترین اطلاعات پیش‌آگهی در بیماری‌های قلبی (۲۵)، نشان‌دهنده فعالیت کلی سیستم عصبی اتونوم و rMSSD منعکس‌کننده تنظیم کلی اتونوم با اجزاء پاراسمباتیک است

با توجه نتایج آزمون تحلیل واریانس اندازه‌گیری مکرر در مورد مقایسه داده‌های پیش‌آزمون و پس‌آزمون تغییرات پارامترهای زمان محور (rMSSD) و فرکانس محور (LF Power) با لحاظ کردن تأثیر عاملی گروه (شامل گروه کنترل و گروه تمرين) معنادار بود (جدول ۳)، در نتیجه لازم است تا بررسی‌های بیشتری انجام شود. بنابراین در ادامه مقادیر پارامترها در طول مداخله با استفاده از آزمون t وابسته به طور درون گروهی مقایسه شده‌اند که نتایج آن در جدول ۴ ذکر گردیده است. نتایج نشان داد تمامی پارامترهای زمان محور و فرکانس محور HRV به جز گروه تمرينی به طور معنی‌داری افزایش یافته بود. اگرچه پارامتر LF افزایش داشت ولی معنادار نبود. این در حالی بود که در گروه کنترل این پارامترها یا تغییر معنی‌داری نداشته یا کاهش یافته بود. نتایج تحلیل تفاوت‌های بین گروهی نیز نشان داد که در کلیه پارامترهای مورد بررسی (به غیر از پارامتر LF Power) بین گروه تمرينی با گروه کنترل تفاوت معناداری وجود دارد (جدول ۴).

بحث

هدف از مطالعه حاضر، بررسی تأثیر ۱۲ هفته تمرينات هوایی با شدت متوسط بر تغییر پذیری ضربان قلب (HRV) در بیماران

قلبی دارد (۲۰). مطالعات نشان داده است که تمرينات ورزشی باعث بهبود فراهمی زیستی NO و عملکرد آندوتیال می‌شود (۲۱). میانجی دوم، آثیروتансین II، یک مهارکننده شناخته شده فعالیت واگ قلبی است (۲۲). ورزشکاران و افراد تمرين دار نسبت به غیر ورزشکاران و افراد بی تمرين، کمترین سطح فعالیت رنین پلاسمما و در نتیجه کمترین سطح آثیروتансین II را نشان داده‌اند (۳۰). با اين وجود مشخص شدن مکانيسم دقیق نحوه اثر تمرينات ورزشی بر HRV و اتونوم قلبی نياز به تحقیقات بیشتری دارد.

نتیجه‌گیری

در نتیجه‌گیری می‌توان گفت که ۱۲ هفته تمرينات منظم هوازی در بیماران دیابتی مبتلا به نوروپاتی محیطی از طریق افزایش تون واگی قلبی و کاهش اثر سمپاتیک قلبی منجر به بهبود معنادار در عملکرد اتونوم قلبی عروقی و HRV می‌شود. به علاوه یافته‌های تحقیق حاضر بیان می‌کند که سه بار در هفته تمرين هوازی با شدت متوسط برای بیماران دیابتی بی خطر بوده و می‌تواند به عنوان یک ابزار کمک درمانی در روند مدیریت این بیماری باشد.

قدرتانی

مقاله حاضر برگرفته از رساله دکتری تخصصی خانم الله پیرعلائی در رشته تربیت بدنی و علوم ورزشی-گرایش قلب و عروق و تنفس در دانشگاه محقق اردبیلی می‌باشد. معاونت پژوهش و فناوری دانشگاه محقق اردبیلی دستگاه هولتر مانیتورینگ مورد استفاده در اين پژوهش را خریداری کرد و در اختیار محقق قرار داد. بدینوسیله از حمایت معاونت پژوهش و فناوری دانشگاه محقق اردبیلی تشکر و قدردانی می‌نمایم. همچنین از همه کسانی که مستقیم یا غیر مستقیم در انجام اين پژوهش همکاری کرده‌اند، تشکر و قدردانی می‌شود.

ملاحظات اخلاقی: پروتکل مورد مطالعه در کمیته پژوهشی دانشگاه علوم پزشکی تبریز، استان آذربایجان شرقی به شماره مرجع IR.TBZMED.REC.1395.754 به تایید رسیده است.

منابع مالی: منابع مالی ندارد.
منافع متقابل: مولف اظهار می‌داد که منافع متقابلی از تالیف یا انتشار این مقاله ندارد.

مشارکت مولفان: اپ و م س و همکاران. طراحی، اجرا و تحلیل نتایج مطالعه را بر عهده داشت. همچنین همه نویسنده‌گان مقاله را تالیف نموده و نسخه نهایی آن را خوانده و تایید کرده‌اند.

(۱۲) و SDNN به معنای افزایش در انحراف استاندارد فواصل نرمال R-R و به عبارت دیگر افزایش در تغییرپذیری ضربان-های قلب و افزایش rMSSD به معنای مداخله بیشتر پاراسمپاتیک بوده در نتیجه نشان دهنده کارآمدی سیستم عصبی اتونوم در پاسخ به شرایط متغیر محیطی است. به عبارت دیگر آنالیز زمان محور HRV نشان دهنده افزایش فعالیت پاراسمپاتیک در بیماران دیابتی در پاسخ به تمرينات ورزشی می‌باشد (۲۵). همچنین نتایج پژوهش Kang و همکاران (۲۰۱۶) نشان داد که ۱۲ هفته تمرينات ترکیبی (هوازی و قدرتی) بر پارامترهای SDNN و rMSSD تاثیر معناداری ندارد (۱) که با نتیجه تحقیق حاضر ناهمخوان می‌باشد. احتمالاً علت ناهمخوانی مربوط به متفاوت بودن شدت و مدت تمرين و همچنین متفاوت بودن آزمودنی‌ها باشد. همچنین در مطالعه حاضر، تحلیل تغییرات درون گروهی داده‌های فرکانس محور HRV نشان داد که در مردان دیابتی مبتلا به نوروپاتی محیطی، مداخله ورزشی باعث افزایش معناداری در پارامتر HF Power در نسبت LF/HF و عدم تفاوت معنادار در پارامتر LF Power شد. همچنین افزایش مقادیر HF Power و نسبت LF/HF تمرینی با گروه کنترل معنادار می‌باشد. به طور کلی HF منعکس کننده فعالیت پاراسمپاتیک، LF منعکس کننده فعالیت سیستم‌های سمپاتیک و پاراسمپاتیک (۲۷) و نسبت LF/HF بیان کننده تعادل سمپاتیک و اگال می‌باشد (۲۶). از آنجایی که در بیماران دیابتی HRV با افزایش میانجیگری سمپاتیک و پس روی پاراسمپاتیک کاهش می‌یابد در نتیجه تغییر در پارامترهای HRV آنها با افزایش پارامتر LF و نسبت LF/HF کاهش پارامتر HF همراه است (۳ و ۱۶). هسو و همکاران (۲۰۱۵) در تحقیقات خود نشان دادند که فعالیت ورزشی از طریق افزایش در تون واگ و تنظیم تعادل سمپاتیک و اگال قابل توجهی بر بهبود HRV بیماران قلبی دارد. نتایج پژوهش حاضر با نتایج پژوهش‌های Hsu و همکاران (۲۰۱۵) و Ricca-Mallada (۲۰۱۴) و همکاران (۲۰۱۲) مکانیسمی که توسط آن همخوانی دارد (۲۵ و ۲۸ و ۲۹). مکانیسمی که توسط آن تمرينات ورزشی باعث بهبود HRV می‌شود هنوز به طور کامل شناخته نشده است. اما احتمال می‌رود که تمرينات ورزشی از طریق افزایش تون واگی و کاهش اثر سمپاتیک قلبی باعث بهبود HRV می‌شود (۱۲ و ۱۹) که با نتایج پژوهش حاضر نیز همخوانی دارد. تصویر بر این است که در افزایش تون واگی قلب در پاسخ به تمرينات ورزشی حداقل دو میانجی نقش ایفا می‌کنند که عبارتند از: نیتریک اکساید (NO) و آثیروتансین II. احتمال می‌رود که NO اثر مستقیمی بر تون واگی قلب و اثر غیرمستقیمی بر اعصاب سمپاتیک

References

- Kang S J, Ko K J, Baek U H. Effects of 12 weeks combined aerobic and resistance exercise on heart rate variability in type 2 diabetes mellitus patients. *J Phys Ther Sci* 2016; **28**(7): 2088-2093. doi: 10.1589/jpts.28.2088
- Ginsberg H N. Insulin resistance and cardiovascular disease. *J Clin Invest* 2000; **106**(4): 453-458. doi: 10.1172/JCI10762
- Vinik A I, Ziegler D. Diabetic cardiovascular autonomic neuropathy. *Circulation* 2007; **115**(3): 387-397. doi: 10.1161/CIRCULATIONAHA.106.634949
- Stella P, Ellis D, Maser R E, Orchard T J. Cardiovascular autonomic neuropathy (expiration and inspiration ratio) in type 1 diabetes. Incidence and predictors. *J Diabetes Complicat* 2000; **14**(1):1-6. doi: 10.1016/S1056-8727(00)00054-4
- Ewing D J, Campbell I W, Clarke B F. The natural history of diabetic autonomic neuropathy. *QJM* 1980; **49**(193): 95-108. doi: 10.1093/oxfordjournals.qjmed.a067610
- Jacob G, Costa F, Biaggioni I. Spectrum of autonomic cardiovascular neuropathy in diabetes. *Diabetes Care* 2003; **26**(7): 2174-2180. doi: 10.2337/diacare.26.7.174
- Billman G E. Heart rate variability – a Historical Perspective. *Front Physiol* 2011; **2**(86): 1-13. 10.3389/fphys.2011.00086
- Freeman J V, Dewey F E, Hadley D M, Myers J, Froelicher V F. Autonomic nervous system interaction with the cardiovascular system during exercise. *Prog Cardiovasc Dis* 2006; **48**(5): 342-62. doi: 10.1016/j.pcad.2005.11.003
- Van Boven A J, Jukema J W, Haaksma J, Zwinderman A H, Crijns H J, Lie K I. Depressed heart rate variability is associated with events in patients with stable coronary artery disease and preserved left ventricular function. REGRESS Study Group. *AM Heart J* 1998; **35**(4): 571-576. doi: 10.1016/S0002-8703(98)70269-8
- Zuern C S, Barthel P, Bauer A. Heart rate turbulence as risk-predictor after myocardial infarction. *Front Physiol* 2011; **2**(99): 1-8. doi: 10.3389/fphys.2011.00099
- Heart rate variability: standards of measurement, physiological interpretation and clinical use. Task Force of the European Society of Cardiology and the North American Society of Pacing and Electrophysiology. *Circulation* 1996; **93**: 1043-1065. doi: 10.1161/01.CIR.93.5.1043
- Routledge F S, Campbell T S, McFetridge-Durdle J A, Bacon S L. Improvements in heart rate variability with exercise therapy. *Can J Cardiol* 2010; **26**(6): 303-312. doi: 10.1016/S0828-282X(10)70395-0
- Keyl C, Lemberger P, Palitzsch K D, Hochmuth K, Liebold A, Hobbahn J. Cardiovascular autonomic dysfunction and hemodynamic response to anesthetic induction in patients with coronary artery disease and diabetes mellitus. *Anesth Analg* 1999; **88**(5): 985-991. doi: 10.1213/00000539-199905000-00004
- Liao D, Carnethon M, Evans G W, Cascio W E, Heiss G. Lower heart rate variability is associated with the development of coronary heart disease in individuals with diabetes: the atherosclerosis risk in communities (ARIC) study. *Diabetes* 2002; **51**(12): 3524-3531. doi: 10.2337/diabetes.51.12.3524
- Bilchick K C, Fetis B, Djoukeng R, Fisher S G, Fletcher R D, Singh S N, et al. Prognostic value of heart rate variability in chronic congestive heart failure (Veterans Affairs' Survival Trial of Antiarrhythmic Therapy in Congestive Heart Failure). *Am J Cardiol* 2002; **90**(1): 24-28. doi: 10.1016/S0002-9149(02)02380-9
- Kienzle M G, Ferguson D W, Birkett C L, Myers G A, Berg W J, Mariano D J. Clinical, hemodynamic and sympathetic neural correlates of heart rate variability in congestive heart failure. *Am J Cardiol* 1992; **69**(8): 761-767. doi: 10.1016/0002-9149(92)90502-P
- Sanz C, Gautier J F, Hanaire H. Physical exercise for the prevention and treatment of type 2 diabetes. *Diabetes Metab* 2010; **36**(5): 346-351. doi: 10.1016/j.diabet.2010.06.001
- Rosenwinkel E T, Bloomfield D M, Arwady M A, Goldsmith R L. Exercise and autonomic function in health and cardiovascular disease. *Cardiol Clin* 2001; **19**(3): 369-387. doi: 10.1016/S0733-8651(05)70223-X
- Carter J B, Banister E W, Blaber A P. The effect of age and gender on heart rate variability after endurance training. *Med Sci Sport Exer* 2003; **35**(8): 1333-1340. doi: 10.1249/01.MSS.0000079046.01763.8F
- Chowdhary S, Townend J N. Role of nitric oxide in the regulation of cardiovascular autonomic control. *Clin Sci* 1999; **97**(1): 5-17. doi: 10.1042/cs0970005
- Kingwell B A. Nitric oxide as a metabolic regulator during exercise: effects of training in health and disease. *Clin Exp Pharmacol P* 2000; **27**(4): 239-250. doi: 10.1046/j.1440-1681.2000.03232.x
- Townend J N, al-Ani M, West J N, Littler W A, Coote J H. Modulation of cardiac autonomic control in humans by angiotensin II. *Hypertension* 1995; **25**(6): 1270-1275. doi: 10.1161/01.HYP.25.6.1270
- Sigal R J, Kenny G P, Boule N J, Wells G A, Prud'homme D, Fortier M, et al. Effects of aerobic training, resistance training, or both on glycemic control in type 2 diabetes. *Ann Intern Med* 2007; **147**(6): 357-369. doi: 10.7326/0003-4819-147-6-200709180-00005

24. Lishner M, Akselrod S, Avi V M, Oz O, Divon M, Ravid M. Spectral analysis of heart rate fluctuations. A non-invasive, sensitive method for the early diagnosis of autonomic neuropathy in diabetes mellitus. *J Autonom Nerv Syst* 1987; **19**(2): 119-125. doi: 10.1016/0165-1838(87)90005-1
25. Goit R K, Paudel B H, Khadka R, Roy R K, Shresthawwa M K. Mild-to-moderate intensity exercise improves cardiac autonomic drive in type 2 diabetes. *J Diabetes Investig* 2014; **5**(6): 722-727. doi: 10.1111/jdi.12238
26. Cygankiewicz I, Zareba W. Heart rate variability. *Handbook of Clinical Neurology* 2013; **117**(3): 379-393. doi: 10.1016/B978-0-444-53491-0.00031-6
27. Moak J P, Goldstein D S, Eldadah B A, Saleem A, Holmes C, Pechnik S, et al. Supine low frequency power of heart rate variability reflects baroreflex function, not cardiac sympathetic innervation. *Heart Rhythm* 2007; **4**(12): 1523-1529. doi: 10.1016/j.hrthm.2007.07.019
28. Hsu CHY, Hsieh P L, Hsiao SHF, Chien M Y. Effects of Exercise Training on Autonomic Function in Chronic Heart Failure: Systematic Review. *Bio Med Res Int* 2015; **2015**: 1-8. doi: 10.1155/2015/591708
29. Ricca-Mallada R, Migliaro E R, Piskorski J, Guzik P. Exercise training slows down heart rate and improves deceleration and acceleration capacity in patients with heart failure. *J Electrocardiol* 2012; **45**(3): 214-219. doi: 10.1016/j.jelectrocard.2012.01.002
30. Fagard R, Grauwels R, Groeseneken D, Lijnen P, Staessen J, Vanhees L, et al. Plasma levels of renin, angiotensin II, and 6-ketoprostaglandin F1 alpha in endurance athletes. *J Appl Physiol* 1985; **59**(3): 947-952.

Bacteriocin production by Lactobacillus spp. And study on it's antimicrobial activity against some pathogenic microorganisms

Fatemeh Kheirollahi¹ , Masoumeh Anvari^{2*} 

¹Ph.D Student, Department of Microbiology, School of Basic Sciences, Rasht Branch, Islamic Azad University, Rasht, Iran

²Department of Microbiology, School of Basic Sciences, Rasht Branch, Islamic Azad University, Rasht, Iran

*Corresponding author: anvari@iaurasht.ac.ir

Received: 22 July 2017 Accepted: 18 September 2017 First Published online: 4 July 2019

Med J Tabriz Uni Med Sciences Health Services. 2019 August- September; 41(3):53-60

Abstract

Background: Bacteriocins are antimicrobial proteins which prevent the growth of sensitive strains. The aim of study is to produce antimicrobial products using the lactic acid bacteria separated from low fat yogurt and survey on their antimicrobial activity.

Methods: At the first bactobacillus separated from two kinds of pasteurized yogurt of Gilan and then its effect on E.coli and a *staphylococcus aureus* was studied by disc and gel diffusion methods. Also effect of different physicochemical factors on bacteriocin production was evaluated using Taguchi methodology.

Results: The greatest zone diameter and the highest rate of production and E.coli (17 mm). This diameter was observed in PH 5° inoculation size 20%, temperature 25°C, Glucose and yeast extract as the carbon and nitrogen sources. The result analysis of varians showed that carbon and nitrogen type had significant product.

Conclusion: The results in optimized MRS broth medium show that the best bacteriocin production in the optimized environment was 70% greater and it could be prev the bacterial growth property

Keyword: Probiotic, Bacteriocin, Optimization, Lactobacillus.

How to cite this article: Kheirollahi F, Anvari M. [Bacteriocin production by Lactobacillus spp. And study on it's antimicrobial activity against some pathogenic microorganisms]. Med J Tabriz Uni Med Sciences Health Services. 2019 August- September; 41(3):53-60. Persian.

مقاله پژوهشی

تولید باکتریوسین توسط اعضای جنس لاکتوپاسیلوس و مطالعه عملکرد ضد میکروبی آن در برابر برخی میکروارگانیسم های بیماری زا

فاطمه خیرالله^۱، معصومه انوری^{۲*}

^۱دانشجوی دوره دکتری زیست شناسی، گرایش میکروبیولوژی، واحد رشت، دانشگاه آزاد اسلامی، رشت، ایران
^۲گروه میکروبیولوژی، دانشکده علوم پایه، واحد رشت، دانشگاه آزاد اسلامی رشت، ایران
*نویسنده مسئول؛ ایمیل anvari@iaurasht.ac.ir

دریافت: ۱۳۹۶/۴/۳۱ پذیرش: ۱۳۹۶/۶/۲۷ انتشار برخط: ۱۳۹۸/۴/۱۳
مجله پژوهشی دانشگاه علوم پزشکی و خدمات بهداشتی - درمانی تبریز. مرداد و شهریور ۱۳۹۸؛ ۴۱(۳):۵۳-۶۰

چکیده

زمینه: باکتریوسینها مواد ضد میکروبی با ماهیت پروتئینی هستند که از رشد سویه‌های حساس جلوگیری می‌کنند. هدف از این تحقیق بررسی تولید محصولات ضد میکروبی توسط باکریهای های اسید لاکتیک جدا شده از ماست پاستوریزه کم چرب و بررسی اثر ضدمیکروبی آنهاست.

روش کار: در این مطالعه ابتدا باکتریوسین توسط لاکتوپاسیلوس جدا شده از دو نوع ماست پاستوریزه تولید و سپس اثر آن روی دو باکتری E.coli و Staphylococcus aureus با دو روش دیسک و ژل دیفیوژن علیه دو گونه باکتری گرم مثبت و منفی بررسی شد. همچنین اثر فاکتورهای مختلف فیزیکو شیمیایی در تولید باکتریوسین ارزیابی گردید.

یافته‌ها: یافته‌ها نشان داد که بیشترین قطر هاله و تولید باکتریوسین علیه باکتری E. coli در pH=۵ و میزان تلقيق ۲۰٪ و دمای ۲۵° سانتیگراد و منبع کربن و ازت کمکی به ترتیب گلوكز و عصاره مخمیر مشاهده شد. آنالیز واریانس نتایج نشان داد. منع کمکی ازت و کربن اثر معناداری در تولید داشته‌اند.

نتیجه‌گیری: مقایسه قطر هاله حاصل از باکتریوسین تولید شده در محیط MRS broth بهینه شده نشان داد که تولید باکتریوسین در محیط بهینه‌سازی شده تقریباً ۷۰ (تقریباً ۱/۵ برابر) درصد دارای افزایش می‌باشد و به خوبی از رشد باکتریهای بیماری‌زا جلوگیری می‌کند.

کلید واژه‌ها: پروتوتک، باکتریوسین، بهینه سازی، اعضای جنس لاکتوپاسیلوس

نحوه استناد به این مقاله: خیرالله^۱، انوری^۲. تولید باکتریوسین توسط اعضای جنس لاکتوپاسیلوس و مطالعه عملکرد ضد میکروبی آن در برابر برخی میکروارگانیسم های بیماری‌زا. مجله پژوهشی دانشگاه علوم پزشکی و خدمات بهداشتی درمانی تبریز. ۱۳۹۸؛ ۴۱(۳):۵۳-۶۰

مقدمه

اثر ممانعت کنندگی از رشد سایر میکروارگانیسم‌های واقع در محیط اکولوژیکی پروپیوتیک‌ها در دفاع غیر اختصاصی اهمیت دارند^(۶). مطالعات بسیاری توسط پژوهشگران خارجی و داخلی در این زمینه انجام گرفته که از آن جمله می‌توان به بررسی Amel Rehaien و همکاران در سال ۲۰۱۴ اشاره کرد. بر روی انتروکوکوس فکالیس جدا شده از یک محصول لبنی خاص در تونس از نظر تحمل نمکهای صفرایی و مقاومت اسید و شیره گوارشی و خواص چسبندگی تحقیق نموده‌اند. از ویژگی‌های جالبی که باکتری نشان داد مدت و تحمل عبور از دستگاه گوارش و توانایی بقاء در PH های پایین و نمکهای صفرایی بود. علاوه بر این ژنوم این سوبه برای شناختن ژنهای تولیدکننده انتروسمین با روش PCR ارزیابی^(۷). Mengfei Peng و همکاران در سال ۲۰۱۵ مصرف پری‌بیوتیک و پروپیوتیک به عنوان مکمل غذایی روزانه را روشنی مطلوب برای کنترل عفونت‌های مزمم روده یا ببهود سلامت روده دانسته. با مطالعه اثر لاکتوپاسیلوس کائزی بر رشد و حدت خواص پاتوژنهای روده ناشی از اشرشیاکلی EDL933 و سالمونولا تیفی موریوم LT2 و لیستریا مونوسایتوژن LM2 مورد بررسی قرار دادند. کشت مخلوط لاکتوپاسیلوس کائزی با هر یک از عوامل بیماری زا نشان داد که لاکتوپاسیلوس کائزی به علت حذف یا مهار رشد ۹۹ درصد از پاتوژنهای در ۴۸ ساعت شود^(۸). Weerapong Woraprayote و همکاران در سال ۲۰۱۵ با مطالعه بر روی باکتری Weissella hellenica BCC7239 جدا شده از سوسیسی تخمیر شده گوشت خوک در تایلند که دریافتند که این باکتری قادر است دو باکتریوسمین جدید به نام A ۷۷۹۳، B ۷۷۹۳ میکروبی نماید که هر دو آنها طیف ضد میکروبی وسیعی برای مهار چند پاتوژن گرم منفی غذا (سودومناس آئروژنوز، آتروموناس هیدروفیلا سالمونولا تیفی موریوم و اشرشیاکلی) داشتند. بیشترین میزان باکتریوسمین در محیط‌های کشت MRS و APT در دمای ۳۰ درجه بدون تکانش تولید شدند. باکتریوسمین A ۷۷۹۳ فعالیت ضد میکروبی بیشتری نسبت به B ۷۷۹۳ دارد. با این حال PH و مقاومت حرارتی باکتریوسمین A ۷۷۹۳ کمتر بود. فعالیت ضد میکروبی هر دو پتید نیز توسط حلال‌های آلی (اتانول، استون، استونیتریل و ایزوپروپانول) و سورفاکтан‌ها (توئین ۲۰، توئین ۸۰ و تریتون X-100) تحت تأثیر قرار نگرفت. باکتریوسمین ها ۷۷۹۳ A B7293 A ۷۷۹۳ می‌توانند باکتری در برابر هر دو نوع گرم مثبت و گرم منفی بدون لیز سلولی بود. از آنجایی که توده مولکولی آنها شبیه به باکتریوسمینهای شناسایی شده قبلی بود هر دو باکتریوسمین بакتریوسمین جدید می‌توان در برنامه‌های کاربردی و پیشگیری یا درمان عفونت‌های بیماریزا به عنوان غذا و مواد افزودنی به جای آنتی‌بیوتیک‌ها برای افزایش بهره وری مواد غذایی جانداران استفاده

پروپیوتیک‌ها مکمل‌های غذایی میکروبی زنده هستند که با حفظ و یا ببهود تعادل میکروبی روده مصرف کنندگان، به نفع سلامت آنها عمل می‌کنند^(۱). باکتری‌های پروپیوتیک با توجه به فواید سلامتی آنها، به طور فرازینه‌ای در طول دو دهه گذشته در ماست و شبیر تخمیر شده استفاده شده‌اند. اولین مشاهدات از نقش میکروب‌گانیسم‌ها اولین بار توسط دانشمند پرآوازه روسی‌الی مچینیکوف معرفی گردید، کسی که در اوایل قرن بیستم پیشنهاد کرد که امکان تغییر فلور روده‌ای و جایگزینی میکروب‌های مضر با میکروب‌های مفید وجود دارد. مچینیکوف استاد مؤسسه پاستور پاریس این نظریه را مطرح کرد که پدیده پیری در نتیجه فعالیت میکروب‌های عامل گندیدگی (پروتولیتیک) که در روده بزرگ مواد سمی تولید می‌کنند، حاصل می‌شود. باکریهای پروتولیتیک مانند کلستریدیوم‌ها که بخشی از فلور طبیعی روده را تشکیل می‌دهند، از هضم پروتئین‌ها تولید مواد سمی می‌کنند که شامل: فنول‌ها، اندول‌ها و آمونیاک می‌گردد. بر اساس عقیده مچینیکوف این ترکیبات مسئول ایجاد مسمومیت روده بودند که باعث تغییرات فیزیکی مرتبط با پیری می‌شدند. در این زمان مشخص شده بود که شیرهای تخمیر شده با باکریهای اسید لاکتیک به علت پایین آوردن PH در اثر تخمیر لاکتوز از رشد باکریهای پروتولیتیک ممانعت می‌کردند. بیفیدو-باکتری‌ها نیز اولین بار از نوزادی که از شیر پستان تغذیه شده بود توسط هنری تیسیر جداسازی گردیدند. باکتری جداسازی شده با پاسیلوس یفیدلوس نام گرفت و بعداً به جنس بیفیدو-باکتریوم تغییر نام داد. تیسیر متوجه گردید که بیفید و باکتری‌ها در فلور روده نوزادان تغذیه شده از شیر پستان غالباً هستند و او همچنین فواید کلینیکی از درمان اسهال نوزادان با بیفیدو-باکتری‌ها را مشاهده کرد و دریافت که جایگزینی بیفیدو-باکتری‌ها با باکریهای پروتولیتیک باعث بیماری می‌گردد^(۲). لاکتوپاسیل‌ها مانند لاکتوپاسیلوس اسیدولفیلوس، و بیفیدو-باکتری‌ها که اغلب به عنوان 'بیفیدلوس' خطاب می‌شوند، شایع‌ترین آنها بوده‌اند^(۳). شواهد علمی رو به رشدی برای حمایت از این مفهوم وجود دارد که حفظ میکروفلور روده‌ای سالم ممکن است حفاظت در برابر اختلالات گوارشی از جمله عفونت‌های دستگاه گوارش، بیماری‌های التهابی روده، و حتی سرطان را فراهم کند^(۴). باکتریوسمینها پتیدهای ضد میکروبی ساخته شده توسط ریبوزومها هستند که توسط باکتریها تولید شده و به طور معمول علیه سوبه‌های مشابه ارگانیسم تولیدکننده خود فعالیت می‌کنند^(۵). پروپیوتیک‌ها علاوه بر تولید باکتریوسمین، قادر به تولید سایر متابولیت‌های دیگر با خاصیت ضد میکروبی هستند. این مواد شامل اسیدهای چرب آزاد، اتانول، دی‌استیل استن، اسید لاکتیک، ۲-۳ بوتان دی‌ال، استالدئید، بنزوئیک اسید و گلیکوپروتئین‌های با فعالیت بیولوژیک قوی می‌باشند. این مواد با

حاوی استات سدیم است که رشد بسیاری از باکتریهای رقیب را سرکوب می‌کند. اگرچه بعضی از باکتری‌های لاكتیک مانند لوکونوستوک Leuconostoc و پدیوکوکوس *Pediococcus* ممکن است رشد کنند. *Polysorbate 80* در این محیط سورفاکтанتی است که به جذب مواد غذی توسط لاكتوباسیل ها کمک می‌کند. سولفات‌منیزیم و سولفات‌منگنز موجود در محیط برای ارائه کاتیون‌های مورد نیاز در سوخت و ساز بکار می‌رودند. بعد از ۴۸ ساعت انکوباسیون از نمونه‌ها لام تهیه شد و رنگ‌آمیزی گرم انجام گرفت. برای اثبات وجود لاكتوباسیلوس *Morphaeobacter* نمونه‌ها زیر میکروسکوپ موردن بررسی قرار گرفت. و برخی آزمایشات نظری تست کاتالاز، حرکت، انعقاد شیر، تحمل فنل، تحمل *NaCl* انجام پذیرفت. با استفاده از این آزمایش می‌توان وجود آنزیم کاتالاز را در باکتری مشخص نمود. در صورتی که باکتری واجد آنزیم کاتالاز باشد، با اضافه کردن آب اکسیژن به کلنی برداشته شده باکتری بر روی لام، واکنش انجام شده به صورت تولید آب و اکسیژن بوده که به صورت حباب‌های نمایان می‌گردد. در صورتی که باکتری فاقد آنزیم کاتالاز باشد، بعد از اضافه نمودن کلنی، هیچ-گونه تغییری ایجاد نمی‌گردد و در نهایت باکتری کاتالاز منفی می‌باشد (۱۲). به منظور تست حرکت از محیط *SIM* استفاده و پس از کشت به مدت ۴۸ ساعت در جار میکروائروفیل گرمخانه‌گذاری و نتایج حرکت یا عدم حرکت باکتریها بررسی شد. مثبت بودن حرکت با تشکیل توده ابرمانند پس از تلقیح در محیط تأیید گردید. برای آزمایش انعقاد شیر در محیط milk *Skim* کشت انجام شد و پس از ۴۸ ساعت تحت شرایط میکروائروفیل گرمخانه‌گذاری انجام شد. به منظور تست تحمل فنل ۱ گرم فنل در ۱۰ میلی‌لیتر آب مقطر حل شده و از محلول حاصله ۴۰۰ میکرولیتر به لوله‌های حاوی *MRS* براث استریل افزوده شد تا فنل ۰/۴٪ تهیه شود. ۱۰۰ میکرولیتر باکتری به هر لوله افزوده شد و به مدت ۴۸ ساعت داخل انکوباتور 37°C و در جار میکروائروفیل قرار گرفت. سپس نتایج به صورت ایجاد کدورت برای تست مشت و عدم ایجاد کدورت لوله‌ها برای مورد منفی مشخص شدند. برای تست تحمل *NaCl* از رقت‌های ۱ تا ۱۰ درصد *NaCl* استفاده شد. ۱ میلی‌لیتر از باکتری به محیط *MRS broth* افزوده شد. سپس ۱۰۰ میکرولیتر از باکتری به محیط ها تلقیح کرده و لوله‌ها داخل جار بی‌هوایی و انکوباتور به 37°C به مدت ۴۸ ساعت قرار گرفتند. نتیجه تست با مشاهده ایجاد کدورت بررسی گردید. پس از بررسی اثر ضد میکروبی مستقیم به محلول رویی حاصل از سانتریفیوژ سولفات‌آمونیوم (۴۰ درصد $7/7$) اضافه شد و روی همزن برقی به مدت سه ساعت در مجاوریخ همزده شد و پس از آن به مدت یک شب در دمای ۴ درجه سلسیوس در یخچال نگهداری شد. روز بعد مایع داخل ارلن ها به مدت ۳۰ دقیقه در ۶۰۰۰ rpm سانتریفیوژ شد محلول رویی دور ریخته شد و

کرد (۹). اما در ایران در مطالعه‌های که توسط Mirdamadi همکاران در سال ۱۳۹۰ در تهران انجام گرفت. ۲ سویه از باکتری‌های لاكتیک از محصولات لبنی جدا کردند. آنها با استفاده از رسوبدهی با ایزوپروپانول و آمونیوم سولفات و سپس دیالیز و کروماتوگرافی باکریوسین را تخلیص نموده و بر روی ۸ سویه استاندارد باکتری گرم مثبت، گرم منفی و مخمرا اثر داده شدند. نتایج حاصل نشان داد سویه‌های جدا شده بومی قادر به تولید مواد باکریوسینی هستند که به میزان بیشتر علیه *Micrococcus Loteus* و به مقدار *Bacillus cereus* و *Staphylococcus epidermidis* کمتر بر روی *Listeria monocytogenes* موثر می‌باشد. در بین میکروارگانیسم‌های شاخص *Micrococcus Loteus* به عنوان *Candida albicans* به عنوان مقاوم‌ترین ارگانیسم شناخته شدند (۱۰). در تحقیقی دیگر که توسط الهه کبیلی و همکاران در سال ۱۳۸۵ در گرگان انجام گرفت اثر ضد باکتریایی ۹۶ سویه باکتری اسید لاكتیک جدا شده از ۳۶ نمونه ماست محلی بر علیه ۷ گونه مهم پاتوژن‌های گوارشی به خصوص *E.coli*, *Yersinia enterocolitica*, *Shigella dysenteriae* و *Salmonella typhimurium* با دو روش انتشار در آگار به کمک دیسک و روش چاهک با استفاده از محلول رویی تهیه شده از محیط کشت باکتریها بررسی گردید. قطر هاله عدم رشد در اطراف دیسک و چاهک اندازه‌گیری شد و به منظور کاهش خطای هر آزمون حداقل سه بار تکرار گردید و میانگین قطر هاله عدم رشد روی محیط مولرهیتون آگار اندازه‌گیری و ثبت شد. نتایج به دست آمده نشان داد که بیشترین اثر بازدارنگی مربوط به گونه‌های *L. lactis* و *L. casei* در روش چاهک بود و حداقل میانگین قطر هاله عدم رشد آنها ۱۸ میلی‌متر ارزیابی شد. بیشترین و کمترین اثر مهاری علیه باکتری‌های پاتوژن به ترتیب روی یرسینیا انتروکولیتیکا و باسیلوس سرئوس مشاهده شد (۱۱). با توجه به اهمیت تولید باکریوسین توسط اعضای جنس لاكتوباسیلوس و نقش مهم بالینی این ماده، این تحقیق با هدف تولید و بهینه سازی آن و همچنین بررسی اثر ضد میکروبی محصول تولید شده روی میکروارگانیسم‌های بیماری زا صورت پذیرفت.

روش کار

کشت از دو نوع ماست کم چرب پاستوریزه شرکت‌های کاله و سارا با انتقال مستقیم نمونه‌ها توسط فیلدوپلاتین بر روی محیط *MRS* آگار استریل با تکنیک کشت خطی انجام شد. بعد از کشت انکوباسیون در دمای ۳۷ درجه به مدت ۴۸ ساعت در شرایط *microaerophile* در جار‌های دی اکسیدکریں انجام گرفت. محیط *MRS agar* محیطی اختصاصی برای رشد و جداسازی باکتری‌های اسید لاكتیک است نیازهای پیچیده آنها را فراهم می‌سازد کشت داده شد این محیط دارای رنگ قهوه‌ای شفاف و

ضد میکروبی اولیه در پیش آزمایشات لاکتوپاسیلی که بهترین اثر ضد میکروبی را نشان داد بررسی اثمرهاری در آزمایشات بهینه سازی صرفا روی همین باکتری انجام شد.

یافته‌ها

پس از ۴۸ ساعت تشکیل کلنی‌ها حاکی از این بود که باکتری‌ها در محیط MRS رشد کرده‌اند. کلنی‌ها به رنگ سفید و گرد با سطحی صاف و به اندازه حدود ۲ تا ۳ میلی‌متر بودند. خصوصیات میکروسکوبی بر اساس رنگ‌آمیزی گرم نشان داد که باکتری به شرح ذیل است. گرم مثبت، میله‌ای شکل، آرایش نا مشخص، طول باکتری‌ها، بین ۵-۱۰ میکرومتر، غیراسپورزا. در مجموع ۵ سویه باکتریایی جدا شده و از سویه‌های جداسازی شده ۵ کلنی انتخاب گردید و جهت شناسایی آزمایشات ادامه یافت. برای باکتری‌های جدا شده از ماست‌ها، تست‌های شناسایی لاکتوپاسیل ها انجام گردید. جهت تست کاتالاز پس از اضافه کردن آب اکسیژن به کلنی برداشته شده از باکتری برای همه نمونه‌ها حباب گاز تشکیل شد و مشخص گردید که باکتری دارای آنزیم کاتالاز و کاتالاز مثبت است. برای تست حرکت پس از طی زمان انکوباسیون نتایج بررسی شد. در تمامی لوله‌ها در اطراف محل تلقیح با آنس، توده ابر مانند تشکیل شده بود و مثبت بودن حرکت هم بدین صورت اثبات گردید. برای تست انعقاد شیر پس از طی زمان انکوباسیون، لوله‌ها از نظر نتایج بررسی شدند. باکتری‌ها در انتهای لوله تشکیل لخته داده بودند و تست انعقاد شیر مثبت بود، و جهت تست تحمل فنل تمام لوله‌های کشت داده شده برای این منظور، پس از پایان زمان انکوباسیون بررسی شدند. هیچ کدام از لوله‌های حاوی فنل و نمونه، کدورت نداشتند و این تست برای همه باکتری‌ها منفی بود.

در تست NaCl در غلاظت ۱ تا ۱۰ درصد تحمل NaCl مبنای تشخیص بهترین رشد از نظر ظاهری کدورت لوله‌ها بوده است که نشان دهنده رشد باکتری می‌باشد. برای بررسی رشد در کشت مایع کدورت ایجاد شده در محیط MRS براث نشانه رشد باکتری‌ها بود. نتایج مربوط به تولید باکتریوسمین با اندازه گیری وزن رسوب (طبق پروتکل استاندارد) و نتایج مرتبط با مهار رشد با اندازه گیری هاله عدم رشد مشخص گردید. در فعالیت ضد میکروبی باکتریوسمین به روش ژل دیفیوژن مرحله میزان عدم رشد سویه‌های لاکتوپاسیل علیه سویه‌های بیماریزا بررسی گردید (جدول شماره ۱).

رسوبات با دقت جمع‌آوری گردید. به رسوب حاصله بافر فسفات سدیم ۵٪ مولار با $\text{PH}=6$ به حجم ۵۰ میکرولیتر اضافه گردید و رسوبات به خوبی حل شد. این ماده به عنوان باکتریوسمین خالص شده برای آزمایشات بعدی مورد استفاده قرار گرفت. جهت بررسی اثر ضد میکروبی باکتریوسمین به روش ژل دیفیوژن از باکتری‌های E.coli و Staphylococcus aureus استفاده شد. ابتدا از محیط کشت مایع، باکتری با کدورت استاندارد با سواب استریل در سطح محیط کشت نوترینت آگار کشت داده شد و سپس چاهک‌هایی به قطر ۵-۳ میلی‌متر در مرکز پلیت‌ها حفر گردید. برای جلوگیری از پخش شدن مواد در زیر پلیت، ته هر کدام از چاهک‌ها با یک قطعه آگار مسدود گردید. سپس از محلول رسوبات حل شده در بافر فسفات سدیم به اندازه ۵۰ میکرولیتر در داخل چاهک‌ها ریخته و به مدت ۲۴ ساعت در دمای ۳۷ درجه سلسیوس انکوبه کرده و سپس قطره‌هایی عدم رشد بررسی گردید (۱۳). برای بررسی فعالیت ضد میکروبی باکتریوسمین به روش دیسک دیفیوژن آگار در مرحله اول دیسک‌های بلاستک تهیه شده، استریل شدند سپس با پنس استریل داخل محلول باکتریوسمین (حل شده در بافر فسفات سدیم) قرار گرفتند تا کامل مرطوب شدند سپس این دیسک‌ها داخل یک پلیت خالی استریل گذاشته تا خشک شدند، سپس به طور جدأگانه در مرکز پلیت حاوی محیط نوترینت آگار کشت داده شده با باکتری‌های E.coli و Staphylococcus aureus قرار داده شد و به مدت ۲۴ ساعت در دمای ۳۷ درجه سلسیوس انکوبه شده و سپس قطره‌های عدم رشد بررسی گردید. به منظور بهینه سازی تولید باکتریوسمین از نرم افزار ۱۶ Minitab و روش طراحی آزمایش تاکوچی استفاده گردید. در این روش ۵ فاکتور فیزیکو‌سیمیایی شامل دمای انکوباسیون، PH، منابع ازت و کرین کمکی و میزان تلقیح در ۴ سطح طراحی گردیدند و اثر ضد میکروبی باکتریوسمین در سطوح منابع ازت، بررسی میزان تلقیح در تولید باکتریوسمین و میزان فعالیت ضد باکتری باکتریوسمین در PH های مختلف مورد بررسی قرار گرفت (جدول ۳-۳). لازم به ذکر است که اندازه گیری تولید باکتریوسمین در پیش آزمایشات پس از ۱۰ و ۲۴ و ۷۲ ساعت از شروع کشت انجام شد. پیش آزمایش نشان دهنده بیشترین تولید در ساعت دهم از شروع رشد میکرو ارگانیسم در محیط کشت مایع بود و به همین دلیل تمامی آنالیزها جهت بررسی میزان تولید در ساعت دهم از شروع کشت انجام شد و چون بیشترین قطره هاله عدم رشد در پیش آزمایشات متعلق به Ecoli بود آزمایشات بهینه سازی بر روی همین باکتری انجام شد. همچنین از بررسی اثر

جدول ۱: نتایج قطره‌های عدم رشد لاکتوپاسیلوس‌های جدا شده از ماست بر باکتری‌های بیماریزا

سویه لاکتوپاسیلوس جداسازی شده	قطره‌های عدم رشد استافیلکوک اورنوس (بر حسب میلی‌متر)	قطره‌های عدم رشد اشرشیاکوکلی (بر حسب میلی‌متر)
L1	۸	۱۰
L2	۴	۵

جدول ۲: آنالیز واریانس داده‌ها

منبع	DF	Seq SS	P-valu
منع کربن کمکی	۳	۰/۲۱۷۱۲۱	۰/۰۰۶
منع ازت کمکی	۳	۰/۱۲۲۴۱۴	۰/۰۰۷
تلقیح	۳	۰/۰۱۳۸۴۷	۰/۰۱۰
دما	۳	۰/۰۴۵۶۰۴	۰/۰۰۸۶
PH	۳	۰/۱۲۳۵۱۴	۰/۰۴۸

همانطور که مشاهده می‌شود دو فاکتور منع کربن کمکی و منع ازت کمکی اثر معناداری در تولید باکتریوسین نشان داد.

جدول ۳: نتایج آزمایشات ۱۶ گانه بهینه سازی تولید باکتریوسین توسط سویه لاكتوباسیلوس

شماره بستر	PH	دمای انکوباسیون (درجه سانتی گراد)	میزان تلقیح/(V/V)	نوع منع ازت کمکی	نوع منع کربن کمکی	قطر هاله عدم رشد(میلی متر)
۷	-	-	٪۵	-	-	۲۵
۹	-	پیتون	٪۱۰	-	-	۳۰
۱۰	-	عصاره مخمر	٪۱۵	-	-	۳۵
۸	-	سولفات آمونیوم	٪۲۰	-	-	۴۰
۹	گلوكز	-	٪۱۰	-	-	۳۵
۹	گلوكز	پیتون	٪۵	-	-	۴۰
۱۷	گلوكز	عصاره مخمر	٪۲۰	-	-	۲۵
۱۰	گلوكز	سولفات آمونیوم	٪۱۵	-	-	۳۰
۱۱	زایلوز	-	٪۱۵	-	-	۴۰
۹	زایلوز	پیتون	٪۲۰	-	-	۳۵
۱۲	زایلوز	عصاره مخمر	٪۵	-	-	۳۰
۶	زایلوز	سولفات آمونیوم	٪۱۰	-	-	۲۵
۸	گلاکتوز	-	٪۲۰	-	-	۳۰
۱۰	گلاکتوز	پیتون	٪۱۵	-	-	۲۵
۱۳	گلاکتوز	عصاره مخمر	٪۱۰	-	-	۴۰
۱۲	گلاکتوز	سولفات آمونیوم	٪۵	-	-	۳۵

آزمایش تاگوچی با مطالعه اثر پنج فاکتور در چهار سطح به ترتیب مشخص گردید که فاکتورهای منع کربن کمکی، منع ازت کمکی در تولید باکتریوسین اثر معنادار داشته و PH و میزان تلقیح و دمای انکوباسیون اثر معناداری در تولید نداشته است. تاگوچی یک روش در طراحی آزمایش است که مزایایی نسبت به روش‌های سنتی دارد. روش‌های سنتی بهینه‌سازی فرایندهایی زمان بر هستند و واکنش میان متغیرهای متقابل فیزیکو شیمیایی قابل بررسی نیست اما تاگوچی تاثیرات منع کربن و ازت کمکی، در صد تلقیح، درجه حرارت و PH را به صورت منفرد و متقابل بر تولید باکتریوسین توصیف می‌کند (۱۴). در میان بسترهای مورد آزمایش بستر ۷ بیشترین قطر هاله عدم رشد را بر باکتری E. coli نشان داد که ۱۷ میلی متر بود. این میزان قطر هاله عدم رشد در $\text{PH}=5$ و میزان تلقیح 20% و دمای 25°C سانتی گراد و منع کربن و ازت کمکی به ترتیب گلوكز و عصاره مخمر نشان داده شد. PH فاکتوری مهم برای رشد باکتری هاست انوع مختلف لاكتوباسیلهای قادرند PH بین ۱-۹ را تحمل کنند اما رشد مطلوب آنها معمولاً در PH بین ۲ تا ۵ انجام می‌شود (۱۵). گرچه تحلیل آماری نشان داد که بهترین PH اثر معناداری در تولید باکتریوسین ندارد اما بررسی اثر تک فاکتور نشان داد که بهترین PH برای تولید بیشترین میزان باکتریوسین $\text{PH}=5$ است. بر اساس نظر koning poolman و مصرف ترکیبات

در پیش آزمایشات بدون بهینه‌سازی بیشترین قطر هاله عدم رشد توسط سوش لاكتوباسیلوس L1 جدا شده از ماست سارا برای باکتری اشرشیاکلی اندازه ۱۰ میلی متر و برای استافیلوکوک قطر هاله ۸ میلی متر بود. نتایج در روش دیسک دیفیوژن آکار بعد از ۲۴ ساعت انکوباسیون مورد بررسی قرار گرفت هاله عدم رشد مشاهده نشد. همان‌طور که در جدول شماره ۳ مشاهده گردید بهترین شرایط برای تولید باکتریوسین در بستر شماره ۷ بوده است. لذا بهترین تولید در $\text{PH}=5$ و دمای 25°C و میزان تلقیح 20% (V/V) بوده و گلوكز و عصاره مخمر به ترتیب به عنوان بهترین منع کربن کمکی و منع ازت کمکی بوده است که در تولید ایفای نقش کرده اند. در این شرایط قطر هاله عدم رشد برای باکتری به ۱۷ میلی متر می‌رسد که در مقایسه با آزمایشات بدون بهینه‌سازی به طور قابل توجهی بالاتر است و نشان از افزایش تولید باکتریوسین دارد.

بحث

این تحقیق با هدف بررسی توانایی میکروگانیسمهای پروپیوتیک تولیدکننده باکتریوسین مورد استفاده در صنایع لبنی و عوامل تاثیرگذار بر تولید آنها انجام شده است. طی روش طراحی

مختلف کرین کمکی و تولید باکتریوین رابطه معنادار وجود دارد ($P<0.05$). و قند گلوكز بهترین منبع کربن کمکی در تولید باکتریوین است. محققان مختلف اثر منابع کربن کمکی را بر رشد لاکتوپاسیلوسها و تولید بیومس مورد بررسی قرار داده‌اند. منبع ازت از ضروریات رشد میکرووارگانیسمها به منظور ساخت پروتئینها و بازهای آلتی است. تحقیق حاضر نشان داد که میان نوع منبع ازت کمکی و تولید باکتریوین رابطه معنادار وجود دارد ($P<0.05$). بهترین منابع ازت کمکی در این تحقیق عصاره مخمیر بوده که استفاده از آن منجر به تولید بیشترین میزان باکتریوین گردید. در این شرایط قطر هاله عدم رشد باکتریوین تولیدی توسط سویه لاکتوپاسیلوس (L1) در برابر باکتری اشرشیاکلی ۱۷ میلی متر بود.

نتیجه‌گیری

در تحقیق انجام شده ابتدا باکتریوین توسط لاکتوپاسیلوس جدا شده از ماست تولید و سپس تولید باکتریوین با استفاده از روش طراحی آزمایش تاگوچی (Minitab16) (بهینه سازی گردید). و سپس اثر آن روی دو باکتری *E.coli* و *Staphylococcus aureus* با دو روش دیسک و ژل دیفیوژن بررسی گردید. نتایج اولیه نشان-دهنده اثر مهاری باکتریوین تولیدی بود. سپس با روش تاگوچی بهینه سازی گردید و بهترین شرایط تولید بستر شماره آزمایش ۷ از میان بسترهای ۱۶ گانه آزمایشی بود. این شرایط شامل $\text{PH}=5$ و میزان تلقیح 20% (V/V) و دمای 25°C سانتی‌گراد و منع کربن و ازت کمکی به ترتیب گلوكز و عصاره مخمیر بوده و قطر هاله آن برابر ۱۷ میلی‌متر حاصل گردید. مقایسه قطر هاله حاصل از باکتریوین تولید شده در دو محیط MRS برات و MRS برات بهینه شده نشان داد که تولید باکتریوین در محیط بهینه سازی تقریباً 70°C درصد دارای افزایش می‌باشد.

قدرتانی

بدین ترتیب نویسنده‌گان مراتب تشکر و قدردانی خود را از حوزه معاونت محترم پژوهشی دانشگاه آزاد اسلامی واحد رشت که در طول انجام پایان‌نامه کارشناسی ارشد همکاریهای لازم را مبذول داشتند ابراز می‌دارند. این مقاله برگفته از پایان‌نامه کارشناسی ارشد نویسنده رابط با کد شناسایی ۶۱۳۳۰۵۰۷۹۴۱۰۱۴ دانشگاه آزاد واحد رشت می‌باشد. ملاحظات اخلاقی شامل مقاله فوق نمی‌باشد.

این مقاله منابع مالی ندارد.

منافع متقابل: نویسنده‌گان این مقاله اظهار می‌دارند که منافع متقابلی از تأثیر یا انتشار این مقاله ندارند.

مشارکت مولفان: ف. خ و م. الف طراحی، اجرا و تحلیل نتایج مطالعه را بر عهده داشته و مقاله را تالیف نموده و نسخه نهایی آن را خوانده و تایید کرده‌اند.

پیتیدی در آب پنیر (که یکی از شاخص‌های رشد محسوب می‌شود) به PH بستگی دارد. PH بهینه برای گونه *Lactis* تعیین شده است. بدان گونه که در مقادیر بالاتر یا پائین تر از این مقدار رشد بطور قابل ملاحظه‌ای کاهش می‌یابد (۱۶). باتوجه به این که تولید باکتریوین‌ها از ساعت ابتدایی فاز لگاریتمی آغاز می‌شود و تا قبل از رسیدن به نقطه اوج آن پایان می‌یابد (حداکثر تا ۱۰ ساعت از شروع کشت) PH تاثیرگذار بر رشد اثر مستقیم بر تولید باکتریوین‌ها خواهد داشت. مژگانی و همکاران در تحقیق خود در خصوص بررسی ویژگیهای باکتریوین لاکتوپاسیلوس اسیدو فیلوس در یافتن که گرچه این باکتریوین در PH های بین $3\text{--}11$ فعال بوده اما بهترین فعالیت ضد میکروبی خود را در PH بین 5 تا 6 نشان داد (۱۷). بنابراین به نظر می‌رسد که هم بهینه PH تولید و هم بهینه فعالیت باکتریوین در این محدوده است. علاوه بر موارد ذکر شده به نظر میرسد PH های پایین تر از 5 و بالاتر از 7 باعث تغییر در ساختار پروتئینها بویژه باکتریوین‌ها می‌گردند (۱۸). در این تحقیق گرچه میزان تلقیح اثر معنی‌داری بر تولید باکتریوین نشان نداد اما بررسی اثر تک فاکتورها نشان داد در میان در صدای تلقیح مورد آزمایش بیشترین میزان هاله عدم رشد در 20% (V/V) تلقیح مشاهده گردید. درجه حرارت از سایر فاکتورهای تاثیرگذار بر تولید باکتریوین مورد بررسی در این تحقیق بود. آنالیز آماری نشان داد که بین درجه حرارت در میزان تولید باکتریوین (قطر هاله عدم رشد) رابطه معنادار وجود ندارد ($P>0.05$). ولی مطالعه اثر تک فاکتورها توسط نرم افزار نشان داد در درجه حرارت 40°C درجه سانتی گراد بیشترین میزان قطر هاله عدم رشد حاصل می‌گردد. تحقیقات مختلف نشان داده است که بهینه رشد برای انواع پروپیوتیک‌های لبنی و غیر لبنی در محدوده $30\text{--}35^\circ\text{C}$ است و در درجه حرارت‌های بالاتر از آن بقای Ana Lúcia و همکاران در رابطه با تولید نوشابه آب سبب پروپیوتیک توسط لاکتوپاسیلوس کازئی که در محدوده دمایی 10°C تا 41°C انجام شد، بهترین نتیجه (از نظر بیومس تولیدی و بقای آن) در حرارت 30°C حاصل گردید. در ارتباط متقابل PH و درجه حرارت آنها دریافتند که در مقادیر مختلف PH بهترین درجه حرارت رشد در محدوده $30\text{--}35^\circ\text{C}$ می‌باشد (۱۹). بدینهی است درجه حرارت‌های بسیار پایین از طریق تاثیرگذاری بر تبادلات مولکولی و کند کردن انتقال مواد غذایی باعث کندی رشد باکتریها می‌گردد. در مورد پروپیوتیک‌ها نگهداری طولانی مدت در دماهای سردخانه (4°C) بتدریج ماندگاری آنها را کاهش می‌دهد و لذا زمان نگهداری همواره محدود است. از سویی دیگر درجه حرارت‌های بالا از طریق تقلیب یا ایجاد دگرگونی در ساختار پروتئینها به رشد میکرو ارگانیسم‌ها آسیب وارد می‌سازد. در خصوص بهینه سازی تولید با استفاده از منابع کربن آنالیز آماری نشان داد که بین انواع منابع

References

1. Fuller R. Probiotics in man and animals. A FRC Institute of Food Research, Reading Laboratory Shinjeld, Reading RG2 9AT. *Journal of Applied Bacteriology* 1989; **66**: 365-378.
2. CarmenCollado M, Meriluoto J, Salminen S. In vitro analysis of probiotic strain combinations to inhibit pathogen adhesion to human intestinal mucus. *Food Research International* 2007; **40**(5): 629-636. doi: 10.1016/j.foodres.2006.11.007
3. Daly C, Davis R. The biotechnology of lactic acid bacteria with emphasis on applications in food safety and human health. *Agric Food Sci* 1998; **7**(2): 251-265. doi: 10.23986/afsci.72862
4. Salminen J S, Ouwehand A, Isolauri E. Clinical applications of probiotic bacteria. *International Dairy Journal* 1998; **8**(5-6): 563-572. doi: 10.1016/S0958-6946(98)00077-6
5. Bierbaum G, Sahl H-G. Lantibiotics: Mode of Action· Biosynthesis and Bioengineering. *Current Pharmaceutical Biotechnology* 2009; **10**(1): Page: [2-18] Pages: 17. doi: 10.2174/138920109787048616
6. Gorbach S L. Lactic acid bacteria and human health. *Ann Med* 1990; **22**(1): 37-41. doi: 10.3109/07853899009147239
7. Malmsten M. Antimicrobial Peptides. *Ups J Med Sci* 2014; **119**(2): 199-204. doi: 10.3109/03009734.2014.899278
8. Mengfei Peng. *Recent International Journal of Food Microbiology Articles. Microbiological Research* 2014; **170**: 35-36. doi: 10.1016/j.micres.2014.09.004
9. Weerapong Woraprayote, Laphaslada P, Amonlaya T. *Kyushu* 2015; **12**: 176-184. doi: 10.1016/j.foodcont.2015.02.036
10. Mirdamadi S, Tangestani M. Screening and characterization of bacteriocins produced by some Strains of Lactobacillus spp isolated from Iranian Dairy products. *Internet Journal of Nanotechnology* 2011; **3**: 55-69. doi:10. 5580/28a1
11. Kiaee A, Mozaffar A. Antagonistic effect of *lactic bacteria* present in yoghurt against pathogenic bacteria. *Journal of Gorgan University of Medical Sciences* 2006; **1**: 28-33. doi: 10.18869/acadpub.mlj.9.5.4
12. Hoque M Z, Akter F, Hossain K M. Isolation, Identification and Analysis of Probiotic Properties of Lactobacillus Spp. *Selective Regional Yoghurts* 2015. doi: 10.3923/pjn.2015.67.74
13. Kumar A, Rajput G, Dhatwalia V K, Srivastav G. Phytocontent screening of Mucuna seeds and exploit in opposition to pathogenic microbes. *Journal of Biological and Environmental Sciences* 2015; **3**(9). doi: 10.3844/ojbsci.2015.111.112
14. Mukherjee A K, Rai S K. A statistical approach for the enhanced production of alkaline protease showing fibrinolytic activity from a newly isolated Gram-negative *Bacillus* sp. strain AS-S20-I. *New Biotechnology* 2011; **28**: 182-189. doi: 10.1016/j.nbt.2010.11.003
15. Chowdhury A, Nur J, Fakruddin M, Billah M, Morshed Ahmed M. Screening of Lactobacillus spp. from buffalo Yoghurt for Probiotic and Antibacterial activity. *J bacterial Parasitol* 2012; **3**: 8. doi: 10.4172/2155-9597.1000156
16. Konings WN1, Kok J, Kuipers O P, Poolman B. Lactic acid bacteria: the bugs of the new millennium. *Curr Opin Microbiol* 2000; **3**(3): 276-282. doi: 10.1016/S1369-5274(00)00089-8
17. Mojgani N, Kahaniyan E, Amelli M. Detection and characterization of bacitracin RN78 produced by lactobacillus acidoPHilus strain isolated from a cheese sample. *Pajouhesh-Va-Sazandegi* 2005; **71**.
18. Astaneie F, Afshari M, Mojtabaei A. Total antioxidant capacity and levels of epidermal growth factor and nitric oxide in blood and saliva of insulin-dependent diabetic patients. *Jour. Arch Med Res* 2005; **36**(4): 376-381. doi: 10.1016/j.arcmed.2005.03.007
19. Ana Lúcia F P, Tatiane C M, Sueli R. Probiotic beverage from cashew apple juice fermented with *Lactobacillus casei*. *In AGRIS since 2014*; **44**(5): 1276-1283. doi: 10.1016/j.foodres.2010.11.035

Protective effect of zinc on the Alkaline Phosphatase Activity in rats exposed to Arsenic

Ziba Rezvanie Sichanie^{ID}, Seyed Ali Asghar Moshtaghie^{*}^{ID}

Department of Biochemistry, School of Basic Science, Falavarjan Branch, Islamic Azad University, Isfahan, Iran

*Corresponding author; E-mail: moshtaghie@pharm.mui.ac.ir

Received: 22 May 2017 Accepted: 18 September 2017 First Published online: 4 July 2019
Med J Tabriz Uni Med Sciences Health Services. 2019 August- September; 41(3):61-67

Abstract

Background: Considering the importance of the alkaline phosphatase enzyme for growth of liver cells and the presence of zinc in this regard the purpose of this project was to evaluate the Protective effect of zinc on the Alkaline Phosphatase Activity in rats exposed to Arsenic.

Methods: In this experimental study, a total of 48 male Wistar rats were randomly allocated into 8 sub-groups and were categorized as two short and long term evaluation: in a short-term period: group 1 control, group 2 received 40 mg/l As sodium, group 3 received 40 mg/l As sodium and zinc simultaneously and group 4 received 40 mg/l Zn. in a long-term period groups group 1 control, group 2 received 20 mg/l As sodium, group 3 received 20 mg/l As sodium and zinc simultaneously and group 4 received 20 mg/l Zn with oral administration. Blood samples were taken over a 30-day and 60-day period and serum enzyme alkaline phosphatase was measured.

Results: Administration of 2 different doses of as sodium decreased the activity of alkaline phosphatase compared to the control group. Moreover, the simultaneous use as sodium with zinc increased the activity of alkaline phosphatase ($P<0/05$).

Conclusion: The arsenate sodium reduced the activity of alkaline phosphatase, and zinc can be able to reduce the toxic effects of arsenate sodium.

Keyword: Arsenic sodium, Alkaline phosphatase, Zinc, Liver.

How to cite this article: Rezvanie Sichanie Z, Moshtaghie S.A.A. [Protective effect of zinc on the Alkaline Phosphatase Activity in rats exposed to Arsenic]. Med J Tabriz Uni Med Sciences Health Services. 2019 August- September; 41(3):61-67. Persian.

مقاله پژوهشی

اثر محافظتی عنصر روی بر فعالیت آنزیم الکالین فسفاتاز در موش های صحرایی مسموم شده با آرسنات سدیم

زیبا رضوانی سیچانی^{ID}, سید علی اصغر مشتاقی*

گروه بیوشیمی، دانشگاه علوم پایه، دانشگاه آزاد اسلامی واحد فلاورجان، اصفهان، ایران
*تویسندۀ مسؤول؛ ایمیل: moshtaghie@pharm.mui.ac.ir

دریافت: ۱۳۹۶/۳/۱ پذیرش: ۱۳۹۶/۶/۲۷ انتشار برخط: ۱۳۹۸/۴/۱۳
مجله پژوهشی دانشگاه علوم پزشکی و خدمات بهداشتی - درمانی تبریز. مرداد و شهریور ۱۳۹۸؛ ۴۱(۳): ۶۱-۶۷

چکیده

زمینه: با توجه به اهمیت آنزیم الکالین فسفاتاز جهت رشد سلول های کبدی و با توجه به وجود عنصر روی در ساختمان این آنزیم و با وجود خاصیت آنتاگونیستی و تاثیر احتمالی آرسنیک بر این فرآیند، هدف اجرای این پژوهه منظور گردیده است.

روش کار: تعداد ۴۸ سرموش صحرایی نر از نژاد ویستاردر ۸ گروه آزمایشی تقسیم بندی شدند. گروه های تقسیم شده به ترتیب در دوره‌ی کوتاه مدت شامل گروه های کترل، آرسنات سدیم به مقدار ۱/۰ mg، روی به میزان ۱/۰ mg و ۰/۰ mg، آرسنات سدیم و روی را به صورت همزمان دریافت کردند و در دوره‌ی بلند مدت شامل گروه کترل، آرسنات سدیم به مقدار ۱/۰ mg، روی به میزان ۱/۰ mg و ۰/۰ mg آرسنات سدیم و روی به صورت تجویز خوراکی دریافت کردند. و خون گیری بعد از اتمام یک دوره‌ی ۳۰ و ۶۰ روزه انجام شد و سطح سرمی آنزیم الکالین فسفاتاز مربوط به عملکرد کبد اندازه گیری شد.

یافته ها: بررسی نتایج نشان می دهد که دوز های مختلف آرسنات سدیم باعث کاهش فعالیت آنزیم الکالین فسفاتاز نسبت به گروه کترل می شود. همچنین استفاده همزمان آرسنات سدیم - روی باعث افزایش فعالیت این آنزیم می شود.
 $P < 0/05$.

نتیجه گیری: در مجموع می توان گفت در حالی که آرسنات سدیم منجر به کاهش فعالیت آنزیم الکالین فسفاتاز در کبد می شود، روی می تواند اثرات سمعی این عنصر را خنثی کنند.

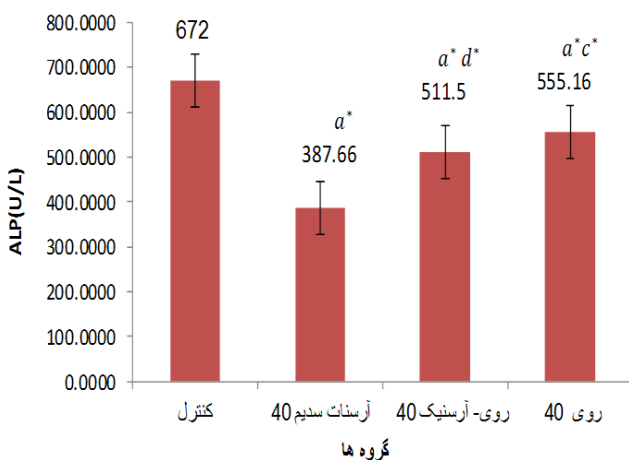
کلید واژه ها: آرسنات سدیم، روی، الکالین فسفاتاز، کبد

نحوه استناد به این مقاله: رضوانی سیچانی ز، مشتاقی س ع. اثر محافظتی عنصر روی بر فعالیت آنزیم الکالین فسفاتاز در موش های صحرایی مسموم شده با آرسنات سدیم. مجله پژوهشی دانشگاه علوم پزشکی و خدمات بهداشتی - درمانی تبریز. ۱۳۹۸؛ ۴۱(۳): ۶۱-۶۷

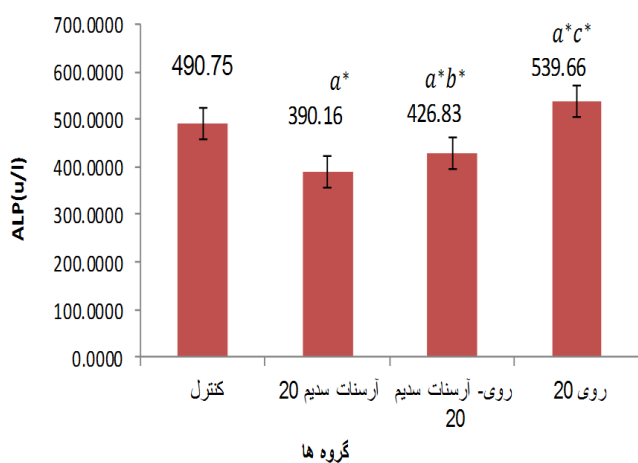
مقدمه

مواد لازم از کارخانه اکراس (Acros Organics) ساخت کشور آمریکا تهیه گردیدند و همگی از نوع خالص آزمایشگاهی بودند. کیت آزمایشگاهی جهت اندازه گیری آنزیم آکالین فسفاتاز از شرکت پارس آزمون تهیه شد. در این پژوهه از ۴۸ سر موش های صحرایی نر بالغ با نام علمی Ratus Norvegicus از نژاد ویستار با میانگین وزنی 50 ± 20 گرم و $110-90$ روز سن استفاده شد. این حیوانات از مرکز آزمایشگاهی موسسه رازی کرج خریداری شدند و پس از انتقال به لانه حیوانات دانشگاه فلاورجان، به منظور جلوگیری از مبتلا شدن حیوانات به عفونت، قبل از انتقال به قفس های مربوطه، کلیه قفس ها پس از شستشو با محلول ۵ درصد فنول ضد عفونی گردیدند. موش ها در اتفاقی با درجه حرارت 37 درجه سانتی گراد و در شرایط 12 ساعت روشنایی و 12 ساعت تاریکی نگهداری شدند. رت ها از غذای فشرده شده ساخت کارخانه بهپرور و آب تصفیه شده لوله کشی شهر تغذیه گردیدند. برای آزمایشات In vivo در دوره کوتاه مدت، حیوانات به ۴ گروه 6 تایی تقسیم شدند. یک گروه کترول که روزانه تحت شرایط استاندارد از قبیل آب و غذا قرار گرفتند و گروه دوم 40 میلی گرم آرسنات سدیم و گروه سوم به صورت همزمان 40 میلی گرم آرسنات سدیم و 40 میلی گرم کلرید روی و گروه چهارم 40 میلی گرم کلرید روی را به مدت 30 روز به صورت خوراکی در 350 سی سی آب مقطر حل گردیده، دریافت کردند. در دوره بلندر مدت، حیوانات به ۴ گروه 6 تایی تقسیم شدند. یک گروه کترول که روزانه تحت شرایط استاندارد از قبیل آب و غذا قرار گرفتند و گروه دوم 20 میلی گرم بر لیتر آرسنات سدیم و یک گروه دیگر به صورت همزمان 20 میلی گرم کلرید روی و 20 میلی گرم کلرید روی و یک گروه دیگر 20 میلی گرم کلرید روی را به مدت 60 روز به صورت خوراکی در 350 سی سی آب مقطر حل گردیده، دریافت کردند. در عمل خون گیری، ابتدا رت ها با استفاده از تزریق مخلوطی کتابمین $70/0$ درصد و زایلazین $0/05$ درصد بیهوش شده و بلا فاصله عمل خونگیری مستقیم از قلب با استفاده از سرنگ 10 سی سی انجام گرفت. بعد از مدتی نمونه ها با سرعت $r.p.m 3000$ به مدت 10 دقیقه ساتریفرز و جدا سازی شد. غلظت آکالن فسفاتاز موجود در سرم با استفاده از کیت آنزیمی تعیین گردید. این کیت ساخت کارخانه ای پارس آزمون است روش DGKC (استاندارد انجمان بیوشیمی آلمان) و اساس آزمایش متکی بر اندازه گیری فسفات حاصل توسط آنزیم آکالن فسفاتاز است. آنزیم آکالن فسفاتاز، p-نیترو فنیل فسفات موجود در سرم را به فسفات و نیتروفنل تجزیه می کند. در اینجا اصول اندازه گیری آکالن فسفاتاز مختصرا

به طور عمده بسیاری از مشکلات بهداشتی کشور های رو به پیشرفت به علت نبودن آب آشامیدنی سالم است. اخیراً آلودگی های ناشی از فلزها به عنوان یک مسئله جدی و شاید خطرناک ترین عامل آلودگی محیطی شناخته شده است. پایداری فلزهای سنگین در محیط، مشکلات ویژه ای را ایجاد می کند (۱). آرسنیک عنصری سمی و یکی از خطرناک ترین آلوده کننده های محیطی است (۲). آرسنیک غیرآلی و ناشی از منابع خاکی در آب های زیر زمینی وجود دارد (۳). مسیرهای جذب آرسنیک در بدن به طور عمده مسیرهای تنفسی، گوارشی و پوست می باشد (۴). قسمت اعظم دفع آرسنیک از طریق کلیه ها صورت می گیرد و به میزان جزئی نیز از طریق مدفع و عروق دفع می شود (۵). آرسنیک بر اندامها و بافت های مختلف بدن مانند بافت عصبی، کلیوی، قلبی-عروقی، کبدی، تولید مثلی، پوست و غیره اثرات زیانباری را بر جای می گذارد (۶ و ۷). بر اساس مطالعات گذشته نشان داده شده است که مواجهه با آرسنات سدیم سبب بزرگ شدن کبد و افزایش غلظت آنزیم های کبدی از جمله آکالن فسفاتاز (ALP) می شود (۸). همچنین در معرض قرار گرفتن حیوانات در آب حاوی آرسنات سدیم، سبب می شود که سلول های کبدی از نظر بافتی دچار نکروز شود و فضاهای سینوسی کبدی گسترش یابد (۹ و ۱۰). روی عنصر ضروری بعد از آهن شناخته شده است. روی یک عنصر کمیاب ضروری است که برای ساختار آنزیم های مختلف و عملکرد آن ها لازم است. اهمیت بیولوژیک روی در ارتباط با شرکت این عنصر در ساختمان متال آنزیم ها است و تا کنون حدود 70 آنزیم شناخته شده اند که در ساختمان آن ها روی به کار رفته است (۱۱). محققین نشان دادند که در هر دو بیماری حاد و مزمن کبدی، کاهش غلظت روی نقش دارد (۱۲). روی دارای یک پتانسیل آنتی اکسیدانی برای غشا های زیستی است و اثرات محافظتی این عنصر می تواند باعث کاهش تجمع کلائز در کبد شود و اعمال نقش فیزیولوژیکی حیاتی را در عملکرد سلولی کبد تنظیم کند (۱۳). همچنین محققان گزارش دادند که روی یک اثر محافظتی در برابر فیروز کبدی دارد (۱۴). همچنین مطالعات گذشته نشان داد که در حقیقت روی یکی از آنتاگونیست هایی است که سبب کاهش فعالیت فلزات سنگین می شود (۱۴). همچنین مصرف آرسنات سدیم روی به صورت هم زمان سبب تغییر اثرات سمی آرسنات سدیم بر غلظت و اثر محافظتی روی بر سمت کبدی ناشی از آرسنات سدیم شده است (۱۵). هدف مطالعه حاضر بررسی نقش محافظتی روی در جلوگیری از سمت آرسنات سدیم بر آنزیم آکالن فسفاتاز در کبد رت های نر نژاد ویستار می باشد و چون این آنزیم در ارتباط با عنصر روی است و روی جزء لاینک این آنزیم می باشد، علت انتخاب این آنزیم در این پژوهه می باشد.



نمودار ۱: اثرات خوراکی آرسنیت سدیم (۴۰ میلی گرم بر لیتر) و یا کلرید روی (۴۰ میلی گرم بر لیتر) به مدت ۳۰ روز بر غلظت آنزیم آلکالین فسفاتاز مربوط به عملکرد کبد نشان داده شده اند. (One way ANOVA, LSD) (برای ۱۷ نمونه) ارقام به صورت Mean \pm SE اشاره دارد. a: تفاوت معنی دار نسبت به گروه کنترل. b: تفاوت معنی دار نسبت به گروه روی- آرسنیت سدیم. c: تفاوت معنی دار نسبت به گروه روی. d: تفاوت معنی دار نسبت به گروه روی- آرسنیت سدیم. (P<0.05).



نمودار ۲: اثرات خوراکی آرسنیت سدیم (۲۰ میلی گرم بر لیتر) و یا کلرید روی (۲۰ میلی گرم بر لیتر) به مدت ۶۰ روز بر غلظت آنزیم آلکالین فسفاتاز مربوط به عملکرد کبد نشان داده شده اند. (One way ANOVA, LSD) (برای ۱۷ نمونه) ارقام به صورت Mean \pm SE اشاره دارد. a: تفاوت معنی دار نسبت به گروه کنترل. b: (P<0.05). c: تفاوت معنی دار نسبت به گروه روی- آرسنیت سدیم. (P<0.05).

بحث

در حال حاضر به خوبی مشخص شده است که آرسنیک سبب اختلالات وسیعی در فعالیت های بدن می شود (۹-۱۲). داده های حاصل از تحقیقات قبلی دانشمندان نشان داده است که این عنصر در فعالیت های کبد موش های آزمایشگاهی تاثیر گذار بوده است (۱۸,۶,۸) و آسیب های جدی به عملکرد کبد وارد می آورد (۱۹ و ۲۰). داده های ارائه شده در این مقاله نشان می دهند که اختلالات کبدی در موش هایی که در معرض دوزهای مختلف آرسنیک قرار گرفته اند، ممکن است رخ دهد. مطالعات اخیر نشان داده است که قرار گرفتن در معرض آرسنیک، اغلب از طریق آب

بیان می شود. آزمایشات بیوشیمیایی توسط دستگاه اتوآنالیزره مدل هیتاچی ۹۰۲ انجام شد. تجزیه و تحلیل داده ها توسط نرم افزار SPSS صورت گرفت. برای بررسی تفاوت معنی دار (P<0.05) میانگین ها در بین گروه ها به لحاظ آماری از آنالیز واریانس یک طرفه (one wayANOVA) استفاده گردید و برای بررسی تفاوت های معنی دار هر یک از میانگین ها نسبت به هم از آزمون تعقیبی (significant difference LSD, least) استفاده شد. برای تهیه هیستوگرام ها از نرم افزار Excel استفاده گردید.

جدول ۱: روش اندازه گیری آلکالین فسفاتاز

نک محلوله	نمونه با استاندارد	بلانک
-	-	۲۰ میکرولیتر
محلول محلوط شده	۱۰۰۰ میکرولیتر	۱۰۰۰ میکرولیتر
پس از محلوط نمودن، مقدار جذب نوری را بعد از ۱ دقیقه قرائت نموده، کرونومتر را به کار آنداخته و دقیقاً پس از ۱,۲ و ۳ دقیقه جذب نوری را در طول موج ۴۰۵ نانومتر مجدد خوانده می شود و سپس اختلاف جذب نوری را از دقیقه قبل تعیین می نماییم		

یافته ها

پس از انجام آنالیز های مربوطه، میزان تغییرات غلظت آلکالین فسفاتاز در دوره ای کوتاه مدت و بلند مدت، نسبت به گروه شاهد و گروه های دریافت کننده ای آرسنیت سدیم توام با کلرید روی مورد بررسی و تجزیه و تحلیل قرار گرفت. همان طور که از نمودار ۱ برمی آید در دوره ای کوتاه مدت، در دوز ۴۰ میلی گرم بر لیتر آرسنیت سدیم سبب کاهش میزان آلکالین فسفاتاز در سرم خون موش ها نسبت به گروه کنترل شده است. که این کاهش از نظر آماری معنی دار است. کلرید روی در مقایسه با گروه کنترل سبب کاهش ۱۶ درصدی میزان فعالیت آنزیم آلکالین فسفاتاز شده است که از لحاظ آماری معنی دار بوده است (P<0.05). همین طور تاثیر اثرات محافظتی روی بر مسمومیت آرسنیت سدیم بر آنزیم آلکالین فسفاتاز و تاثیر توام روی و آرسنیت سدیم بر پارامتر مذکور مورد مطالعه قرار گرفت که نتایج نشان می دهد که تجویز خوراکی روی توام با آرسنیت سدیم در دوز ۴۰ میلی گرم بر لیتر در دوره ای ۳۰ روزه سبب کاهش ۲۳ درصدی غلظت آلکالین فسفاتاز نسبت به گروه کنترل شده است (نمودار ۱) (P<0.05). همان طور که از نمودار ۲ برمی آید در دوره ای بلند مدت، دوز ۲۰ میلی گرم بر لیتر آرسنیت سدیم سبب کاهش میزان آلکالین فسفاتاز در سرم خون موش ها نسبت به گروه کنترل شده است. که این کاهش از لحاظ آماری معنی دار است. کلرید روی در مقایسه با گروه کنترل در دوره ای بلند مدت سبب افزایش ۱۵ درصدی میزان آلکالین فسفاتاز سرم شده است. تجویز خوراکی روی توام با آرسنیت سدیم در دوز ۲۰ میلی گرم بر لیتر در دوره ای ۶۰ روزه سبب کاهش ۲۳ درصدی غلظت آلکالین فسفاتاز سرم نسبت به گروه کنترل شده است (نمودار ۲).

یکپارچگی اندامک های سلولی مانند شبکه آندوبلاسمی و سیستم حمل و نقل غشایی و فرآیندهای غشایی ایجاد شده و سبب کاهش فعالیت های گلوتاتیون پراکسید از، گلوتاتیون ردوکتاز و کاتالاز در کبد (به عنوان نتیجه در معرض قرار گرفتن آرسنات سدیم) گردد (۱۹ و ۲۰). روی همچنین نقش مهمی در سم زدایی فلزات و ایجاد ثبات در غشاء و فرآیندهای غشایی بازی می کند (۲۱ و ۳۲). در این مطالعه تجویز خوراکی روی - آرسنات سدیم و روی منجر به افزایش میزان فعالیت آنزیم کاهش یافته شده است که احتمالاً نشان می دهد که روی اثر محافظتی خود را بر روی آرسنات سدیم گذاشته و مانع از تخریب بافت کبد توسط آرسنات سدیم شده است. مطابق با نتایج ما، کومار و همکاران نشان دادند که تجویز خوراکی همزمان آرسنیک با دوز ۲۲۷ میلی گرم بر لیتر و روی با دوز ۲۲۷ میلی گرم بر لیتر به مدت ۳ ماه به رت ها، سبب تعدیل اثرات سمی آرسنات سدیم بر غلظت سرمی آنزیم آکالین فسفاتاز و نقش محافظتی روی بر سمیت آن ناشی از آرسنات سدیم شده است (۱۵). همچنین مطابق با نتایج این پژوهه روی به عنوان یک آنتی اکسیدان توانایی مقابله با این مکانیسم را داشته و سبب بهبود فعالیت آنزیم آکالین فسفاتاز می گردد (۱۳).

نتیجه گیری

آرسنات سدیم یک آلاینده زیست محیطی است که سمیت آن به طور وسیعی مورد مطالعه و بررسی قرار گرفته است. همچنین بر اساس مطالعه‌ی کنونی، در مجموع می توان گفت که آرسنات سدیم، بالاخص در دوز های بالا، دارای اثر سمی بوده و باعث تغییر در سطح سرمی آنزیم آکالین فسفاتاز مربوط به کبد می گردد. اما این اثر سمی آرسنیک با تجویز خوراکی روی کاهش می یابد.

قدرتمندی

لازم است از آزمایشگاه تحقیقاتی دانشگاه آزاد اسلامی واحد فلاورجان و همچنین از افرادی که در این مطالعه مساعدت و همکاری به عمل آوردهند، قدردانی نمائیم.

References

- Hughes M F, Beck B D, Chen Y, Lewis A S, Thomas D J. Arsenic exposure and toxicology. *Toxicological Sciences* 2011; **123**(2): 305-332. doi: 10.1093/toxsci/kfr184.
 - Manzano R, Penalosa J, Esteban E. Arsenic Accumulation and Tolerance of *Cytisus scoparius* Under Controlled Conditions. *Springer Science* 2013; **10**: 1363-1366. doi: 10.1007/s11270-012-1363-6.
 - Kahle A. Drinking water Arsenic. *Environmental Engineering Specialist* 2014; **9**: 2004-2006. doi: 10.1016/j.envres.2005.03.009.
 - Mohamed S, Elshal M, Kumosani T, Ahmed Y, Almulaiq Y, et al. Heavy metal accumulation with molecular and pathological perturbations in liver of Variola louti from the Jeddah Coast of Red Sea. *Environmental Research and public health* 2016; **13**: 1-11. doi: 10.3390/ijerph13030342.
- آشامیدنی آلوده سبب ایجاد بسیاری از بیماری ها می شود (۲۱). آرسنات سدیم به عنوان یک عنصر سرمی در محیط زیست یافت می شود. انسان ها و حیوانات در معرض این فلز قرار می گیرند و مواجهه با آن باعث وارد شدن آسیب به کبد می شود. همچنین گزارش شده است که با افزایش سطح دوز آرسنات سدیم، آسیب های وارد به کبد بیشتر می شود (۲۲). نایر و همکاران نیز طی بررسی هیستوپاتولوژیک کبد متعاقب تجویز آرسنات سدیم در موش صحرایی نشان دادند که این عنصر باعث به هم ریختگی ساختار سلول های کبدی، نکروز کانوئی سلول ها به همراه پیکنوزه شدن هسته و نیز نفوذ لکوسیت ها می گردد (۲۳). همچنین نشان داده شده است که مواجهه با آرسنات سدیم باعث افزایش میزان فعالیت آنزیم آکالین فسفاتاز سرم می شود (۲۴). افزایش فعالیت این آنزیم در دوزهای مختلف آرسنات سدیم ممکن است به این دلیل باشد که آرسنات سدیم باعث افزایش فعالیت ستتر آن شده که نشان دهنده نشت سلولی و از دست دادن غشاء سلولهای کبدی است (۲۸-۲۴). ولی در این تحقیق آرسنات سدیم سبب کاهش فعالیت این آنزیم شده است. به گفته‌ی محققان، فعالیت سرمی آکالین فسفاتاز متناسب با بافت است (۳۰). در نتیجه می توان گفت در این مقاله آرسنات سدیم با آسیب رساندن به بافت کبدی سبب کاهش فعالیت این آنزیم شده است. همچنین محققان گزارش دادند که افزایش آکالین فسفاتاز به عنوان یک نتیجه از تغییرات متابولیک در کبد می باشد که پس از تجویز سم، هپاتیت، و سرطان کبد گزارش شده است (۲۹). ولی هومتوسو و همکاران نشان دادند که مواجهه با آرسنات سدیم باعث کاهش فعالیت آنزیم آکالین فسفاتاز در کبد ماهی شده است که این کاهش در غلظت های پایین تر آرسنیک معنی دار نبوده است (۱۸). و این نتایج مشابه نتایج ما در این پژوهه بوده است. به گفته‌ی محققین تنوع فعالیت های آنزیمی اعم از کاهش و افزایش در فلزات سنگین، به دلیل افزایش نفوذ پذیری سلول و همچنین اثر مستقیم آرسنیک بر بافت است، بنابراین، افزایش یا کاهش قابل توجهی از آنزیم ها را می توان به افزایش سطح آرسنیک به بافت نسبت داد (۲۰). در نتیجه، در این تحقیق آرسنات سدیم می تواند سبب مهار آنزیم آکالین فسفاتاز شود و فعالیت آن را کاهش دهد. همچنین، کاهش فعالیت آن سبب اختلال در ساختار و

5. Wu M M, Chiou H Y, Wang T W, Hsueh Y M, Wang I H, Chen C J, et al. Association of blood arsenic levels with increased reactive oxidants and decreased antioxidant capacity in a human population of northeastern Taiwan. *Environmental Health Perspectives* 2001; **109**(10): 10-11.
6. Hughes M F. Arsenic toxicity and potential mechanisms of action. *Toxicology letters* 2002; **133**(1): 1-16. doi: 10.1016/S0378-4274(02)00084-X
7. RAO K J, Devaraju K, SuJJatha S. Impact of sodium arsenite on selected enzymes and histopathological studies in albino mice. *J of pharmacy and biological science* 2010; **1**(3): 344-354.
8. Islam K, Haque A, Karim R, Fajol A, Hossain E, Salam K A, et al. Dose-response relationship between arsenic exposure and the serum enzymes for liver function tests in the individuals exposed to arsenic: a cross sectional study in Bangladesh. *Environ Health* 2011; **10**(64): 1-11. doi: 10.1186/1476-069X-10-64.
9. Ferzand R, Gadahi J A, Saleha S, Ali Q. Histological and haematological disturbance caused by arsenic toxicity in mice model. *Pakistan journal of biological sciences: PJBS* 2008; **11**(11): 1405-1413. doi: 3923/pjbs.2008.1405.1413.
10. Matović V, Buha A, Bulat Z, Đukić-Ćosić D. Cadmium toxicity revisited: focus on oxidative stress induction and interactions with zinc and magnesium. *Arhiv za higijenu rada i toksikologiju* 2011; **62**(1): 65-75. doi: 10.2478/10004-1254-62-2011-2075.
11. Stamoulis I, Kouraklis G, Theocharis S. Zinc and the liver: an active interaction. *Digestive diseases and sciences* 2007; **52**(7): 1595-1612. doi: 10.1007/s10620-006-9462-0.
12. Sidhu P, Garg M, Dhawan D. Protective effects of zinc on oxidative stress enzymes in liver of protein deficient rats. *Nutr Hosp* 2004; **19**(6): 341-347. doi: 10.1081/DCT-52551.
13. Powell S R. The antioxidant properties of zinc. *J Nut* 2000; **130**: 14475-14545. doi: 10.1163/2210-7886/ASC-14475.
14. Kumar A, Malhotra A, Nair P, Garg M, Dhawan D K. Protective role of zinc in ameliorating arsenic-induced oxidative stress and histological changes in rat liver. *Journal of Environmental Pathology, Toxicology and Oncology* 2010; **29**(2): 91-100. doi: 10.1016/j.toxlet.2009.06.854
15. Eze E, Dawud F, Zainab A, Jimoh A, Malgwi I, Isa A. Preliminary studies of effects of vitamin C and zinc on some liver enzymes in alloxan-induced diabetic wistar rats. *Asian J Med Sci* 2012; **4**(1): 17-22. doi: 10.18869/2016.164.
16. Mazumder D G. Effect of chronic intake of arsenic-contaminated water on liver. *Toxicology and applied pharmacology* 2005; **206**(2): 169-175. doi: 10.1016/j.taap.2004.08.025.
17. Humtsoe N, Davoodi R, Kulkarni B, Chavan B. Effect of arsenic on the enzymes of the rohu carp Labeo rohita (Hamilton, 1822). *Raffles Bull Zool* 2007; **14**: 17-19. doi: 10.3750/AIP2004.34.2.08.
18. Barchowsky A, Cartwright I L, Reichard J F, Futscher B W, Lantz R C. Arsenic toxicology: translating between experimental models and human pathology. *Environmental health perspectives* 2011; **119**(10): 1356-1363. doi: 10.1289/ehp.1103441
19. El-Demerdash F M, Yousef M I, Radwan F M. Ameliorating effect of curcumin on sodium arsenite-induced oxidative damage and lipid peroxidation in different rat organs. *Food and Chemical Toxicology* 2009; **47**(1): 249-254. doi: 10.1016/j.fct.2008.11.013.
20. Mallick P, Mallick J C, Guha B, Khuda-Bukhsh A. Ameliorating effect of microdoses of a potentized homeopathic drug, Arsenicum Album, on arsenic-induced toxicity in mice. *BMC Complementary and Alternative Medicine* 2003; **3**(1): 1-7. doi: 10.1186/1472-6882-3-7.
21. Muthumani M, Prabu S M. Silibinin potentially protects arsenic-induced oxidative hepatic dysfunction in rats. *Toxicology Mechanisms and Methods* 2012; **22**(4): 277-288. doi: 10.3109/15376516.2011.647113.
22. Nair S B, Jhala D D, Chinoy N G. Beneficial effects of certain antidotes in mitigating fluoride and/or arsenic induced hepatotoxicity in mice. *Fluoride* 2004; **37**: 60-70. doi: 10.1016/j.fct.2007.11.009.
23. Balasubramanian J, kumar A. Effect of sodium arsenite on liver function related enzymes of cat fish heteropneustes fossilis and its chelation zeolite. *Ecotoxicol. Environ. Contam* 2013; **2**(8): 53-58. doi: 10.5132/eec.2013.02.008
24. Gaskill C, Miller L M, Mattoon J, Hoffmann W, Burton S A, Gelens H C, et al. Liver histopathology and liver and serum alanine aminotransferase and alkaline phosphatase activities in epileptic dogs receiving phenobarbital. *Veterinary Pathology Online* 2005; **42**(2): 147-160. doi: 10.1354/vp.42-2-147
25. Banerjee P, Bhattacharyya S S, Bhattacharjee N, Pathak S, Boujedaini N, Belon P, et al. Ascorbic acid combats arsenic-induced oxidative stress in mice liver. *Ecotoxicology and environmental safety* 2009; **72**(2): 639-649. doi: 10.1016/j.ecoenv.2008.07.005.
26. Vutukuru S S, Prabhath N A, Raghavender M, Yerramilli A. Effect of arsenic and chromium on the serum amino-transferases activity in Indian major carp, Labeo rohita. *International journal of environmental research and public health* 2007; **4**(3): 224-227. doi: 10.3390/ijerph2007030005.
27. Chalasani N, Aljadhey H, Kesterson J, Murray M D, Hall S D. Patients with elevated liver enzymes are not at higher risk for statin hepatotoxicity. *Gastroenterology* 2004; **126**(5): 1287-1292. doi: 10.1053/j.gastro.2004.02.015

28. Karmakar R, Mondal T, Saha B, Ban D K, Dey B, Dastidar P G, et al. Arsenic induced Biochemical perturbation in Swiss Albino Mice and Cytoprotective activities of Curcumin. *International Journal of Environmental Sciences* 2011; **2**(1): 228-238. doi: 10.14419/ijpt.v2i2.3072.
29. Muthumani M, Prabu S M. Silibinin potentially protects arsenic-induced oxidative hepatic dysfunction in rats. *Toxicology mechanisms and methods* 2012; **22**(4): 277-288. doi: 10.3109/15376516.2011.647113.
30. Fernandez J, Kidney A. Alkaline phosphatase: beyond the liver. *Veterinary Clinical Pathology* 2007; **36**(3): 223-233. doi: 10.1111/j.1939-165X.2007.tb00216.x
31. Vallee B L, Falchuk K H. The biochemical basis of zinc physiology. *Physiological Rev* 1993; **73**(1): 79-118. doi: 10.1006/bbrc.1994.1607.
32. Bettger W J, O'Dell B L. Physiological roles of zinc in the plasma membrane of mammalian cells. *The Journal of Nutritional Biochemistry* 1993; **4**(4): 192-194. doi: 10.1016/0955-2863(93)90052-X.

The effect of anaerobic exercise with melatonin consumption on the expression of Bax and Bcl-2 markers in rat myocardium after ischemic-reperfusion

Hamed Alizadeh Pahlavani^{1*} , Hamid Rajabi², Mohammad Nabiuni³, Pezhman Motamedi², Neda Khaledi²

¹Department of Physical Education and Sport Sciences, Behbahan School of Medical Sciences, Behbahan, Iran

²Department of Physical Education and Sport Sciences, School of Sport Sciences, Kharazmi University, Tehran, Iran

³Department of Cell and Molecular Biology, School of Biological Sciences, Kharazmi University, Tehran, Iran

*Corresponding author; E-mail: Alizadehh76@yahoo.com

Received: 12 August 2017 Accepted: 4 November 2017 First Published online: 4 July 2019

Med J Tabriz Uni Med Sciences Health Services. 2019 August- September; 41(3):68-77

Abstract

Background: The present research aims to examine the effect of anaerobic exercise with melatonin consumption on the expression of Bax and Bcl-2 markers in rat myocardium after ischemic-reperfusion by isoprenaline.

Methods: In the present experimental study, 28 male Wistar rats weighing approximately 200-250 g with two to three months old were divided into five groups: pilot (n=14), control (n=4), melatonin (n=4), anaerobic (n=4) and melatonin anaerobic (n=4). Pilot group were divided into two groups, isoprenaline (n=7) and normal (n=7): isoprenaline group injected isoprenaline with dose of 150 and 125 mg/kg BW with 24 hours in two consecutive days; and normal group has no injection. Then more fibrosis level was confirmed in isoprenaline into normal groups used Masson-trichrom tanique. In the following Rats in melatonin group were gavaged every day for one month using a dose of 10 mg/kg BW. Meanwhile, rats in anaerobic group and melatonin anaerobic group were exposed training course with frequency of three times weekly for one month. But control group were injected only with isoprenaline in the end of one month. Finally, rats were sacrificed after confirmation of infarct and expressions of bax and bcl2 gene were studied by real-time method.

Results: Melatonin treatment and anaerobic training have negligible effect on Bax and Bcl-2 gene expression. In the other hand, anaerobic exercise with consuming melatonin can decrease and increase Bax and Bcl-2 gene expression respectively and show significant effect, compared to treatment with melatonin alone.

Conclusion: The anaerobic exercise with consuming melatonin into consuming melatonin alone can reduce inactive induced-Infarction level.

Keyword: Apoptosis, Anaerobic Exercise, Melatonin, Reperfusion, Bax, Bcl2.

How to cite this article: Alizadeh Pahlavani H, Rajabi H, Nabiuni M, Motamedi P, Khaledi N. [The effect of anaerobic exercise with melatonin consumption on the expression of Bax and Bcl-2 markers in rat myocardium after ischemic-reperfusion]. Med J Tabriz Uni Med Sciences Health Services. 2019 August- September; 41(3):68-77. Persian.

مقاله پژوهشی

تأثیر تمرین بی‌هوایی با مصرف ملاتونین بر بیان نشانگرهای BAX و BCL2 میوکارد رت پس از ایسکمی ریپرفیوژن

حامد علیزاده پهلوانی^{۱*}، حمید رجبی^۲، محمد نبیونی^۳، پژمان معتمدی^۴، ندا خالدی^۵

گروه تربیت بدنی و علوم ورزشی، دانشکده علوم پزشکی بهبهان، بهبهان، ایران
گروه فیزیولوژی ورزشی، دانشکده تربیت بدنی و علوم ورزشی، دانشگاه خوارزمی، تهران، ایران
گروه زیست‌شناسی سلولی و مولکولی، دانشکده علوم زیستی، دانشگاه خوارزمی، تهران، ایران
^{*}نویسنده مسؤول؛ ایمیل: Alizadehh76@yahoo.com

دریافت: ۱۳۹۶/۵/۲۱ پذیرش: ۱۳۹۶/۸/۱۳ انتشار برخط: ۱۳۹۸/۴/۱۳
مجله پزشکی دانشگاه علوم پزشکی و خدمات بهداشتی - درمانی تبریز. مرداد و شهریور ۱۳۹۸؛ ۴۱(۳): ۶۸-۷۷

چکیده

زمینه: هدف از تحقیق حاضر بررسی تأثیر تمرین بی‌هوایی با مصرف ملاتونین بر بیان نشانگرهای BAX و BCL2 میوکارد رت پس از ایسکمی ریپرفیوژن می‌باشد.

روش کار: ۲۸ رت صحرایی نر ویستار دو تا سه ماهه با وزن تقریبی ۲۰۰-۲۵۰ گرم به پنج گروه، پایلوت ($n=14$), کترل ($n=4$), ملاتونین ($n=4$), تمرین بی‌هوایی ($n=4$) و تمرین بی‌هوایی و ملاتونین ($n=4$) تقسیم شدند. گروه پایلوت به دو گروه ایزوپرینالین (ایسکمی ریپرفیوژن) و سالم تقسیم گردیدند. گروه ایزوپرینالین در دو روز متوالی با فاصله ۲۴ ساعت با دوز ۱۵۰ و ۱۲۵ میلی‌گرم به ازای هر کیلوگرم وزن بدن تحت تزریق ایزوپرینالین قرار گرفتند؛ و گروه سالم هیچگونه تیماری نداشتند. سپس با رنگ‌آمیزی تری کروماسون میزان فیروز بیشتر در گروه ایزوپرینالین نسبت به گروه سالم تأیید شد. گروه‌های ملاتونین یک ماهه هر روز با دوز ۱۰ میلی‌گرم به ازای هر کیلوگرم وزن بدن تیمار شدند؛ و گروه‌های تمرین بی‌هوایی و تمرین بی‌هوایی ملاتونین تحت تمرین یک ماهه با توافر سه جلسه در هفته روی تردیمیل قرار گرفتند. اما گروه کترل در پایان یک ماه فقط تحت تزریق ایزوپرینالین قرار گرفتند. در نهایت رت‌ها تشریح شدند و اندازه‌گیری بیان ژن bax و bcl2 به روش ریل تایم انجام شد. نتایج تحقیق با فرمول ΔΔct و روش آماری تی مستقل، تحلیل واریانس یک طرفه و تعقیبی توکی با نرم افزار spss تحلیل شد.

یافته‌ها: تیمار ملاتونین و تمرین بی‌هوایی به تنها بیان ژن bax و bcl2 تأثیر ناچیزی دارد. اما تمرین بی‌هوایی با مصرف ملاتونین نیز می‌تواند بیان ژن BAX و BCL2 را به ترتیب کاهش و افزایش دهد؛ و نسبت به تیمار ملاتونین به تنها تأثیر معنی داری نشان دهدند.

نتیجه‌گیری: به نظر می‌رسد تمرین بی‌هوایی با مصرف ملاتونین نسبت به مصرف ملاتونین به تنها می‌تواند از میزان حجم سکته میوکارد احتمالی ناشی از بی‌تحرکی بکاهد.

کلید واژه‌ها: آپوپتوز، تمرین بی‌هوایی، ملاتونین، ریپرفیوژن، BCL2، BAX

نحوه استناد به این مقاله: علیزاده پهلوانی ح، رجبی ح، نبیونی م، معتمدی پ، خالدی ن. تأثیر تمرین بی‌هوایی با مصرف ملاتونین بر بیان نشانگرهای BAX و BCL2 میوکارد رت پس از ایسکمی ریپرفیوژن. مجله پزشکی دانشگاه علوم پزشکی و خدمات بهداشتی - درمانی تبریز. ۱۳۹۸؛ ۴۱(۳): ۶۸-۷۷

حق تألیف برای مؤلفان محفوظ است.

این مقاله با دسترسی آزاد توسط دانشگاه علوم پزشکی و خدمات بهداشتی - درمانی تبریز تحت مجوز کریپتو کامنز (CC BY 4.0) منتشر شده که طبق مفاد آن هرگونه استفاده تنها در صورتی مجاز است که به اثر اصلی به نحو مقتضی اشاره شده باشد.

مقدمه

کرد تمرين ورزشی بيان پروتئين های حفاظتی قلب نظير Bcl2 و HSP₇₂ را در رت های فشار خونی افزایش می دهد (۶). از طرف دیگر درمان دارویی بلند مدت شامل داروهای مسدود کننده بتا، ملاتونین، آسپرین، پلاویکس، وارفارین با استاتین مورد توجه قرار گرفته اند (۷). مصرف این مواد بیشتر به علت نقش گشادکننگی عروق توسط آنها می باشد؛ همچنین وقوع سکته در ابتدای صبح به دلیل کاهش ترشح ملاتونین در بدن گزارش شده است. در تأیید این مطلب انسان ها با دریافت خوراکی ملاتونین سبب کاهش فشار خون در نمونه های دارای فشار طبیعی می شوند. همچنین گزارش شده است سطوح ملاتونین در افراد مبتلا به سکته و بیماری های قلبی و عروقی کاهش می باشد. در نهایت این یافته که گیرنده های ملاتونین در شریان انسان ها وجود دارد، بیانگر نقش مستقیم این هورمون در کنترل موضعی قطر عروق خونی است (۸). ضمناً مطالعات جدید به ویژگی های آنتی اکسیدانی، ضدالتهابی و ضدآپوپتوزی ملاتونین اشاره کرده اند. در این راستا مطالعه ای نشان داد ملاتونین نسبت مصرف اکسیژن میتوکندری، فعالیت کمپلکس I و II میتوکندری، تولید پراکسید هیدروژن، سطح لیپید پراکسیداز، مقدار کاردیولیپین و اکسیداسیون کاردیولیپین را کاهش می دهد (۹). تحقیق دیگر ذکر کرد ملاتونین دارای ویژگی محافظتی قلبی از طریق پاک کنندگی رادیکال های آزاد به طور مستقیم و از طریق فعالیت آنتی اکسیدانی خود به طور غیرمستقیم است. تحقیقی در این راستا نشان داد که تجویز ۱۰ میلی گرم ملاتونین اثرات معنی دار محافظتی بر انفارکتوس ناشی از ایزوپروترونول با تنظیم فعالیت آنتی اکسیدانی اگزوزنیک دارد (۱۰). این تحقیق در نهایت ذکر کرد ملاتونین نشانگرهای آپوپتوزی نظير Bax را کاهش و را افزایش می دهد (۱۱). در مجموع به نظر می رسد برنامه ورزشی منظم و مصرف ملاتونین، می توانند ظرفیت بی هوایی و آنتی اکسیدانی بیماران کرونری را بهبود بخشدند و همچنین بر کاهش مارکرهای آپوپتوزی تأثیرگذار باشند. حال با توجه به اینکه برخی افراد مستعد به انفارکتوس میوکارد هستند و وقت کافی برای تمرين منظم ندارند آیا این افراد می توانند با افزایش شدت تمرين و کاهش زمان از طریق تمرين بی هوایی با مصرف ملاتونین از وقوع انفارکتوس احتمالی بکاهند. از این رو پژوهش حاضر سعی دارد تا تأثیر تمرين ورزشی بی هوایی با مصرف ملاتونین را بر نشانگرهای بیان ژن Bax و bcl2 به منظور کاهش میزان آپوپتوز در رت های تحت ایسکمی ریپرفیوژن بررسی کند.

روش کار

در این مطالعه تجربی ۲۸ رت صحرایی نر ویستار دو تا سه ماهه با وزن تقریبی ۲۵۰-۲۰۰ گرم به پنج گروه، پایلوت ($n=14$), کنترل ($n=4$), ملاتونین ($n=4$), تمرين بی هوایی ($n=4$) و تمرين

قبل از سال ۱۹۰۰ بیماری های عقوनی و سوء تغذیه شایعترین علل مرگ در جهان محسوب می شدند؛ اما در حال حاضر بیماری های قلبی عروقی شایعترین علت مرگ در بسیاری از نقاط جهان هستند. این تغییر که به آن گذار اپیدمیولوژیک اطلاق می شود ناشی از صنعتی شدن، شهرنشینی و تغییر سبک زندگی است که در همه نقاط جهان و در میان همه نژادها، گروه های قومی و فرهنگ ها در حال رخ دادن است. اگر چنین وضعیتی به همین طریق ادامه یابد، میزان مرگ و میر با توجه به سن در سال های آینده می تواند افزایش یابد. طبق گزارش های پژوهشی تجمع لیپوپروتئین ها، آسیب اندوتلیوم و التهاب از جمله فرآیندهای متعددی هستند که در شروع و پیشرفت یکی از مهمترین عوارض قلبی عروقی یعنی آتروسکلرroz سهیم می باشند (۱).

از طرفی هیپوکسی یا کمبود اکسیژن یکی از علل آسیب های سلول عضله قلب، و در نهایت مرگ برنامه ریزی شده سلول قلبی به نام آپوپتوز است؛ به طوری که سلول ها و نیز میتوکندری های یک ناحیه یکپارچگی غشاء خود را از دست می دهند و در نتیجه مواد داخل سلولی مانند پروتئین های پیش آپوپتوزی آزاد می شوند که سبب بروز واکنش های التهابی و تشدید آسیب اولیه می گردد. در مقابل پروتئین های آنتی آپوپتوزی می توانند از طریق فعالیت آنتی آپوپتوزی و تأثیر بر مرحله آبشار کاسپازی از مرگ سلولی ایجاد شده توسط محرك ها بگاهند. از این رو پروتئین پیش آپوپتوزی Bax و پروتئین آنتی آپوپتوزی Bcl-2 از جمله مهمترین پروتئین های درگیر در آپوپتوز هستند و به همین سبب از استفاده آنها به عنوان شاخصی برای کاهش یا افزایش مرگ سلولی استفاده می شود. از این رو هر عاملی که بتواند نسبت Bcl-2 به Bax را افزایش دهد، می تواند در کاهش آپوپتوز مؤثر واقع شود (۲).

به هر حال عوامل متعددی می توانند از شدت ضایعه عروق کرونری و سپس آپوپتوز میوکارد بگاهند که مهمترین آنها فعالیت بدنی و مصرف دارو می باشد. برای مثال خطر گسترش بیماری شریان کرونری در بزرگسالان آماده یا فعال در مقایسه به افراد غیرفعال ۳۰ تا ۴۰٪ کمتر است (۲). همچنین مطالعه ای دیگر نشان داد تمرين هوایی سبب افزایش فاکتورهای آنتی آپوپتوزی نظير Bcl2 و کاهش فاکتورهای آپوپتوزی Bad در میوکارد می شود (۳). بنابراین به نظر می رسد یکی از دلایل احتمالی فواید ورزشی جهت محافظت قلبی، کاهش مارکرهای آپوپتوزی نظير Bax و Bad و همچنین افزایش مارکرهای آنتی آپوپتوزی نظير Bcl2 در سلول های میوکاردی است. در این راستا مطالعه ای نشان داد فعالیت ورزشی افزایش نسبت Bax به Bcl2 آپوپتوز و تغییر ساختار قلبی رت های ناشی از پیری را کاهش می دهد (۴). مطالعه دیگر نشان داد نسبت Bcl2 به Bax در گروه تمرين استفاماتی در مقایسه با گروه کنترل و تمرين حاد بیشتر است (۵). در نهایت تحقیقی ذکر

محلول مایع اضافه گردید. سپس محلول حاصل به مدت ۱۵ دقیقه با دور ۱۲۰۰ درجه سانتی گراد سانتریفیوژ شد. در ادامه محلول رویی پس از سانتریفیوژ برداشته شد و به همان اندازه ایزوپرپانول (از شرکت مرک آلمان با کد ۱۰۹۶۳۴) به آن اضافه گردید. سپس نمونه‌ها پس از یک شب در فریزر منفی ۸۰ به مدت ۱۰ دقیقه با دور ۱۲۰۰ درجه سانتی گراد سانتریفیوژ شدند. سپس رسوب ایجاد شده در ته میکروتیوب بوسیله الكل٪ به مقدار یک میلی لیتر به مدت ۵ دقیقه با دور ۷۵۰ درجه سانتی گراد سانتریفیوژ شد. در نهایت ۳۳ میکرولیتر آب ۴ درجه سانتی گراد سانتریفیوژ شد. در این میکرولیتر آب تشییت کننده RNA به رسوب در دمای ۵۵ تا ۶۰ اضافه شد تا RNA در آب حل شود. تهیه cDNA با استفاده از پروتکل کیت ویوانتیس با کد RTPL12 از کشور مالزی انجام گردید؛ ضمناً پرایمرباکتین بتا (فوروارد) و ریورز (Reverend) با زن افزار Primer3 طراحی و مورد استفاده قرار گرفتند.

آماده سازی Real-time

به منظور آماده سازی مواد ریل تایم، ۴ لاندا cDNA از هر گروه تحقیق به چاهک‌های دستگاه ریل تایم ریخته شد؛ سپس ۶ لاندا از محلول مستر میکس (یک لاندا پرایم فوروارد و ریورز و ۵ لاندا سایپر گرین شرکت یکتا تجهیز با کد YT2551) به آن اضافه گردید. در ادامه دستگاه ریل تایم به مدت ۵ دقیقه در دمای ۹۵ درجه سانتی گراد (واسرشه شدن اولیه)، ۱۵ ثانیه در دمای ۹۵ درجه سانتی گراد (واسرشه شدن ثانویه)، ۲۰ ثانیه در دمای ۶۰ درجه سانتی گراد (اتصال پرایم‌ها) و ۲۰ ثانیه در دمای ۷۲ درجه سانتی گراد (تکثیر راهاندازی شد. واکنش از مرحله دوم به بعد برای ۴۰ سیکل تکرار شد. های مربوط به واکنش توسط نرم افزار دستگاه استخراج و ثبت شد.

یافته‌ها

نتایج چند برابری ژن‌های *bax* و *bcl2* نشان داد که میزان بیان ژن *bax* در گروه ملاتونین، بی‌هوایی و بی‌هوایی ملاتونین نسبت به ایسکمی به ترتیب ۱/۳۵، ۰/۹ و ۰/۴۱ برابر شده است؛ در حالی که بیان ژن *bcl2* در گروه ملاتونین، بی‌هوایی و بی‌هوایی ملاتونین به ترتیب ۱/۳۲، ۲/۶۵ و ۳/۹۶ برابر شده است (شکل ۲). این یافته‌ها نشان دادند که مصرف ملاتونین در طول ۴ هفتۀ چندان تغییری در بیان ژن‌های *bax* و *bcl2* ایجاد نکرده است، اما تمرین بی‌هوایی میزان بیان *bax* و *bcl2* را کاهش و افزایش داده است که

بی‌هوایی و ملاتونین (n=۴) تقسیم شدند. گروه پایلوت به دو گروه ایزوپرپنالین (ایسکمی ریپرفیوژن) و سالم تقسیم شد. گروه ایزوپرپنالین (از شرکت سیگما با کد ۱۵۶۲۷) در دو روز متوالی با فاصله ۲۴ ساعت با دوز ۱۵۰ و ۱۲۵ میلی گرم به ازای هر کیلوگرم وزن بدن تحت تزریق ایزوپرپنالین قرار گرفتند؛^{۱۲} و گروه سالم هیچگونه تیماری نداشتند. در ادامه با رنگ‌آمیزی تری کروماسون میزان فیروز بیشتر در گروه ایزوپرپنالین نسبت به گروه سالم تأیید شد. گروه‌های ملاتونین (شرکت سیگما با کد M5250) یک ماه هر روز با دوز ۱۰ میلی گرم به ازای هر کیلوگرم وزن بدن تیمار شدند؛ و گروه‌های تمرین بی‌هوایی و تمرین بی‌هوایی ملاتونین پس از آشنایی یک هفته‌ایی تحت تمرین یک ماهه با تواتر سه جلسه در هفته روی ترمیل قرار گرفتند (جدول ۱). اما گروه کنترل در پایان یک ماه فقط تحت تزریق ایزوپرپنالین قرار گرفت. در این پژوهش رت‌ها دو روز تحت تزریق ایزوپرپنالین قرار گرفتند تزریق اول با دوز ۱۵۰ میلی گرم به ازای هر کیلوگرم وزن بدن انجام شد و تزریق دوم ایزوپرپنالین در روز بعد با دوز ۱۲۵ میلی گرم به ازای هر کیلوگرم وزن بدن بود. در نهایت پس از دو روز از تزریق دوم ایزوپرپنالین رت‌ها با استنشاق کلروفرم بی‌هوایی و سپس شریح شدند و اندازه‌گیری بیان ژن *bax* و *bcl2* به روش ریل تایم انجام شد. نتایج تحقیق با فرمول $\Delta\Delta Ct$ ^{۱۳} و همچنین تحلیل واریانس یک طرفه و توکی تحلیل شد؛ اما برای بررسی میزان فیروز در گروه پایلوت روش آماری تی مستقل مورد استفاده قرار گرفت. ضمناً از نرم افزار spss نسخه ۱۸ به منظور محاسبه روش‌های آماری استفاده شد.

تکنیک رنگ‌آمیزی تری کروماسون مشخص کرد این مقدار تزریق دارو باعث سکته در گروه پایلوت می‌گردد. زیرا آزمون تی مستقل نشان داد میزان فیروز بدست آمده از نرم افزار *j image* در بین گروه رت‌های تحت القای ایزوپرپنالین و سالم تفاوت معنی-داری وجود دارد. به طوری که فیروز (واحد پیکسل) گروه ایسکمی ریپرفیوژن (۱۰/۷/۸۵) نسبت به گروه سالم (۲۴/۵۷) از میانگین بیشتری برخوردار بود (sig = ۰/۰۰)؛ لذا این یافته نشان می‌دهد که تزریق ایزوپرپنالین با دوز ۱۵۰ و ۱۲۵ میلی گرم به ازای هر کیلوگرم وزن بدن در دو روز متوالی توانایی ایجاد فیروز در قلب رت‌ها را دارد؛ که نشان دهنده سکته قلبی است (شکل ۱).

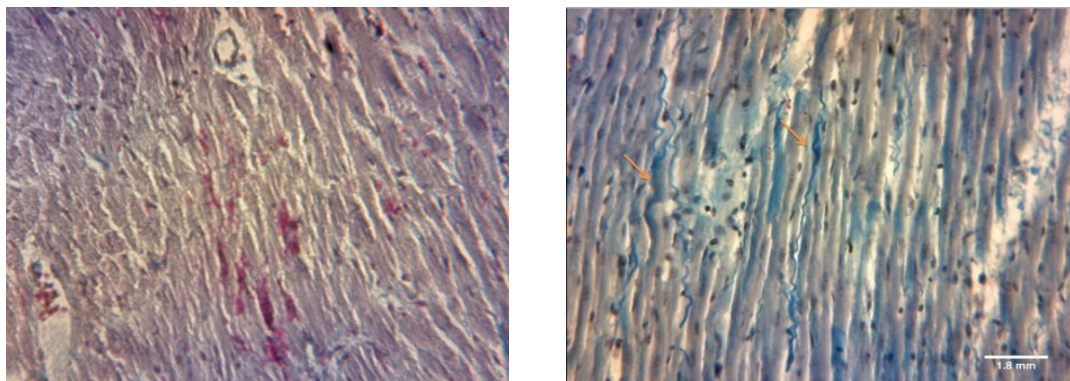
استخراج RNA، سنتز cDNA و طراحی پرایم‌ها RNA نمونه‌های بطん چپ بوسیله ازت مایع و هاون سنگی با روش استخراج دستی و پروتکل استاندارد تراپیزول با کد ET101 متعلق به شرکت کانادایی Civic Bio science استخراج شد. به طوری که به ازای هر ۳۰ تا ۶۰ میلی گرم بافت، یک میلی لیتر محلول تراپیزول به میکروتیوب حاوی بافت اضافه شد. در ادامه نمونه‌ها پس از یک روز از فریزر خارج شدند و به اندازه ۲۰۰ میکرولیتر کلروفرم (از شرکت مرک آلمان با کد ۱۰۲۴۴۵) به

مقدار ۹/۶۱۰ و ۰/۶۸۷ بود. با توجه به یافته جدول ۲، میزان بیان ژن BAX در بین گروه‌های تجربی تغییر معنی‌داری داشته است. در ادامه آزمون تعقیبی توکی در جدول ۳ نشان داد که بین گروه ملاتونین و گروه بی‌هوازی ملاتونین با آماره ۰/۰۰۱ و بین گروه کترول و گروه ملاتونین بی‌هوازی با آماره ۰/۰۲۷ تأثیر معنی‌داری وجود دارد؛ اما بین گروه کترول و گروه بی‌هوازی با آماره ۰/۹۴۷ تأثیر معنی‌داری گزارش نشد.

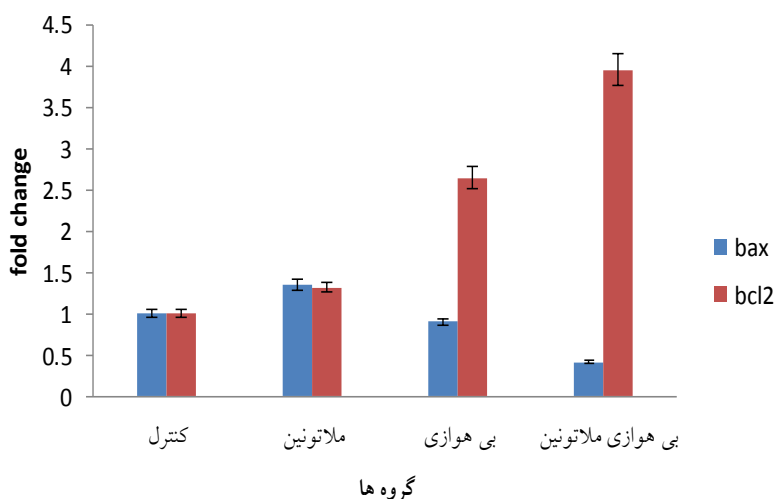
این تغییرات در گروه بی‌هوازی ملاتونین چشمگیرتر بوده است. در ادامه به منظور بررسی سطح معنی‌داری از مقادیر $\Delta\Delta CT$ ژن-های bcl2 و bax استفاده شد؛ در ادامه آزمون آنوا و تعقیبی توکی برای ژن bcl2 و bax به منظور مقایسه گروه‌های تحقیق استفاده گردید (جدول ۲). برای رعایت پیش فرض آزمون تحلیل واریانس، آزمون لون برای هر دو متغیر استفاده شد که به ترتیب برای فاکتور BCL2 و BAX مقدار ۰/۱۸۷ و ۰/۰۵۸ به ترتیب همچنین مقدار F برای هر دو متغیر BCL2 و BAX به ترتیب

جدول ۱: پروتکل تمرین بی‌هوازی

مؤلفه تمرین	مراحل تمرین	گرم کردن	بدنه اصلی تمرین بی‌هوازی	سرد کردن
زمان تمرین (دقیقه)		۶ دقیقه		۱۵-۲۳ دقیقه
سرعت (m/min)		۲۰ تا ۱۵		۳۰ تا ۲۷
مسافت		۹۰ تا ۱۲۰ متر		۷۵۰ تا ۶۹۰ متر
شیب تردمیل (درجه)		صفرا		۲۰ درجه



شکل ۱: تصاویر رنگآمیزی تری کروماسون بطん چپ رت‌های گروه سالم و گروه تحت القای ایزوپرنتالین با بزرگ نمایی $\times 40$ که نشان دهنده میزان رسوب کلاژن بیشتر در گروه تحت القای ایزوپرنتالین نسبت به گروه سالم می‌باشد که این موضوع وقوع سکته را در گروه ایزوپرنتالین نشان می‌دهد.



شکل ۲: میزان Fold change بیان ژن BAX و BCL2 در گروه ملاتونین، بی‌هوازی و بی‌هوازی ملاتونین

جدول ۲: آزمون تحلیل واریانس برای مقایسه ژنهای *bax* و *bcl2* در گروههای کنترل، ملاتونین، بی‌هوایی، بی‌هوایی ملاتونین

Sig BCL2	Sig BAX	انحراف استاندارد <i>BCL2</i>	انحراف استاندارد <i>BAX</i>	Fold change <i>BCL2</i>	Fold change <i>BAX</i>	$-\Delta\Delta CT_{Bcl2}$	$-\Delta\Delta CT_{Bax}$	گروههای تحقیق
۰/۵۷۷	۰/۰۰۲	۱/۲۹	۰/۱۶	۱	۱	۲/۹۳	۱/۰۶۳۴	کنترل
						۰/۰۲	۰/۸۵۱۹	
						۰/۲۵	۰/۸۸۱۱	
						۰/۳	۱/۱۹۶۴	
۰/۰۷۷	۰/۰۰۲	۱/۱۱	۰/۲۵	۱/۳۲	۱/۳۵	۱/۶۸	۱/۴۰	ملاتونین
						۰/۰۱	۱/۰۵	
						۲/۷۵	۱/۳	
						۰/۰۶	۱/۶۶	
۰/۰۷۷	۰/۰۰۲	۲/۲۶	۰/۱۳	۲/۶۵	۰/۹۰	۰/۴۹	۰/۹۲	بی‌هوایی
						۵/۷۸	۱/۰۱	
						۲/۶۲	۰/۷۱	
						۱/۷۲	۰/۹۸	
۰/۰۷۷	۰/۰۰۲	۵/۸۹	۰/۰۳۷	۳/۹۶	۰/۴۱	۰/۰۴	۰/۹۰	بی‌هوایی ملاتونین
						۳/۰۱	۰/۰۱	
						۱۲/۰۷	۰/۰۶	
						۰/۰۳	۰/۲۰	

جدول ۳: آزمون تعقیبی توکی در گروههای تحقیق

Sig	تفاوت میانگین	گروهها	گروه	متغیر وابسته
۰/۹۴۷	۰/۰۹۵۵۸	بی‌هوایی	کنترل	Bax
۰/۲۴۱	-۰/۳۵۲۴۱	ملاتونین		
۰/۰۲۷	۰/۵۸۳۸۰	بی‌هوایی ملاتونین		
۰/۹۴۷	-۰/۰۹۵۵۸	کنترل	بی‌هوایی	Bax
۰/۱۰۳	-۰/۴۴۷۹۹	ملاتونین		
۰/۰۷۰	۰/۴۸۸۲۱	بی‌هوایی ملاتونین		
۰/۲۴۱	۰/۳۵۲۴۱	کنترل	ملاتونین	Bcl2
۰/۱۰۳	۰/۴۴۷۹۹	بی‌هوایی		
۰/۰۰۱	۰/۹۳۶۲۱	ملاتونین		
۰/۰۰۲	-۰/۵۸۳۸۰	کنترل	ملاتونین بی‌هوایی	Bcl2
۰/۰۷۰	-۰/۴۸۸۲۱	بی‌هوایی		
۰/۰۰۱	-۰/۹۳۶۲۱	ملاتونین		
۰/۸۹۰	-۱/۶۵۰۵۸	بی‌هوایی	کنترل	Bcl2
۰/۹۹۹	۰/۳۲۶۱۳	ملاتونین		
۰/۰۹۱	-۲/۹۶۳۸۴	بی‌هوایی ملاتونین		
۰/۸۹۰	۱/۶۵۰۵۸	کنترل	بی‌هوایی	Bcl2
۰/۹۳۸	۱/۳۲۴۴۵	ملاتونین		
۰/۹۴۰	-۱/۳۱۳۲۵	بی‌هوایی ملاتونین		
۰/۹۹۹	۰/۳۲۶۱۳	کنترل	ملاتونین	Bcl2
۰/۹۳۸	-۱/۳۲۴۴۵	بی‌هوایی		
۰/۶۷۳	-۲/۶۳۷۷۱	بی‌هوایی ملاتونین		
۰/۰۹۱	۲/۹۶۳۸۴	کنترل	ملاتونین بی‌هوایی	Bcl2
۰/۹۴۰	۱/۳۱۳۲۵	بی‌هوایی		
۰/۶۷۳	۲/۶۳۷۷۱	بی‌هوایی		

بحث

شود؛ در نتیجه منجر به حداقل اختلال و نفوذپذیری میتوکندری سلول می‌گردد؛ بنابراین خاصیت آنتی اکسیدانی ملاتونین سبب کاهش iNOS و اکسیدانها و همچنین افزایش NRF2 و مسیر JAK2/STAT3 می‌گردد که هر دو باعث مهار التهاب و اکسیداسیون میوکارد می‌شوند؛^(۱۴) اما از طرف دیگر عدم تحرک گروه ملاتونین، ممکن است سبب افزایش آدیپوکاپین‌ها مانند ویسغاتین در درون پلاسمام گردد؛ که در نهایت التهاب و اکسیداسیون میوکارد را افزایش می‌دهند؛ و میوکارد را بیشتر مستعد به آسیب ایسکمی می‌گرداند. در عین حال وقتی که نفوذ لپیدها و عوامل اکسیدانی بر اکسیداسیون لپیدها و عوامل آنتی اکسیدانی غالب شوند می‌توانند نقش زیان‌آوری در میوکارد ایجاد کنند. لذا به نظر می‌رسد که ملاتونین می‌تواند دارای اثرات چند وجهی برای آسیب ایسکمی ریپرفیوژن قلب باشد.

یافته‌های دیگر تحقیق نشان داد که تمرين بی‌هوایی میزان بیان ژن bax و bcl2 را کاهش و افزایش داده است. اما این کاهش در مقایسه با گروه ایسکمی ریپرفیوژن معنی‌دار بیان نشد. این یافته‌ها از نظر اینکه میزان بیان ژن bax و bcl2 را کاهش و افزایش داده است با تحقیقات Santos و همکاران، Santana و همکاران و Chengji و همکاران همسو است^(۳، ۱۷، ۱۸)، اما از نظر معنی‌داری غیر همسو است. یک تفاوت اساسی در تحقیق حاضر و پژوهش Santos و همکاران این است که تحقیق حاضر رت‌های سالم را مورد بررسی قرار داده است در حالی که سانتوز و همکاران رت‌های دیابتی را بررسی کرده‌اند. حال به نظر می‌رسد رت‌های دیابتی تا حدودی نشانگرهای آپوپتوزی در آنها بارزتر است و به همین دلیل تمرين ورزشی توانسته است بر میزان بیان ژن آپوپتوزی تأثیر بیشتری بگذارد؛ در حالی که تحقیق حاضر رت‌های سالم را تحت تمرين بی‌هوایی قرار داده است. در تأیید این مطلب پژوهش santos و همکاران نشان دادند میزان پروتئین‌های آنتی آپوپتوزی BCL-XL در گروه دیابتی در مقایسه با گروه کنترل کمتر بوده است. با این حال، رت‌های پژوهش سانتوز و همکاران ۱۰ هفته و هر هفته ۵ بار تمرين کرده‌اند؛ در حالی که رت‌های تحقیق حاضر ۴ هفته و در هر هفته ۳ بار تمرين داده شده‌اند. به نظر می‌رسد مدت تمرين به منظور سازگاری ویژگی‌های تمرين می‌تواند مفید باشد. همچنین، به نظر می‌رسد اگر مدت زمان جلسات تمرين بیشتر شود یا تواتر آن در هفتة افزایش یابد ممکن است بر میزان بیان نشانگرهای آپوپتوزی bax تأثیر گذار باشد. زیرا با سازگاری تمرين عوامل اکسیدانی، پروفایل‌های چربی، التهاب و در نهایت عوامل آپوپتوزی مانند کاسپاز ۳ کاهش می‌یابند و در مقابل عوامل آنتی اکسیدانی، پیش بقای سلولی مانند مسیر IGF1-R/PI3K/AKT افزایش می‌یابند که در مجموع می‌توانند آپوپتوز قلبی را کاهش دهند. نتایج بالا همچنین با تحقیقات jafari

یافته تحقیق حاضر نشان داد که مصرف ملاتونین میزان بیان ژن آپوپتوزی bax و bcl2 را افزایش می‌دهد؛ که این یافته با یافته‌های تحقیق Forman و همکاران (۲۰۱۰) غیرهمسو است^(۱۱). زیرا این محققان اثرات مفید ملاتونین را بر تغییرات قلب رت‌های پیر بررسی کردند؛ در حالی که تحقیق حاضر از ۲ تا ۳ ماهه استفاده کرده است؛ و به نظر می‌رسد که در تحقیق Forman و همکاران ملاتونین بیشتر نقش آنتی اکسیدانی خود را اعمال کرده است زیرا آنتی اکسیدانها در رت‌های پیر کاهش می‌یابد و متعاقباً با تیمار ملاتونین تا حدودی این کاهش جبران می‌شود و می‌تواند از حجم آپوپتوز و نشانگرهای آن مانند bax و bad بکاهد. در حالی که در تحقیق حاضر به نظر می‌رسد ملاتونین بیشتر نقش خواب‌آوری و رگ‌گشایی خود را در رت‌های ۲ تا ۳ ماهه اعمال کرده است؛ به طوری که با خواب‌آوری و عدم تحرک و عمل رگ‌گشایی میزان نفوذ چربی در میوکارد افزایش یافته و در ادامه شاخص‌های التهابی مانند TNF- α و رادیکال‌های آزاد مانند ROS و RNS بیشتر می‌شوند و در نهایت میوکارد مستعد به آسیب ایسکمی می‌گردد. بنابراین به نظر می‌رسد ملاتونین با ویژگی‌های خود مانند خاصیت آنتی اکسیدانی، رگ‌گشایی و خواب‌آوری می‌تواند نقش دوگانه ایفا کند؛ به طوری که اگر خاصیت آنتی اکسیدانی آن غالب شود می‌تواند نقش مفیدی اعمال کند؛ اما در صورتی که نقش رگ‌گشایی و خواب‌آوری آن غالب گردد می‌تواند نقش زیان‌آوری ایفا کند.

همچنین به نظر می‌رسد دلیل افزایش bcl2 این باشد که ترکیبات حساس به ردوكس در سیگنالینگ محافظت سلول ملاتونین درگیر می‌شوند و منجر به پاسخ رونویسی AP-1 و NF2 می‌گردد. با این مسیرها، ملاتونین باعث تحریک ژنهای آنتی اکسیدانی و دفع سمومیت می‌شود و به نوبه خود به عنوان افزایش دهنده سیستم گلوتاتیون عمل می‌کند. در نهایت ملاتونین سبب کاهش تولید گونه‌های اکسیژن واکنشی و فعالیت عوامل آنتی آپوپتوزی bcl2 و حساس به ردوكس می‌گردد^(۱۴). از طرف دیگر Salari lak و همکاران (۱۳۹۰) بیان کرده که تولید زیاد رادیکال‌های آزاد و پراکسیداسیون لپیدها، سبب اختلال در ساختمان غشای لپیدی و دیگر ترکیبات سلولی می‌گردد. این محققین از یافته‌های خود نتیجه گرفتند که مصرف ملاتونین از تغییرات پروفایل‌های چربی و افزایش MDA ناشی از رژیم غذایی با فروکتوز بالا در بافت قلبی جلوگیری می‌کند. زیرا این هورمون پس از عبور از غشای زیستی بیان ژنهای آنتی اکسیدانی را تحریک و ژنهای پرواکسیدان را مهار می‌کند، و به این ترتیب توان آنتی اکسیدانی سلول‌ها را بیشتر می‌نماید^(۱۵). همچنین دیگر دلیل احتمالی افزایش ژن BCL2 کاهش آدنالین و متعاقباً حفظ هموستاز کلسیم است که منجر به رگ‌گشایی عروق میوکارد می‌-

دهند؛ (۱۸) حال با توجه به موارد ذکر شده به نظر می‌رسد که با افزایش مدت زمان تمرین و مصرف ملاتونین می‌توان به نتیجه بهتری امید داشت.

البته دلیل افزایش بیشتر بیان ژن *BCL2* در گروه تمرین ورزشی با ملاتونین در مقابل تمرین ورزشی به تهایی به نظر می- رسد میزان التهاب کمتر در گروه ورزشی با مصرف ملاتونین باشد. زیرا Veneroso و همکاران بیان کردند هنگامی که عضله قلب تحت ورزش حاد قرار می‌گیرد باعث افزایش علاطم آسیب سلولی می‌شود؛ چرا که ورزش همراه با افزایش معنی دار فعالیت مالوپرکسیدازها و سطوح TNF- α , mRNA IL-1, IL-6 است. علاوه بر این، محققین نشان دادند غلطت mRNA و پروتئین مولکول چسبان درون سلولی، نیتریک اکساید سنتاز القایی و سیکلواکسیژنаз ۲ افزایش یافت. همچنین فعالیت معنی دار NF-KB در رت‌های تمرین کرده مشاهده شد. در مقابل این اثرات به طور کلی و جزئی با تیمار ملاتونین مسدود شد. بنابراین می‌توان گفت ملاتونین از آسیب قلبی ناشی از ورزش محافظت می‌کند. در تأیید این مطلب Kumar و همکاران نشان دادند در افراد پس از ورزش، محصولات پراکسیداسیون لیپید مانند مالونیل دی الکلید به طور معنی داری افزایش داشت؛ در حالی که سوپر اکسید دسموتاز و گلوتاتیون پراکسیداز کاهش داشت. همچنین سطح پایه محصولات پراکسیداسیون لیپید در افراد تحت درمان با ملاتونین در مقایسه با مطالعه بدون ملاتونین به طور معنی داری کاهش داشت؛ در ادامه کاهش سوپر اکسید دسموتاز و گلوتاتیون پراکسیداز ناشی از ورزش پس از درمان با ملاتونین جلوگیری شد (۲۲). در تأیید مطالب فوق Santos و همکاران نشان دادند رت‌های تمرین کرده تحت استانزلول، افزایشی در فشار خون و وزن نسبی قلب را تجربه کردند؛ و آنها انحراف محور چپ قلب را افزایش دادند. البته اگرچه ملاتونین هایپرتروفی قلبی را در رت‌های تحت درمان با استانزلول جلوگیری نکرد؛ اما فشار خون و فعالیت کاتالاز قلبی را حفظ کرد؛ و از انحراف محور الکتریکی قلب ناشی از استانزلول جلوگیری کرد. این یافته نشان داد که تجویز مزمن استانزلول باعث اثرات جانبی قلبی عروقی می‌شود که تا حدی با تیمار ملاتونین کاهش می‌یابد. در پایان محققین ذکر کردند که ترکیب ملاتونین و ورزش می‌تواند اثرات جانبی استانزلول را در سیستم قلبی عروقی به حداقل برساند (۱۷).

نتیجه‌گیری

حال با توجه به یافته تحقیق حاضر و تحقیقات پیشین به نظر می- رسد ملاتونین همراه با ورزش می‌تواند از اختلالات سیستم قلبی عروقی مانند افزایش رادیکال‌های آزاد، ROS, RNS، اکسیدان‌ها و عوامل آپوپتوزی مانند BAX جلوگیری کند و از طرف دیگر عوامل آنتی اکسیدانی مانند سوپر اکسید دسموتازها و گلوتاتیون و همچنین

و همکاران Scott و همکاران همسو است (۱۹، ۲۰)، اما از نظر سطح معنی داری غیر همسو است. اسکات و همکاران بیان کردند که تمرین ورزشی، اثر محافظتی در مقابل آسیب ایسکمی ریپرفیوژن میوکارد دارد. زیرا تمرین هوایی مکانیزم‌های مورد نظر اثرات محافظت قلبی ناشی از ورزش را مانند افزایش گردش خون شریان کرونری، بیان پروتئین‌های استرس شبکه آندوپلاسمی، افزایش فعالیت سیکلواکسیژناز ۲، القای پروتئین‌های شوک گرمایی میوکارد، افزایش ظرفیت آنتی اکسیدانی سیتوزوی میوکارد، افزایش سیکنالینگ نیتریک اکساید، تغییر فوتیپ میتوکندریایی، تغییر و افزایش کانال‌های پتانسیم حساس به ATP سارکولمایی و غشای داخلی میتوکندریایی بهبود می‌دهد. در نهایت محققین نشان دادند که افزایش سطوح آنتی اکسیدانی میوکارد و افزایش بیان کانال‌های پتانسیمی حساس به ATP به محافظت قلبی ناشی از ورزش در مقابله آسیب ایسکمی ریپرفیوژن کمک می‌کند؛ چرا که عوامل ذکر شده سبب کاهش آسیب به میتوکندری می‌شود و استحکام غشای میتوکندری را افزایش می‌دهند که در نهایت سبب افزایش بیان ژن bcl2 در میتوکندری می‌گردد (۲۰). در عین حال به نظر می‌رسد با افزایش مدت زمان تمرین و همچنین تواتر تمرین در هفته بتوان این افزایش بیان ژن *bcl2* را ارتقا بخشید؛ چرا که عوامل ذکر شده در بالا با سازگاری تمرین فرصت افزایش بیشتری می‌یابند و در نتیجه میوکارد آمادگی بیشتری برای مقابله به آسیب ایسکمی ریپرفیوژن خواهد داشت.

یافته‌های دیگر تحقیق نشان داد که تمرین بیهوایی با مصرف ملاتونین میزان بیان ژن *bax* و *bcl2* میوکارد را کاهش و افزایش داده است. اما این کاهش در *bax* در مقایسه با گروه کنترل معنی دار بیان نشد؛ اما در مقایسه با گروه ملاتونین معنی دار بیان شد. این یافته‌ها نشان می‌دهند که تمرین هوایی با مصرف ملاتونین توانسته است میزان بیان *bax* را نسبت به سایر گروه‌ها به مقدار بیشتر کاهش دهد؛ زیرا به نظر می‌رسد مصرف ملاتونین با خاصیت آنتی اکسیدانی خود توانسته به عدم سازگاری تمرین در گروه تمرین بیهوایی کمک کند و کمبودهای آنتی اکسیدانی را جبران نماید؛ و از طرف دیگر تمرین ورزشی به طور احتمالی میزان نفوذ پروفایل- های چربی مانند LDL و VLDL را در گروه ملاتونین به دلیل عدم تحرک و خواب‌آوری جبران کرده است و این عوامل اثر افزایشی بر هم گذاشته‌اند که در نهایت منجر به کاهش میزان *bax* در میوکارد شده‌اند. از طرف دیگر ورزش و ملاتونین به طور احتمالی هموستاز کلسمی، نفوذپذیری میتوکندری، رهایش سیتوکروم C و آدرنالین را بهبود می‌بخشند که همه این عوامل می- توانند در کاهش آسیب ایسکمی ریپرفیوژن دخالت کنند. در نهایت پژوهشی نشان داد ورزش و ملاتونین با توجه به افزایش عوامل پیش بقا مانند مسیرهای سلولی IGF1-R/PI3K/AKT و JAK2/STAT3 می‌توانند میزان پیش بقا میوکارد را افزایش

منافع متقابلى

مؤلف اظهار مى دارد که منافع متقابلى از انتشار و تاليف اين مقاله ندارد.

مشارکت مولفان

ضمناً ح. وح. ر در طراحى، اجرا و تحليل مطالعه همکارى داشته‌اند؛ اما سایر همکاران در مشاوره، پيش نويس و ويرايش مطالعه سهيم بوده‌اند و همچنین مقاله را تاليف نموده و نسخه نهايى آن را خوانده و تأييد كرده‌اند.

منابع مالى

این مقاله منابع مالى نداشته است.

عوامل آنتى آپوپتوزی مانند BCL2 و پروتئین‌های شوک گرمایی مانند HSP72 و HSP70 و پروتئین‌های کانال‌های یونی مانند کلسیم و پتانسیم را افزایش دهد. از این رو توصیه می‌گردد با افزایش مدت زمان، شدت و تواتر تمرین در هفته همراه با مصرف ملاتونین بتوان از میزان حجم آپوپتوز ناشی از ایسکمی ریپروفیوزن کاست.

قدرتانى

این مقاله، حاصل يك کار پژوهشى در آزمایشگاه زیست‌شناسی سلولی و مولکولی دانشگاه خوارزمی است؛ و از خانم تایانلو و کریم‌زاده برای زحمات بى دریغشان تقدیر و تشکر مى‌نمایم.

ملاحظات اخلاقى

پروتکل اين مطالعه در کميته پژوهشی دانشگاه بهداشت و درمان بهبهان استان خوزستان به شماره مرجع ۷۲/۲۵/پ/۹۴ به تأييد رسيده است و داراي کد اخلاق IR.AJUMS.REC.1394.462 مى‌باشد.

References

1. Longo F, Kasper H, Loscalzo J. *Harrison's Principles of Internal Medicine*. 18th ed. New York, McGraw-Hill Professional, 2012.
2. Sheryatzadeh M, Apoptosis programmed cell death. 1st ed. Arak, arak Univ Press, 2009.
3. Santana E, Serra A, Junior J, Bocalini D, Barauna V, Krieger J, Tucci P. Aerobic exercise training induces an anti-apoptotic milieu in myocardial tissue. *Motriz, Rio Claro* 2014; **20**(2): 233-238. doi: 10.1590/S1980-65742014000200015.
4. Bum Kwak H, Song W, Lawler J M. Exercise training attenuates age-induced elevation in Bax/Bcl-2 ratio, apoptosis, and remodeling in the rat heart. *FASEB Journal* 2006; **20**(6): 791-793. doi: 10.1096/fj.05-5116fje.
5. Delchev S, Georgieva K, Koeva Y, Atanassova P. Bcl-2 and Bax expression in rat myocardium after acute exercise and endurance training. *Bulgaria* 2005; **19**(21): 269-276.
6. Lajoie C, Calderone A, Bélineau L. Exercise training enhanced the expression of myocardial proteins related to cell protection in spontaneously hypertensive rats. *Pflugers Arch* 2004; **449**(1): 26-32. doi: 10.1007/s00424-004-1307-0.
7. Ehrman J, Gordon P, Visich P, Keteyian S. *Clinical Exercise Physiology*. 3rd ed. New York, Human Kinetics, 2013.
8. Farhud D, Yazdanpanah L. Glucose-6-phosphate dehydrogenase (G6PD) Deficiency. *Iranian J Publ Health* 2008; **37**(4): 1-18.
9. Petrosillo G, Venosa N, Pistolese M, Casanova G, Tiravanti E, Colantuono G, et al. Protective effect of melatonin against mitochondrial dysfunction associated with cardiac ischemiareperfusion: role of cardiolipin. *The FASEB Journal* 2006; **20**(2): 269-276. doi: 10.1016/j.bbabi.2007.07.011.
10. Patel V, Upaganlawar A, Zalawadia R, Balaraman R. Cardioprotective effect of melatonin against isoproterenol induced myocardial infarction in rats: A biochemical, electrocardiographic and histoarchitectural evaluation. *Eur J Pharmacol* 2010; **644**(1-3): 160-168. doi: 10.1016/j.ejphar.2010.06.065
11. Forman K, Vara E, Garcia C, Kireev R, Cuesta S, Acuna-Castroviejo D, et al. Beneficial effects of melatonin on cardiological alterations in a murine model of accelerated aging. *J Pineal Res* 2010; **49**(3): 312-320. doi: 10.1111/j.1600-079X.2010.00800.x.
12. Azamianjazi A, Hafezi M, Cheraghi J, Abdi H. The Combined Effect of Endurance Training and Atorvastatin on the Extent of Necrosis Damageand Fibrosis Tissue in Male Wistar Rats Heart after Experimental Myocardial Infarction. *SJIMU* 2016; **23**(7): 28-38.
13. Høydal M A, Wisloff U, Kemi O J, Ellingsen Ø. Running speed and maximal oxygen uptake in rats and mice: practical implications for exercise training. *Eur J Cardiovascular Prev Rehabil* 2007; **14**(6): 753-760. doi: 10.1097/HJR.0b013e3281eacef1.
14. Luchetti F, Canonico B, Betti M, Arcangeletti M, Pilolli F, Piroddi M, et al. Melatonin signaling and cell protection function. *FASEB J* 2010; **24**(10): 3603-3624. doi: 10.1096/fj.10-154450.
15. Salari lak L, Heidari R, Nejati V. Protective Effects of Melatonin on Lipid Profile in Fructose Induced Dyslipidemia. *IJEM* 2011; **13**(4): 406-411.

16. Hardeland R. Antioxidative protection by melatonin; multiplicity of mechanism from radical detoxification to radical avoidance. *Endocrine* 2005; **27**(2): 119-130. doi: doi.org/10.1385/endo:27:2:119
17. Santos G, Rodrigues M, Goncalves E, Marcondes M. Areas M. *Melatonin Reduces Oxidative Stress and Cardiovascular Changes Induced by Stanozolol in Rats Exposed to Swimming Exercise*. *Eurasian J Med* 2013; **45**(3): 155-162. doi: 10.5152/eajm.2013.33.
18. Chengji W, Shoujun H. Aerobic exercise can ameliorate heart function in patients with myocardial infarction through up-regulating m₃ receptor. *IJC Metabolic & Endocrine* 2016; **13**: 1-5. doi: 10.1016/j.ijcme.2016.08.001.
19. Jafari A, Pourrazi H, Nikookheslat S, Baradaran B. Effect of Exercise Training on Bcl-2 and Bax Gene Expression in the Rat Heart. *Gene Cell Tissue* 2015; **2**(4): e32833. doi: 10.17795/gct-32833.
20. Scott K, John C, Quindry Andreas N, Kavazis. Exercise-induced cardioprotection against myocardial ischemia-reperfusion injury. *Free Radic Biol Med* 2008; **44**(2): 193-201. doi: 10.1152/physiol.00030.2013. doi: 10.1016/j.freeradbiomed.2007.02.006
21. Veneroso C, Tuno M, Javier Gallego J, Collado P. Melatonin reduces cardiac inflammatory injury induced by acute exercise. *J Pineal Res* 2009; **47**(2): 184-191. doi: 10.1111/j.1600-079x.2009.00699.x
22. Kumar K, Naidu M. Effect of oral melatonin on exercise-induced oxidant stress in healthy subjects. *Indian Journal of Pharmacology* 2002; **34**: 256-259.

Comparison of two different dosages of the tranexamic acid on reducing of bleeding during spinal fusion surgery

Ali mohamadian Erdi , Mahzad Yousefian , Mir Hossein Mossavi, Atefeh Shadman

Department of Anesthesiology, School of Medicine, Ardabil University of Medical Sciences, Ardabil, Iran

*Corresponding author; E-mail: dr_mahzad@yahoo.com

Received: 7 August 2018 Accepted: 20 August 2017 First Published online: 4 July 2019

Med J Tabriz Uni Med Sciences Health Services. 2019 August- September; 41(3):78-84

Abstract

Background: One of the problems that influenced surgeon and anesthesiologist in strumental spinal fusion surgery (CD surgery) is the excessive bleeding during surgery. There are different ways for reducing bleeding during surgery such as the intravenous administration of tranexamic. In this study the effect of two doses of tranexamic acid for reducing of bleeding in spinal fusion surgery was evaluated.

Methods: This clinical trial study was performed on 75 patients with class I and II ASA patients scheduled for strumental spinal fusion surgery under the same general anesthesia. The patient's randomly divided into 3 groups. One group received single dose of tranexamic acid and another group received single dose of tranexamic acid plus maintenance dose of tranexamic acid that continued during surgery and the control group received normal saline as a placebo. The blood loss during surgery and until 24 hours later was documented. Bleeding score and surgeon satisfaction scores were recorded.

Results: The amount of blood loss was reduced in both groups receiving the tranexamic acid (934 cc in control group, 664cc in single dose group and 758 cc in single dose plus maintenance dose group). But the difference was not statistically significant. (P value>0.05).

Conclusion: The quality of surgery field, surgeon satisfaction scores and blood transfusion to patients in 3 groups was not significantly different.

Keyword: Tranexamic Acid, Bleeding, Spinal Fusion Surgery.

How to cite this article: mohamadianErdi A, Yousefian M, Mossavi M H, Shadman A. [Comparison of two different dosages of the tranexamic acid on reducing of bleeding during spinal fusion surgery]. Med J Tabriz Uni Med Sciences Health Services. 2019 August- September; 41(3):78-84. Persian.

مقاله پژوهشی

مقایسه اثر دو روش مختلف تزریق ترانگرامیک اسید در کاهش خونریزی ناشی از جراحی تثبیت ستون مهره‌ها (CD گذاری)

علی محمدیان اردی^۱, مهزاد یوسفیان^۱, میرحسین موسوی^۱, عاطفه شادمان^۲

گروه بیهوشی، دانشکده پزشکی، دانشگاه علوم پزشکی اردبیل، اردبیل، ایران
متخصص گروه پزشکی اجتماعی، گروه بیهوشی، دانشکده پزشکی، دانشگاه علوم پزشکی اردبیل، اردبیل، ایران
^{*}نویسنده مسؤول؛ ایمیل: dr_mahzad@yahoo.com

دریافت: ۱۳۹۷/۵/۱۶ پذیرش: ۱۳۹۷/۵/۲۹ انتشار برخط: ۱۳۹۸/۴/۱۳
مجله پزشکی دانشگاه علوم پزشکی و خدمات بهداشتی - درمانی تبریز. مرداد و شهریور ۱۳۹۸؛ (۳)۴۱: ۷۸-۸۴

چکیده

زمینه: یکی از دغدغه‌های جراح و متخصص بیهوشی در عمل جراحی تثبیت ستون مهره‌ها معروف به عمل CD گذاری، میزان زیاد خونریزی در حین جراحی است که علاوه بر مزاحمت برای جراح، عوارض خونریزی و تزریق خون برای بیمار را نیز به همراه دارد. راههای مختلفی برای کاستن از میزان خونریزی حین جراحی استفاده شده است که یکی از آنها استفاده از داروهای آنتی فیربولیتیک از جمله ترانگرامیک اسید می‌باشد. در این مطالعه، تاثیر دو روش مختلف تزریق ترانگرامیک اسید بر کاهش مقدار خونریزی بیماران تحت عمل جراحی تثبیت ستون مهره‌ها، مورد بررسی قرار گرفت.

روش کار: در این کارآزمایی بالینی دو سوکور تعداد ۷۵ بیمار داوطلب جراحی تثبیت ستون فقرات با ASA کلاس I یا II وارد مطالعه شدند. بیماران به طور تصادفی به ۳ گروه تقسیم و با روش یکسان تحت بیهوشی قرار گرفتند. به یک دسته از بیماران داروی ترانگرامیک اسید فقط بصورت تک دوز تزریق و به گروه دوم علاوه بر آن، انفوژیون نگهدارنده دارو در طول جراحی ادامه یافت. به گروه شاهد نرمال سالین به عنوان دارونما تزریق شد. میزان خونریزی در طول عمل و تا ۲۴ ساعت بعد، میزان رضایت جراح و میزان خون تزریق شده به بیمار در اتفاق عمل و پس از جراحی در بخش بسترهای ارزیابی و مورد تجزیه و تحلیل قرار گرفت.

یافته‌ها: میزان خونریزی اگر چه با تزریق داروی ترانگرامیک اسید کاهش یافته بود، ۹۳٪ سی سی در گروه بدون دارو و ۶۶٪ سی سی در گروه تک دوز و ۷۴٪ سی سی در گروه تک دوز و انفوژیون نگهدارنده اما از نظر آماری معنی دار نبود ($P < 0.05$). میزان کیفیت موضع جراحی، رضایت جراح از محل عمل و میزان خون تزریق شده به بیماران در ۳ گروه تقاضوت آماری معناداری نشان ندادند.

نتیجه‌گیری: کاهش میزان خونریزی بدنیال تزریق داروی ترانگرامیک اسید در جراحی تثبیت ستون مهره‌ها در این مطالعه، گرچه از نظر بالینی قابل توجه بود ولی از نظر آماری معنادار نبود. یکی از دلایل آن می‌تواند کمبود تعداد نمونه‌ها باشد. توصیه می‌شود تحقیق مشابه با تعداد بیشتری از نمونه‌ها انجام شود.

کلید واژه‌ها: ترانگرامیک اسید، جراحی تثبیت ستون مهره‌ها، خونریزی

نحوه استناد به این مقاله: محمدیان اردی ع، یوسفیان م، موسوی م ح، شادمان ع. مقایسه اثر دو روش مختلف تزریق ترانگرامیک اسید در کاهش خونریزی ناشی از جراحی تثبیت ستون مهره‌ها (CD گذاری). مجله پزشکی دانشگاه علوم پزشکی و خدمات بهداشتی - درمانی تبریز. مرداد و شهریور ۱۳۹۸؛ (۳)۴۱: ۷۸-۸۴.

حق تأثیف برای مؤلفان محفوظ است.
این مقاله با دسترسی آزاد توسط دانشگاه علوم پزشکی و خدمات بهداشتی - درمانی تبریز تحت مجوز کریپتو کامنز (<http://creativecommons.org/licenses/by/4.0/>) منتشر شده که طبق مفاد آن هرگونه استفاده تنها در صورتی مجاز است که به اثر اصلی به نحو مقتضی استناد و ارجاع داده شده باشد.

مقدمه

روش کار

جامعه‌ی آماری این مطالعه کارآزمایی بالینی parallel بیمارانی هستند که تحت عمل جراحی ثبت مهره‌های توراکولومبار در بیمارستان فاطمی اردبیل قرار گرفته‌اند. این تراپیال در وب سایت IRCT.ir با کد IRCT2015101924601N1 ثبت شد.

معیارهای ورود و خروج: بیماران ۱۸ تا ۶۰ ساله که در ارزیابی قبل از عمل، کلاس ۱ و ASA۲ (کلاس ۱ و ۲ انجمن بیهوشی آمریکا) داشتند پس از اخذ رضایت وارد مطالعه شدند. بیماران دارای مشکلات اععقادی، مصرف داروهای ضداعقاد، سابقه بیماری عروقی قلبی و مغزی، بیماری فشار خون، بیماری عروق محیطی، سابقه ترومبوز وریدهای عمقی، سابقه آمبولی ریوی، بیماران دارای کلاس ASA بیش از II و زنان باردار و شیرده از مطالعه خارج شدند. ترانگرامیک اسید بعنوان داروی مداخله در این مطالعه بکار رفت. بعد از القای بیهوشی به روش یکسان در گروهها (روش بیهوشی در ادامه توضیح داده خواهد شد) بیماران در سه گروه تقسیم شدند.

گروه اول (گروه A) به عنوان گروه شاهد ۱۰۰ سی سی نرمال سالین بصورت انفوژیون دریافت کردند.

گروه دوم (گروه B) پس از بیهوش شدن ترانگرامیک اسید به میزان ۱۰ میلی گرم به ازای هر کیلوگرم وزن بیمار دریافت کردند. در گروه سوم (گروه C) علاوه بر دریافت این میزان از داروی ترانگرامیک اسید انفوژیون دارو به میزان ۱ میلی گرم به ازای هر کیلوگرم وزن بیمار در ساعت در طول عمل ادامه یافت.

پس از اتمام جراحی مدت زمان جراحی و حجم کل خون موجود در ساکشن از طریق کسر نمودن مقدار سرم استفاده شده از مقدار خون و سرم جمع‌آوری شده در ساکشن بعلاوه خون موجود در گازهای جراحی (توزین گازها) و خون خارج شده از درن محل عمل تا ۲۴ ساعت پس از عمل جراحی محاسبه و ثبت گردید.

آزمایشات INR، PTT، PT، CBCdiff (قبل از جراحی، زمان شروع و خاتمه عمل)، فشار خون (SBP، DBP، MAP) و تعداد ضربان قلب قبل از القاء بیهوشی و در دقایق ۳۰، ۹۰، ۱۲۰ و (قبل از بیهوشی و حین عمل) ۱۸۰ و همچنین نمره کیفیت موضع عمل جراحی از نظر خونریزی براساس مقیاس بوزارت (Boezart) (جدول ۱) (طول عمل و ۲۴ ساعت پس از عمل) و میزان رضایت جراح از کترول خونریزی با مقیاس پنج تایی لیکرت (Likert) (جدول ۲) شامل معیارهای خیلی بد، بد، متوسط، خوب و عالی (در دقایق ۳۰، ۹۰، ۱۲۰ و ۱۸۰) ثبت شد.

با توجه به طول مدت مطالعه، نمونه‌های در دسترس و مطالعات مشابه انجام یافته، حجم نمونه ۷۵ نفر در نظر گرفته شد که در سه گروه ۲۵ نفره قرار گرفتند. تخصیص تصادفی با روش Block Balance Random (سایز بلوکها = ۶) انجام شد و

استفاده از ابزارهای فلزی جهت ثبت مهره‌های نایابدار ناشی از تروما به ستون فقرات یکی از روشهای شایع درمان شکستگی مهره‌ها و جلوگیری از صدمات وارده به نخاع می‌باشد. استفاده از پیچهای پایه‌دار در جراحی ستون مهره‌ها به CD گذاری معروف است.

جراحی روی ستون فقرات معمولاً با خونریزی زیاد حین عمل همراه است و شدت خونریزی با تکنیک جراحی، مدت زمان عمل، تعداد ستون مهره‌ای که بهم وصل می‌شوند، داروی بیهوشی، فشار متوسط شریانی، اختلال پلاکتی، اختلال انعقادی ترقیقی و فیرینولیز اولیه مرتبط است. اقدامات مفیدی جهت کاهش خونریزی بکار می‌روند مانند دادن وضعیت صحیح به بیمار جهت کاهش فشار شکمی، هموستاز جراحی و کترول هیپوتانسیون (۱).

استفاده از عوامل داروئی که تشکیل لخته را تسريع می‌کنند نیز یکی از روشهای کاهش میزان خونریزی است. آنالوگهای صناعی لیزین مثل آمینو کاپروئیک اسید و آپروتینین با مکانیسم کاهش فیرینولیز باعث کاهش خونریزی حین عمل می‌شوند، اما در بیماران با مشکلات قلبی انجام این کار نگران کننده است (۱).

داروی ترانگرامیک اسید به عنوان یک داروی آنتی فیرینولیتیک با قیمت مناسب، جهت کترول خونریزی در دسترس می‌باشد. این دارو مشتق ستتیک اسیدآمینه لیزین بوده و با اثرگذاری روی پلاسمینوژن و ممانعت از تبدیل آن به پلاسمین از فیرینولیز جلوگیری نموده و باعث پایداری لخته خون می‌شود (۲). از این دسته دارویی در درمان هموفیلی، بیماری فون ویلبراند، منوراژی اولیه و کترول خونریزی گوارشی و ارولوژی، جراحیهای کاردیوتوراسیک و بیماران مبتلا به ترومبوسیتوپنی، همچنین جراحیهای بزرگ ارتوپدی و ستون فقرات استفاده شده است (۳، ۴). عوارضی مانند تهوع، استفراغ، سردرد، تاری دید و سرگیجه با مصرف دارو گزارش شده است ولی بطور کلی این دارو، یک داروی ایمن است. گرچه موارد نادری از تشکیل ترومبوز گزارش شده است ولی در هر حال شواهدی برای افزایش خطر تشکیل ترومبوز در جراحیهای بزرگ وجود ندارد (۵).

ترانگرامیک اسید را می‌توان با تزریق بولوس ۱۰ میلی گرم به ازای هر کیلوگرم وزن بیمار شروع و پس از آن با تزریق مدادوم یک میلی گرم به ازای هر کیلوگرم وزن بیمار در ساعت ادامه داد. یک مطالعه متاآنالیز در باره استفاده از ضد فیرینولیتیکها در بیماران ارتوپدی نشان داد که هر چند هم آپروتینین و هم ترانگرامیک اسید در کاهش از دست رفتن خون موثر هستند، داده‌ها برای نشان دادن تاثیر آمینوکاپروئیک اسید کافی نبود (۶).

این تحقیق جهت بررسی میزان تاثیر داروی تزریقی ترانگرامیک اسید با دو روش تجویز مختلف، بر روی میزان خونریزی ناشی از عمل جراحی ثبت ستون فقرات با استفاده از ابزار (معروف به CD گذاری) در بیمارستان فاطمی اردبیل انجام شد.

صورت خونریزی زیاد از محل عمل و با توجه به هموگلوبین اولیه و با همانگی جراح در صورت نیاز تزریق خون بصورت پک سل انجام شد. در این مطالعه مقرر شد در مواردی که خونریزی بیمار کترول نمی‌شد تزریق TNG با دوز ۵۰mcg/Min و با هدف کاهش فشار خون تا حداقل $MAP=60\text{ mmHg}$ انجام گیرد و از آن به عنوان اقدام اضافی جهت کترول خونریزی یاد شود.

یافته‌ها

این مطالعه بر روی ۷۵ بیمار که جهت انجام عمل جراحی فیکساسیون ستون مهره‌های توراکولومبار به بیمارستان فاطمی اردبیل مراجعه کردند انجام شد که شامل ۳ گروه ۲۵ نفره بودند. محدوده سنی بیماران مورد مطالعه بین ۱۸ تا ۶۰ سال بود. میانگین سنی بیماران مورد مطالعه معادل با 44.43 ± 13.67 سال بودست آمد. جدول ۳ مقایسه متغیرها را در بین گروهها در پایه نشان می‌دهد. میانگین سنی بیماران مورد مطالعه به سال، $48.4/4.7$ در گروه A و $40.6/4.7$ در گروه B و $40.6/4.7$ در گروه C بود و اختلاف آماری معنی‌داری بین سه گروه از نظر توزیع سنی مشاهده نشد ($P>0.05$). میزان وزن، هماتوکریت، تعداد پلاکت، PT، PTT تعداد ضربان قلب، فشارخون سیستولیک، دیاستولیک و فشار متوسط شریانی در زمان قبل از القای بیهودشی ثبت و مقایسه گردید. تفاوت آماری معنی‌داری بین سه گروه از نظر معیارهای ذکر شده مشاهده نشد. همچنین سه گروه مورد مطالعه از نظر جنسیت و مقایسه قرار گرفتند که مشابه بودند. طول مدت عمل بررسی و مقایسه قرار گرفتند که مشابه بودند. طول مدت عمل جراحی در ۳ گروه مورد مطالعه مورد ارزیابی قرار گرفت. با توجه به $0.13/P$ اختلاف آماری معناداری بین ۳ گروه مشاهده نشد. میانگین خونریزی در اثر عمل جراحی با توجه به خون موجود در ساکشن (پس از کسر نمودن سرم شستشو) و گازهای جراحی آگشته به خون (تزویین با ترازو) و خون خارج شده از درن جراحی تا ۲۴ ساعت پس از عمل مورد ارزیابی قرار گرفت. با توجه به ارقام بدست آمده خونریزی در گروه A (بدون دارو) بیشتر از گروههای دیگر بوده است ولی از نظر آماری معنادار نمی‌باشد. ($P>0.05$). تعداد واحد گلوبول قرمز فشرده (پک سل) که به علت شدت خونریزی، در اتاق عمل و در بخش به بیمار تزریق شده است مورد بررسی قرار گرفت. با توجه به نتایج بدست آمده میزان خون تزریقی در گروههای مختلف تفاوت آماری معناداری نداشته است. میزان کیفیت موضع جراحی بر اساس معیار بوزارت و میزان رضایتمندی جراح براساس معیار لیکرت در دقایق ۳۰، ۹۰، ۱۲۰ و ۱۸۰ تعیین گردید. براساس نتایج بدست آمده در تمام این دقایق کیفیت موضع جراحی و میزان رضایتمندی جراح بر اساس معیارهای مربوطه تفاوت آماری معنی‌داری نداشتند. تعداد ضربان قلب در زمان قبل از القای بیهودشی و دقایق

تحصیص گروهها با نسبت ۱:۱:۱ بود و بیماران در سه گروه قرار گرفتند: گروه درمان ترانکرامیک اسید با دوز بالا، گروه درمان ترانکرامیک اسید با دوز پایین و گروه پلاسبو. در این مطالعه دوسوکور جهت کورسازی مطالعه سه بسته دارویی تهیه شد. داخل بسته‌ی A یک سرنگ ۱۰ سی سی حاوی ۱۰ سی سی نرمال سالین و یک سرنگ ۵ سی سی حاوی ۵ سی سی نرمال سالین به عنوان بسته‌ی دارونما وجود داشت. بسته B حاوی یک سرنگ ۱۰ سی سی حاوی ۱۰۰۰ میلی‌گرم ترانکرامیک اسید به حجم ۱۰ سی سی و یک سرنگ ۵ سی سی حاوی نرمال سالین بود. و بسته C حاوی یک سرنگ ۱۰ سی سی حاوی ۱۰۰۰ میلی‌گرم ترانکرامیک اسید و یک سرنگ ۵ سی سی حاوی ۵۰۰ میلی‌گرم ترانکرامیک اسید بود. در خصوص هر سه بسته دارویی محنتیات سرنگ ۱۰ سی سی با دوز ۱۰ سی سی به ازای هر کیلوگرم وزن بیمار با میکروسیست و با اضافه نمودن نرمال سالین تا حجم ۱۰۰ سی سی در عرض ۱۰ دقیقه انفوژیون شد و محنتیات سرنگ ۵ سی سی با اضافه نمودن نرمال سالین به حجم ۵۰ سی سی رسانده و با پمپ انفوژیون با سرعت ۰/۱ سی سی به ازای هر کیلوگرم وزن بیمار انفوژیون شد. اطلاعات بیماران با استفاده پرسشنامه محقق ساخته مشتمل بر مشخصات بیمار (سن، جنس، وزن، سابقه بیماری و یا مصرف دارو)، نتایج آزمایش خون قبل از عمل و تعداد ضربان قلب، میانگین فشار شریانی، فشارخون سیستولیک و دیاستولیک، درجه رضایتمندی جراح از محیط عمل جراحی و نمره کیفی بوزارت در دقایق ۳۰، ۹۰، ۱۲۰ و ۱۸۰، مقدار خونریزی حین عمل جراحی، مدت زمان جراحی و عوارض احتمالی مصرف ترانکرامیک اسید تهیه گردید. اطلاعات کاد بنده شده وارد نرمافزار SPSS-18 شده و با آزمونهای آماری کای دو، و آزمون ANOVA مورد تجزیه و تحلیل قرار گرفتند. انجام بیهودشی در هر ۳ گروه به طور یکسان انجام گرفت. پس از انجام مانیتورینگ معمول شامل فشارخون غیرتهاجمی، پالس اکسی متري، ECG و $ETCO_2$ ، پیش داروی فنتانیل با دوز ۲ میکروگرم و میدازولام 0.02 میلی‌گرم به ازاء هر کیلوگرم وزن بدن تجویز گردید. سپس القاء بیهودشی با پروپوفول $2/5$ و آتراکوریوم 0.5 میلی‌گرم به ازای هر کیلوگرم انجام شد. بعد از لوله‌گذاری تراشه حفظ بیهودشی با انفوژیون پروپوفول به میزان 100 میکروگرم به ازاء هر کیلوگرم در دقیقه و رمی فنتانیل با دوز $0.1mcg/kg/min$ برقرار و تهییه کترله با هدف حفظ نورموکاپنی و با مخلوط 50% نیتروز اکساید و اکسیژن انجام گردید. پس از پایان یافتن جراحی بازگرداندن شلی عضلانی با نئوستگمین 0.04 و آتروپین 0.02 میلی‌گرم به ازای هر کیلوگرم صورت گرفت. به تمام بیماران قبل از القاء بیهودشی 3 میلی‌لیتر به ازاء هر کیلوگرم سرم ایزوتونیک تزریق و در حین جراحی نیز مایع نگهدارنده بر حسب وزن بیمار تجویز و خونریزی با سرم رینگر به نسبت 3 به 1 جبران گشت. در

و دیاستولیک به غیر از دقیقه ۳۰ بعد از شروع جراحی در سایر زمانها قابل توجه نبود. همچنین متوسط فشار شریانی در زمان قبل از القای بیهوشی و دقایق ۳۰، ۶۰، ۹۰، ۱۲۰ و ۱۸۰ ثبت گردید. در بررسی اطلاعات میانگین فشار خون متوسط در زمانهای مختلف، در دقیقه ۶۰ بعد از شروع جراحی اختلاف معنی داری در میانگین فشار خون متوسط شریانی در گروه B با سایر گروهها دیده می شود ($P=0.04$). اختلاف موجود بین سه گروه از نظر میانگین فشار خون متوسط شریانی به غیر از دقیقه ۶۰ بعد از شروع جراحی در سایر زمانها قابل توجه نبود. هیچگونه گوارشی از عوارض جانبی ترومبوتیک ناشی از دارو در بیماران، (DVT، آمبولی ریه، CAD، CVA) پس از ۲۴ ساعت از عمل وجود نداشت. هیچگونه عارضه ای در ریکاوری (تهوع، استفراغ، درد شکم، اسهال و بثورات جلدی) ثبت نشده بود. موارد نیازمند تجویز داروی اضافی (TNG) جهت کنترل بهتر فشار خون ارزیابی گردید. هیچیک از بیماران به داروی اضافی جهت کنترل فشار خون نیاز نداشتند.

قلب در سه گروه محاسبه گردید و با هم مقایسه شدند. میانگین تعداد ضربان ۳۰، ۶۰، ۹۰، ۱۲۰ و ۱۸۰ اندازه گیری شد. میانگین تعداد ضربان تعداد ضربان قلب در سه گروه براساس آزمون ANOVA تفاوت چشمگیری نداشتند. فشارخون سیستولیک در زمان قبل از القای بیهوشی و دقایق ۳۰، ۶۰، ۹۰، ۱۲۰ و ۱۸۰ ثبت گردید. در بررسی اطلاعات میانگین فشار خون سیستولیک و انجام آزمون های تعقیبی ANOVA در زمانهای مختلف، در دقیقه ۳۰ بعد از شروع جراحی اختلاف معنی داری در میانگین فشار خون سیستولیک در گروه B با سایر گروهها دیده می شود ($P=0.04$). فشارخون دیاستولیک در زمان قبل از القای بیهوشی و دقایق ۳۰، ۶۰، ۹۰، ۱۲۰ و ۱۸۰ ثبت گردید. در بررسی اطلاعات میانگین فشار خون دیاستولیک و انجام آزمون های تعقیبی Anova در زمانهای مختلف، در دقیقه ۳۰ بعد از شروع جراحی اختلاف معنی داری در میانگین فشار خون دیاستولیک در گروه B با سایر گروهها دیده می شود ($P=0.04$). اختلاف موجود بین سه گروه از نظر میانگین فشارخون سیستولیک

جدول ۱: ارزیابی شدت خونریزی براساس معیار بوزارت

نمره	ارزیابی شدت خونریزی بر اساس معیار بوزارت
۰	بدون خونریزی (شرایط شبه جسد)
۱	خونریزی ناچیز (بدون نیاز به ساکشن)
۲	خونریزی مختصر (ساکشن گهگاه)
۳	خونریزی کم (ساکشن مرتب، چند ثانیه بعد از برداشتن ساکشن فیلد پر از خون می شود)
۴	خونریزی متوسط (ساکشن مرتب، بلافضله بعد از برداشتن ساکشن فیلد پر از خون می شود)
۵	خونریزی شدید (با وجود ساکشن مداوم فیلد پر از خون و ادامه جراحی ناممکن می شود)

جدول ۲: میزان رضایت جراح براساس معیار لیکرت

نمره	رضایت جراح	خیلی بد	بد	متوسط	خوب	عالی
۱			۲	۳	۴	۵

جدول ۳: ویژگیهای شرکت کنندگان در پایه

P value	C	B	A	متغیرها
۰/۱۰	۴۰/۶±۱۳/۳	۴۳/۷±۱۳/۵	۴۸/۹±۱۳/۴	سن (سال)
۰/۲۹	۷۳/۸±۱۰/۶	۷۹/۱۵۲±۷/۷	۷۵/۳±۹/۸	وزن (کیلوگرم)
۰/۹۹	۳۹/۵±۴/۵	۳۹/۷±۴/۰	۳۹/۵±۴/۵	هماتوکریت
۰/۳۷	۲۱۶۴۷۶±۴۹۶۲۷	۲۴۱۰۰±۱۱۶۵۹۹	۲۵۳۸۳۳±۸۲۰۹۵	پلاکت
۰/۴۳	۱۲/۶±۰/۶	۱۲/۳±۰/۶	۱۲/۶±۰/۸	PT
۰/۸۵	۳۰/۴±۱/۲	۲۹/۹±۴/۰	۳۰/۲±۱/۳	PTT
۰/۴۲	۷۹/۸±۱۲/۹۵	۷۷/۷۲±۱۵/۰۱	۷۴/۲۸±۱۱/۴۴	تعداد ضربان قلب
۰/۳۰	۱۳۶/۸۸±۲۰/۲۳	۱۲۷/۰۴±۲۳/۰۴	۱۳۴/۲۸ ±۲۶/۰۴	فشار سیستولی
۰/۲۵	۸۶/۰۴±۱۱/۳۶	۷۹/۴۸±۱۵/۰۹	۸۴/۵۲±۱۶/۰۸	فشار دیاستولی
۰/۰۸	۹۶/۴۸±۱۵/۴۱	۸۶/۴۶±۲۱/۲۹	۹۷/۰۴±۱۷/۲۶	فشار متوسط شریانی

P value	C	B	A	جدول ۴: میانگین میزان خونریزی، تعداد پکدل تزریقی
۰/۱۲	۱۳۱/۰±۴۶/۱	۱۵۹/۰±۰۷	۱۷۴/۰±۳۷/۹	مدت جراحی (دقیقه)
۰/۱۲	۴۵۰ (۳۲۰)	۴۱۴ (۲۵۴)	۵۹۴ (۳۸۲)	خون داخل ساکشن
۰/۴۶	۹۳ (۷۴)	۹۵ (۷۳)	۱۱۶ (۶۶)	خون گاز جراحی
۰/۱۴	۵۴۳ (۳۷۱)	۵۰۹ (۳۰۶)	۷۱۰ (۴۱۵)	مجموع خونریزی داخل اتاق عمل
۰/۴۵	۲۰۳ (۱۱۰)	۱۵۵ (۱۴۸)	۲۲۴ (۲۱۷)	خون موجود در درنها در طی ۲۴ ساعت
۰/۱۳	۷۴۶	۶۶۴	۹۳۴	جمع کل خونریزی تا ۲۴ ساعت بعد از جراحی
۰/۱۱	۱/۶۰ (۰/۵۰)	۱/۸۰ (۰/۴۱)	۱/۵۲ (۰/۰۵۱)	تزریق پکدل در اتاق عمل
۰/۲۳	۱/۸۸ (۰/۳۳)	۱/۸۰ (۰/۴۱)	۱/۶۸ (۰/۰۴۸)	تزریق پکدل در بخش

بحث

به دریافت خون در بیمارانی که ترانگرامیک اسید گرفته بودند آشکارا کاهش یافته بود. جهت قطعی شدن اینمی استفاده از ترانگرامیک اسید در اعمال جراحی روی ستون فقرات بررسی‌های بیشتری پیشنهاد شده بود (۹ و ۱۰).

در مطالعه‌ی ما، میانگین خونریزی در اثر عمل جراحی با توجه به خون موجود در ساکشن (پس از کسر نمودن سرم شستشو) و گازهای جراحی آغشته به خون (توزین با ترازو) و خون خارج شده از درن جراحی تا ۲۴ ساعت پس از عمل مورد ارزیابی قرار گرفت. با توجه به ارقام بدست آمده میانگین کل خونریزی در گروه A (بدون دارو) در اتاق عمل و تا ۲۴ ساعت بعد در بخش بسترهای (۹۳۴ سی سی) بیشتر از گروه B (۶۶۴ سی سی) و گروه C (۷۵۸ سی سی) بوده است ولی این تفاوت از نظر آماری معنادار نبود ($P>0/05$).

در مطالعه‌ی ما، میزان کیفیت موضع جراحی بر اساس معیار بوزارت و میزان رضایتمندی جراح بر اساس معیار لیکرت در دقایق ۳۰، ۶۰، ۹۰، ۱۲۰ و ۱۸۰ تعیین گردید. میانه اعداد ثبت شده، محاسبه و مقایسه شدند. در تمام موارد میانه نمره کیفیت جراحی بوزارت ۳ و نمره رضایت لیکرت ۴ (فقط در گروه A در دقیقه ۱۸۰ نمره ۵ گزارش شد) بود (جدول ۱). براساس نتایج بدست آمده در تمام این دقایق کیفیت موضع جراحی و میزان رضایتمندی جراح بر اساس معیارهای مربوطه تفاوت آماری معنی‌داری نداشتند. طول مدت عمل جراحی در ۳ گروه مورد مطالعه مورد ارزیابی قرار گرفت. که بطور متوسط ۱۴۶ دقیقه گزارش شد و با توجه به $P=0/۱۳$ اختلاف آماری معناداری بین ۳ گروه از نظر طول مدت جراحی مشاهده نشد. در مطالعه‌ی ما، هیچگونه گزارشی از عوارض جانبی ترومبوتیک ناشی از دارو در بیماران، (DVT، آمبولی ریه، CVA) پس از ۲۴ ساعت از عمل وجود نداشت. هیچگونه عارضه‌ای در ریکاوری (نهوع، استفراغ، درد شکم، اسهال و بثورات جلدی) ثبت نشد، بطور کلی این دارو، یک داروی ایمن است. گرچه موارد نادری از تشکیل ترومبوز گزارش شده است ولی در هر حال شواهدی برای افزایش خطر تشکیل

استفاده از عوامل داروئی که تشکیل لخته را تسريع می‌کنند از روشهای کاهش میزان خونریزی در جراحیهای ستون فقرات است. آنالوگهای صناعی لیرین مثل آمینو کاپروئیک اسید و آپروتینین با مکانیسم کاهش فیبرینولیز باعث کاهش خونریزی حین عمل می‌شوند، اما در بیماران با مشکلات قلبی انجام این کار نگران کننده است (۷). داروی ترانگرامیک اسید به عنوان یک داروی آنتی فیبرینولیتیک با قیمت مناسب، جهت کنترل خونریزی در دسترس می‌باشد. این دارو مشتق سنتیک اسیدآمینه لیزین بوده و با اثرگذاری روی پلاسمینوژن و ممانعت از تبدیل آن به پلاسمین از فیبرینولیز جلوگیری نموده و باعث پایداری لخته خون می‌شود (۲). یک مطالعه متالانالیز درباره استفاده از ضد فیبرینولیتیکها در بیماران ارتوپدی نشان داد که هر چند هم آپروتینین و هم ترانگرامیک اسید در کاهش از دست رفتن خون موثر هستند، داده‌ها برای نشان دادن تاثیر آمینوکاپروئیک اسید کافی نبود (۶). این مطالعه جهت بررسی اثرات متفاوتی از دوزهای مختلف داروی تزریقی ترانگرامیک اسید در سه گروه مقایسه، گروه پلاسبو، گروه با دوز کم و گروه با دوز بالا طراحی شد. در مطالعه رترواپسکیو انجام یافته توسعه Endres و همکاران، تعداد ۹۷ بیمار تحت عمل جراحی تنگی دژنراتیو مهره‌های کمری در دو گروه با دریافت ترانگرامیک اسید و بدون دریافت دارو تحت بررسی قرار گرفتند؛ گروه اول ترانگرامیک اسید با دوز ۱ گرم قبل از جراحی و ۱ گرم و ۶ و ۱۲ ساعت پس از عمل دریافت کرده بودند. میزان خونریزی در گروه دریافت کننده ترانگرامیک اسید بطور معنی‌داری کمتر از گروه کنترل بود. همچنین، میزان هموگلوبین پس از عمل (۱۱/۰۸) بالاتر از گروه کنترل (۱۰/۲۹) بود. در این مطالعه به علت میزان کم خونریزی و نیاز به دریافت خون در دو گروه، تفاوت معنی‌داری در ترانسفسوزیون خون در دو گروه حاصل نشد (۸).

در یک بررسی متالانالیز توسط Baohui yang و همکاران از دسامبر ۱۹۹۶ تا سپتامبر ۲۰۱۲ بر روی ۹ مطالعه شامل ۵۸۱ بیمار که در حوالی عمل جراحی روی مهره‌ها با ترانگرامیک اسید تحت درمان قرار گرفته بودند، اتلاف خون کمتر بود. همچنین میزان نیاز

نویسنده‌گان مقاله مراتب سپاس خود را از کلیه افرادی که در انجام این تحقیق ما را باری کردند، اعلام می‌دارد.

ملاحظات اخلاقی

ملاحظات اخلاقی ندارد

منابع مالی

منابع مالی ندارد

منافع متقابل

مؤلف اظهار می‌دارد که منافع متقابلی از تالیف یا انتشار این مقاله ندارد.

مشارکت مؤلفان

ع م ا، م ی و همکاران طراحی، اجرا و تحلیل نتایج مطالعه را بر عهده داشتند. نویسنده مسئول همچنین مقاله را تالیف نموده و نسخه نهایی آن را خوانده و تایید کرده است.

تروموبوز در جراحیهای بزرگ وجود ندارد (۵). در مطالعه Jashvant Poeran و همکاران، از ۵۰ بیمارستان در USA تعداد ۸۷۲۴۱۶ بیمار از سال ۲۰۱۲ تا ۲۰۰۶ که تحت آرتروپلاستی توtal هیپ و زانو قرار گرفته بودند بررسی شدند. بیماران در ۴ گروه قرار گرفتند (بدون تزریق ترانگرامیک اسید، تزریق کمتر یا مساوی ۱۰۰۰ میلی‌گرم، تزریق ۲۰۰۰ میلی‌گرم و تزریق بیشتر یا مساوی ۳۰۰۰ میلی‌گرم).

نتیجه‌گیری

نتایج مطالعه نشان داد که در گروههای دریافت کننده‌ی دارو نسبت به گروه با عدم دریافت داروی ترانگرامیک اسید، میزان کمتری ترانسفوزیون خون آلورزینیک یا اتو لوگ انجام شده بود. همچنین ریسک عوارض ترومبوآمبولیک و نارسایی کلیه و سایر عوارض (MI، CVA و مورتالیتی بیمارستانی) افزایش معنی داری نداشت.

قدرتانی

این مقاله بر گرفته از پایاننامه دکتری حرفه‌ای تخصصی بیهوشی و مراقبتها ویژه به شماره ۰۵۶ می‌باشد. بدینوسیله

References

1. Micael K. Textbook of miller. s anesthesia chapter: anesthesia for orthopedic surgery 2015; (79): 2493.
2. Dunn C J, Goa K L. Tranexamic acid: a review of its use in surgery and other indications. *Drugs* 1999; **57**(6): 1005-1032. doi: 10.2165/00003495-199957060-00017
3. Krohn C D, Sorensen R, Lange J E, Riise R, Bjornsen S, Brosstad F. Tranexamic acid given into the wound reduces postoperative blood loss by half in major orthopaedic surgery. *The European journal of surgery Supplement: Acta chirurgica Supplement* 2003; **588**: 57-61.
4. Kruidering AJT-BGK-M. Phamacology Examination and Board Review 2013.
5. Wellington K, Wagstaff A J. Tranexamic acid: a review of its use in the management of menorrhagia. *Drugs*. 2003; **63**(13): 1417-1433. doi: 10.2165/00003495-200363130-00008
6. Dorosenberg A, Thomas J. Blanck. chapter anesthesia for orthopedic surgery. 6th ed. 2012.
7. Edition mku. chapter: anesthesia for orthopedic surgery. Textbook of miller,s anesthesia 2015; (79): 2403.
8. Endres S, Heinz M, Wilke A. Efficacy of tranexamic acid in reducing blood loss in posterior lumbar spine surgery for degenerative spinal stenosis with instability: a retrospective case control study. *BMC surgery* 2011; **11**: 29. doi: 10.1186/1471-2482-11-29
9. Yang B, Li H, Wang D, He X, Zhang C, Yang P. Systematic review and meta-analysis of perioperative intravenous tranexamic acid use in spinal surgery. *PloS one* 2013; **8**(2): e55436. doi: 10.1371/journal.pone.0055436
10. Choi W S, Irwin M G, Samman N. The Effect of Tranexamic acid on blood loss during orthognathic surgery: a randomized controlled trial. *Journal of oral and maxillofacial surgery: official journal of the American Association of Oral and Maxillofacial Surgeons* 2009; **67**(1): 125-133. doi: 10.1016/j.joms.2008.08.015

Electrochemical determination of malondialdehyde biomarker in exhaled breath condensate using poly arginine functionalized by graphene quantum dots and chitosan

Fozieh Mokhtari¹, Mohammad Hasanzadeh^{2*} , Ahad Mokhtarzadeh³, Nasrin Shadjou⁴

¹Pharmaceutical Analysis Research Center, Tabriz University of Medical Sciences, Tabriz, Iran

²Drug Applied Research Center, Tabriz University of Medical Sciences, Tabriz, Iran

³Immunology Research Center, Tabriz University of Medical Sciences, Tabriz, Iran

⁴Nano Technology Research Center, Urmia University, Urmia, Iran

*Corresponding author; E-mail: mhmmmd_hasanzadehm@yahoo.com hasanzadehm@tbzmed.ac.ir

Received: 19 August 2017 Accepted: 4 November 2017 First Published online: 4 July 2019

Med J Tabriz Uni Med Sciences Health Services. 2019 August- September; 41(3):85-94

Abstract

Background: Lipid peroxidation is a prominent manifestation of free radical activity in biological systems, and it is involved in the development of different diseases such as cancer or cardiovascular and liver diseases. Malondialdehyde (MDA) is globally recognized as a scientifically accepted biomarker of oxidative stress. Due to the significance of MDA as a marker of lipid peroxidation and because of its elevations in various diseases, the assessment of MDA with new and reliable assays, the development of a fast, sensitive, and selective method to detect MDA with simple instruments is necessary.

Methods: This study used the electro polymerization of a low toxic and biocompatible polymer with entitle poly arginine-graphene quantum dots-chitosan (PARG-GQDs-CS) as a novel strategy for surface modification of glassy carbon (GC) surface and preparation a new interface for measurement of MDA in human exhaled breath condensate (EBC). Nanocomposite PARG/CS/GQDs the method of precipitation out of place (*ex situ*) on the electrode surface was prepared. To verify sequestration nanobiopolymer synthesized Scanning electron microscope images (SEM) were recorded. To identify and study the behavior of malondialdehyde electrochemical methods such as cyclic voltammetry and differential pulse voltammetry were used.

Results: The scanning electron microscopy (SEM) images indicated immobilization of uniformly CS and GQDs onto PARG film. The modified electrode appeared as an effective electro activity for detection of MDA. Under the optimized analysis conditions and physiological pH, the prepared sensor showed one oxidation processes for MDA at potentials about 1 V vs. Ag/AgCl with a low limit of quantification (LLOQ) 5.94 nM.

Conclusion: The Glassy carbon electrod modified by poly-arginine/chitosan/graphene quantum dots, has good electrical activity for Electro-oxidation malondialdehyde that could be due to synergistic effect poly-arginine, graphene quantum dots and chitosan to create many active sites for this purpose.

Keyword: Malondialdehyde, Biomarker, Poly amino acid, Chitosan, Graphene quantum dots, Nanosensor, Electrochemistry.

How to cite this article: Mokhtari F, Hasanzadeh M, Mokhtarzadeh A, Shadjou N .[Electrochemical determination of malondialdehyde biomarker in exhaled breath condensate using poly arginine functionalized by graphene quantum dots and chitosan]. Med J Tabriz Uni Med Sciences Health Services. 2019 August- September; 41(3):85-94. Persian.

مقاله پژوهشی

تعیین مقدار الکتروشیمیایی بیومارکر مالون دی آلدھید در نمونه‌های بازدم انسانی با استفاده از پلی‌آرژینین عامل‌دار شده با نقاط کوانتومی گرافن و کیتوسان

فوزیه مختاری^۱، محمد حسن زاده^{۲*}، احمد مختارزاده^۲، نسرین شادجو^۲

^۱ مرکز تحقیقات آنالیز داروئی، دانشگاه علوم پزشکی تبریز، تبریز، ایران

^۲ مرکز تحقیقات ایمونولوژی، دانشگاه علوم پزشکی تبریز، تبریز، ایران

^۳ پژوهشکده نانو فناوری، دانشگاه ارومیه، ارومیه، ایران

* نویسنده مسؤول؛ ایمیل: mhmmmd_hasanzadeh@yahoo.com hasanzadehm@tbzmed.ac.ir

دریافت: ۱۳۹۶/۵/۲۸ پذیرش: ۱۳۹۶/۸/۱۳ انتشار پرخط: ۱۳۹۸/۴/۱۳
مجله پژوهشی دانشگاه علوم پزشکی و خدمات بهداشتی - درمانی تبریز، مرداد و شهریور ۱۳۹۸، ۴۱(۳):۸۵-۹۴

چکیده

زمینه: پراکسیداسیون لبیدی یک شاخص مهم فعالیت رادیکال‌های آزاد در سیستم‌های بیولوژیک است و در ایجاد بیماری‌های مختلف مانند سرطان، بیماری‌های قلبی و عروقی و کبدی مشارکت دارد. مالون دی آلدھید یکی از فراورده‌های مهم پراکسیداسیون لبیدی است و به عنوان بیومارکر تشخیصی استرس اکسیداتیو به صورت جهانی پذیرفته شده است. با توجه به اهمیت مالون دی آلدھید به عنوان یک بیومارکر تشخیصی پراکسیداسیون لبیدها و به دلیل جایگاه آن در بیماری‌های مختلف، تشخیص مالون دی آلدھید با ایزار ساده کار ضروری است.

روش کار: در این مطالعه کاربرد الکتروشیمیایی الکتروود کربن شیشه‌ای اصلاح شده با نانوکامپوزیت پلی‌آرژینین/کیتوسان/ نقاط کوانتومی گرافن به عنوان پلیمری زیست سازگار و با سیمیت کم برای اندازه‌گیری مالون دی آلدھید در نمونه‌های بازدم انسانی برسی شد. نانوکامپوزیت پلی‌آرژینین/کیتوسان/ نقاط کوانتومی گرافن به روش ترسیب خارج از محل بر سطح الکتروود تهیه شد. برای تأیید ترسیب نانوپلیمر ستر شده، تصاویر میکروسکوپ الکترونی روبشی ثبت گردید. جهت تشخیص و بررسی رفتار مالون دی آلدھید از تکنیک‌های الکتروشیمیایی همچون ولتاگری پلاس تفاضلی استفاده شد.

یافته‌ها: نتایج حاصل از تصاویر میکروسکوپ الکترونی ثابت می‌کند که پراکنده‌گی نقاط کوانتومی گرافن و کیتوسان بر روی سطح پلی‌آرژینین با موفقیت انجام شده است. الکتروود اصلاح شده فعالیت الکتریکی مناسبی برای تشخیص مالون دی آلدھید نشان می‌دهد. کمترین حد تعیین مقدار برای مالون دی آلدھید در شرایط pH فزیولوژیک و پتانسیل حدود ۱ ولت نسبت به Ag/AgCl می‌باشد. میلی مولار محاسبه شد.

نتیجه گیری: نتایج نشان می‌دهد که الکتروود کربن شیشه‌ای اصلاح شده با پلی‌آرژینین/کیتوسان/ نقاط کوانتومی گرافن، فعالیت الکتریکی خوبی برای الکترواکسیداسیون مالون دی آلدھید نشان می‌دهد که می‌تواند ناشی از اثر هم‌افزایی پلی‌آرژینین، نقاط کوانتومی گرافن و کیتوسان در ایجاد سایت‌های فعال فراوان برای این منظور باشد.

کلید واژه‌ها: مالون دی آلدھید، بیومارکر، پلی‌آمینواسید، کیتوسان، نقاط کوانتومی گرافن، نانو حسگر، الکتروشیمی

نحوه استناد به این مقاله: مختاری ف، حسن زاده م، مختارزاده ا، شادجو ن. تعیین مقدار الکتروشیمیایی بیومارکر مالون دی آلدھید در نمونه‌های بازدم انسانی با استفاده از پلی‌آرژینین عامل‌دار شده با نقاط کوانتومی گرافن و کیتوسان. مجله پژوهشی دانشگاه علوم پزشکی و خدمات بهداشتی - درمانی تبریز. ۱۳۹۸؛ ۴۱(۳):۸۵-۹۴.

حق تألیف برای مؤلفان محفوظ است.

این مقاله با دسترسی آزاد توسط دانشگاه علوم پزشکی و خدمات بهداشتی - درمانی تبریز تحت مجوز کریپتو کامنز (CC BY 4.0) (http://creativecommons.org/licenses/by/4.0) منتشر شده که طبق مفاد آن هرگونه استفاده تنها در صورتی مجاز است که به اثر اصلی به نحو مقتضی استناد و ارجاع داده شده باشد.

مقدمه

تاکنون روش‌های مختلفی جهت تشخیص مالون دی آلدھید به منظور کمی کردن سطح استرس اکسیداتیو در بدن و شرایط آزمایشگاهی توسعه یافته است. تکنیک‌های تحیلی مختلفی جهت تعیین مالون دی آلدھید در نمونه‌های بیولوژیک استفاده شده است، این روش‌ها شامل فلورسانس، کروماتوگرافی مایع با عملکرد بالا با تشخیص آرایه دیود، گاز کروماتوگرافی با طیف سنجی جرمی، طیف سنجی ارتقا یافته سطحی رامان، آشکارسازی رسانای الکتریکی، الکتروفورز مویین و زیست حسگرهای الکتروشیمیایی هستند. روشنی که به طور گسترده استفاده می‌شود براساس تشخیص رنگ محصولات واکنش مالون دی آلدھید با تیوباریتوريک اسید (TBA) می‌باشد. اشکال این روش این است که تیوباریتوريک اسید تنها با مالون دی آلدھید واکنش نمی‌دهد بلکه با بسیاری دیگر از مواد شیمیایی مانند اسیدهای آمینه، اسیدهای نوکلئیک، پروتئین‌ها و کربوهیدرات‌ها نیز واکنش می‌دهد، این عامل باعث اختلال در تشخیص ترکیب مالون دی آلدھید-تیوباریتوريک اسید می‌گردد. به علاوه تیمار نمونه‌های بیولوژیک در دمای بالا و شرایط اسیدی انجام می‌شود که این باعث می‌شود اکسیداسیون ماتریکس بیشتر اتفاق بیافتد و بنابراین اختلاف در تخمین سطح مالون دی آلدھید رخ دهد. بسیاری از روش‌های گروماتوگرافی اختصاصی و حساسیت بالایی دارند. با این حال نیاز به فرآیندهای استخراج به وسیله کارکنان متخصص، تمیز کردن و بازسازی ستون، استفاده از تجهیزات گران قیمت، آماده کردن نمونه، به ویژه زمانی که از نمونه‌های بیولوژیک استفاده می‌شود، دارند (۱). با توجه به اهمیت مالون دی آلدھید به عنوان یک بیومارکر تشخیصی پراکسیداسیون لیپیدها و به دلیل اهمیت آن در بیماری‌های مختلف تشخیص مالون دی آلدھید با ابزار ساده کار ضروری است. بوان و همکاران یک حسگر الکتروشیمیایی بدون برچسب بر اساس نانولوله‌های کربنی جهت تشخیص مالون دی آلدھید تولید کردند (۵). حسن‌زاده و همکاران از یک فیلم پلی‌تورین به عنوان نانوپیوسنسور الکتروشیمیایی جهت تشخیص مالون دی آلدھید در نمونه سرم و هوای بازدم انسان استفاده کردند (۱). در سالهای اخیر، الکترودهای اصلاح شده به وسیله فیلم‌های پلیمری توجه زیادی را به خود جلب کرده است. به جهت کاربردهای گسترده آنها در زمینه حسگرهای الکتروشیمیایی این چنین فیلم‌های پلیمری می‌توانند باعث بهبود خواص الکتریکی آنالیت، افزایش نرخ فعالیت و بهبود پایداری الکترود شوند (۶). تا به حال روش‌های گوناگونی برای تهیه الکترودهای اصلاح شده به وسیله فیلم‌های پلیمری از جمله پوشش‌دادن، پیوندکوالانسی و الکتروپلیمریزیشن استفاده شده است (۱۰-۷). در میان این روش‌ها، الکتروپلیمریزاسیون مولکول‌های آلتی و به خصوص اسیدهای آمینه با گروه‌های عاملی مناسب (COOH , NH_2 , OH , SH وغیره) به عنوان یک ابزار مناسب برای آماده کردن پلیمر سطح الکترود مطرح است چون این روش‌ها به راحتی توسط تنظیم فاکتورهای الکتروشیمیایی کنترل می‌شوند. براساس

پراکسیداسیون لیپیدی، شاخص مهم فعالیت رادیکال‌های آزاد در سیستم‌های بیولوژیک می‌باشد و در ایجاد بیماری‌های مختلف مانند سرطان، بیماری‌های قلبی و عروقی و کبدی نقش دارد. مالون دی آلدھید، یکی از فراورده‌های مهم پراکسیداسیون لیپیدی است و به عنوان بیومارکر تشخیصی استرس اکسیداتیو به صورت جهانی پذیرفته شده است (۱). مالون دی آلدھید به عنوان بیومارکر پراکسیداسیون لیپیدی و همچنین علت بیماری‌های خطرناکی مثل سرطان معده، ریه، پستان و آترواسکلروز و بیماری‌های قلبی و عروقی مطرح می‌باشد. علاوه بر این سطوح مالون دی آلدھید در موجودات زنده جهت مشخص کردن تغییرات مهم در بسیاری از شرایط پاتولوژیک مثل سرطان‌های پستان، ریه، معده و آترواسکلروز و بیماری‌های قلبی و عروقی به کار می‌رود (۱). اهمیت تشخیص مالون دی آلدھید در سرم یا پلاسمای انسان می‌تواند از بسیاری از جنبه‌ها مطرح شود. پراکسیداسیون لیپیدی عموماً یک فرآیند ناشی از حمله اکسیدانهایی از قبیل رادیکال‌های آزاد یا انواع غیررادیکالی به لیپیدهای دارای باند دو گانه کربن-کربن به خصوص اسیدهای چرب غیراشتعاب (PUFAs) می‌باشد (۲). پراکسیداسیون لیپیدی یا واکنش اکسیژن با لیپیدهای غیراشتعاب طیف گسترده‌ای از محصولات اکسیداسیون را تولید می‌کند. در این میان بسیاری از آلدھیدهای مختلف که می‌توانند به عنوان محصولات ثانویه در طول پراکسیداسیون لیپیدی تولید شوند، مالون دی آلدھید، پروپانال، هگزانال، ۴-هیدروکسی نونال، به طور گسترده توسط استریایر و همکاران در دهه ۸۰ مورد مطالعه قرار گرفته است. به نظر می‌رسد که مالون دی آلدھید بیشترین محصول جهش‌زای پراکسیداسیون لیپیدی است. برخلاف رادیکال‌هایی که به بیومولکول‌های واقع در فاصله چند نانومتری از محل تولید خود حمله می‌کنند، آلدھیدهای مشتق از پراکسیداسیون لیپیدی می‌توانند به راحتی از طریق غشای منتشر شده و بصورت کووالانسی در پروتئین‌های موجود در سیتوپلاسم و هسته، دور از منشا تولیدشان، تغییر ایجاد کنند (۳). تحت شرایط فیزیولوژیک یا میزان پایین پراکسیداسیون لیپیدی (شرایط غیرسمی) سلولها بقاء خود را از طریق تشکیل سیستم‌های دفاع آنتی‌اکسیدانی یا فعالسازی مسیرهای سیکتالینگ تحریک می‌کنند. در مقابل، در پراکسیداسیون‌های لیپیدی متوسط یا بالا (شرایط سمی) سلول‌ها آپوپتوز یا نکروز (مرگ برنامه‌ریزی شده سلول) را القا می‌کنند، که هر دو فرآیند سرانجام منجر به آسیب سلولی می‌شود که می‌تواند باعث تسهیل انواع مختلف حالت‌های پاتولوژیک و تسریع روند پیری شود. مالون دی آلدھید یا ۳-پروپان دی ال به علت ویژگی‌های کربونیلی از نظر شیمیایی واکنش پذیر است و به راحتی تحت اسیدیتیه ناشی از اتم‌های هیدروژن، و (۲) واکنش پذیری دو شامل DNA و آمینو اسیدهای موجود در پروتئین‌ها قرار می‌گیرد. خواص شیمیایی مالون دی آلدھید را می‌توان به دو دسته تقسیم کرد: (۱) اسیدیتیه ناشی از اتم‌های هیدروژن، و (۲) واکنش پذیری دو گروه آلدھید آن نسبت به هسته‌های نوکلئوفیل (۴). از سال ۱۹۶۰

pH=۷/۴ استفاده شد، که بعد از تهیه در یک محیط تاریک و در دمای ۴ درجه سانتی گراد نگهداری شد. دی پتاسیم فسفات و مونو پتاسیم فسفات از شارلو (Scharlau) به دست آمد. آب مقطر از شرکت دارویی قاضی (تبریز، ایران) خریداری شد. محلول استاندارد ۰/۱ میلی مولار مالون دی الدهید به صورت روزانه جهت بررسی تست های مختلف تهیه شد.

کلیه آزمایش های الکتروشیمیایی در یک سل سه الکترودی که شامل الکترود پلاتین، نقره/کلرید نقره، کربن شیشه ای به ترتیب به عنوان الکترودهای کمکی، مرجع و کار، متصل به یک سیستم اندازه گیری AUTOLAB با پتانسیو استات/گالوانو استات مدل PGSTAT302N محصول شرکت Eco Chemie هلند انجام شد. سیستم توسط کامپیوتر با استفاده از نرم افزار NOVA1.7 کنترل شد. الکترود کار، کربن شیشه ای با ضخامت ۲ میلی متر (شرکت آذر الکترود، ایران) بود. مورفولوژی سطح الکترود اصلاح شده با دستگاه SEM (میکروسکوپ الکترونی روبشی) مارک Tescan MIRA3FEG/SE ساخت کمپانی کشور چک مورد بررسی قرار گرفت. یکی از روش هایی که طی سال های اخیر بررسی بروزی بیومارکرها مورد توجه قرار گرفته، آنالیز هوای بازدمی می باشد (۲۸). استفاده از هوای بازدمی علاوه بر اینکه می تواند به خوبی گویای وضعیت فیزیولوژیک فرد باشد، غیر تهاجمی بوده و مورد مقبولیت بیمار نیز است. وجود مارکرهای مختلف استرس اکسیداتیو از قبیل محصولات مختلف پراکسیداسیون لیپیدی در هوای بازدمی در سال های اخیر مورد بررسی قرار گرفته است مطالعات متعددی تا کنون به بررسی میزان مالون دی الدهید در هوای بازدمی افراد با بیماری های مختلف پرداخته اند (۲۹-۳۰). نمونه های هوای بازدم مایع شده از داوطلبان سالم (بدون سابقه هر گونه بیماری، عدم استعمال دخانیات، الكل، کافئین، و دارو) با استفاده از دستگاه نمونه گیری بازدم ثبت شده در دفتر ثبت اختراع ملی، در مرکز تحقیقات کاربردی دارویی دانشگاه علوم پزشکی تبریز در مهر سال ۹۵ جمع آوری شد. هوای بازدم تا دمای ۲۵- درجه سانتی گراد خنک و تغییض شد. ۱ میلی لیتر نمونه بازدم انسانی مایع شده از یک داوطلب سالم به فلاسک به حجم ۱۰ میلی لیتر مستقل شد. جهت تهیه نانو کامپوزیت پلی آرژینین/کیتوسان/ نقاط کواتنومی گرافنی ابتدا الکترود کربن شیشه ای با قطر ۲ میلی متر با استفاده از الومینی ۰/۳ و ۰/۵ میکرومتر صیقل داده شد و برای از بین بردن آلودگی های سطحی از محلول آلومینا و به طور کامل دو بار با آب دیونیزه شده شستشو داده شد. سپس به طور پی در پی در استون و آب مقطر به صورت التراسوند قرار گرفته و اجازه داده شد در دمای اتاق خشک شود. ابتدا ۵ میلی لیتر از محلول آرژینین ۰/۵ میلی مولار برداشته و به داخل سل الکتروشیمیایی انتقال داده می شود. با استفاده از تکنیک ولتاوری چرخه ای، پلی آرژینین بر روی الکترود کربن شیشه ای در پتانسیل ۱/۵ تا ۲ ولت و با سرعت رویش ۱۰۰ میلی ولت بر ثانیه و با تکرار ۲۰ چرخه لایه نشانی می شود. سپس در مرحله دوم بعد از شستشوی الکترود با آب مقطر، ۱۰ میلی لیتر از محلول کیتوسان به

ویژگی های الکترودهای اصلاح شده به وسیله پلیمرها به خوبی می توان ضخامت و بار این پلیمرها را تعریف کرد. همچنین آماده کردن این حسگرها به دلیل تهیه آسان به روش الکتروپلیمریزاسیون، کم هزینه می باشد (۱۶-۱۱). تلفیق مزایای نانوساختارها با تکنیک های الکتروشیمیایی در زیست حسگرها در سال های اخیر موجب پیشرفت های چشمگیر در حساسیت و قدرت آنالیزی این سیستم ها شده است. اثبات شده است که با بکار گیری مواد پیشرفت همچون نانو لوله های کربنی، مزوپروس های سیلیکاتی، گرافن و مشتقات آنها، نقاط کواتنومی و... در ساختار نانو حسگرها، کارایی به لحاظ سرعت، دقت، میزان آنالیت مصرفی و توان عملیاتی افزایش می یابد (۱۷). یکی از بهترین نامزدها برای این منظور نقاط کواتنومی گرافنی است. نقاط کواتنومی گرافنی بدلیل داشتن ویژگی های عالی نظری خاصیت فوتولومینسانس و فلورسانس مطلوب، حلالیت در محلول های آبی، سمیت پایین، زیست سازگاری (۱۸) و خصوصیات منحصر به فرد دیگری همچون خصلت مکانیکی، الکتریکی، دمایی، اپتیکی، مساحت سطحی بسیار بالا و امکان کنترل تمام این ویژگی ها از طریق عاملدار کردن شیمیایی، مورد توجه محققین می باشد (۱۹). از سوی دیگر، رسوب نقاط کواتنومی گرافنی بر روی برخی از مواد پلیمری توجه زیادی به خود جذب کرده است. با این حال، فیلمهای پلیمری بر اساس اسیدهای آمینه بسیار شکننده هستند، در نتیجه استفاده از بتا سیکلودکسترین و کیتوسان و سایر مواد محکم برای بی حرکتی نقاط کواتنومی گرافنی در سطح پلیمر مطرح شده است (۲۱). کیتوسان از فراوان ترین آمینوپلی ساکاریدها در طبیعت، دارای ساختاری بی نظری و خصوصیات چند منظوره می باشد. کیتوسان توجه زیادی را به خصوص در صنایع پزشکی و دارویی به خود جلب کرده است. از مهمترین خصوصیاتی که آن را مناسب برای این کاربردها کرده است می توان به زیست سازگاری، زیست تخریب پذیری و غیرسمی بودن آن اشاره کرد. کیتوسان معمولاً به دلیل توانایی تشکیل فیلم، نفوذپذیری بالای آب، انتقال یونی سریع و قابلیت چسبندگی به سطوح هیدروفیل و سهولت تغییرات شیمیایی و به دلیل حضور گروه های آمینی و هیدروکسیل به عنوان ماتریکس ساکن برای توسعه حسگر انتخاب می شود (۲۲-۲۵). اضافه کردن نقاط کواتنومی گرافنی و کیتوسان به ساختار پلی آرژینین می تواند یک فیلم نازک رسانای الکتریکی عالی در جهت تقویت جریان فارادی ایجاد کند (۲۶، ۲۷). در نتیجه در این مطالعه یک رابط سازگار با محیط زیست و با سمیت کم از پلی آرژینین/کیتوسان/ نقاط کواتنومی گرافنی به عنوان نانو کامپوزیت سه تایی با استفاده از روش های الکتروشیمیایی تهیه و فعالیت الکتریکی آن نسبت به الکترو اکسیداسیون MDA بررسی خواهد شد.

روش کار

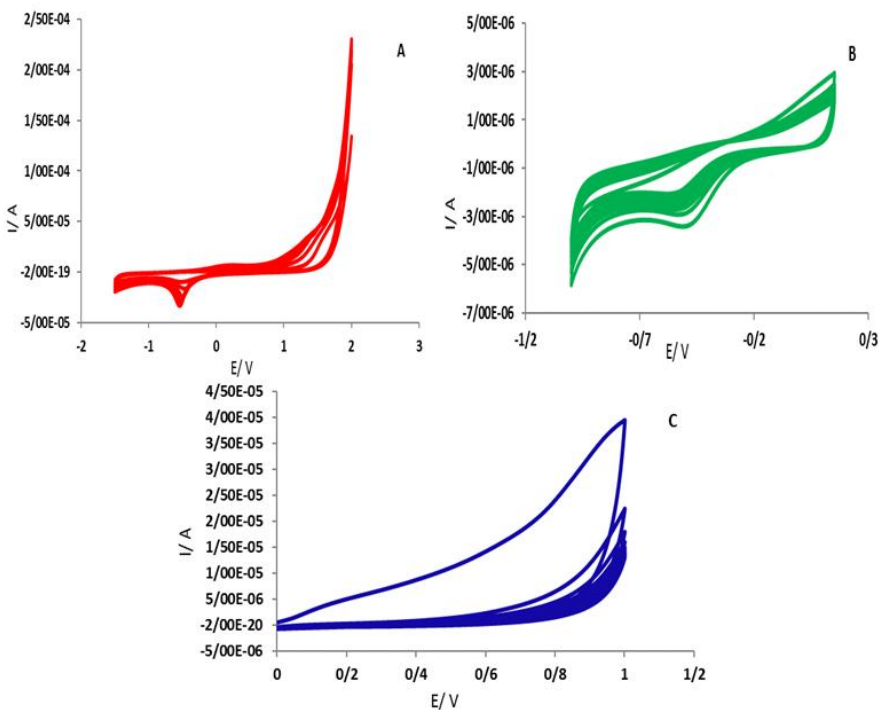
در این پژوهش، ال آرژینین از سیگما آلدیچ تهیه شد. در تمامی قسمت های این مطالعه از محلول بافر فسفات ۰/۰ مولار با

جانبی آمینی و هیدروکسیل پیوند داده و منجر به تشکیل شبکه‌های متمایز بین زنجیره‌های کیتوسان شود. لذا در ادامه کار کیتوسان و بدنبال آن نقاط کوانتمومی گرافنی بر روی سطح پلی‌آرژینین ترسیب شدند. تصویرهای به دست آمده از میکروسکوپ الکترونی رویشی، تشکیل فیلم پلیمری در سطح الکترود را نشان می‌دهد. الکتروپلیمریزاسیون مستقیم پلی‌آرژینین بر روی الکترود کربن شیشه‌ای به صورت یک ماتریکس با پراکندگی مشاهده می‌شود (شکل A-۲). همچنین اندازه ذرات در نواحی مختلف تعیین شده که میانگین آن در حدود ۲۵ نانومتر می‌باشد. لذا فیلم پلی‌آرژینین در مقیاس نانومتری بر روی سطح الکترود کربن شیشه‌ای پلیمریزه می‌شود. گروه‌های حاوی آمین در کیتوسان می‌تواند مقدار زیادی سایت‌های فعال برای رسوب بر روی نقاط کوانتمومی گرافنی فراهم کند. از طرف دیگر گروه‌های حاوی اکسیژن بر روی نقاط کوانتمومی گرافنی برای ترکیب الکترون‌های خارجی با کیتوسان از دیدگاه نقطه الکترواستاتیک مفید هستند. در نتیجه، با برهمکنش باند هیدروژن پلی‌آرژینین با کیتوسان و به دنبال آن برهمکنش الکترواستاتیک کیتوسان با نقاط کوانتمومی گرافنی، یک فیلم با سمیت کم و زیست سازگار بر روی سطح الکترود کربن شیشه‌ای ساخته می‌شود.

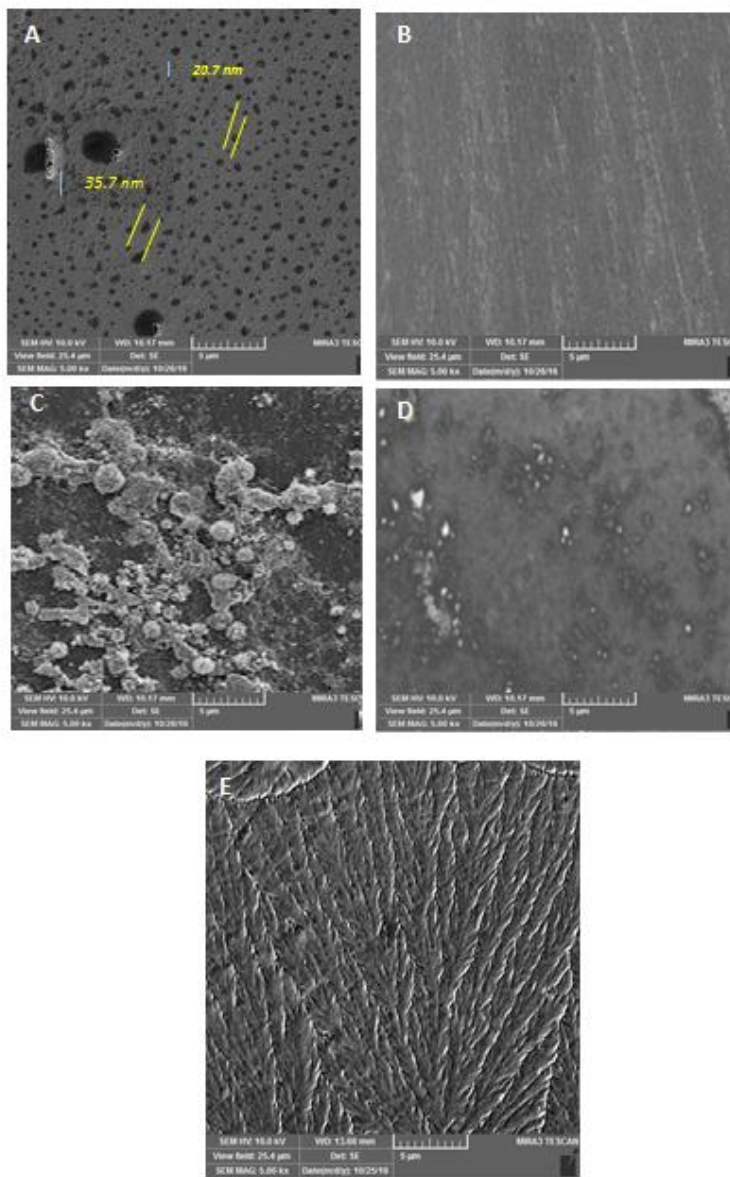
داخل سل الکتروشیمیایی انتقال می‌دهیم. توسط تکنیک ولتاویری چرخه‌ای در پتانسیل -۱۰/۱۵ تا ۱۰/۱۵ ولت با سرعت رویش ۱۰۰ میلی‌ولت بر ثانیه و با تکرار ۲۰ چرخه کیتوسان بر روی الکترود لایه نشانی می‌شود. در مرحله آخر مانند مرحله قبل بعد از شستشوی الکترود با آب مقطر و انتقال محلول نقاط کوانتمومی گرافنی به سل، نقاط کوانتمومی گرافنی با تکنیک ولتاویری چرخه‌ای، در محدوده پتانسیل -۱۰ تا ۱ ولت و سرعت رویش ۱۰۰ میلی‌ولت بر ثانیه، با تکرار ۳۰ چرخه نیز بر روی الکترود لایه نشانی می‌شود. الکترودهای اصلاح شده با پلی‌آرژینین و پلی‌آرژینین/ نقاط کوانتمومی گرافنی نیز به طور جداگانه تهیه و نتایج حاصل از سه الکترود اصلاح شده باهم مقایسه می‌گردد.

یافته

شکل A-۱ ولتاویر چرخه‌ای پلیمریزاسیون الکتروشیمیایی ال-آرژینین بر روی سطح الکترود کربن شیشه‌ای را نشان می‌دهد. ال-آرژینین دارای دو گروه NH_2 و دو گروه NH می‌باشد که می‌توانند به راحتی به NH_2 اکسید شوند؛ بنابراین پیوند کوالانسی (C-N) ممکن است بین الکترود کربنی و گروه آلفا آمین از آرژینین تشکیل شده باشد. با عنایت به اینکه کیتوسان آبلوست است، لذا می‌تواند با نقاط کوانتمومی گرافنی از طریق گروه‌های



شکل ۱: A) ولتاویر چرخه‌ای برای پلیمریزاسیون الکتروشیمیایی ال-آرژینین بر روی سطح الکترود کربن شیشه‌ای با سرعت رویش ۱۰۰ میلی‌ولت بر ثانیه در محدوده -۱۰/۱۵ تا ۱۰/۱۵ ولت با تعداد ۱۰ چرخه. B) ولتاویر چرخه‌ای برای پلیمریزاسیون الکتروشیمیایی کیتوسان بر روی سطح الکترود کربن شیشه‌ای با سرعت رویش ۱۰۰ میلی‌ولت بر ثانیه در محدوده -۱۰/۱۵ تا ۱۰/۱۵ ولت با تعداد ۲۰ چرخه. C) ولتاویر چرخه‌ای برای ترسیب الکتروشیمیایی نقاط کوانتمومی گرافنی بر روی سطح الکترود کربن شیشه‌ای با سرعت رویش ۱۰۰ میلی‌ولت بر ثانیه در محدوده -۱۰/۱۵ تا ۱۰/۱۵ ولت با تعداد ۳۰ چرخه.



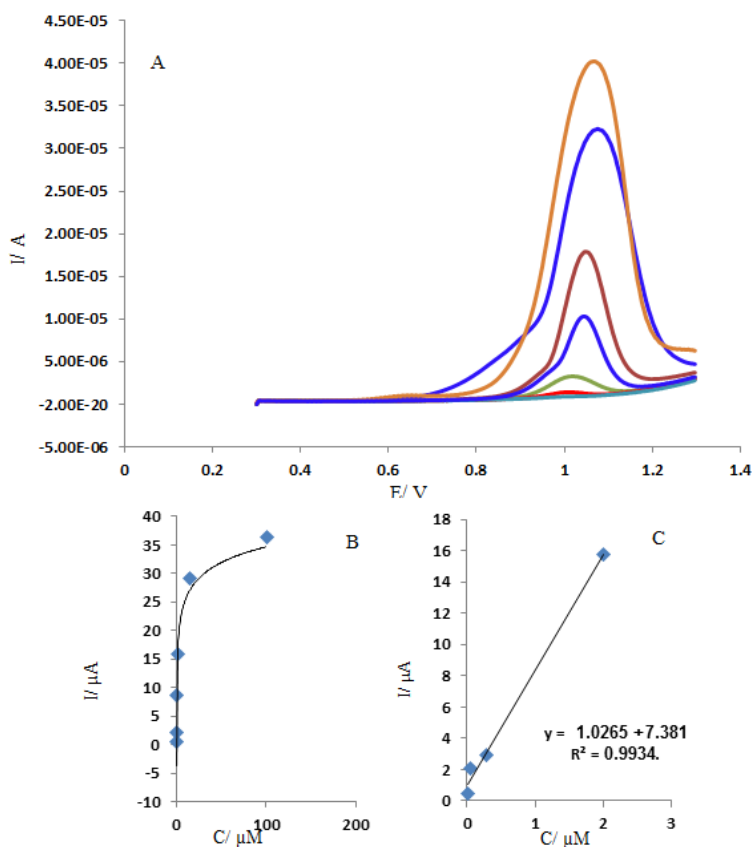
شکل ۲: تصاویر میکروسکوپ الکترونی روبشی از الکترود کربن شیشه‌ای اصلاح شده با پلی آرژینین (A) و از سطح الکترود کربن شیشه‌ای (B). الکترود کربن شیشه‌ای اصلاح شده با پلی آرژینین / نقاط کوانتمومی گرافنی (C) و الکترود کربن شیشه‌ای اصلاح شده با نقاط کوانتمومی گرافنی (D) و الکترود کربن شیشه‌ای اصلاح شده با پلی آرژینین / کیتوسان / نقاط کوانتمومی گرافنی (E).

می‌باشد. این نتایج نشان می‌دهد که الکترود اصلاح شده با پلی آرژینین/کیتوسان / نقاط کوانتمومی گرافنی عملکرد بهتری برای اکسیداسیون مالون دی آلدهید نسبت به الکترود اصلاح شده با نقاط کوانتمومی گرافنی و الکترود اصلاح شده با پلی آرژینین ارائه می‌دهد. از مطالب بالا می‌توان نتیجه گرفت که نقاط کوانتمومی گرافنی و کیتوسان می‌تواند یک مرکز شتاب برای انتقال الکترون را ایجاد کند. این نتایج نشان می‌دهد که فیلم پلی آرژینین/کیتوسان / نقاط کوانتمومی گرافنی می‌تواند باعث تسريع انتقال الکترون مالون دی آلدهید و فعالیت‌های الکتروکاتالیتیکی برای واکنش‌های

ولتاژوگرام‌های چرخه‌ای الکترود کربن شیشه‌ای اصلاح شده با نقاط کوانتمومی گرافنی، الکترود کربن شیشه‌ای اصلاح شده با پلی آرژینین و الکترود کربن شیشه‌ای اصلاح شده با پلی آرژینین/کیتوسان / نقاط کوانتمومی گرافنی، در حضور ۵ میلی لیتر بافر فسفات با $pH=7/4$ و ۱ میلی لیتر محلول استاندارد مالون دی آلدهید در محدوده پتانسیلی -۱ تا ۱ ولت با سرعت روبش ۱۰۰ میلی ولت بر ثانیه ثبت گردید. نتایج نشان دادند که بر روی الکترود کربن شیشه‌ای اصلاح نشده هیچ رفتار اکسیداسیون و کاهشی مشاهده نمی‌شود که نشان دهنده عدم فعالیت الکتروکاتیویته آن

کمتر مالون دی آلدھید و با جریان زمینه کمتر نسبت روش ولتامتری چرخه‌ای بدست آمد. با توجه به نتایج به دست آمده، از این تکنیک برای تجزیه و تحلیل کمی مالون دی آلدھید استفاده شد. شکل ۳، ولتامتری پالس تفاضلی الکترود کربن شیشه‌ای اصلاح شده با پلی آرژینین/کیتوسان/نقاط کوانتموی گرافنی برای تعیین مقدار مالون دی آلدھید در بافر فسفات ۰/۱ مولار با $pH=7/4$ در غلظت‌های مختلف را نشان می‌دهد. منحنی کالیبراسیون مالون دی آلدھید در بافر فسفات، توسط ولتامتری پالس تفاضلی بدست آمد (شکل B-۳ و C-۳). کمترین حد تعیین مقدار (LLOQ) برای مالون دی آلدھید، ۵/۹۴ میلی مولار محاسبه شد. نتایج نشان می‌دهد که فیلم پلی آرژینین/کیتوسان/نقاط کوانتموی گرافنی، فعالیت الکتریکی خوبی برای اکسیداسیون مالون دی آلدھید نشان می‌دهد که می‌تواند ناشی از اثر هم‌افزایی پلی آرژینین، نقاط کوانتموی گرافنی و کیتوسان در ایجاد سایت‌های فعال فراوان برای این منظور باشد.

اکسیداسیون و احیا، باشد. بنابراین فیلم پلی آرژینین/کیتوسان/نقاط کوانتموی گرافنی یک حداست مناسب برای انتقال الکترون بین مالون دی آلدھید و الکترود کار می‌باشد که ممکن است با مشخصات مناسب آن مثل مساحت سطح هندسی بالا و رسانایی الکتریکی بالا مرتبه باشد. در این شکنی نیست که نقاط کوانتموی گرافنی و کیتوسان نقش مهمی را جهت بهبود فعالیت الکتروکاتالیتی پلی آرژینین جهت الکترواکسیداسیون مالون دی آلدھید بازی می‌کنند. نقاط کوانتموی گرافنی و کیتوسان به عنوان یک جزء فعال الکتریکی در فیلم پلیمری، یک سطح کاتالیستی برای تشخیص مالون دی آلدھید ایجاد می‌کند. در ضمن کیتوسان می‌تواند تقویت سیگنال‌های الکتروشیمیایی به وجود آمده در طول فرآیند تشخیص الکتروشیمیایی را ایجاد کند. از طرف دیگر، اثر هم‌افزایی استفاده همزمان از نقاط کوانتموی گرافنی و کیتوسان منجر به تشخیص موفقیت آمیز و تعیین مالون دی آلدھید می‌گردد. از روش ولتامتری پالس تفاضلی برای تشخیص مالون دی آلدھید استفاده شد زیرا پیک‌های واضح‌تر و بهتر در غلظت‌های



شکل ۳: (A) ولتامتری پالس تفاضلی الکترود کربن شیشه‌ای اصلاح شده با پلی آرژینین/کیتوسان/نقاط کوانتموی گرافنی برای تعیین مالون دی آلدھید در بافر فسفات ۰/۱ مولار با $pH=7/4$ در غلظت‌های: ۰/۰۰۰۰۰۵۹۴، ۰/۰۰۰۰۰۴۱۶، ۰/۰۰۰۰۰۴۱۶، ۰/۰۰۰۰۰۲۹۱، ۰/۰۰۰۰۰۲۹۱، ۰/۰۰۰۰۰۰۲۹۱، ۰/۰۰۰۰۰۰۰۲۹۱ میکرومولار. (B) منحنی کالیبراسیون مالون دی آلدھید در غلظت‌های ذکر شده در بالا. (C) منحنی کالیبراسیون مالون دی آلدھید در غلظت‌های پایین.

می‌تواند فرصت‌های جدیدی را برای گسترش استفاده کاربردی پلی‌آمینواسیدها در زمینه سنجش الکتروشیمیایی باز کند. همچنین، اندازه گیری مالون دی آلدید، در نمونه بازدم انسانی مایع شده، جمع آوری شده توسط سیستم خنک کننده هوای بازدم، به عنوان یک تکنیک جدید استفاده گردید که به عنوان روشی غیرتهاجمی و با توجه به سایر مزیت‌های آن نسبت به خون، سرم، ادرار و در تشخیص بیماری‌های مختلف مورد استفاده قرار گرفته است. برای تشخیص مالون دی آلدید در بازدم انسانی مایع شده از نمونه بازدم مایع شده فرد سالم، ۴ غلظت مختلف مالون دی آلدید به وسیله محلول استاندارد آماده گردید و نتایج بدست آمده در جدول ۱ آورده شده است.

قدرتانی

نویسنده‌گان این مقاله مراتب قدردانی خود را از مؤسسه ملی توسعه تحقیقات علوم پزشکی ایران (NIMAD) با شماره گرن特 ۹۶/۹۴۳ به جهت حمایت‌های مالی از این پژوهش اعلام می‌دارد. همچنین از کلیه دست‌اندرکاران این مقاله که در بخش تجربی و نوشتمندانه مشارکت داشتند تشکر و قدردانی می‌شود.

ملاحظات اخلاقی

عدم وجود کارآزمائی بالینی

منابع مالی

حمایت مالی از این طرح تحقیقاتی از طرف مرکز تحقیقات کاربردی داروئی صورت پذیرفته است.

منافع متقابل

مؤلف اظهار می‌دارد که منافع متقابلی از تالیف یا انتشار این مقاله ندارد.

مشارکت مؤلفان

ف. م. ح. ا. م. ن. ش طراحی، اجرا و تحلیل نتایج مطالعه را بر عهده داشت. همچنین نامبرگان مقاله را تالیف نموده و نسخه نهایی آن را خوانده و تایید کرده‌اند.

References

- Zamani-Kalajahi M, Hasanzadeh M, Shadjou N, Khoubnasabjafari M, Ansarin K, Jouyban-Gharamaleki V, et al. Electrodeposition of taurine on gold surface and electro-oxidation of malondialdehyde *Surf Eng* 2015; **31**(3): 194-201. doi: 10.1179/1743294414Y.0000000349
- Yin H, Xu L, Porter N A. Free radical lipid peroxidation: mechanisms and analysis. *Chem Rev* 2011; **111**(10): 5944-5972. doi: 10.1021/cr200084z
- Ayala A, Muñoz M F, Argüelles S. Lipid peroxidation: production, metabolism, and signaling mechanisms of malondialdehyde and 4-hydroxy-2-

هوای بازدم مایع شده (EBC)، جمع آوری شده توسط سیستم خنک کننده هوای بازدم تحت شرایط تنفس عادی فرد داوطلب، یک تکنیک جدید می‌باشد که به عنوان روشی غیرتهاجمی و با توجه به سایر مزیت‌های آن نسبت به خون، سرم، ادرار و در تشخیص بیماری‌های مختلف مورد استفاده قرار گرفته است. برای تشخیص مالون دی آلدید در بازدم انسانی مایع شده از نمونه بازدم مایع شده فرد سالم، ۴ غلظت مختلف مالون دی آلدید به وسیله محلول استاندارد آماده گردید و نتایج بدست آمده در جدول ۱ آورده شده است.

جدول ۱: نتایج مشاهده شده برای تشخیص مالون دی آلدید در نمونه هوای بازدم مایع شده انسانی به وسیله الکترود کربن شیشه‌ای اصلاح شده با پلی‌آرژینین/کیتوسان/نقاط کوانتمومی گرافنی

سیکنال/میکرو مولار	غلظت/میکرو مولار
۲/۷۳	۲/۷۳
۰/۴۵۸	۳/۱
۰/۳۰۸	۵۳
۰/۲۰۱	۷۶

نتیجه گیری

به طور خلاصه در این مطالعه کاربرد الکتروشیمیایی الکترود کربن شیشه‌ای اصلاح شده با نانوکامپوزیت پلی‌آرژینین/کیتوسان/نقاط کوانتمومی گرافنی (PARG/CS/GQDs) برای اندازه گیری مالون دی آلدید در نمونه‌های بازدم انسانی برسی شد. فیلم نازک پلی‌آرژینین/کیتوسان/نقاط کوانتمومی گرافنی، مزایای پلی‌آرژینین (به عنوان یک نانوبیوپلیمر نیمه‌رسان)، نقاط کوانتمومی گرافنی (دارای هدایت الکتریکی عالی) و کیتوسان (به عنوان یک عامل زیست سازگار) را با هم ترکیب می‌کند. از همه مهمتر، از نانو حسگر پیشنهادی برای تعیین مقدار مالون دی آلدید در pH فیزیولوژیک، بدون نیاز به پیش تیمار نمونه یا هر نوع فرایند استخراج یا تبخیر زمان برو، با نتایج رضایت بخش استفاده شد. نتایج نشان دادند که، ترکیبی از پلی‌آمینواسیدها با نقاط کوانتمومی گرافنی و کیتوسان

nonenal. *Oxid Med Cell Longev* 2014; **2014**: 23-28. doi: 10.1155/2014/360438

- Tsikas D. Assessment of lipid peroxidation by measuring malondialdehyde (MDA) and relatives in biological samples: Analytical and biological challenges. *Anal Biochem* 2017; **524**: 13-30. doi: 10.1016/j.ab.2016.10.021
- Yuan L, Lan Y, Han M, Bao J, Tu W, Dai Z. Label-free and facile electrochemical biosensing using carbon nanotubes for malondialdehyde detection. *Analyst* 2013; **138**(11): 3131-3134. doi: 10.1039/c3an00041a

6. Chen X, Ma Y, Chen D, Ma M, Li C. Electrochemical fabrication of polymerized imidazole-based ionic liquid bearing pyrrole moiety for sensitive determination of hexestrol in chicken meat. *Food chem* 2015; **180**: 142-149. doi: 10.1016/j.foodchem.2015.02.038
7. Shahrokhan S, Karimi M, Khajehsharifi H. Carbon-paste electrode modified with cobalt-5-nitrosalophen as a sensitive voltammetric sensor for detection of captopril. *Sens Actuators B Chem* 2005; **109**(2): 278-284. doi: 10.1016/j.snb.2004.12.059
8. Sun H, Wu L, Wei W, Qu X. Recent advances in graphene quantum dots for sensing. *Mater Today* 2013; **16**(11): 433-442. doi: 10.1016/j.mattod.2013.10.020
9. Tang H, Yan F, Lin P, Xu J, Chan H L. Highly sensitive glucose biosensors based on organic electrochemical transistors using platinum gate electrodes modified with enzyme and nanomaterials. *Adv Funct Mater* 2011; **21**(12): 2264-2272. doi: 10.1002/adfm.201002117
10. Wang K, Sun Z, Feng M, Liu A, Yang S, Chen Y, et al. Design of a sandwich-mode amperometric biosensor for detection of PML/RAR α fusion gene using locked nucleic acids on gold electrode. *Biosens Bioelectron* 2011; **26**(6): 2870-2876. doi: 10.1016/j.bios.2010.11.030
11. Beitollahi H, Sheikhshoae I. Electrochemical behavior of carbon nanotube/Mn (III) salen doped carbon paste electrode and its application for sensitive determination of N-acetylcysteine in the presence of folic acid. *Int J Electrochem Sci* 2012; **7**: 7684-7698.
12. Cosnier S. Biosensors based on immobilization of biomolecules by electrogenerated polymer films. *Appl Biochem Biotechnol* 2000; **89**(2-3): 127-138.
13. Lupu S, del Campo F J, Muñoz F X. Development of microelectrode arrays modified with inorganic-organic composite materials for dopamine electroanalysis. *J Electroanal Chem* 2010; **639**(1): 147-153. doi: 10.1016/j.jelechem.2009.12.003
14. Niu L, Lian K, Kang W, Li S. Characterization of poly (safranine T)-modified electrode and application for simultaneous determination of epinephrine and uric acid coexisting with ascorbic acid. *J Braz Chem Soc* 2011; **22**(2): 204-210. doi: 10.1590/S0103-50532011000200003
15. Areias MC, Shimizu K, Compton RG. Voltammetric detection of captopril using copper (II) and an unmodified glassy carbon electrode. *Electroanalysis* 2016; **28**(7): 1524-1529. doi: 10.1002/elan.201501156
16. Lu S, Lu P, Li C, Wang C, Yu J. Highly improved electrooxidation of captopril on copper hexacyano ferrate/ordered mesoporous carbon-modified glassy carbon electrode. *Aust J Chem* 2014; **67**(6): 851-857. doi: 10.1071/CH13650
17. Noroozifar M, Khorasani-Motlagh M, Nadiki H H, Hadavi M S, Foroughi M M. Modified fluorine-doped tin oxide electrode with inorganic ruthenium red dye-multiwalled carbon nanotubes for simultaneous determination of a dopamine, uric acid, and tryptophan. *Sens Actuators B Chem* 2014; **204**: 333-341. doi: 10.1016/j.snb.2014.07.060
18. Jian X, Liu X, Yang H-m, Guo M-m, Song X-l, Dai H-y, et al. Graphene quantum dots modified glassy carbon electrode via electrostatic self-assembly strategy and its application. *Electrochim Acta* 2016; **190**: 455-462. doi: 10.1016/j.electacta.2016.01.045
19. Zhang P, Zhao X, Ji Y, Ouyang Z, Wen X, Li J, et al. Electrospinning graphene quantum dots into a nanofibrous membrane for dual-purpose fluorescent and electrochemical biosensors. *J Mater Chem B* 2015; **3**(12): 2487-2496. doi: 10.1039/C4TB02092H
20. Hasanzadeh M, Karim-Nezhad G, Shadjou N, Hajjizadeh M, Khalilzadeh B, Saghatforoush L, et al. Cobalt hydroxide nanoparticles modified glassy carbon electrode as a biosensor for electrooxidation and determination of some amino acids. *Anal Biochem* 2009; **389**(2): 130-137. doi: 10.1016/j.ab.2009.03.024
21. Zhao J, Chen G, Zhu L, Li G. Graphene quantum dots-based platform for the fabrication of electrochemical biosensors. *Electrochim commun* 2011; **13**(1): 31-33. doi: 10.1016/j.elecom.2010.11.005
22. Li Y, Wu K, Zhitomirsky I. Electrodeposition of composite zinc oxide-chitosan films. *Colloids Surf A Physicochem Eng Asp* 2010; **356**(1): 63-70. doi: 10.1016/j.colsurfa.2009.12.037
23. Lei L, Cao Z, Xie Q, Fu Y, Tan Y, Ma M, et al. One-pot electrodeposition of 3-aminopropyltriethoxysilane-chitosan hybrid gel film to immobilize glucose oxidase for biosensing. *Sens Actuators B Chem* 2011; **157**(1): 282-289. doi: 10.1016/j.snb.2011.03.063
24. Zeng X, Li X, Xing L, Liu X, Luo S, Wei W, et al. Electrodeposition of chitosan-ionic liquid-glucose oxidase biocomposite onto nano-gold electrode for amperometric glucose sensing. *Biosens Bioelectron* 2009; **24**(9): 2898-2903. doi: 10.1016/j.bios.2009.02.027
25. Hasanzadeh M, Shadjou N, Marandi M. Graphene quantum dot functionalized by chitosan and beta-cyclodextrin as a new support nanocomposite material for efficient methanol electrooxidation. *J Alloys Compd* 2016; **688**: 171-186. doi: 10.1016/j.jallcom.2016.07.202
26. Ou J, Tao Y, Xue J, Kong Y, Dai J, Deng L. Electrochemical enantiorecognition of tryptophan enantiomers based on graphene quantum dots-chitosan composite film. *Electrochim commun* 2015; **57**: 5-9. doi: 10.1016/j.elecom.2015.04.004
27. Shadjou N, Hasanzadeh M, Marandi M, Hasanzadeh A. Graphene quantum dot functionalized by chitosan

- as an electrically conductive nano-material toward low potential detection: a new platform for interface science. *J Mater Sci* 2016; **27**(11): 11834-11843. doi: 10.1007/s10854-016-5324-5
28. Risby T H, Solga S. Current status of clinical breath analysis. *Appl Phys B* 2006; **85**(2): 421-426. doi: 10.1007/s00340-006-2280-4
29. Guentsch A, Preshaw P M, Bremer-Streck S, Klinger G, Glockmann E, Sigusch B W. Lipid peroxidation and antioxidant activity in saliva of periodontitis patients: effect of smoking and periodontal treatment. *Clin Oral Investig* 2008; **12**(4): 345. doi: 10.1007/s00784-008-0202-z
30. Syslová K, Kačer P, Kuzma M, Najmanová V, Fenclová Z, Vlčková Š, et al. Rapid and easy method for monitoring oxidative stress markers in body fluids of patients with asbestos or silica-induced lung diseases. *J Chromatogr B* 2009; **877**(24): 2477-2486. doi: 10.1016/j.jchromb.2009.06.008

Electrical Absorption of *Staphylococcus aureus* in Liquid Culture Medium

Mohammad Reza Nahaei^{1,2*} , Hassan Amini¹, Atabak Asvadi Kermani¹, Naiereh Didevar², Behnam Amini³, Mohammad Akbari Dibavar²

¹Hematology and Oncology Research Center, Tabriz University of Medical Sciences, Tabriz, Iran

²Department of Medical Microbiology, School of Medicine, Tabriz University of Medical Sciences, Tabriz, Iran

³School of Management and Medical Information, Tabriz University of Medical Sciences, Tabriz, Iran

*Corresponding author; E-mail: nahaeim@yahoo.com

Received: 12 July 2017 Accepted: 18 September 2017 First Published online: 4 July 2019

Med J Tabriz Uni Med Sciences Health Services. 2019 August- September; 41(3):95-100

Abstract

Background: All microorganisms are negatively charged using the sulfate groups in acid mucopolysaccharids, ionized phosphate groups of the phospholipids and some other chemical groups on their surfaces. Recent researches concerning the effect of electrical fields on the biologic processes, anti-inflammatory and carcinogenic effects provides a good opportunity to investigate whether these fields can gravitate or repel the microorganisms or not, therefore in this experimental study electrical gravitation of *Staphylococcus aureus* in liquid culture medium was investigated.

Methods: To make the electrical field a plastic tank with positive electrode (cathode) and negative electrode (anode) was constructed on the either sides. Afterwards the tank was filled with sterile nutrient broth medium and *S. aureus* ATCC 29213 was cultured. For homogenization of the bacteria in all parts of the medium, the medium was stirred and positive and negative charges were generated in the poles of the tank. After 24 hours, sampling was performed from different parts of the tank and the samples were cultured in nutrient agar medium. This experiment repeated three times in the same manner and the average results were calculated.

Results: Average results of bacterial counts on samples taken from different parts of the tank with an electrical field intensity of 20 Nm/colon in all three experiments showed that the numbers of *S. aureus* near the positive electrode was 8.2×10^3 CFU/ml, in the middle of the medium was 6.2×10^3 CFU/ml and near the negative electrode was 3.6×10^3 CFU/ml.

Conclusion: The electrical fields caused *S. aureus* gravitation towards positive electrode.

Keyword: Electrostatic potential (zeta potential), Negative surface charge, Electric potential difference, Electric power supply, *Staphylococcus aureus*.

How to cite this article: Nahaei M R, Amini H, Asvadi Kermani A, Didevar N, Amini B, Akbari Dibavar M. [Electrical Absorption of *Staphylococcus aureus* in Liquid Culture Medium]. Med J Tabriz Uni Med Sciences Health Services. 2019 August- September; 41(3):95-100. Persian.

مقاله پژوهشی

جذب الکتریکی باکتری استافیلوکوکوس اورئوس در محیط کشت مایع

محمد رضا نهائی^۱ , حسن امینی^۲, اتابک اسودی کرمانی^۱, نیره دیده ور^۳, بهنام امینی^۳, محمد اکبری دیباور^۴

^۱ مرکز تحقیقات هماتولوژی و اونکرولوژی، دانشگاه علوم پزشکی تبریز، ایران
^۲ گروه آموزشی میکروب شناسی، دانشکده پزشکی، دانشگاه علوم پزشکی تبریز، ایران

^۳ دانشکده مدیریت و اطلاع رسانی پزشکی، دانشگاه علوم پزشکی تبریز، ایران
^{۴*} نویسنده مسئول؛ ایمیل nahaeim@yahoo.com

دریافت: ۱۳۹۶/۴/۲۱ پذیرش: ۱۳۹۶/۶/۲۷ انتشار برخط: ۱۳۹۸/۴/۱۳
مجله پژوهشی دانشگاه علوم پزشکی و خدمات بهداشتی - درمانی تبریز. مرداد و شهریور ۱۳۹۸: ۴۱(۳): ۹۵-۱۰۰

چکیده

زمینه: همه‌ی بیکرووارگانیسم‌ها به دلیل داشتن گروههای سولفات در اسید موکولی ساکاریدها و نیز گروههای فسفات یونیزه در فسفولیپیدها و برخی گروههای شیمیابی دیگر دارای بار الکتریکی منفی در سطح خود هستند و از طرفی پژوهش‌های رو به گسترش در خصوص تأثیر میدان‌های الکتریکی بر روی زندگی بیولوژیک از اثرات ضد التهابی گرفته تا اثرات کارسینوژن، بستر مناسبی را جهت بررسی این سوال که آیا این میدان‌ها می‌توانند موجب جذب یا دفع میکرووارگانیسم‌ها گردند، فراهم می‌سازد. لذا در این مطالعه جذب الکتریکی استافیلوکوکوس اورئوس در محیط کشت مایع مورد تجسس قرار گرفت.

روش کار: جهت ایجاد میدان الکتریکی از تانک پلاستیکی استفاده شد که در دو طرف آن الکترود مثبت (کاتد) و الکترود منفی (آند) تعییه گردید. پس از استریل‌سازی، تانک تهیه شده با محیط کشت مایع نوتریمنت براث پر شد و باکتری مورد مطالعه (*S.aureus* ATCC 29213) در آن کشت گردید و جهت پختن یکسان باکتری در فرمتهای مختلف بوسیله لوب، مایع درون تانک بهم زده شد. سپس با اتصال به جریان الکتریسیته شارژ شبت و منفی در دو قطب تانک ایجاد شد. بعد از ۲۴ ساعت از رسید باکتری از مناطق مختلف تانک نمونه برداری شده و نسبت به شمارش باکتری‌ها از مناطق مختلف نمونه برداری بعمل آمده و در محیط کشت نوتریمنت آگار کشت گردید. آزمایش فوق سه بار در شرایط یکسان تکرار و میانگین نتایج بدست آمده محاسبه گردید.

یافته‌ها: نتایج میانگین شمارش باکتری بر روی نمونه‌های برداشته شده از مناطق مختلف تانک با میدان‌های الکتریکی با شدت ۲۰ نیوتن بر کولون، در سه بار آزمایش بعمل آمده نشان داد که تعداد باکتری استافیلوکوکوس اورئوس در سمت الکترود مثبت 10^3 CFU/ml $8/2 \times 10^3$ در وسط تانک $6/2 \times 10^3$ CFU/ml و در سمت الکترود منفی $3/6 \times 10^3$ CFU/ml بود.

نتیجه‌گیری: مقایسه نتایج بدست آمده بر روی تعداد باکریها در سمت الکترود مثبت، الکترود منفی و وسط تانک نشانگر تأثیر مستقیم این میدان‌ها در جابجایی و جذب باکتری‌ها به سمت الکترود مثبت بود.

کلید واژه‌ها: پتانسیل الکترواستاتیک (پتانسیل زتا)، شارژ سطحی منفی، اختلاف پتانسیل الکتریکی، منبع تعذیه الکتریکی، استافیلوکوکوس اورئوس.

نحوه استناد به این مقاله: نهائی م، امینی ح، اسودی کرمانی ا، دیده ور ن، امینی ب، اکبری دیباور م. جذب الکتریکی باکتری استافیلوکوکوس اورئوس در محیط کشت مایع. مجله پژوهشی دانشگاه علوم پزشکی و خدمات بهداشتی درمانی تبریز. ۱۳۹۸: ۴۱(۳): ۹۵-۱۰۰

حق تألیف برای مؤلفان محفوظ است.

این مقاله با دسترسی آزاد توسط دانشگاه علوم پزشکی و خدمات بهداشتی - درمانی تبریز تحت مجوز کریپتو کامنز (CC BY 4.0) منتشر شده که طبق مفاد آن هرگونه استفاده تنها در صورتی مجاز است که به اثر اصلی به نحو مقتضی استناد و ارجاع داده شده باشد.

مقدمه

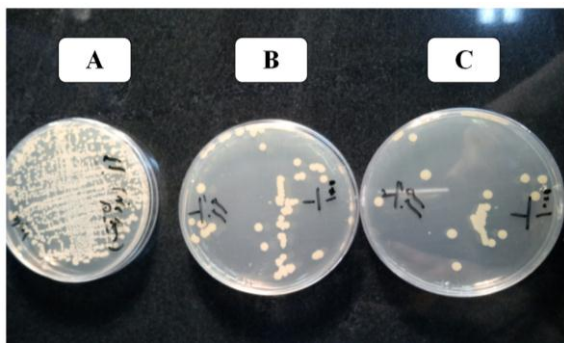
پتانسیل زتا نباید با پتانسیل الکتروود یا پتانسیل الکتروشیمیابی اشتباہ شود چرا که واکنش‌های الکتروشیمیابی اصولاً در تعیین پتانسیل زتا دخیل نیستند (۱۲). پتانسیل زتا به طور مستقیم قابل اندازه‌گیری نیست اما می‌توان با استفاده از فرمولهای تئوری و مشخص کردن تجربی میزان حرکت الکتروکیتیک یا توان حرکتی الکتروفورتیک، دینامیک آن را محاسبه کرد. پتانسیل زتا را در یک ذره باردار با ایجاد یک میدان الکتریکی در طرفین این ذره باردار هم می‌توان اندازه‌گیری کرد. این ذره باردار با پتانسیل زتا به سمت الکتروود مثبت حرکت می‌کند و البته نسبت سرعت حرکت و باسته به مقدار و اندازه پتانسیل زتا در هر ذره است و با همین تفاوت در سرعت-ها، پتانسیل زتای ذره توسط تکنیک Laser Doppler اندازه‌گیری می‌شود و توسط فرمولهایی به مقادیر پتانسیل سطحی این ذرات می‌توان پی برده (۱۵-۱۸). پتانسیل الکترواستاتیک منفی در نیجه‌ی جذب پروتون توسط یک چگالی الکترونی بالا است (۱۹). از طرف دیگر براساس قانون بارهای الکتریکی، همواره بارهای الکتریکی با ماهیت همسان همدیگر را دفع می‌کنند به طوری که ذره با بار الکتریکی منفی، ذره دیگر با بار الکتریکی منفی می‌شود و بارهای الکتریکی با ماهیت ناهمسان همدیگر را جذب می‌کنند به نحوی که ذره با بار الکتریکی منفی، ذره دیگر با بار الکتریکی مثبت را جذب می‌کند (۲۰). با کثار هم قرار دادن دو واقعیت فوق سؤالی که پیش می‌آمد این است که آیا وجود شارژ الکتریکی در سطح میکروارگانیسم‌ها می‌تواند موجب تأثیرپذیری آن‌ها از میدان‌های الکتریکی شود؟ و اینکه اگر تأثیری وجود داشته باشد به چه نحو خواهد بود؟ در راستای پاسخ به این سوالات به خصوص جهت روشن نمودن تأثیر میدان‌های الکتریکی در جذب یا دفع باکتری‌ها، مطالعه‌ی حاضر برنامه‌ریزی و انجام گردید. هرچند زمینه‌ی مطالعاتی که بتواند دیگر اثرات میدان‌های الکتریکی بر روی ساختار سلولی باکتری، اثر داروها در حضور میدان و ... را تعیین کند وجود دارد. در این مطالعه، جذب الکتریکی باکتری استافیلولوکوکوس اورئوس در محیط کشت مایع مورد بررسی قرار گرفت.

روش کار

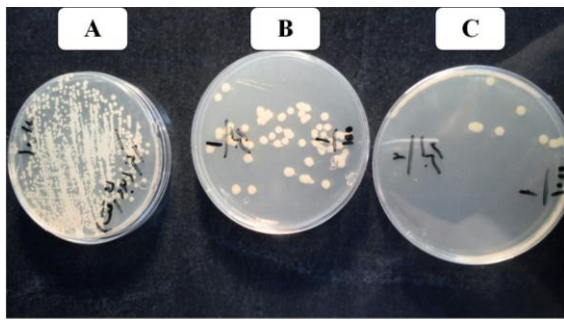
محیط کشت مایع انتخابی برای این آزمایش نوترینت براث (Merck) بود که محیط کشت یاد شده بر اساس دستورالعمل شرکت سازنده تهیه و سپس در حرارت ۱۲۱ درجه سانتیگراد و ۱/۵ پوند فشار به مدت ۱۵ دقیقه استریل و جهت ایجاد امکان جذب و دفع باکتری‌ها مورد استفاده قرار گرفت. محیط کشت مایع به میزان ۴۰۰ میلی‌لیتر که حدود ۵/۴ حجم ظرف آزمایشی را پر می‌کرد آماده گردید و به داخل تانک استریل شده ریخته شد. محیط کشت بلاد آکار (Merck) نیز به منظور کشت و شمارش باکتری‌ها مورد استفاده قرار گرفت. ابتدا یک ظرف پلاستیکی به ابعاد mm ۱۲۰ طول، mm ۸۰ عرض و mm ۶۰ ارتفاع، جهت تعییه‌ی میدان

پروکاریوت‌ها و یوکاریوت‌ها شبکه‌ای از بار الکتریکی منفی را در سطح خود دارند که افینیتی انتخابی و اتصال بین سلولها را تحت تأثیر قرار می‌دهد. این شبکه با داشتن بار الکتریکی در بدخیمی‌ها، توان متابازی، افینیتی داروها و حتی در ارتباط بین انگل و میزان نقش مهمی را ایفا می‌کند (۱-۷). خواص هیدروفیبیک و الکتریکی داروها نیز در توزیع داروها در بافت‌های زندۀ مؤثر است (۸). نتایج مطالعات قبلی انجام شده نشان می‌دهند که از محتمل‌ترین موارد برای جایگاه‌های آنیونی در غشای سلولها می‌توان به گروههای سولفات موجود در اسید موکو پلی‌ساکاریدها و گروههای فسفات یونیزه در فسفولیپیدها و گروههای کربوکسیل باردار که ناشی از حضور اسیدسیالیک هستند (یا ناشی از گروههای کربوکسیل موجود در استیک آمینو اسید پروتئین) اشاره کرد (۶-۱۳). علاوه بر موارد فوق از دیگر عوامل ایجاد کننده شارژ سطحی منفی، می‌توان به پیتیدوگلیکان موجود در دیواره سلولی باکتریها اشاره کرد که در باکتریهای گرم مثبت تا ۴۰ لایه پیتیدوگلیکان وجود دارد که حدود ۵٪ از لایه دیواره سلولی را تشکیل می‌دهد. این ترکیب در باکتریهای گرم منفی نیز به نظر می‌رسد فقط یک یا دو لایه باشد که ۵ تا ۱۰٪ ماده دیواره سلولی را تشکیل می‌دهد (۱۴). مورد دیگر که اکثرا در دیواره سلولی باکتریهای گرم مثبت یافت می‌شود اسیدهای تیکوئیک و تیکورونیک می‌باشد که ممکن است تا ۵٪ وزن خشک دیواره و ۱۰٪ وزن خشک کل سلول را به خود اختصاص دهد. اصطلاح اسید تیکوئیک مشتمل بر تمامی دیواره غشا یا پلیمرهای کپسولی حاوی گلیسروفسفات یا ریتیول فسفات است، که بار منفی دارند؛ اسیدهای تیکوئیک به طور مشابه تا حدودی مسئول بار منفی سطح سلول هستند. "عمدتاً" دو نوع اسید تیکوئیک بنامهای اسید تیکوئیک دیواره (Wall teichoic acid, WTA) و اسید لیپوتیکوئیک (Lipoteichoic acid, LTA) وجود دارند. LTA و WTA با پیتیدوگلیکان، شبکه یا ماتریکس پل آنیونی را به وجود می‌آورند که فراهم کننده عملکردهای مربوط به انعطاف‌پذیری، حفره‌دار بودن، قدرت الاستیستیه و خصوصیات الکترواستاتیک پوشش است، اگرچه همه باکتریهای گرم مثبت WTA و LTA را ندارند. باکتری‌هایی که فاقد این پلیمرها هستند از نظر عملکردی فعالیت مشابهی دارند (به خصوص فعالیت الکترواستاتیکی) (۱۴). پتانسیل زتا یک اصطلاح علمی برای پتانسیل‌های الکتروکیتیک سیستم‌های کلوئیدی است و از دیدگاه تئوری پتانسیل زتا، پتانسیل الکتریکی عرض یک غشای دو لایه است. در خصوص ذرات پراکنده در یک محلول هر چه میزان پتانسیل زتا بیشتر باشد نشان از پایداری بیشتر ذرات و عدم به هم چسبیدگی در بین ذرات دارد. پتانسیل زتا به طور عمده جهت تعیین کمیت مقادیر شارژ الکتریکی غشای دو لایه به کار گرفته می‌شود. هر چند علیرغم اعمال دقت فراوان در کیفیت کار انجام شده پتانسیل زتا دقیقاً مساوی با پتانسیل الکتریکی سطحی در غشای دو لایه نیست، با این وجود پتانسیل زتا تنها راه موجود برای تعیین ویژگی‌های غشاها دو لایه است.

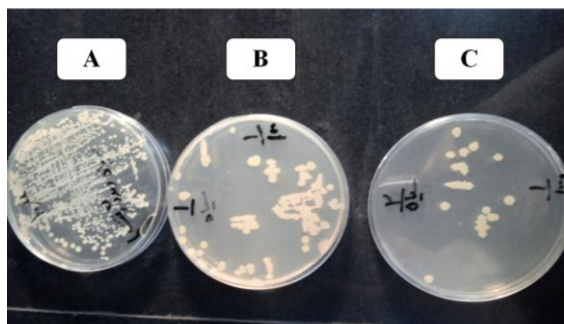
شرایط فوق در سه نوبت مجزا تا مدت ۲۴ ساعت حفظ شد تا امکان جذب باکتری‌ها توسط الکتروودها فراهم آید و تعداد باکتری‌های رشد یافته از سه نوبت آزمایش انجام شده محاسبه گردید. از محل نزدیک الکتروود مثبت، قسمت وسط تانک و از محل نزدیک الکتروود منفی نمونه‌برداری انجام شد. برای محاسبه تعداد باکتری در نواحی مختلف ذکر شده ۱۰ میکرولیتر از محیط حاوی رشد باکتری برداشته شد و بعد از رقیق‌سازی در پلیت‌های مختلف کشت شده و در شرایط ۳۷°C در شرایط ۲-۴. پس از انجام آزمایش، شمارش کلی‌ها از سه ناحیه نزدیک الکتروود مثبت، وسط تانک و نزدیک الکتروود منفی در جدول ۱ نشان داده شده است.



شکل ۲: رشد باکتری *S. aureus* در نزدیکی الکتروود منفی با نمونه‌برداری در رقت‌های ۱۰ میکرولیتر (پلیت A)، ۰/۰۱ میکرولیتر (پلیت B) و ۰/۰۰۱ میکرولیتر (پلیت C).



شکل ۳: رشد باکتری *S. aureus* از وسط تانک با نمونه‌برداری در رقت‌های ۱۰ میکرولیتر (پلیت A)، ۰/۰۱ میکرولیتر (پلیت B) و ۰/۰۰۱ میکرولیتر (پلیت C).

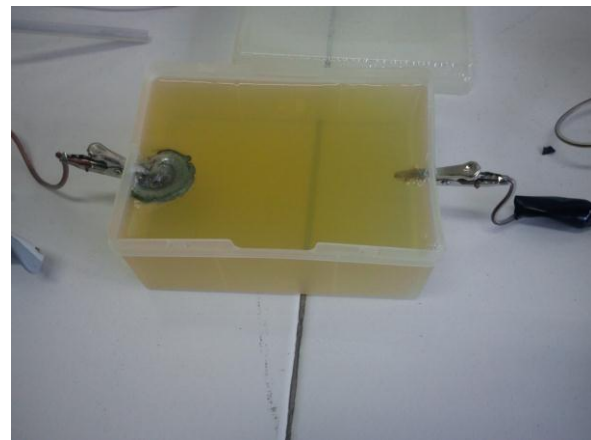


شکل ۴: رشد باکتری *S. aureus* در نزدیکی الکتروود مثبت با نمونه‌برداری در رقت‌های ۱۰ میکرولیتر (پلیت A)، ۰/۰۱ میکرولیتر در (پلیت B) و ۰/۰۰۱ میکرولیتر در (پلیت C).

الکتریکی در داخل آن انتخاب شد. در دو طرف این ظرف با قرار دادن الکتروودهایی فلزی به رنگ قرمز (به نشانه الکتروود مثبت) و رنگ سیاه (به نشانه الکتروود منفی) شرایط جهت ایجاد یک میدان الکتریکی در داخل ظرف فراهم آمد. تانک آماده شده در دمای ۱۲۱ درجه سانتی‌گراد و ۱/۵ پوند فشار به مدت ۱۵ دقیقه استریل گردید و سپس مورد استفاده قرار گرفت. سویه‌ی باکتری استافیلوکوکوس اورئوس (ATCC 29213) جهت آزمایش استفاده شد به نحوی که غلطت معادل نیم مک فارلند از این باکتری در سرم فیزیولوژی آماده گردید و ۱ میلی‌لیتر از آن به ظرف حاوی محیط کشت مایع تزریق گردید. جهت پخش یکسان باکتری در محیط کشت، پس از تلقیح باکتری با لوب استریل محیط کشت کاملاً به هم زده شد تا از پخش کامل باکتری در کل محیط اطمینان حاصل شود. دو الکتروود قرمز و مشکی به ترتیب به سیم‌های رابط پایانه مثبت و منفی ترانسفورماتور متصل شد تا تحت تأثیر میدان الکتریکی ۲ ولت قرار گرفت. نکته مهم در مورد میدان‌های الکتریکی و الکتروودها این است که همواره در الکتروود منفی که الکتروود الکترون دهنده می‌باشد، تجمع الکترون وجود دارد که موجب ایجاد میدانی با بار الکتریکی منفی می‌شود که با بار الکتریکی سطحی میکروارگانیسم‌ها هم نام می‌باشد؛ از طرفی الکتروود مثبت یک الکتروود الکترون خواه بوده و همین امر موجب ایجاد میدانی در اطراف الکتروودها با جهت مثبت به منفی می‌شود و هر ذره که دارای بار الکتریکی منفی باشد در اثر این میدان از الکتروود مثبت دور و به الکتروود مثبت نزدیک‌تر خواهد شد.

یافته‌ها

پس از ۲۴ ساعت از شروع آزمایش که تانک در میدان الکتریکی قرار گرفت، کدورت محیط کشت در سمت الکتروود مثبت بیشتر بود، روند کاهش شفافیت محیط از الکتروود منفی (راست) به سمت الکتروود مثبت (چپ) و تجمع توده خاکستری اطراف الکتروود مثبت در تصویر ۱ نشان داده شده است.



شکل ۱: بیست و چهار ساعت پس از تأثیر میدان الکتریکی به تانک محتوی محیط کشت مایع محتوی باکتری استافیلوکوکوس اورئوس تجمع باکتری‌ها در نزدیکی الکتروود مثبت (چپ).

جدول ۱: تعداد باکتری استافیلوکوکوس اورئوس (ATCC 29213) رشد یافته در نواحی سه‌گانه آزمایش (نژدیک الکتروود مثبت، وسط تانک و نژدیک الکتروود منفی).

نامه آزمایشی در محیط کشت	تعداد کلیه رشد یافته در رقت‌های	تعداد کلیه میکروولتر	نامه آزمایشی
نژدیک الکتروود مثبت	۲۵	۸۹*	۰/۰۰۱
وسط تانک	۱۴	۶۲	۰/۰۱
نژدیک الکتروود منفی	۱۹	۳۶	۰/۰۰۱

* اعداد نمایش داده شده در جدول میانگین بسته آمده از سه بار شمارش کلیه‌ها می‌باشد.

بحث

همنم و ناهمنام می‌باشد. شدت نیرو در چنین موقعی به عواملی هم چون شدت میدان الکتریکی، میزان شارژ الکتریکی سطحی ذره وابسته به رابطه $F=qE$ است که در این رابطه F شدت میدان الکتریکی ذره، q میزان بار الکتریکی سطحی ذره و E شدت میدان الکتریکی است (۲۰). با توجه به رابطه یاد شده شدت میدان الکتریکی به عنوان فاکتوری مهم در میزان نیروی وارد بر ذره می‌باشد و می‌توان با افزایش یا کاهش آن در فاز‌های غیرمایع یا فازهای مایع با ضریب یونیزاسیون متفاوت، میزان نیروی وارد بر ذره باردار موجود در محلوده‌ی میدان را افزایش و کاهش داد. نکته مهم در بررسی نتایج توجه به فاز و ویسکوزیته‌ی محیط است که باکتری در آن جابجا می‌شود؛ مسلم است که ویسکوزیته‌ی محیط کشت نیز در میزان جابجایی باکتری و نتایج حاصل از آزمایش تأثیر به سزایی دارد و هرچه میزان ویسکوزیته‌ی روی ذره باردار بیشتر می‌شود. تأثیرگذاری میدان الکتریکی روی ذره باردار تأثیرات زیادی در زمینه تأثیرات بیولوژیک میدان‌های الکتریکی با توجه به ارتقای ابزار بررسی ریزسلولی می‌تواند امکان مناسبی برای استفاده از اطلاعات به دست آمده از این مطالعات را فراهم آورد. در مطالعه‌ی حاضر میدان الکتریکی در حالی موجب جذب و دفع و اعمال نیروی الکتریکی بر باکتری استافیلوکوکوس اورئوس می‌شد که در آن جابجایی باکتری به دلیل ویسکوزیته‌ی محیط کشت تحت تأثیر قرار می‌گرفت، به عبارتی حذف عامل ویسکوزیته محیط به عنوان عامل محلود کننده جابجایی باکتری، از قبیل طراحی آزمایش در فاز گاز، نتایج واضح‌تری از تأثیر میدان الکتریکی در جذب و دفع باکتری به دست می‌دهد که نیاز به مطالعه‌ی بیشتر در این زمینه را نشان می‌دهد.

نتیجه‌گیری

نتوری مربوط به ارائه‌ی حفاظه‌ای با ساختار میدان‌های الکتریکی برای جلوگیری از نفوذ باکتری‌ها و دیگر میکروارگانیزم‌ها با توجه به یافته‌های حاصل از آزمایش‌های انجام شده، اثبات شد و نشان داد که می‌توان با استفاده از همین اصل یعنی ایجاد میدان‌های الکتریکی منفی برای جلوگیری از نفوذ میکروارگانیسم‌ها به نواحی مدنظر (از قبیل دستگاه تنفسی، اتاق بیماران تحت شیمی درمانی و ...) استفاده نمود و چنین امری گام مهمی در جهت پیشگیری از مواجهه با میکروارگانیزم‌های خطرناک خواهد بود.

بر اساس قانون بارهای الکتریکی در فیزیک بارهای همنام همدیگر را دفع و بارهای غیرهمنام همدیگر را جذب می‌کنند (۲۰) بر همین مبنای مثال در ساختار کپسول بومن در کلیه‌ها یکی از عوامل مهم در پیشگیری از فیلتراسیون پروتئین‌ها و عدم مشاهده‌ی پروتئین در ادرار، شارژ الکتریکی منفی موجود در غشای پودوسيت‌ها به عنوان سلول‌های در برگیرنده‌ی کپسول بومن است که وجود این شارژ منفی و از طرفی بار الکتریکی منفی در بسیاری از پروتئین‌ها، موجب جلوگیری از فیلتراسیون پروتئین‌ها می‌شود به نحوی که هرگونه اختلال در این شارژ منفی موجب اختلال در عملکرد کلیه‌ها و پروتئینوری می‌گردد (۲۱). در برخی مطالعات نشان داده شده است که کلیرانس ذرات با بار الکترواستاتیک مثبت به دلیل بار الکتریکی منفی غشای پایه گلومرولی نسبت به ذرات با بار الکترواستاتیک منفی بیشتر بوده است (۸). در برخی مطالعات اثبات شده است که با ایجاد تغییر در شارژ الکتریکی داروها تأثیرگذاری دارو تغییر می‌باید (۲) که بیانگر اهمیت توجه به تأثیر بارهای الکتریکی در اثر متقابل سلول با سلول، سلول با ماده و نیز ماده با ماده در علوم زیستی است. باکتری‌ها و ویروس‌ها در pH فیزیولوژیک دارای بار الکتریکی منفی هستند (۱). این بار الکتریکی به دلیل وجود انواع فسفولیپیدهای غشایی، پیتیدوگلیگان، اسیدتیکوئیک (مشتمل بر تمامی دیواره غشا یا پلیمرهای کپسولی حاوی گلیسروفسفات یا ریتول فسفات)، اسید تیکورونیک و پروتئین‌ها است و همانگونه که از نتایج مطالعه‌ی حاضر بر می‌آید میدان‌های الکتریکی می‌توانند با تأثیرگذاری بر روی این شارژ الکتریکی سطحی میکروارگانیسم‌ها موجب جذب و دفع آنها در جهت میدان شوند. وجود میدان الکتریکی موجب شد تا باکتری استافیلوکوکوس اورئوس که مثل دیگر میکروارگانیسم‌ها دارای ساختار فسفولیپیسی و پروتئین و دیگر عوامل با شارژ الکتریکی منفی در سطح خود است (۱۴)، به سمت الکتروود مثبت جذب شود و تعداد کلیه یاد شده رشد یافته در نمونه‌های برداشته شده از نواحی سه گانه بیانگر همین مسئله است. همانگونه که از شمارش تعداد کلیه‌ها مشخص می‌شود (جدول ۱)، تعداد باکتری‌ها از الکتروود منفی به الکتروود مثبت افزایش یافت که نشان از پراکندگی معنی دار و قابل تفسیر بر مبنای قانون بارهای الکتریکی می‌باشد، به نحوی که با نزدیک‌تر شدن به الکتروود مثبت با تراکم بارهای مثبت تراکم باکتری‌ها نیز افزایش یافت. نیروی الکتریکی واردہ از میدان، بر اساس قانون بارهای

قدرتدانی

از مرکز تحقیقات هماتولوژی و انکولوژی دانشگاه علوم پزشکی تبریز که با حمایت مالی و از گروه آموزشی میکروب‌شناسی دانشکده پزشکی تبریز به دلیل در اختیار قرار دادن مکان تحقیق و امکانات آزمایشگاهی تشکر و قدردانی می‌شود.

منابع مالی: مرکز تحقیقات هماتولوژی و انکولوژی دانشگاه علوم پزشکی تبریز به شماره طرح ۲۴۳۷ مورخه ۱۳۸۹/۷/۲۹.

منابع متقابل: مؤلف اظهار می‌دارد که منافع متقابلی از تالیف یا انتشار این مقاله ندارد.

مشارکت مؤلفان: م. رن، ح. او همکاران طراحی، اجرا و تحلیل نتایج مطالعه را بر عهده داشتند. همچنین مقاله را تالیف نموده و نسخه نهایی آن را خوانده و تایید کرده‌اند.

References

- Evzen B, James H. Hurley. Structural basis for membrane targeting by the MVB12-associated β -prism domain of the human ESCRT-I MVB12 subunit. *PNAS* 2012; **109**(6): 1901-1906. doi: 10.1073/pnas.1117597109
- Ronghua L, Ling Xi, Danfeng L, Xiangyi Ma, Wanhua Yang, Yandong Xi, et al. Enhanced targeted anticancer effects and inhibition of tumor metastasis by the TMTP1 compound peptide TMTP1-TAT-NBD. *Journal of Controlled Release* 2012; **161**: 893-902. doi: 10.1016/j.jconrel.2012.05.002
- Haeffner E W, Doenges KH, Buchholz J. Difference in cell surface 5'-nucleotidase activity, protein iodination and membrane properties between mouse lymphoma and rat adenocarcinoma cell variants with low and high-metastatic potential. *Int J Biochem* 1988; **20**(9): 929-935. doi: 10.1016/0020-711X(88)90177-2
- Carter H B, Partin A W, Coffey D S. Prediction of metastatic potential in an animal model of prostate cancer: flow cytometry quantification of cell charge. *J Urol* 1989; **142**: 1338-1341. doi: 10.1016/s0022-5347(17)39093-6
- Schaeffer B E, Schaeffer H E, Brick I. Cell electrophoresis of amphibian blastula and gastrula cells; the relationship of surface charge and morphogenetic movement. *Dev Biol* 1973; **34**: 66-76. doi: 10.1016/0012-1606(73)90339-4
- Meirelles M N, Souto-Padrón T, De Souza W. Participation of cell surface anionic sites in the interaction between Trypanosoma cruzi and macrophages. *J Submicrsc Cytol* 1984; **16**(3): 533-545.
- Montiero V G, Soares C P, D E Souza W. Host cell surface sialic acid residues are involved on the process of penetration of Toxoplasma gondii into mammalian cells. *FEMS Microbiol Lett* 1998; **164**: 323-327. doi: 10.1016/s0378-1097(98)00229-8
- Donald E, Mager V, Chao Xu. Physiologically Based Pharmacokinetic Model for Composite Nanodevices: Effect of Charge and Size on In Vivo Disposition. *Pharm Res* 2012; **29**: 2534-2542. doi: 10.1007/s11095-012-0784-7
- Zasloff M, Adamsb P, Beckermanc B, Campbelld A, Ziying H, Luijtenc E. Squalamine as a broad-spectrum systemic antiviral agent with therapeutic potential. *PNAS* 2011; **108**(38): 15979-15983. doi: 10.1073/pnas.1108558108
- Burry R W, Wood J G. Contributions of lipids and proteins to the surface charge of membranes: An electron microscopy study with cationized and anionized ferritin. *J Cell Biol* 1979; **82**(3): 726-741. doi: 10.1083/jcb.82.3.726
- Snyder E L, Saenz Ch C, Denicourt C, Meade B R, Cui Xi Sh, Kaplan I M, et al. Enhanced targeting and killing of tumor cells expressing the CXC chemokine receptor 4 by transducible anticancer peptides. *Cancer Res* 2005; **65**(23): 10646-10650. doi: 10.1158/0008-5472
- Seaman GVP, Uhlenbruck G. The surface structure of erythrocytes from some animal sources. *Arch Biochem Biophys* 1963; **100**: 493-502. doi: 10.1016/0003-9861(63)90117-6
- Gasic G J, Berwick L, Sorrentino M. Positive and negative colloidal iron as cell surface electron stains. *Lab Invest* 1968; **18**: 63-71.
- Jawetz A, Adelberg M. Medical Microbiology. 25th ed. New York, Mac Graw Hill, 2010; PP: 21-30.
- Löbbus M, Sonnenfeld J, van Leeuwen H P, Vogelsberger W, Lyklema J. An Improved Method for Calculating Zeta-Potentials from Measurements of the Electro kinetic Sonic Amplitude. *J Colloid Interface Sci* 2000; **229**(1): 174-183. doi: 10.1006/jcis.2000.6980
- Ross S, Morrison E D. *Colloidal Systems and Interfaces*. 2nd ed. New York, John Wiley Sons, 2008; PP: 122-143.
- Qian N, Sejnowski T J. Predicting the secondary structure of globular proteins using neural network models. *J Mol Biol* 1988; **202**(4): 865-884. doi: 10.1016/0022-2836(88)90564-5
- Kerker M. *Electromagnetic Scattering Proceedings*. 5th ed. New York, Macmillan, 1999; PP: 122-131.
- Bozek K, Nakayama E E, Kono K, Shiota T. Electrostatic potential of human immunodeficiency virus type2 and rhesus macaque simian immunodeficiency virus capsid proteins. *Frontiers in Microbiology* 2012; **3**: 206. doi: 10.3389/fmicb.2012.00206
- Tomas L. Floyd. Principles of Electric Circuits. 5th ed. New York, Thieme, 2009; PP: 502-543.
- Longo F, Kasper H, Jameson L. *Harrison's principles of Internal Medicine*. 18th ed. New York, Mac Graw Hill, 2012; PP: 2279-2286.

Knowledge of Tabriz Dentists about Bisphosphonate-Related Osteonecrosis of the Jaw in 2015

Javad Yazdani¹ , Ali Mortazavi^{1*} , Erfan Abbas²

¹Department of Oral Maxillofacial Surgery, University of Medical Science, Tabriz, Iran

²Dentist

*Corresponding author; E-mail: aliweb001@gmail.com

Received: 18 August 2017 Accepted: 4 November 2017 First Published online: 4 July 2019
Med J Tabriz Uni Med Sciences Health Services. 2019 August- September; 41(3):101-105

Abstract

Background: Bisphosphonates are commonly used in the management of skeletal complications such as metastatic bone disease, hypercalcemia of malignancy and osteoporosis. However, these chemicals may have an adverse side effect called BON (Bisphosphonate-associated osteonecrosis). The objective of this study was to assess the awareness among dentists in Tabriz, Iran about the bisphosphonate-related Osteonecrosis of the Jaw (BRONJ).

Methods: In this descriptive, cross-sectional study a total of 270 dentists were involved to determine their knowledge about the BRONJ. The questionnaire was already validated by ten faculty members and university researchers.

Results: The average knowledge scores of participating dentists about BRONJ was 8.47 ± 2.52 . The lowest score was 2 and the highest score was 12. There was no significant relationship between knowledge scores with age, university of graduation and the duration of clinical work experience. Women and recent graduates were found to have statistically significant more knowledge.

Conclusion: The dentists working at Tabriz city have good knowledge regarding the BRONJ.

Keyword: Knowledge, Osteonecrosis, Bisphosphonates, Osteoporosis.

How to cite this article: Yazdani J, Mortazavi A, Abbas E. [Knowledge of Tabriz Dentists about Bisphosphonate-Related Osteonecrosis of the Jaw in 2015]. Med J Tabriz Uni Med Sciences Health Services. 2019 August- September; 41(3):101-105. Persian.

مقاله پژوهشی

میزان آگاهی دندانپزشکان عمومی شهر تبریز از نکروز استخوان فک بدنیال مصرف بیس فسفونات ها در سال ۱۳۹۴

جواد یزدانی^۱، علی مرتضوی^{۱*}، عرفان عباسی^۱

بخش جراحی نک و صورت، دانشگاه علوم پزشکی، تبریز، ایران
دندانپزشک

* نویسنده مسؤول؛ ایمیل: aliweb001@gmail.com

دریافت: ۱۳۹۶/۵/۲۷ پذیرش: ۱۳۹۶/۸/۱۳ انتشار برخط: ۱۳۹۸/۴/۱۳
مجله پزشکی دانشگاه علوم پزشکی و خدمات بهداشتی - درمانی تبریز. مرداد و شهریور ۱۳۹۸؛ ۴۱(۳): ۱۰۱-۱۰۵

چکیده

زمینه: بیس فسفونات ها معمولاً برای درمان عوارض اسکلتال بیماریهای متاستاتیک استخوان، هایپرکلسیمی بدنیال بدخیمی و استئوپروز استفاده می شوند. از پیامدهای استفاده از این داروها، استئونکروز استخوان می باشد (Bisphosphonate-associated Osteonecrosis). هدف از این مطالعه تعیین آگاهی دندانپزشکان شهر تبریز ایران درخصوص نکروز استخوان فک ناشی از مصرف بیس فسفونات ها Bisphosphonate-Related Osteonecrosis (BRONJ) of the Jaw بود.

روش کار: این مطالعه توصیفی-مقطعی در سال ۱۳۹۴ انجام شد. ۲۷۰ پرسشنامه جهت تعیین آگاهی دندانپزشکان در خصوص BRONJ در بین دندانپزشکان شاغل در شهر تبریز توزیع شد. روابط پرسشنامه توسط ۱۰ نفر از اعضاء هیأت علمی و محققین دانشگاهی مورد بررسی و تایید قرار گرفت پس از تکمیل پرسشنامه توسط ۱۰ نفر از دندانپزشکان عمومی پایانی پرسشنامه بر اساس آزمون آلفای کرونباخ تعیین و تایید شد. داده های بدست آمده توسط روش های آماری توصیفی (میانگین و انحراف معیار)، آزمون تی برای گروه های مستقل و آزمون همبستگی پیرسون تجزیه و تحلیل شدند. نرم افزار مورد استفاده برای این آزمونها SPSS ویرایش ۱۸ بود و سطح معنی دار برای P value در این آزمون ها کمتر از ۰/۰۵ تلقی گردید.

یافته ها: نتایج ما نشان داد میانگین نمره دندانپزشکان شرکت کننده در خصوص BRONJ ۸/۴۷±۲/۵۲ بود. کمترین نمره ۲ و بیشترین نمره ۱۲ بود. رابطه آماری معنی داری بین نمره آگاهی با سن وجود نداشت. خانمهای بطور معنی داری آگاهی بیشتری داشتند.

نتیجه گیری: بررسی ها نشان داد میان آگاهی دندانپزشکان تبریز در حد مطلوبی است.

کلید واژه ها: آگاهی، استئونکروز، بیس فسفونات، استئوپروز

نحوه استناد به این مقاله: یزدانی ج، مرتضوی ع، عباسی ع. میزان آگاهی دندانپزشکان عمومی شهر تبریز از نکروز استخوان فک بدنیال مصرف بیس فسفونات ها در سال ۱۳۹۴. مجله پزشکی دانشگاه علوم پزشکی و خدمات بهداشتی - درمانی تبریز. ۱۳۹۸؛ ۴۱(۳): ۱۰۱-۱۰۵.

حق تألیف برای مؤلفان محفوظ است.

این مقاله با دسترسی آزاد توسط دانشگاه علوم پزشکی و خدمات بهداشتی - درمانی تبریز تحت مجوز کریپتو کامنز (CC-BY 4.0) منتشر شده که طبق مفاد آن هرگونه استفاده تنها در صورتی مجاز است که به اثر اصلی به نحو مقتضی استناد و ارجاع داده شده باشد.

مقدمه

علی رغم افزایش شناخت از مکانیسم بیس فسفونات‌ها و شرایط استفاده از آنها باز هم گزارش‌های مربوط به BRONJ در حال افزایش هستند. پس باید به بیمارانی که از بیس فسفونات‌ها استفاده می‌کنند توجه خاصی نشان داد و حتی الامکان از کشیدن دندان و جراحی‌های دنتوآلتوئولار اجتناب ورزید. هدف از این پژوهش، میزان آگاهی دندانپزشکان شهر تبریز از BRONJ می‌باشد.

روش کار

جمعیت هدف این مطالعه دندانپزشکان شاغل در شهر تبریز در سال ۱۳۹۴ بودند و حجم نمونه با استفاده از فرمول $270 \times \text{نفر} / \text{محاسبه شد}$. معیارهای ورود به این مطالعه عضویت در سازمان نظام پزشکی، دارا بودن پرونده دائم پزشکی یا مجوز کار و معیارهای خروج از مطالعه تحصیل در مقاطع بالاتر دوره عمومی بود. ابزار گردآوری داده‌ها پرسشنامه‌ای محقق ساخته بر اساس کتاب پتروسون بود. در مجموع ۲۷۰ پرسشنامه در بین شرکت کنندگان توزیع شد و همه آن‌ها جمع‌آوری گردید. روایی پرسشنامه توسط ۱۰ نفر از اعضای هیأت علمی مورد بررسی تصحیح و تایید قرار گرفت. پس از تکمیل پرسشنامه توسط ۱۰ نفر از دندانپزشکان عمومی پایانی پرسشنامه بر اساس آزمون الگای کرونباخ تعیین و تایید شد. این پرسشنامه در دو بخش کلی بخش اول شامل اطلاعات و مشخصات فردی مانند جنس سن مدت اشتغال به کار کلینیکی و بخش دوم شامل سوالات پژوهشی در جهت دستیابی به اهداف مطالعه جمعه در قالب ۱۲ سوال مطرح شد. به هر سوال بر اساس درست یا غلط بودن جواب نمره ۱ یا صفر تعلق گرفت. در این مطالعه آگاهی دندانپزشکان عمومی شاغل در شهر تبریز براساس حداقل و حداقل امتیاز بین (۰ تا ۱۲) محاسبه و بدین صورت امتیاز کلی برای هر فرد محاسبه شد. آنالیز آماری: داده‌های بدست آمده توسط روش‌های آماری توصیفی (میانگین و انحراف معیار)، آزمون تی برای گروه‌های مستقل و آزمون همبستگی پیرسون تجزیه و تحلیل شدند. نرم افزار مورد استفاده برای این آزمونها SPSS و برای این SPSS مقدار $P < 0.05$ معنی دار برابر P value در این آزمون‌ها کمتر از 0.05 نتلقی گردید.

یافته‌ها

از بین ۲۷۰ نفر شرکت کننده در این تحقیق ۱۸۸ نفر (۶۹٪) مرد و ۸۲ نفر (۳۴٪) زن بودند و میانگین سنی آنها 32.7 ± 13.4 سال بود. $57/8\%$ فارغ التحصیل دانشگاه علوم پزشکی تبریز $81/5\%$ فارغ التحصیل علوم پزشکی تهران، $5/9\%$ فارغ التحصیل دانشگاه علوم پزشکی رشت و بقیه فارغ التحصیل سایر دانشگاه‌های علوم پزشکی کشور بودند. میانگین مدت زمان فراغت از تحصیل آنها 6.1 ± 5.6 سال بود. میانگین مدت زمان اشتغال به کار بالینی آنها

بیس فسفونات‌ها آنالوگ‌های سنتیک پایدار غیر ارگانیک پیروفسفات‌ها هستند که عمل بازجذب استخوانی استئوکلاست‌ها را با بلوك کردن ۳-hydroxy-Methylglutaryl-Coenzyme A (HMG-COA) که آنزیم مسؤول prenylation است انجام می‌دهد (۱-۲). همچنین این دسته داروئی و ترکیبات آنها علاوه بر خاصیت جلوگیری از تحلیل و تخریب استخوانی دارای خواص ضد آنزیوژن و تومورال هستند که مورد دوم باعث افزایش طول عمر بیماران مبتلا به بدخيمي می‌شود (۲-۳). بدین خاطر از این دسته داروها در درمان بیماران متابوليسيمي کلسیم مثل استئوپروز، بیماری پاژ، بدخيمي هائی که هايپركلسيمي ايجاد می‌کنند و همچنین ضایعات خوش خیم یا بدخييم همراه با تخریب استخوان مثل ضایعات متاستاتيک فکین در مالتیپل میلوما، سرطان پستان و پروستات استفاده می‌کنند. این داروها برای جلوگیری از تحلیل استخوان در افرادی که دچار بیماری آرتربیت روماتوئید هستند استفاده می‌شوند. این دسته داروئی در بیماران خردسال نیز در کنترل علائم استئوژن ایمپرفکتا (Idiopathic juvenile osteopetrosis) و مدت زمان استفاده می‌شوند (۴، ۵).

آلدرورونات و رزیدرونات از جمله شایعترین بیس فسفونات‌ها هستند که در درمان استئوپروز و پاژه مورد استفاده قرار می‌گيرند. این دسته داروئی نیز مانند تمامی داروهای دیگر علاوه بر خواص درمانی دارای عوارض جانبی هم هستند که ارتباط مستقیم با نحوه و مدت زمان استفاده از آنها دارد (۵). در کنار خواص فوق العاده بیس فسفونات‌ها و افروند بر کیفیت زندگی کسانی که دچار متاستازهای استخوانی هستند یا از استئوپروز رنج می‌برند یکی از بدترین پیامدهای استفاده از آنها ایجاد Osteonecrosis of the Jaw (BRONJ) Bisphosphonate-Related یا نکروز استخوان فک مربوط به استفاده از بیس فسفونات‌ها است. انجمن جراحان فک و صورت آمریکا در سال ۲۰۰۷ BRONJ را بعنوان استخوان نمایان شده در ناحیه فک و صورت حداقل به مدت ۸ هفته در بیماری که از بیس فسفونات‌ها استفاده کرده و سابقه پرتو درمانی را ذکر نمی‌کند تعریف کرد (۵). اگرچه مکانیسم‌های مختلفی برای توجیه چکونگی ایجاد BRONJ ذکر شده ولی هیچکدام به تنهایی نمی‌توانند توضیح قطعی تمام تغییرات مورفو‌لولوژیک حاصله چه به صورت میکروسکوپیک و چه به صورت ماکروسکوپیک را توجیه کنند و پاتوزن آن بطور قطع مشخص نیست ولی قویترین فرضیه تغییرات فیزیولوژیک در ریمدالینگ استخوان است (۶-۷). بزرگترین ریسک فاکتور BRONJ استفاده طولانی مدت از بیس فسفونات‌ها به همراه جراحی دنتوآلتوئولار به خصوص کشیدن دندان‌ها است (۲). میزان شیوع آن در بین کسانی که از بیس فسفونات‌ها بصورت داخل وریدی استفاده می‌کنند در حدود ۸-۱۲٪ تخمین زده می‌شود.

Al-Hussain (۱۲) می باشد. بین سن شرکت کنندگان در مطالعه و میزان آگاهی شان از استئونکروز وابسته به بیس فسفونات ارتباط معنی داری مشاهده نشد که این امر در تضاد با نتایج مطالعه Al-hussain (۱۲) می باشد که نشان داد در گروه سنی کمتر از ۳۴ سال آگاهی در مورد BRONJ بیشتر از سایر گروههای سنی است. نبود ارتباط معنی دار بین آگاهی و سن شرکت کنندگان در مطالعه ما می تواند ناشی از پاسخ غیر دقیق و یا نادرست شرکت کنندگان در مورد سن آنها باشد. اگرچه اکثربت دندانپزشکان شرکت کننده در مطالعه 57.8% فارغ التحصیل دانشگاه علوم پزشکی تبریز بودند ولی تفاوت معنی داری بین میانگین نمره آگاهی فارغ التحصیلان دانشگاههای مختلف مشاهده نشد. نتایج این مطالعه وجود ارتباط معنی دار بین مدت زمان گذشته از فارغ التحصیلی شرکت کنندگان و میزان آگاهی آنها از استئونکروز وابسته به بیس فسفونات را نشان داد که با افزایش فاصله زمانی از تاریخ فارغ التحصیلی نمره آگاهی شان کاهش می یابد که در هماهنگی با نتایج مطالعه Al-hussain (۱۲) می باشد. آگاهی بیشتر فارغ التحصیلان اخیر می تواند به آموزش به روزتر کسب شده در طی تحصیل در دانشکده دندانپزشکی نسبت داده شود. بین مدت زمان اشتغال به کار بالینی و آگاهی از استئونکروز ناشی از بیس فسفونات ارتباط معنی داری یافت نشد. این در حالی است که در مطالعه Al-Mohaya و همکاران ارتباط معنی دار بین تعداد سال تجربه کار بالینی و میزان آگاهی دیده شد و نشان دادند که با افزایش تجربه کار بالینی میزان آگاهی نیز افزایش می یابد. نبود ارتباط معنی دار بین آگاهی دندانپزشکان و تعداد سال اشتغال به کار بالینی می تواند ناشی از کمبود موارد BRONJ یا عدم مراجعه این بیماران به دندانپزشک و همچنین تعداد بسیار کم بازآموزی های دورهای باشد. ارتباط بین آگاهی از استئونکروز ناشی از بیس فسفونات و تعداد بازآموزی های مربوط به عوارض جانبی دارو گذرانده شده توسط دندانپزشکان شرکت کننده در این مطالعه مورد بررسی قرار گرفت و نشان داده شد که تفاوت معنی داری بین میانگین نمره آگاهی بر اساس تعداد بازآموزی گذرانده شده وجود دارد و افرادی که بیشتر از دو بازآموزی را گذرانده اند نسبت به افرادی که تنها دو بازآموزی گذرانده اند بطور معنی داری آگاهی بیشتری داشتند. در توافق با این نتیجه گیری Al-hussain در مطالعه خود نشان داد که تفاوت قابل توجه در آگاهی میان دندانپزشکان عمومی و متخصصان ناشی از شرکت در سمتیارها و بازآموزی های یا تجربه بالاتر در مواجهه با بیماران BRONJ می باشد. در مطالعات مختلف نبود دوره های بازآموزی مرتب کار بیش از حد در مطب و عدم مطالعه فقدان تبادل اطلاعات بین مجتبه های آکادمیک و دندانپزشکان بعنوان موانعی که بر سر راه دندانپزشک برای کسب آگاهی و مهارت کافی در زمینه های علمی و عملی مختلف وجود دارد مطرح شده است (۱۳-۱۴).

۵/۴±۵/۴ سال بود. 80% شرکت کنندگان تا کنون در هیچ دوره بازآموزی مربوط به عوارض جانبی داروها شرکت نکرده بودند. $11/1$ در 1 دوره $3/3\%$ در دو دوره $5/6\%$ در بیش از 2 دوره بازآموزی شرکت کرده بودند. میانگین نمره شرکت کنندگان تحقیق بررسی ارتباط بین نمره آگاهی و متغیرهای جنسیت سن دانشگاه محل تحصیل مدت زمان گذشته از فارغ التحصیلی مدت زمان اشتغال به کار کلینیکی و تعداد بازآموزی های شرکت شده مربوط می پردازیم. میانگین نمره شرکت کنندگان در تحقیق بر حسب جنسیت در جدول ۱-۱ آورده شده است.

جدول ۱-۱: میانگین نمره شرکت کنندگان در تحقیق بر حسب جنسیت

جنسیت	میانگین \pm انحراف معیار
زن	$9/93 \pm 1/49$
مرد	$7/83 \pm 2/62$
کل	$8/47 \pm 2/52$

آزمون independent sample t-test نشان داد بین میانگین نمره آگاهی زنان و مردان تفاوت معنی دار آماری دیده شد و میانگین نمره آگاهی زنان بیشتر از میانگین مردان بود.

T=۸/۳۲ df=۲۴۹/۸۵۱ Pvalue<۰/۰۰۱ جهت بررسی وجود ارتباط آماری معنی دار بین سن شرکت کنندگان در مطالعه و نمره آگاهی ایشان از آزمون پیرسون استفاده شد. نتایج آزمون پیرسون نشان داد بین سن شرکت کنندگان و نمره آگاهی ایشان رابطه معنی دار آماری وجود ندارد. P value: ۰/۰۸۲۳ Pearson correlation: ۰/۰۱۴

بحث

در این مطالعه آگاهی دندانپزشکان عمومی شهر تبریز در خصوص استئونکروز فک ناشی از مصرف بیس فسفونات‌ها (BRONJ) مورد بررسی قرار گرفته است. بیس فسفونات‌ها تحلیل استخوان را مهار کرده و در درمان مالتیپل میلوما، متاستاز استخوانی، و هایپرکلسمی بدخیم مورد استفاده قرار می گیرند که در این بیماران افزایش طول عمر و بهبود کیفیت زندگی را در بی داشته اند (۸-۹). همچنین این داروها بطرور گسترده در پیشگیری و درمان استئونکروز و بیماریهای استخوان نظری پاژت مورد استفاده در قرار می گیرند (۱۰-۸). در این مطالعه برای بررسی آگاهی در مورد استئونکروز ناشی از مصرف بیس فسفونات ۱۲ سوال از ۲۷۰ دندانپزشک شرکت کننده در مطالعه پرسیده شد که میانگین نمرات آنها $8/74 \pm 2/25$ بدست آمد که کمترین نمره آنها ۲ و بیشترین ۱۲ بود. در مطالعه لویز و همکاران (۱۱) $68/3\%$ دندانپزشکان دارای آگاهی و اطلاعات بروز بودند در حالیکه در مطالعه Al-Mohaya و همکاران این آگاهی در کمتریک سوم شرکت کنندگان $31/5\%$ مشاهده شد. نتایج مطالعه نشان داد میانگین نمره آگاهی زنان بطور معنی داری بیشتر از مردان است که در توافق با نتیجه مطالعه

این مقاله متنج از پایانمه تحقیقاتی به شماره ۱۴۴۸ دانشکده دندانپزشکی می باشد.

این مقاله شامل ملاحظات اخلاقی نمی شود.

مؤلف اظهار می دارد که منافع متقابلی از تالیف یا انتشار این مقاله ندارد.

در نگارش این مقاله از منابع مالی هیچ ارجان یا موسسه ای استفاده نشده است.

نتیجه گیری

از داده های بدست آمده از این مطالعه می توان نتیجه گرفت میزان آگاهی دندانپزشکان عمومی شهر تبریز در خصوص BRONJ در حد مطلوب می باشد. بیمار مبتلا به استئونکروز ناشی از بیس فسفونات می تواند چالش بزرگی برای دندانپزشک باشد و لزوم آگاهی از علائم درمانها و مدیریت این بیماران برای هر دندانپزشکی لازم می باشد.

References

1. Cone-Neto N, Bastos A S. Epidemiological aspects of rheumatoid arthritis patients affected by oral bisphosphonate-related osteonecrosis of the jaws. *Head and Face Medicine* 2012; **8**: 9-5. doi: 10.1186/1746-160X-8-5
2. Margaux-Munoz M, Bagan J, Poveda-Roda R. Intravenous oral bisphosphonate-related osteonecrosis of the jaws: influence of coadjuvant antineoplastic treatment and study of buccodental condition. *Med Oral Patol Oral Cir Bucal* 2013; **18**(2): 194-200. doi: 10.4317/medoral.18604
3. Torres S R, Chen C S K, Leroux B G, Lee P P, Hollender L g. Short communication Fractal dimension evaluation of cone beam computed tomography in patients with bisphosphonate-related osteonecrosis. *Dentomaxfac Radio* 2011; **40**: 501-508. doi: 10.1259/dmfr/14636637
4. Sharma D, SasoIvanovski A, Selvin M, Hamlet S, Pop S T, KlaraBrinzaniuc B. Bisphosphonate-related osteonecrosis of the jaws (BRONJ): diagnostic criteria and possible pathogenic mechanism of an unexpected antiangiogenic side effect. *Vas Cell* 2013; **5**: 1-5. doi: 10.1186/2045-824X-5-1
5. Ruggiero S L, Mehrotra, Rosenberg T J, Engroff S L. Osteonecrosis of the jaws associated with the use of bisphosphonates: a review of 63 cases. *J Oral Maxillofac Surg* 2004; **62**: 527-534. doi: 10.1016/j.joms.2004.02.004
6. Marunick M, Miller R, Gordon S. Adverse oral sequelaeto bisphosphonate administration. *J Mich Dent Assoc* 2005; **87**: 44-49.
7. Lam D K, Sandor G K B, Holmes H I, Wayne Evans A. A review of Bisphosphonate-Associated osteonecrosis of the jaws and it's management. *Journal of the Canadian dental association* 2007; **73**(5): 417-422.
8. Advisory Task Force on Bisphosphonate-related osteonecrosis of the jaws, American Association of oral and Maxillofacial Surgeons. Position paper on Bisphosphonate-related osteonecrosis of the jaws. *Journal Oral Maxillofacial Surgery* 2007; **65**: 369-376. doi:10.1016/j.joms.2006.11.003
9. Pazianas M, Miller P, Blumentals W A, Bernal M, Kothawala M. A review of the literature osteonecrosis of the jaws in patients with osteoporosis treated with oral bisphosphonates: prevalence, risk factors and clinical characteristics. *Clinical Therapeutics* 2007; **29**(8): 1548-1558. doi:10.1016/j.clinthera.2007.08.008
10. Hoff A O, Toth B B, Altundag K. Frequency and risk factors associated with osteonecrosis og the jaw in cancer patients treated with intravenous bisphosphonates. *Journal Bone Mineral Research* 2008; **23**(6): 826-836. doi: 10.1359/jbmrr.080205
11. Lopez-Jornet P, Camacho-Alonso F, Molina-Minano F, Gomez-Garcia F. Bisphosphonate-associated osteonecrosis of the jaw. Knowledge and attitudes of dentists and dental students: a preliminary study. *Jeval Clin Pract* 2010; **16**(5): 878-882. doi: 10.1111/j.1365-2753.2009.01203.x
12. Alhussain A. (knowledge, practice and opinions of Ontario dentists when treating patients receiving bisphosphonates. A thesis submitted in conformity with the requirements for the degree of Master of Science graduate oral and maxillofacial surgery, university of Toronto. *Journal of Oral and Maxillofacial Surgery* 2015; **73**(6): 1095-1105. doi: 10.1016/j.joms.2014.12.040
13. Cabana M D, Rand C S, Powe N R, Wu A W, Wilson M H, Abboud PA, et al. Why don't physicians follow clinical practice quidelines? A framework for improvement. *JAMA: the journal of the American Medical Association* 1999; **282**(15): 1458-1465. doi: 10.1001/00006450-199904020-00719
14. Van der Sanden W J, Mettes D G, Plasschaert A J, Van't Hof M A, Grol R P, Verdonschot E H. Clinical practice quidilines in dentistry: opinion of dental practitioners on their contribution to the quality of dental care. *Quality & Safety in health care* 2003; **12**(2): 107-111.